



Universidade de Brasília

Instituto de Ciências Exatas
Departamento de Ciência da Computação

Uma extensão do ncRNA-Agents: um estudo de caso para o gênero *Oryza* do reino Plantae

Rafael B. Andrade

Monografia apresentada como requisito parcial
para conclusão do Curso de Engenharia da Computação

Orientador

Prof.^a Dr.^a Maria Emília Machado Telles Walter

Brasília
2015

Universidade de Brasília — UnB
Instituto de Ciências Exatas
Departamento de Ciência da Computação
Curso de Engenharia da Computação

Coordenador: Prof. Dr. Ricardo Zelenovsky

Banca examinadora composta por:

Prof.^a Dr.^a Maria Emília Machado Telles Walter (Orientador) — CIC/UnB
Prof.^a Dr.^a Célia Ghedini Ralha — CIC/UnB
Mestre Daniel S. Souza — CIC/UnB

CIP — Catalogação Internacional na Publicação

Andrade, Rafael B..

Uma extensão do ncRNA-Agents: um estudo de caso para o gênero
Oryza do reino Plantae / Rafael B. Andrade. Brasília : UnB, 2015.
237 p. : il. ; 29,5 cm.

Monografia (Graduação) — Universidade de Brasília, Brasília, 2015.

1. RNA não-codificador, 2. sistema multiagente, 3. raciocínio
automatizado, 4. ncRNA-Agents, 5. snoReport, 6. snoRNA,
7. Bioinformática

CDU 004

Endereço: Universidade de Brasília
Campus Universitário Darcy Ribeiro — Asa Norte
CEP 70910-900
Brasília-DF — Brasil



Uma extensão do ncRNA-Agents: um estudo de caso para o gênero *Oryza* do reino Plantae

Monografia apresentada como requisito parcial
para conclusão do Curso de Engenharia da Computação

Prof.^a Dr.^a Célia Ghedini Ralha Mestre Daniel S. Souza
CIC/UnB CIC/UnB

Brasília, 16 de dezembro de 2015

Dedicatória

Dedico este trabalho as pessoas mais importantes da minha vida: meus pais. Manzuito de Oliveira Andrade, meu pai, Geralda Maria Bispo, minha mãe. Devo tudo a vocês.

Agradecimentos

Agradeço ao Senhor Deus, por todas às suas bênçãos dadas por ele a mim.

À minha orientadora Prof.^a Dr.^a Maria Emília Machado Telles Walter, por sua confiança em mim, por sua paciência no ensino.

Ao Mestre Daniel da Silva Souza, por me dedicar seu tempo e me fornecer seu trabalho para que eu pudesse entendê-lo e criar uma nova instância dele. Obrigado por além de me ensinar sobre a vida acadêmica, me ensinar sobre a vida como um todo. Agradeço por sua amizade, pelas "aventuras" que passamos para realizar este trabalho e por fim agradeço aos seus grandes conselhos.

Agradeço à minha namorada Raquel Ingrid da Silva Nunes, por sua compreensão aos momentos de ausência, pelo companheirismo nos momentos difíceis e principalmente pela paciência, amor e carinho.

Ao meu pai Manzuito de Oliveira Andrade que me deu forças em cada momento de dificuldade e me ensinou a ter calma mesmo nas situações mais complexas. Agradeço à minha mãe por me dar todo apoio desde o início da minha vida, por virar noites comigo, por me mandar dormir, por me mandar estudar, por cada briga e principalmente por me dar todo o suporte que precisei.

Agradeço à todos os amigos que fiz na Universidade de Brasília, pelo seu companheirismo sem igual. Aos meus amigos do ensino médio, por sua amizade verdadeira. Aos meus amigos do ensino fundamental, por me darem todo o suporte na vida. E agradeço aos meus amigos que conheci por essa longa jornada da vida, por sua amizade sem interesses.

Resumo

Neste trabalho, criamos uma nova instância do ncRNA-Agents, um sistema de anotação de RNAs não-codificadores (ncRNAs) baseado em sistemas multiagentes. Nesta versão, o usuário pode anotar ncRNAs de plantas, usando sequências de cDNA dos organismos *Oryza barthii*, *Oryza brachyantha*, *Oryza glaberrima*, *Oryza glumaepatula*, *Oryza longistaminata*, *Oryza meridionalis*, *Oryza nivara*, *Oryza punctata*, *Oryza rufipogon* e *Oryza sativa Indica*. Além disso, foi incluído o *software* snoReport para anotar snoRNAs (C/D *box* e H/ACA *box*), um tipo específico de ncRNA. Por fim desenvolvemos um estudo de caso para a espécie *Oryza sativa Japonica*.

Palavras-chave: RNA não-codificador, sistema multiagente, raciocínio automatizado, ncRNA-Agents, snoReport, snoRNA, Bioinformática

Abstract

In this work, we create a new instance of ncRNA-Agents, an annotation system of non-coding RNA's (ncRNA's) based on multiagent systems. In this version, the user can annotate plant ncRNAs using the sequences of cDNA of *Oryza barthii*, *Oryza brachyantha*, *Oryza glaberrima*, *Oryza glumaepatula*, *Oryza longistaminata*, *Oryza meridionalis*, *Oryza nivara*, *Oryza punctata*, *Oryza rufipogon* and *Oryza sativa Indica* as reference. Furthermore, the software snoReport was included to annotate snoRNAs (C/D and box H/ACA box), a specific type of order ncRNA. Finally, we developed a case study for the species *Oryza sativa Japonica*.

Keywords: non-coding RNA, multiagent system, automated reasoning, ncRNA-Agents, snoReport, snoRNA, Bioinformatics

Sumário

1	Introdução	1
1.1	Motivação	2
1.2	Problema	3
1.3	Objetivos	3
1.4	Descrição dos capítulos	3
2	Biologia Molecular	4
2.1	Considerações iniciais	4
2.2	Ácidos nucleicos	5
2.2.1	DNA	5
2.2.2	RNA	6
2.2.3	Aminoácidos	6
2.2.4	Dogma Central da Biologia Molecular	6
2.3	RNAs não-codificadores	10
2.3.1	Tipos	10
2.3.2	Estrutura	13
3	Agentes e Sistemas Multiagentes	15
3.1	Agentes	15
3.2	Sistemas Multiagentes	17
3.2.1	Caracterização do Ambiente	19
3.2.2	Protocolo de Comunicação	20
3.2.3	Protocolo de Interação	20
3.3	Ferramentas computacionais	21
3.3.1	JADE	22
3.3.2	Drools	22
4	ncRNA-Agents	24
4.1	Ferramentas	24
4.1.1	BLAST	24

4.1.2	Infernal	25
4.1.3	tRNAscan-SE	25
4.1.4	Vienna	25
4.1.5	snoReport	25
4.2	Bancos de Dados	26
4.3	Descrição do ncRNA-Agents	26
4.3.1	Arquitetura	27
4.3.2	Detalhes de implementação	29
4.3.3	Resultados gerados pelo ncRNA-Agents	31
5	Extendendo o ncRNA-Agents	35
5.1	Inclusão do snoReport	35
5.2	Criando nova instância para o reino <i>Plantae</i>	37
6	Resultados	39
6.1	O gênero <i>Oryza</i>	39
6.2	Dados da <i>Oryza sativa Japonica</i>	40
6.3	Anotação	41
6.4	Anotação de ncRNAs da <i>Oryza sativa Japonica</i>	41
6.5	Conclusões	44
6.5.1	Contribuições	44
6.5.2	Trabalhos futuros	44
7	Conclusões e Trabalhos Futuros	48
7.1	Contribuições	48
7.2	Trabalhos futuros	48
	Referências	49
	Anexo	52
I	Lista de anotação de snoRNAs	53

Lista de Figuras

2.1	Representação de dois tipos de pentoses. A pentose do RNA (a) possui o grupo hidroxila (OH) no carbono 2'. A pentose de DNA (b) possui um átomo de hidrogênio (H) ligado ao carbono 2' [15].	5
2.2	Esquemas do DNA e do RNA, onde ambos possuem uma pentose, fosfato e base nitrogenada [35].	6
2.3	Estrutura molecular dos aminoácidos [39].	7
2.4	Esquema do Dogma Central da Biologia Molecular em organismos eucariotos [24].	8
2.5	Composição dos aminoácidos comumente encontrados na natureza [6]. . . .	9
2.6	Estrutura molecular do RNA transportador [19].	11
2.7	RNAs de uma célula [7].	12
2.8	Representação de uma estrutura de ncRNA [41].	13
2.9	Representação das estruturas de ncRNAs.	14
3.1	Representação de um agente inteligente capaz de atuar sobre o ambiente através de atuadores de acordo com análise dos dados fornecidos pelos receptores (adaptado de [45]).	15
3.2	Representação esquemática de um Sistema Multiagente [4].	17
3.3	Agente com capacidade de comunicação (adaptado de [45]).	21
3.4	Diagrama Drools [12].	23
4.1	Arquitetura do ncRNA-Agents [4]	28
4.2	Regras utilizadas na Camada de Resolução de Conflitos [4].	30
4.3	Página de Resultados.	32
4.4	Página de Resultados com a anotação sugerida pela ferramenta ncRNA-Agents.	32
4.5	Página de Resultados como os resultados da <i>Class Prediction</i> e de Homologia. . .	33
4.6	Página de Resultados com análise da ferramenta Infernal.	33
4.7	Página de Resultados do BLAST.	34
4.8	Página de Resultados com a conformação espacial (gerada pelo RNAfold). . .	34

5.1	Nova arquitetura do ncRNA-Agents, incluindo o snoReport (em destaque)	36
5.2	Regras utilizadas na Camada de Resolução de Conflitos, que simulam o raciocínio dos biólogos para analisar os resultados obtidos das ferramentas do ncRNA-Agents, com a inclusão da nova ferramenta snoReport (em destaque).	38
6.1	Representação morfológica do arroz.	40
6.2	<i>Oryza sativa Japonica</i>	41
6.3	Comparação entre as anotações realizadas pelo ncRNA-Agents e o Padrão Ouro.	44
6.4	Comparação do Padrão Ouro, ncRNA-Agents e Infernal.	45
6.5	Sequências <i>non-protein coding transcript</i> no Padrão Ouro anotadas pelo ncRNA-Agents.	46
6.6	Em (A) é mostrada a sobreposição de miRNAs e snoRNAs, isto é, a estrutura apresentada é um snoRNA H/ACA <i>box</i> (cores amarelo e verde) mas apresenta uma composição de miRNA (cor rosa). Já em (B) um snoRNA sobrepõe-se a um miRNA, onde a estrutura é de um miRNA, mas possui uma sequência de um snoRNA. Deve-se notar que esses snoRNAs e miRNAs foram confirmados experimentalmente [33].	47

Lista de Tabelas

6.1	Número de sequências, anotadas, por cromossomo, da <i>Oryza sativa Japonica</i> . Essas sequências foram filtradas e nenhuma anotação <i>non-protein coding transcript</i> foi considerada. Assim, o Padrão Ouro foi considerado apenas para as sequências anotadas diferentemente de <i>non-protein coding transcript</i>	42
6.2	Comparação dos resultados gerados pelo Padrão Ouro, ncRNA-Agents e Infernal	43
6.3	RUFs no Padrão Ouro anotadas como ncRNAs pelo ncRNA-Agents	43
6.4	Sequências <i>non-protein coding transcript</i> no Padrão Ouro anotadas pelo ncRNA-Agents	46

Capítulo 1

Introdução

O estudo da vida vem ocorrendo desde o início da humanidade, por séculos, através das primeiras ciências desenvolvidas pelo ser humano, tais como a Medicina e a Botânica. A partir dos séculos XVIII e XIX, surgiu a ciência chamada Biologia (“*Bios*” que significa “*vida*” e “*logia*” que significa “*estudo*”). Em 1869, o jovem pesquisador Friedrich Miescher (1844-1895) [9], isolou uma substância ácida, rica em fosfato a partir de núcleos de leucócitos, **que foi denominada *nucleína***. Continuando os estudos sobre *nucleína*, Albrecht Kossel (1853-1927) [30] mostrou que essa substância continha uma parte proteica e um componente não-proteico. Entre 1885 e 1901, 5 compostos orgânicos e não-proteicos foram isolados e descritos: Adenina, Citosina, Guanina, Timina e Uracila. Esses compostos seriam denominados futuramente de ácidos nucléicos ou nucleobases.

Phoebus Aaron Levene descobriu a ribose em 1909 e a desoxiribose em 1929, e que os componentes do recém descoberto *DNA* formavam unidades ligadas na ordem: **Fosfato-Carboidrato-Base (*Nucleotídeos*)** [13]. Com os estudos de Watson e Crick em 1953 [43], foi possível definir uma estrutura de dupla hélice para molécula de DNA, proporcionando assim, uma base para os pesquisadores de todo o mundo compreenderem os mecanismos e funções genéticos dos seres vivos. Com o aprofundamento nos estudos de Watson e Crick, em 1985, Francis Crick propôs o Dogma Central da Biologia Molecular [11], que revela que através da transcrição, determinadas áreas da molécula de DNA, transformam-se em *mRNA* (RNA mensageiro) e este por sua vez é sintetizado em proteína através dos RNAs ribossomal (*rRNA*) e transportador (*tRNA*), pelo processo conhecido como tradução.

Entretanto, a maior parte do conteúdo genoma não resulta na codificação de proteínas. As regiões não codificadoras de proteínas são denominadas ncRNAs (RNAs não-codificadores de proteínas, na década de 80, os ncRNAs eram considerados como RNAs lixo (*junk RNA*) [40], sendo desconsiderados para análise do genoma. A partir do século XXI, o ncRNA começou a ser mais profundamente pesquisado, devido a sua característica de, mesmo sem ser traduzido em proteína, ter papéis importantes nos mecanismos

celulares como regulação.

Com seu início em 1990, o Projeto Genoma Humano [42] foi um esforço multinacional com o objetivo de produzir um mapa físico completo de todos os cromossomos humanos, bem como toda a sequência de DNA de humanos. Genomas de outros organismos, tais como bactérias e leveduras, foram estudadas inicialmente, e permitiram aprimorar técnicas laboratoriais e de computação, posteriormente usadas para o genoma humano.

O projeto recebeu um financiamento de 3 milhões de dólares do Departamento de Energia dos Estados Unidos e do Instituto Nacional de Saúde dos Estados Unidos, e tinha um prazo previsto de 15 anos. Em 2003, o projeto foi concluído com sucesso, com sequenciamento de 99% do genoma humano com uma precisão de 99,99% [21].

Até o início dos anos 90, as metodologias utilizadas para gerar sequências de DNA eram feitas manualmente, demandando um tempo considerável, comparado aos sequenciadores utilizados atualmente. Com o avanço da tecnologia, os sequenciadores automáticos vêm proporcionando detalhes cada vez mais precisos, gerando um enorme volume de dados.

Com os avanços e descobertas em Biologia Molecular, o estudo da vida tornou-se cada vez mais complexo, necessitando de ferramentas que possuam um grande poder computacional para realizar de maneira eficaz as análises requeridas sobre os objetos de estudo.

Para trabalhar com o grande volume de dados científicos dentro da Biologia Molecular, métodos e técnicas de Matemática, Estatística e Ciência da Computação são normalmente utilizados. Neste contexto, surgiu a **Bioinformática**, uma área do conhecimento que utiliza ferramentas e técnicas computacionais para interpretar e analisar informações geradas pelos sequenciadores automáticos [23].

1.1 Motivação

No século XXI, a identificação, classificação e anotação de ncRNAs constituem-se em pesquisas desafiadoras, tanto em Biologia Molecular quanto em Bioinformática, devido às descobertas recentes de que esses ncRNAs exercem diferentes funções e papéis importantes nos mecanismos celulares [16].

Neste contexto, o sistema ncRNA-Agents tem o objetivo de anotar ncRNAs, baseando-se em sistema multiagente (SMA) e simulando o raciocínio dos biólogos por regras declarativas [4].

1.2 Problema

O ncRNA-Agents é um sistema de anotação de ncRNAs, que ainda não possui ferramentas específicas para snoRNAs (responsáveis por modificações em outros RNAs durante a maturação desses). Por sua característica de interagir com outros ncRNAs, os snoRNAs mostram-se candidatos importantes a serem observados pelo ncRNA-Agents.

O ncRNA-Agents contém informações unicamente de organismos do reino *Fungi*, impossibilitando assim que o sistema avalie informações de entrada de outros reinos.

1.3 Objetivos

O objetivo geral deste projeto é propor e implementar extensão do ncRNA-Agents para identificar ncRNAs o reino *Plantae*. Os objetivos específicos são:

1. Incluir a ferramenta snoReport [18] para anotação de snoRNAs e modificar as regras do raciocínio do sistema de forma adequada;
2. Executar um estudo de caso para o gênero *Oryza*;
3. Analisar os resultados obtidos do estudo de caso.

1.4 Descrição dos capítulos

No Capítulo 2, são apresentados os conceitos básicos de Biologia Molecular e Bioinformática. Em seguida, são explorados detalhes, de ncRNAs.

No Capítulo 3, são apresentadas definições de agentes e sistema multiagentes.

No Capítulo 4, é descrito o sistema ncRNA-Agents.

No Capítulo 5, são apresentadas as alterações realizadas no ncRNA-Agents, em particular, é mostrado como o *software* snoReport foi incluído e quais foram os bancos de dados incluídos.

No Capítulo 6, são discutidos os resultados do estudo de caso para a espécie *Oryza sativa Japonica*, são mostradas as contribuições deste trabalho e sugeridos trabalhos futuros.

Capítulo 2

Biologia Molecular

Neste capítulo discutimos conceitos básicos de Biologia Molecular, necessário ao entendimento deste projeto. Na Seção 2.1, fazemos algumas considerações sobre a área. Na Seção 2.2, detalhamos ácidos nucleicos, proteínas e o Dogma Central da Biologia Molecular (síntese de proteínas). Por fim, na Seção 2.3, detalhamos RNAs não-codificadores.

2.1 Considerações iniciais

Como dito antes, na década de 1990, iniciou-se o Projeto Genoma Humano (PGH), com o objetivo de estudar o genoma humano [21]. A partir deste projeto, iniciou-se uma interação entre a Biologia Molecular e a Computação que permitiu concluir o PGH.

A Biologia Molecular e a Computação criaram uma nova área científica de análise genômica, a Bioinformática. Uma atividade importante da genômica é a comparação de sequências, tendo em vista que o *DNA* e o *RNA* podem ser modelados como grandes sequências de caracteres, como será visto adiante. Comparar sequências biológicas visa analisar igualdades e diferenças entre elas, considerando que duas sequências similares possivelmente descendem de um ancestral comum, e realizam a mesma função biológica [1].

Assim, a comparação das sequências é a operação primitiva mais importante na Bioinformática, servindo como base para outras análises mais complexas. Esta operação consiste em constatar que partes das sequências são iguais e que partes são diferentes. No entanto, por trás desse conceito aparentemente simples, há uma grande variedade de problemas distintos, com diversas formalizações e, às vezes, exigindo estruturas de dados e algoritmos eficientes, como mostrado por Setubal e Meidanis [34].

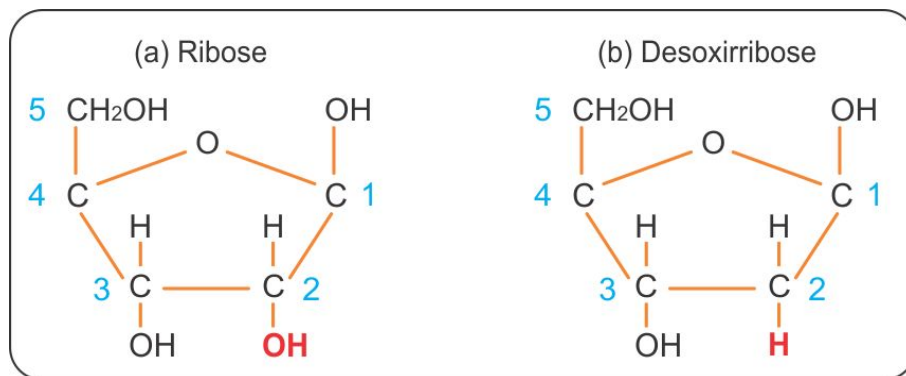


Figura 2.1: Representação de dois tipos de pentoses. A pentose do RNA (a) possui o grupo hidroxila (OH) no carbono 2'. A pentose de DNA (b) possui um átomo de hidrogênio (H) ligado ao carbono 2' [15].

2.2 Ácidos nucleicos

Ácidos nucleicos [43] são macromoléculas (moléculas grandes) compostas por unidades menores (cadeia de nucleotídeos), conhecidas por nucleotídeos, que por sua vez são compostos por:

1. Uma molécula de açúcar (pentose) (Figura 2.1);
2. Um grupamento fosfórico (fosfato);
3. Uma base nitrogenada: Adenina, Guanina, Citosina e Timina (DNA)/Uracila (RNA).

De acordo com Setubal e Meidanis [34], os organismos vivos contêm dois tipos de ácidos nucleicos: ácido ribonucleico, abreviado como RNA, e ácido desoxirribonucleico ou DNA. A Figura 2.1 mostra a representação esquemática do DNA e do RNA.

2.2.1 DNA

As moléculas de DNA têm a forma de uma “escada em espiral” com duas sequências de nucleotídeos se ligando. A pentose tem cinco átomos de carbono numerados de 1' a 5'. Através dos grupos fosfatos é feita a ligação de nucleotídeos para formar uma fita de DNA, possibilitando assim a ligação do carbono 3' de um nucleotídeo a um grupo fosfato, que se liga a outro nucleotídeo através do carbono 5'. Por esse motivo, há a convenção de que os ácidos nucleicos são formados numa direção 5' → 3', adotada como direção canônica. As duas fitas ficam unidas pela junção das bases complementares A/T, C/G

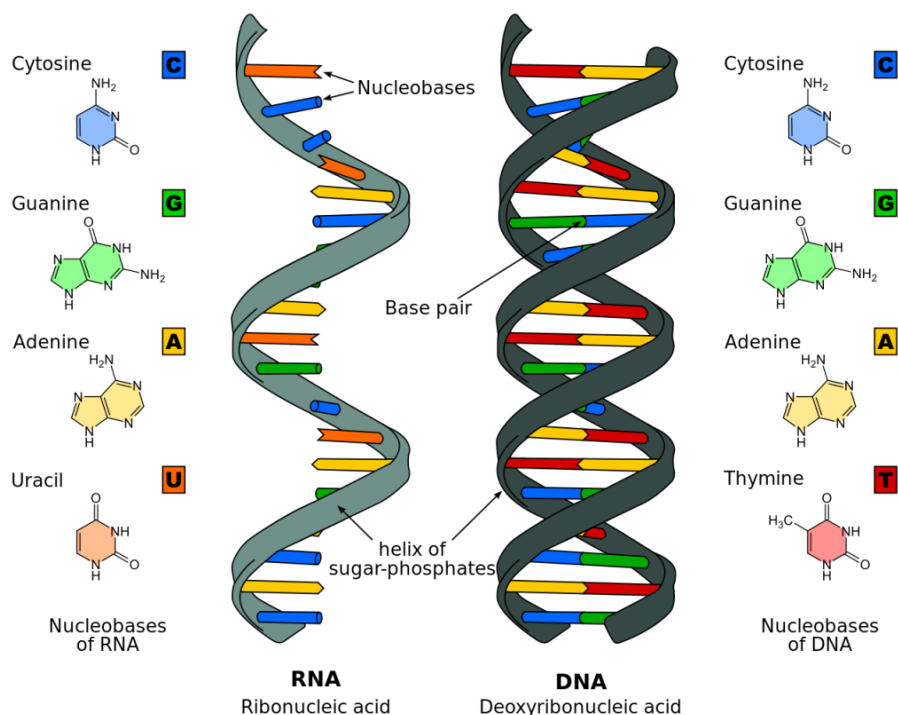


Figura 2.2: Esquemas do DNA e do RNA, onde ambos possuem uma pentose, fosfato e base nitrogenada [35].

2.2.2 RNA

A estrutura espacial do RNA não tem uma forma bem definida, em geral, é constituída por apenas uma cadeia simples e, diferentemente do DNA, possui uma base nitrogenada *uracila* em vez da base *timina*, como representado na Figura 2.2.

2.2.3 Aminoácidos

A partir do DNA, são formados os aminoácidos, que contêm os grupos funcionais amino e ácido carboxílico, ambos ligados a um único átomo de carbono, denominado de carbono- α (carbono alfa).

Aminoácidos constituem as proteínas, que são macromoléculas, responsáveis grande parte das funções biológicas realizadas em um organismo. As proteínas são formadas a partir de 20 tipos de aminoácidos, ilustradas na Figura 2.3.

2.2.4 Dogma Central da Biologia Molecular

O *Dogma Central da Biologia Molecular*, proposto por Francis Crick em 1985 [11], explica como ocorre o fluxo de informações do código genético em organismos. Esse modelo mostra

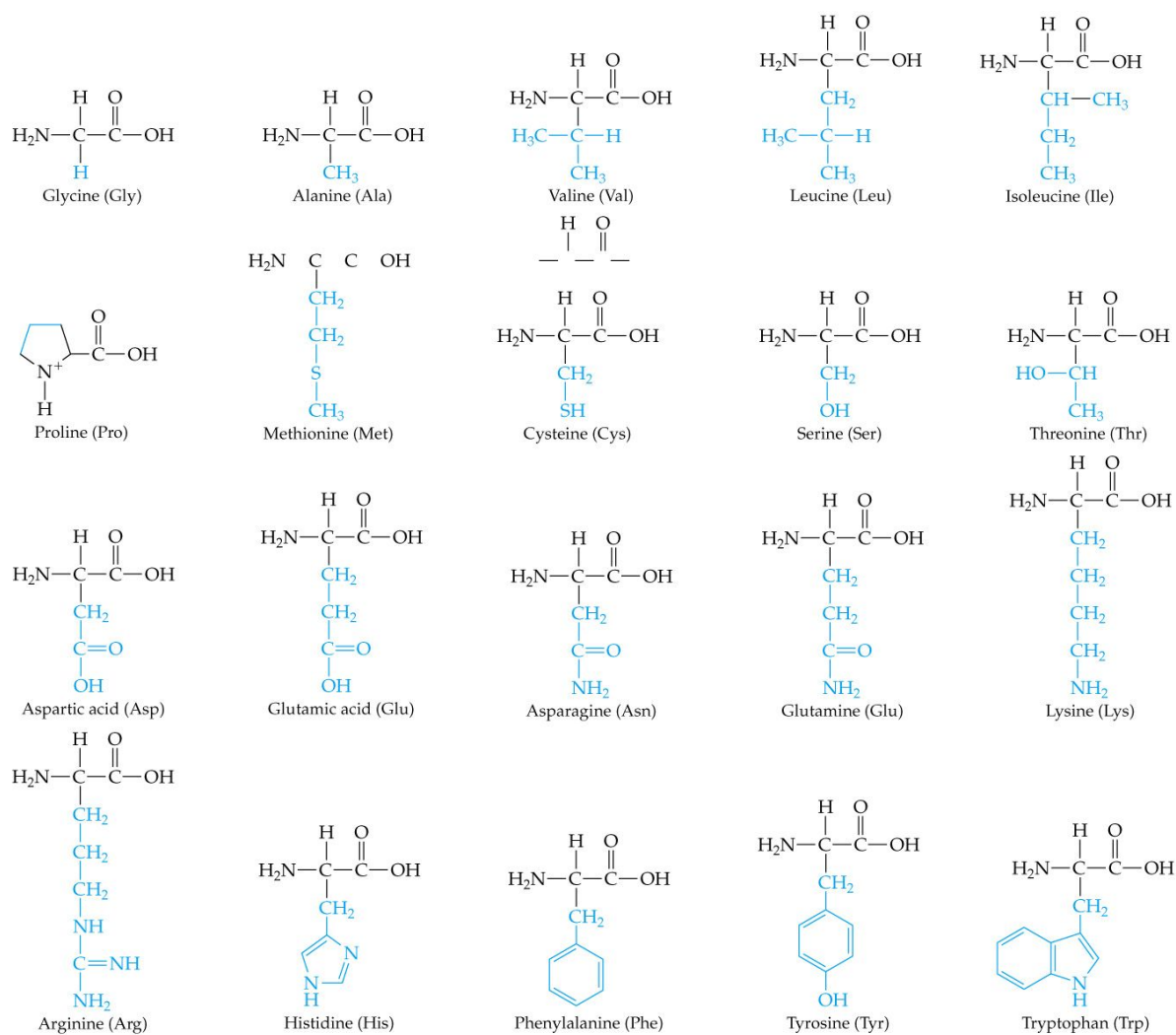


Figura 2.3: Estrutura molecular dos aminoácidos [39].

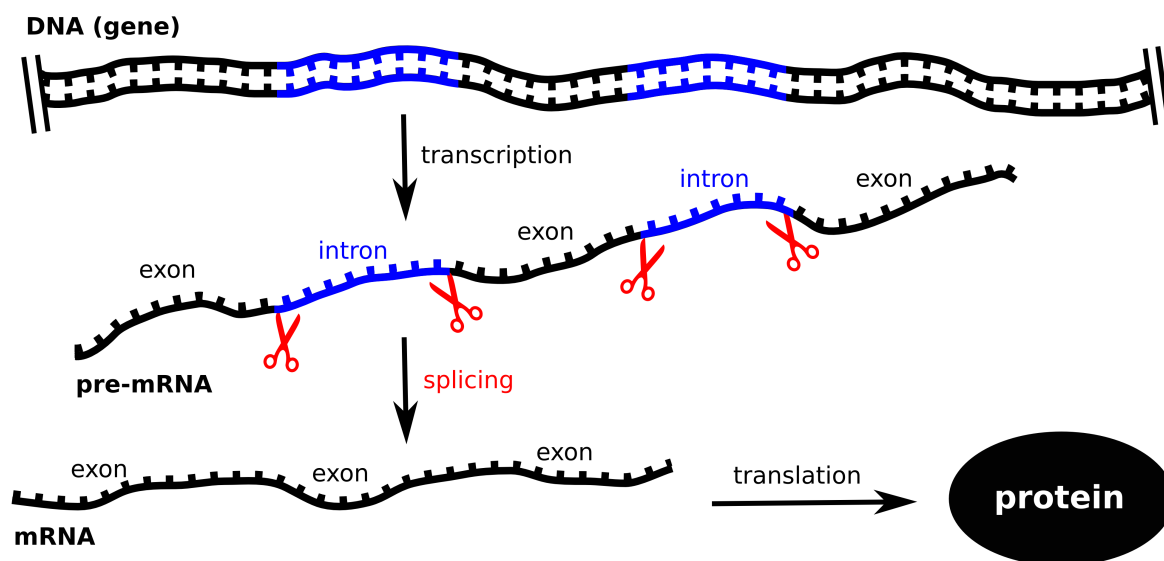


Figura 2.4: Esquema do Dogma Central da Biologia Molecular em organismos eucariotos [24].

principalmente que uma sequência de DNA pode formar uma proteína, com auxílio de diferentes atividades de RNAs. Segundo esse dogma, o fluxo da informação genética segue no sentido DNA→proteína, conforme mostrado na Figura 2.4. Porém, algumas mudanças já foram propostas no modelo original. Isso ocorreu em razão de hoje se saber, por exemplo, que nem todos os RNAs produzem proteínas.

Em mais detalhes, a expressão de uma proteína começa no DNA, onde está contida a informação genética, que pode ser transcrita em moléculas de RNA. No processo de transcrição, um pedaço da molécula de DNA serve como molde para a criação de uma molécula de RNA (RNA mensageiro - *mRNA*). O *mRNA* guia a produção de um aminoácido via o RNA transportador (*tRNA*) que, em uma ponta possui três bases (*codón*), e na outra ponta o aminoácido correspondente. No processo de transcrição, se o organismo for procarioto, o RNA mensageiro já estará pronto para sintetizar uma proteína. Se for um organismo eucarioto, o *splicing* irá ocorrer. O processo de *splicing* consiste na retirada de *íntrons* e na ligação das regiões codificadoras (*éxons*). A sequência de aminoácidos (Figura 2.5) produzida pelos *tRNAs* formam as proteínas. O processo de geração de aminoácidos - tradução, a partir de um *codón*, ocorre no ribossomo, uma estrutura formada por RNAs ribossomais (*rRNA*). A tabela do Código da Vida (Figura 2.4) mostra a relação *códons* e aminoácidos.

Observa-se também que o DNA pode sofrer um processo de replicação, em que uma molécula de DNA é capaz de formar outra molécula idêntica à original. Hoje também se sabe que uma molécula de RNA pode produzir DNA. Chamamos esse processo de

Primeira base	Segunda base				Terceira base
	U	C	A	G	
U	UUU } Fen	UCU } Ser	UAU } Tir	UGU } Cis	U C A G
	UUC } Leu	UCC } Ser	UAC } Fim	UGC } Fim	
	UUA } Leu	UCA } Ser	UAA } Fim	UGA } Fim	
	UUG } Leu	UCG } Ser	UAG } Fim	UGG } Trp	
C	CUU } Leu	CCU } Pro	CAU } His	CGU } Arg	U C A G
	CUC } Leu	CCC } Pro	CAC } Gln	CGC } Arg	
	CUA } Leu	CCA } Pro	CAA } Gln	CGA } Arg	
	CUG } Leu	CCG } Pro	CAG } Gln	CGG } Arg	
A	AUU } Ile	ACU } Tre	AAU } Ans	AGU } Ser	U C A G
	AUC } Ile	ACC } Tre	AAC } Lis	AGC } Ser	
	AUA } Met	ACA } Tre	AAA } Lis	AGA } Arg	
	AUG } Met	ACG } Tre	AAG } Lis	AGG } Arg	
G	GUU } Val	GCU } Ala	GAU } Asp	GGU } Gli	U C A G
	GUC } Val	GCC } Ala	GAC } Glu	GGC } Gli	
	GUA } Val	GCA } Ala	GAA } Glu	GGA } Gli	
	GUG } Val	GCG } Ala	GAG } Glu	GGG } Gli	

Figura 2.5: Composição dos aminoácidos comumente encontrados na natureza [6].

transcrição reversa e ele acontece principalmente em retrovírus. Eles possuem uma enzima denominada retrotranscriptase reversa, que transcreve o RNA para o DNA [20].

O DNA complementar (cDNA) é o DNA sintetizado a partir de uma molécula de mRNA, que já sofreu o processo de *splicing*, cujos *íntrons* já foram removidos do DNA. A inexistência de *íntrons* facilita a determinação direta da sequência do DNA codificado e a dedução da sequência de aminoácidos da proteína por ela codificada ou do ncRNA [10].

2.3 RNAs não-codificadores

Nesta seção, descrevemos RNAs não-codificadores (ncRNAs) com mais detalhes.

2.3.1 Tipos

NcRNAs são RNAs funcionais que não são traduzidos para proteínas. Um sinônimo menos utilizado é RNA não-codificador de proteína. Classes de ncRNAs podem ser distinguidas por suas funções, que dependem diretamente da estrutura e comprimento das suas moléculas, e da composição da sua sequências.

Os ncRNAs tendem a dobrar-se de formas diferentes em suas estruturas secundárias, provavelmente os RNAs precisam dessa estrutura para serem funcionais, notando-se que essas estruturas são pequenas. Um exemplo mais conhecido da classe que precisa de uma estrutura para ser funcional são os RNAs transportadores (tRNAs) [27] (Figura 2.6).

A classificação de ncRNAs é feita, em geral, de acordo com suas funcionalidades, o que permite entender o papel que os ncRNAs realizam nos mecanismos celulares. O número de famílias atualmente conhecidas já ultrapassa 2.450 [16], embora mesmo quando uma função seja conhecida, os mecanismos moleculares subjacentes sejam ainda mal compreendidos.

Na década de 80, os ncRNAs eram considerados como RNAs lixo (*junk* RNA) [40], sendo desconsiderados para análise do genoma. A partir do século XXI o ncRNA começou a ter um espaço maior na área de estudo, devido a sua característica de, mesmo sem ser traduzido em proteína, participar da montagem e controle celular.

A Figura 2.7 mostra uma classificação geral de RNAs, dos quais são citados a seguir. Em seguida citamos alguns tipos específicos de ncRNAs [4].

1. RNA transportador (tRNA): é utilizado como molécula transportadora de informação de cada códon componente do mRNA em um aminoácido específico, a ser adicionado à proteína sendo formada. Desempenha sua função através de duas regiões, o anticódon que é responsável pelo reconhecimento de códons específicos do mRNA, e o aminoácido correspondente ao códon;

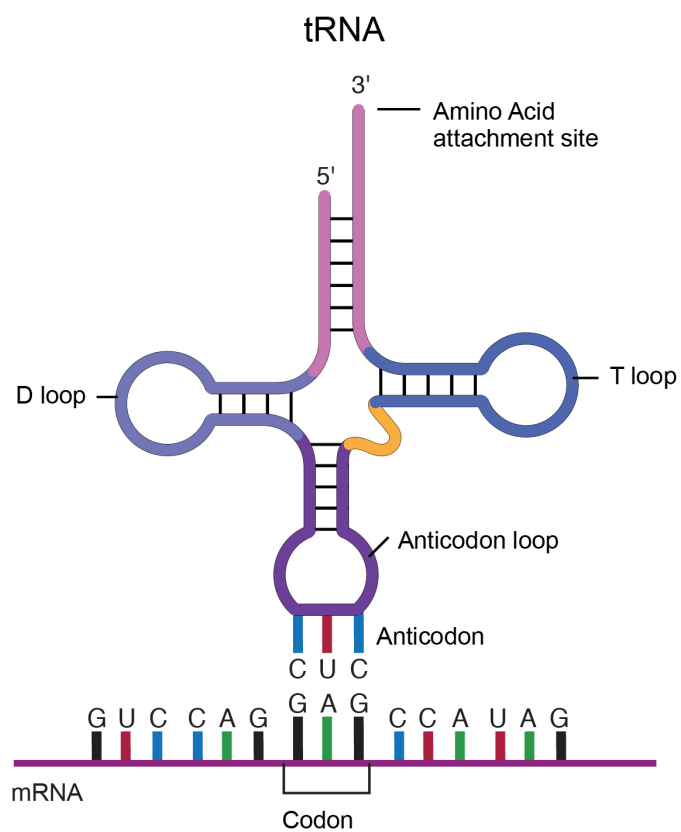


Figura 2.6: Estrutura molecular do RNA transportador [19].

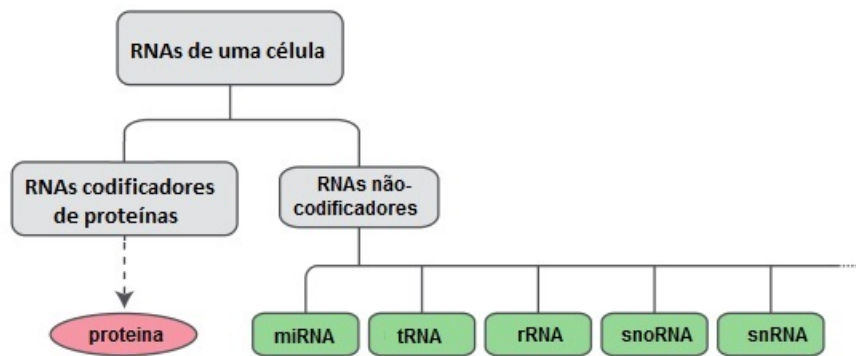


Figura 2.7: RNAs de uma célula [7].

2. RNA ribossomal (rRNA): Componente central do ribossomo, sua função é providenciar um mecanismo para decodificar o mRNA em aminoácidos e interagir com os tRNAs durante a tradução;
3. *Small nuclear RNA* (snRNA): Encontrado no núcleo da célula, envolve-se no processo de *splicing* do pré-mRNA, em que os íntrons de um transcrito primário são eliminados, levando a um mRNA maduro;
4. *Small nucleolar RNA* (snoRNA): Classe de pequenas moléculas que fazem modificações químicas no rRNA, e em outros ncRNAs como o tRNA, com o objetivo de promover a maturação desses ncRNAs, transformando-os em moléculas ativas;
5. *Small Cajal body-specific RNA* (scaRNA): Classe de snoRNAs que estão localizadas especificamente no “*Cajal body*”. Há evidências de scaRNAs compostos por snoRNAs tanto H/ACA box quanto C/D box. Como por exemplo, snoRNA U85
6. MicroRNA (miRNA): São moléculas complementares a uma ou mais moléculas de mRNA, sua função principal é silenciamento pós-transcricional, pareando-se com mRNAs para regular sua tradução e estabilidade;
7. *Small interfering RNA* (siRNA): Reduz a expressão de genes codificadores, degradando o mRNA maduro;
8. *Piwi-interacting RNA* (piRNA): Pequenas moléculas de RNA existente nas células dos mamíferos, também estão relacionados com a regulação gênica;
9. *Small non-messenger RNAs* (snmRNAs): Possuem a função de regulação.

2.3.2 Estrutura

Os componentes estruturais Figura 2.8 formados pelo pareamento entre as bases nos ncRNAs são conhecidos como:

1. talo (*stem*): Contém pares de bases complementares [4];
2. alça (*loop*): Local de não pareamento das bases [4];
3. grampo (*hairpin*): Um *loop* encerrado por uma hélice [4].

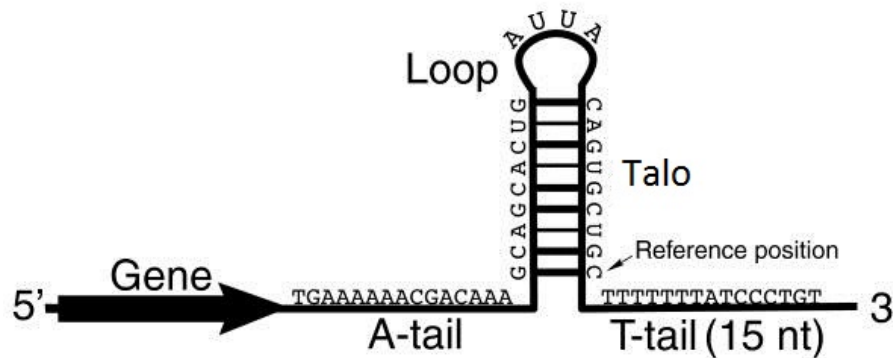


Figura 2.8: Representação de uma estrutura de ncRNA [41].

Para facilitar o entendimento das estruturas das moléculas de ncRNAs, várias abstrações foram criadas. Atualmente três formas são utilizadas para representá-las, conforme a Figura 2.9 mostra:

- Estrutura primária: a sequência de bases que define a molécula. Essa sequência é gerada pelos sequenciadores automáticos;
- Estrutura secundária: pode-se representá-la em 2D, equivale às ligações entre os pares de bases complementares;
- Estrutura terciária: representação espacial 3D de um RNA.

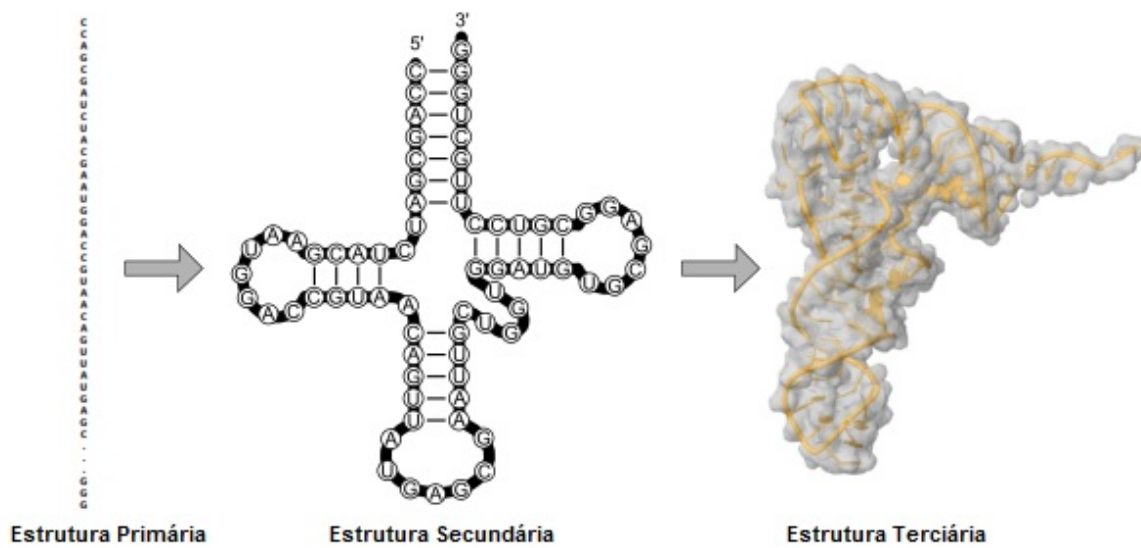


Figura 2.9: Representação das estruturas de ncRNAs.

Capítulo 3

Agentes e Sistemas Multiagentes

Neste capítulo, discutimos conceitos básicos de agentes (Seção 3.1) e de sistemas multiagentes (Seção 3.2).

3.1 Agentes

Um agente é capaz de perceber o ambiente em que se encontra por meio de sensores e de agir sobre esse ambiente através de atuadores, como visto na Figura 3.1.

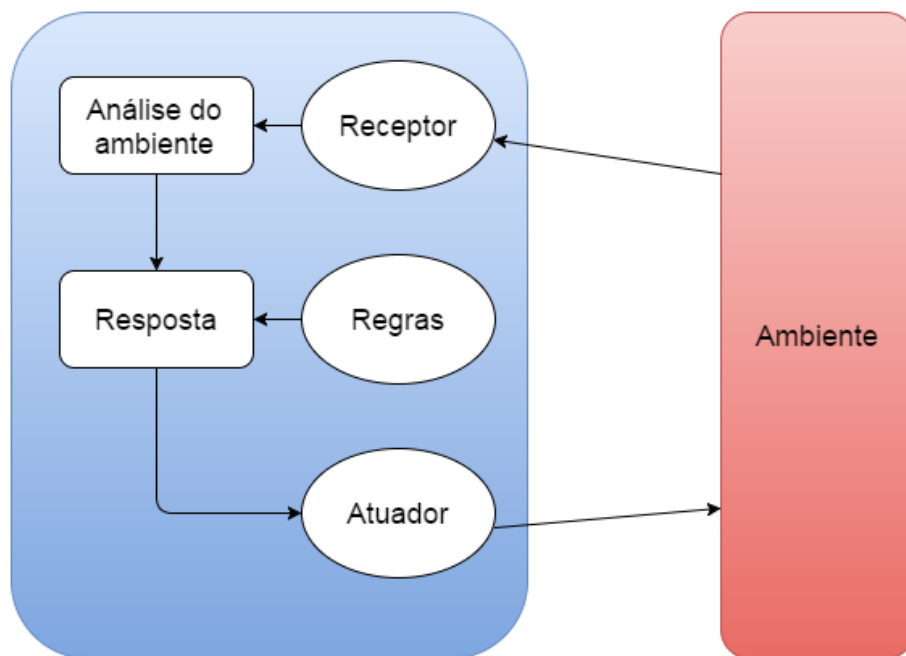


Figura 3.1: Representação de um agente inteligente capaz de atuar sobre o ambiente através de atuadores de acordo com análise dos dados fornecidos pelos receptores (adaptado de [45]).

Um agente é uma entidade capaz de executar um conjunto de operações que lhes foram incumbidas por um usuário ou outro programa, com algum grau de independência ou autonomia e, executando estas operações, emprega algum conhecimento dos objetivos ou desejos do usuário. As principais capacidades de um agente inteligente, de acordo com [45], são:

- Autonomia: os agentes inteligentes são capazes de trabalhar de maneira independente no ambiente em que estão inseridos, aprender por experiência e alterar seu comportamento;
- Reatividade: os agentes inteligentes são capazes de perceber seu ambiente, e responder em tempo hábil às mudanças que ocorrem nele, a fim de satisfazer seus objetivos de projeto;
- Proatividade: os agentes inteligentes podem mostrar um comportamento com foco em seus propósitos, reconhecendo oportunidades e tomando iniciativa, a fim de satisfazer seus objetivos de projeto;
- Habilidade social: os agentes são capazes de interagir com outros agentes e ambientes a fim de satisfazer seus objetivos, através de protocolos de comunicação.

O ambiente em que o agente se localiza pode exigir mais ou menos racionalidade do agente. Os tipos básicos de agentes que incorporam os princípios de sistemas baseados em agentes inteligentes são [45]:

- reativo simples: é o agente mais simples pois ele escolhe uma ação pré-determinada para atuar no ambiente em que está inserido de acordo com suas percepções;
- reativo baseado em modelo: é capaz de lidar com ambientes parcialmente observáveis. Possui um estado interno baseado no histórico das percepções de maneira a conseguir refletir os aspectos não observados pelo estado atual, sua percepção vigente é combinada com um estado interno salvo anteriormente para gerar a descrição atual do ambiente;
- baseado em objetivo: a partir de um estado interno, possui um conjunto de objetivos alcançáveis. As ações são tomadas baseadas nos objetivos e levando em consideração o ambiente em que o agente se encontra.
- baseado em utilidade: procura atingir um grau de satisfação com o mundo em que se encontra, isto é, o agente procura a “felicidade” de acordo com uma função de utilidade, que irá atribuir um determinado grau de satisfação (“feliz” ou “infeliz”) ao agente no momento.

- baseado em aprendizado: são mantidas as percepções passadas do ambiente e as que poderão ser utilizadas. Possui um *feedback* crítico que indica como o agente esta atuando no ambiente e determina suas modificações para atuar no futuro.

3.2 Sistemas Multiagentes

Sistemas Multiagente (SMA) incluem diversos agentes que interagem ou trabalham em conjunto, podendo compreender agentes de tipo homogêneo ou heterogêneo.

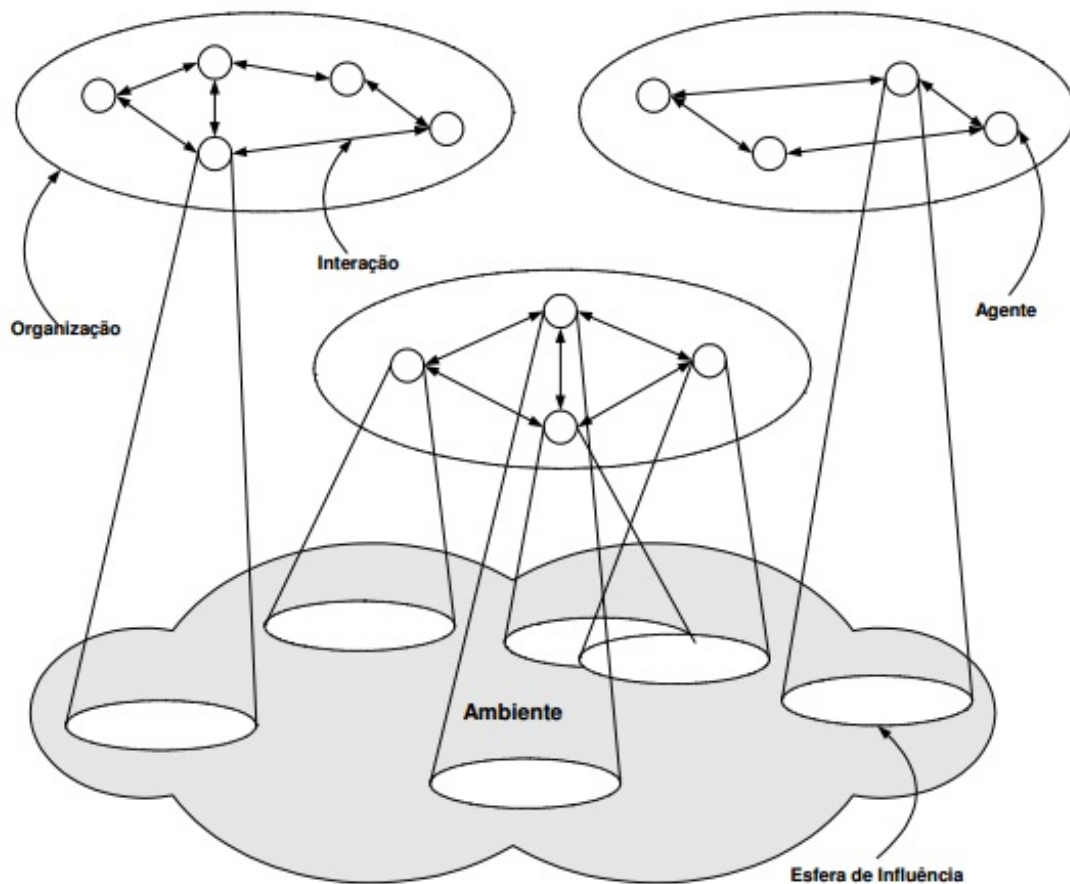


Figura 3.2: Representação esquemática de um Sistema Multiagente [4].

Cada agente opera assincronamente com respeito aos outros. Para que um agente possa operar como parte do sistema, faz-se necessária a existência de uma infraestrutura que permita a comunicação e interação entre os componentes do SMA, podendo ser feita de forma direta (comunicação explícita) ou de modo indireto (emissão de sinais através do ambiente). Uma organização define todas as restrições aplicadas aos agentes pertencentes a uma determinada sociedade, ou seja, os meios que o projetista do sistema pode garantir

que cada agente alcançará a resolução dos problemas propostos [28]. Existem dois tipos de SMAs, reativos e cognitivos, descritos em seguida.

Sistema Multiagente Reativo

Os agentes reativos são muito simples e não possuem uma representação explícita do estado do ambiente e dos outros agentes, nem de suas ações passadas, sendo que suas reações dependem unicamente da percepção do ambiente. O SMA reativo concebe o problema como sendo um conjunto de agentes interagindo/comunicando entre si, onde cada um destes possui seus objetivos individuais. Uma forma usual de representar os comportamentos dos agentes é por meio de um conjunto de regras que mapeiam percepções do ambiente diretamente em ações.

O SMA reativo é um sistema baseado em modelo de organização biológica ou etológica (comportamental) tais como: formigas, cupins, abelhas, entre outros. O SMA reativo funciona por meio da ação-reação. As principais características deste tipo de agente e dos sistemas multiagentes reativos são:

- Conhecimento do ambiente não representado de forma explícita: o agente tem seu conhecimento implícito em regras de comportamento e sua manifestação se expressa através do seu comportamento em interação com o ambiente e/ou outros agentes;
- Estado do ambiente não representado internamente: o comportamento de cada agente tem como base a percepção ao receber estímulos do ambiente, mas o agente não tem representação interna explícita do estado do ambiente;
- Registro/memória das ações inexistentes: não mantém um histórico das ações, assim, o resultado de uma determinada ação passada não irá influenciar diretamente na decisão de uma ação que possa ocorrer no futuro;
- Organização etológica: é similar à observada por animais que vivem em grandes comunidades, como formigas e cupins;
- Grande quantidade de membros: em geral, possuem um grande número de agentes, com populações que podem alcançar milhares de membros.

Sistema Multiagente Cognitivo

Os agentes cognitivos podem interagir com os demais membros da sua comunidade através de linguagens e protocolos de comunicação, utilizando-se de estratégias sofisticadas de negociação.

O SMA cognitivo é baseado em modelos de organização social de sociedades humanas, como: grupos, hierarquias, mercados. Esse tipo de agente possui uma representação

concreta do ambiente e dos membros que estão na comunidade e podem raciocinar sobre as ações que foram tomadas no passado e assim planejar as ações a serem tomadas no futuro. As principais características associadas ao SMA cognitivos são:

- Estado do ambiente e de outros agentes representados de forma explícita e agentes que podem interagir entre si em sociedade;
- Graças a memória, são capazes de planejar suas ações futuras devido a sua capacidade de *lembrar* de ações passadas;
- Utiliza a percepção para examinar o ambiente, e o mecanismo de comunicação que permite a troca de mensagens entre os agentes. A comunicação entre os agentes pode ser feita de modo direto, com o envio e o recebimento de mensagens;
- Agentes cognitivos podem raciocinar e decidir em conjunto sobre quais ações devem executar, quais planos seguir e quais objetivos devem alcançar;
- Baseiam-se em modelos sociológicos, como organizações humanas;
- Usualmente um SMA cognitivo contém algumas dezenas de agentes.

3.2.1 Caracterização do Ambiente

Em Weyns e Holvoet [44] encontramos a definição de ambiente como a qual fornece as condições para os agentes existirem, além de controlar o acesso entre eles e o acesso aos recursos. Os ambientes provêm informações, as quais são captadas pelos receptores dos agentes. Os ambientes podem ser classificados quanto a suas propriedades:

- Acessível ou inacessível: o ambiente acessível é aquele no qual o agente pode obter informações completas, precisas e atualizadas sobre o seu estado. Quanto mais acessível um ambiente for, mais simples será o projeto e a construção do agente, mas a maioria dos ambientes de mundo real não são totalmente acessíveis. Caso um ambiente não seja acessível ele é considerado inacessível;
- Determinístico ou não-determinístico: o ambiente determinístico é aquele no qual uma ação possui um único efeito possível. Quando não é possível prever o estado que o ambiente assumirá após a execução de uma ação, dizemos que o ambiente é não-determinístico. O não-determinístico pode encerrar incertezas sobre os estados resultantes da execução de ações;
- Estático ou dinâmico: o ambiente é estático para um agente quando permanece inalterado até o momento em que ele executa alguma ação. Em um ambiente dinâmico,

além das ações desempenhadas pelos agentes, existem processos que operam sobre o ambiente, alterando o estado do mesmo de forma dinâmica;

- Discreto ou contínuo: o ambiente discreto é aquele que possui um número fixo ou finito de estados a serem percebidos e correspondentes ações. Um ambiente contínuo é aquele no qual é possível assumir um número infinito de estados.

3.2.2 Protocolo de Comunicação

Um agente inteligente possui a habilidade para interagir e comunicar com outros agentes que estão no ambiente em que se insere. Sendo assim, uma característica fundamental do SMA é a comunicação. Comunicação é a troca de informação feita pelos agentes de forma intencional com percepção de sinais extraídos de um ambiente compartilhado.

A comunicação tem dois fins principais: *(i)* compartilhamento do conhecimento, informações, crenças com os outros agentes; e *(ii)* coordenação das atividades entre os agentes [4]. Logo, a realização de comunicação que permita atingir essas duas metas, como mostrado na Figura 3.3, requer a definição de uma linguagem comum ou compartilhada com os agentes que estão no ambiente. Uma linguagem de comunicação possui as seguintes características:

- Sintaxe: é a relação existente entre as palavras dentro de uma unidade, usando assim, parte da gramática que contém as regras que são relativas à um conjunto/combinção de palavras em unidades maiores;
- Semântica: é a combinação feita com símbolos e seus respectivos significados, busca-se fazer um estudo sobre o significado para as palavras e dos enunciados;
- Vocabulário: explicação sucinta com definições de uma lista de vocábulos de linguagem, que em geral estão desacompanhadas de sua respectiva definição;
- Pragmática: é o conjunto de regras de ações que define para que a interpretação dos símbolos através da comunicação é feita;
- Modelo de domínio de discurso: é o significado que um conjunto de símbolos que pode assumir depois da interpretação feita dentro de um contexto específico [4]

3.2.3 Protocolo de Interação

Protocolos de interação são usados para especificar o comportamento entre os agentes durante a interação. Com o intuito de garantir uma forma efetiva de operação, faz-se necessário a definição de um protocolo de comunicação e interação. Um protocolo

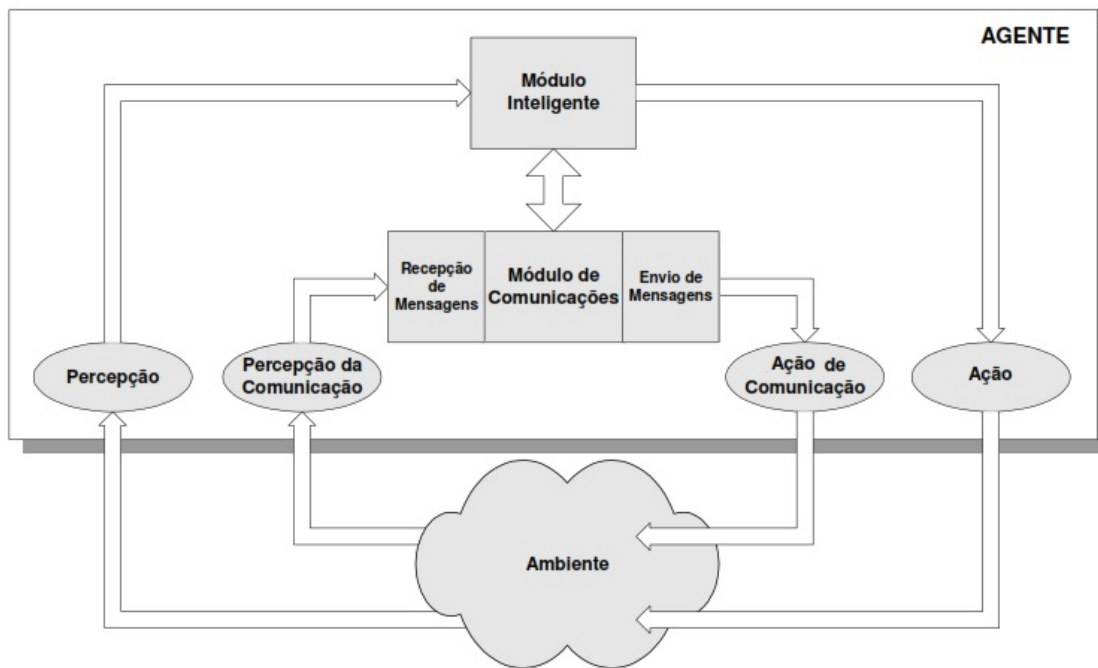


Figura 3.3: Agente com capacidade de comunicação (adaptado de [45]).

de interação denominado de *Agent Communication Language* (ACL), padronizado pela *Foundation for Intelligent Physical Agents* (FIPA) ¹, pode especificar que, quando um agente receber uma mensagem *Request* com um dado pedido, só poderá responder com a mensagem *Not-Understood* (se não percebe algum aspecto da mensagem recebida), ou com a mensagem *Refuse* (se não aceita o pedido que lhe é feito), ou com a mensagem *Agree* (se aceita o pedido que lhe é feito) [4].

A utilização de protocolos de interação auxiliam no projeto de aplicações baseadas em agentes pois permite reduzir o número de alternativas que um agente deve considerar em cada passo da sua interação com outros.

Um importante protocolo usado no ambiente de negociação é o protocolo *Contract net* [36]. O *Contract net* usa uma estrutura descentralizada de negociação, onde seus agentes podem demandar serviços, recursos ou informações para outros agentes.

3.3 Ferramentas computacionais

Nesta Seção, descrevemos brevemente o JADE [5], um *framework* de desenvolvimento de SMAs, e o Drools [12], que permite inferências em base de conhecimento. As ferramentas de bioinformática serão apresentadas no Capítulo 4

¹Organização filiada ao IEEE *Computer Society*, com o objetivo de padronizar a tecnologia orientada a agentes [3]

3.3.1 JADE

JADE (*Java Agent DEvelopment Framework*) [5] é um *middleware* que facilita o desenvolvimento de sistemas multiagentes. A plataforma JADE foi inicialmente desenvolvida pelo grupo de pesquisa e desenvolvimento da Telecom Itália em parceria com a Universidade de Parma, entretanto, há alguns anos passou a ser um projeto da comunidade e se tornou uma tecnologia *open source* (sob as normas da licença *Lesser General Public License* (LGPL)), dentre as mais comuns em utilização hoje. Possui suporte para o desenvolvimento de aplicações, que possui o agente de software como abstração.

Como uma linguagem de programação, seus principais concorrentes são Java e C #, enquanto como um banco de dados compete com outros bancos de dados orientados a objetos e bancos de dados pós-relacional, como Versant, Caché e Matisse, bem como pacotes de software de banco de dados relacionais tradicionais, tais como Oracle e Microsoft SQL Server.

3.3.2 Drools

O Drools [12] é uma ferramenta para construção de bases de conhecimento e de inferência dirigida por padrões. Foi construído para interagir com Java e o conhecimento é obtido de regras declarativas. Uma regra Drools tem uma ou mais condições (ou fatos) que levam a uma ou mais ações (ou consequências). Basicamente, o motor de inferência do Drools oferece a possibilidade de utilização do método de encadeamento progressivo e regressivo. O algoritmo de inferência presente no Drools é o RETE [14], sendo adaptado para sistemas orientados a objetos.

O Drools é composto por: (i) uma máquina de inferência, que é responsável pela execução das regras; (ii) uma memória de trabalho, utilizada para armazenar os fatos gerados pela execução das regras; (iii) uma base de conhecimento, que é o local onde estão contidas as regras que o mecanismo de inferência vai utilizar. Na Figura 3.4, é mostrado o diagrama com os elementos que compõem o Drools.

Com o Drools é possível elaborar regras de negócio declarativas, separar e centralizar as regras de negócio de uma aplicação, e fazer o gerenciamento das regras alterando-as e mudando suas versões dinamicamente [4].

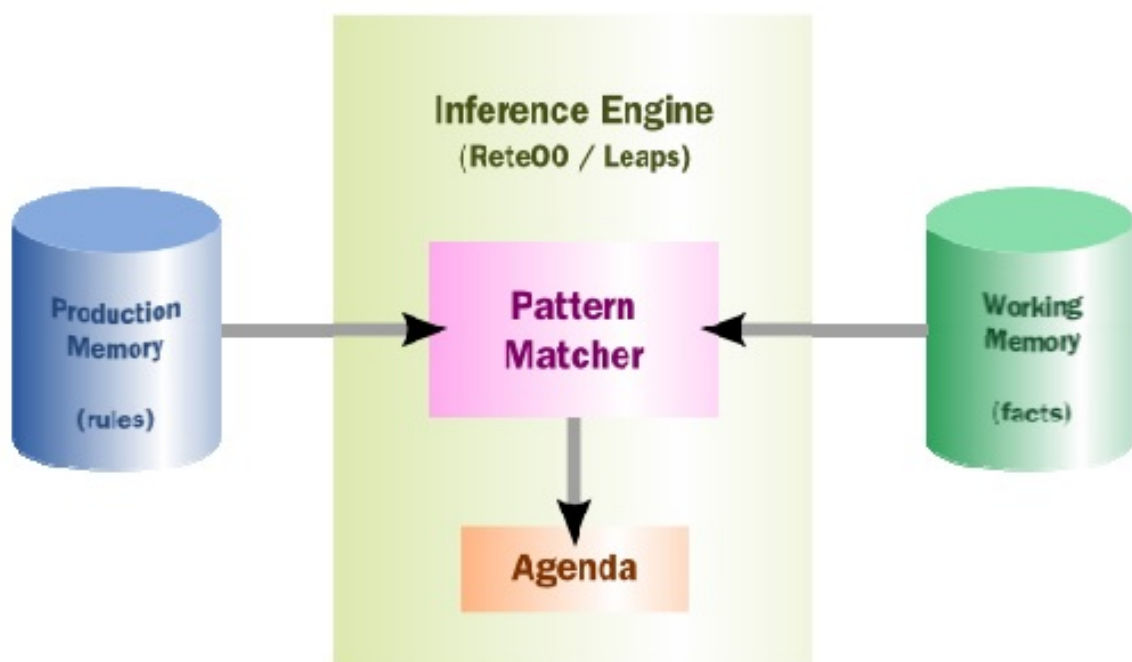


Figura 3.4: Diagrama Drools [12].

Capítulo 4

ncRNA-Agents

Anotar sequências significa descobrir suas funções biológicas, pode ser feito por algoritmos de comparação de sequências (por homologia) ou por extração de características (como tamanho da sequência ou *open reading frame* (ORF)).

Neste capítulo, vamos explorar as ferramentas e bancos de dados para anotar ncRNAs. Na Seção 4.1, discutiremos sobre as ferramentas utilizadas no ncRNA-Agents. Na Seção 4.2, mostramos os bancos de dados utilizados no sistema e, finalmente, na Seção 4.3, mostra-se uma visão sobre a ferramenta ncRNA-Agents.

4.1 Ferramentas

Nesta Seção descreveremos os programas, bancos de dados e pacotes que serão utilizados no sistema de anotação de ncRNAs.

4.1.1 BLAST

O BLAST (*Basic Local Alignment Search Tool*) é bastante utilizado na comparação aproximada entre duas sequências. É um método de alinhamento local, que compara uma sequência com outras sequências com funções já definidas armazenadas em um banco de dados. O BLAST pode ser utilizado para identificar relações evolucionárias, inferir funções ou identificar uma família de genes entre sequências [2]. O BLAST é constituído por vários programas dependendo do tipo da sequência a ser comparada e das sequências armazenadas no banco de dados, podem ser bases (DNA) ou aminoácidos (proteínas):

1. BLASTp: comparação de sequências de aminoácidos com um banco de dados de aminoácidos;
2. BLASTn: comparação de sequências de nucleotídeos com um banco de dados de nucleotídeos;

3. BLASTx: comparação de sequências de nucleotídeos traduzidos em ORFs (*open reading frame*), com um banco de dados de aminoácidos;
4. tBLASTn: comparação de sequências de proteínas com um banco de dados de sequências de nucleotídeos traduzidos em ORFs;
5. tBLASTx: comparação de ORFs de sequências de nucleotídeos com todas as ORFs de um banco de dados de nucleotídeos.

4.1.2 Infernal

O Infernal (*INFERENCE of RNA Alignment*) utiliza uma abordagem baseada em Gramática Estocástica Livre de Contextos (SCFG, *Stochastic Context-Free Grammars*) [4]. Essa ferramenta é capaz de construir perfis de RNA consenso com base em Modelos de Covariância (*Covariance Models*-CM), que são casos especiais de SCFG, projetada para modelar sequências e estruturas de RNA. Utilizando-se do banco de dados Rfam (descrito mais adiante), a ferramenta procura semelhança entre estruturas secundárias das famílias de RNAs e a sequência investigada.

4.1.3 tRNAscan-SE

O tRNAscan-SE combina três programas: dois preditores de tRNAs e um CM treinado com sequências de tRNAs. Os dois primeiros programas são rápidos, mas acarretam em uma taxa de 1.85 falsos positivos, enquanto o CM é lento, mas muito sensível e específico. Assim, os dois primeiros programas são utilizados como um filtro para que só os candidatos filtrados passem a ser analisados pelo Modelo de Covariância [4].

4.1.4 Vienna

Vienna é um pacote de programas que geram ou comparam estruturas secundárias de RNA. Suas ferramentas são capazes de realizar os dobramentos dos RNAs utilizando um algoritmo de predição baseado na energia livre do RNA, e nas probabilidades de pareamentos de bases [4].

4.1.5 snoReport

O snoReport tem a proposta de identificar duas classes principais de *small nucleolar* RNAs (snoRNAs), que são o H/ACA box e o C/D box. Combina a aprendizagem de máquina com a predição da estrutura secundária, utilizando uma máquina de vetores de suporte (SVM) [18] e utiliza emprego do método máquina de vetor de suporte (*Support*

Vector Machine - SVMs) como mecanismo de aprendizagem de máquina, combinado com a ferramenta RNAfold, do pacote Vienna, para predição de estrutura secundária.

O conjunto de treinamento do snoReport, é composto de amostras positivas (sequências das principais classes de snoRNAs, retiradas do banco de dados snoRNABase), e amostras negativas (conjunto de sequências que não são snoRNAs, retirados do miRBase, Rfam e de um conjunto aleatório de sequências). O conjunto de amostras positivas é frequentemente pequeno [18].

4.2 Bancos de Dados

- **NONCODE:** Todos os ncRNAs utilizados pelo NONCODE foram filtrados de maneira automática do GenBank e da literatura e são tratados manualmente [26];
- **RNAdb:** Contém sequências e anotações de ncRNAs de mamíferos, mas em grande parte com ncRNAs com funções ainda desconhecidas [29];
- **miRbase:** Banco de dados contendo miRNAs [25];
- **snoRNA Database:** Contém snoRNAs humanos do tipo H/ACA *box* e C/D *box* [38];
- **Plant snoRNAs Database:** Contém snoRNAs de plantas [37];
- **Rfam:** É uma base de dados curada (revisada e supervisionada) que contém informações de milhares de famílias de ncRNAs [8].

4.3 Descrição do ncRNA-Agents

O ncRNA-Agents utilizou uma classificação genérica de métodos computacionais [4] da seguinte forma:

Homologia

A classe Homologia possui um leque de ferramentas que envolvem predição de ncRNAs feita por meio de comparação de sequências entre duas ou mais espécies. Essas comparações dependem de bancos de dados curados, no sentido de que, quanto melhores forem as anotações do banco, melhores as predições. Dois genes são ditos homólogos se possuem um ancestral comum e, possivelmente, esses genes podem manter a mesma funcionalidade herdada. Sequências homólogas dividem-se em duas classes: ortólogas e parálogas. As ortólogas são sequências relacionadas por especiação, possuindo uma descendência vertical, já as parálogas são sequências relacionadas por duplicação dentro da mesma espécie ou nos ancestrais [4]. As ferramentas importantes para inferir homologia, que usam como

métrica similaridade de sequências (quanto maior a similaridade entre duas sequências, maior a chance delas terem herdado a mesma função), são: BLAST; e o Infernal. Em geral, o BLAST não possui um bom desempenho em descobrir ncRNAs, enquanto o Infernal é mais sensível e específico para anotar ncRNAs.

Predição de Classe

A classe inclui ferramentas de anotação de ncRNAs baseada em métodos de aprendizagem de máquina. No aprendizado supervisionado, pode-se tomar um conjunto conhecido de ncRNAs e um conjunto conhecido de proteínas, calculando características *ab initio* [4] dessas sequências, visando criar um modelo de predição de ncRNAs. Confere ao modelo uma maior confiabilidade.

Modelos *De Novo*

A classe Modelos *De Novo* inclui ferramentas para anotação de ncRNAs criadas a partir de outros modelos, diferentes de homologia e predição de classe. Por exemplo, no modelo termodinâmico, a ordem dos nucleotídeos na sequência primária e as possibilidades de pareamento em uma molécula de RNA de maneira a diminuir a energia livre da estrutura são usadas para prever forma espacial. Uma investigação dessa forma resulta em um conhecimento similar sobre suas propriedades fisiológicas.

4.3.1 Arquitetura

A partir dessa classificação, foi proposta por Arruda *et. al.* [4] a arquitetura mostrada na Figura 4.1.

Descrição das Camadas

A camada de interface recebe uma requisição, composta por uma ou mais sequências, em formato *FASTA*, e pela seleção de um conjunto de ferramentas de anotação. Após o processamento, a camada retorna, para cada sequência, a anotação sugerida ou não como ncRNA, juntamente com os resultados e cálculos feitos pelas ferramentas, que foram utilizadas no processo de raciocínio [4]. A camada de resolução de conflitos decide qual é a melhor recomendação para a anotação de cada sequência, a partir das diversas sugestões recebidas da camada colaborativa. Nesta camada, é simulado o raciocínio do biólogo, que informa essa decisão para a camada de interface. A camada colaborativa é responsável pela execução das diversas ferramentas (escolhidas pelo usuário) para anotar ncRNAs, e pela análise e inferência dos seus resultados. Em seguida envia-se os resultados filtrados para a camada de resolução de conflitos. A camada física é formada por banco de dados biológicos.

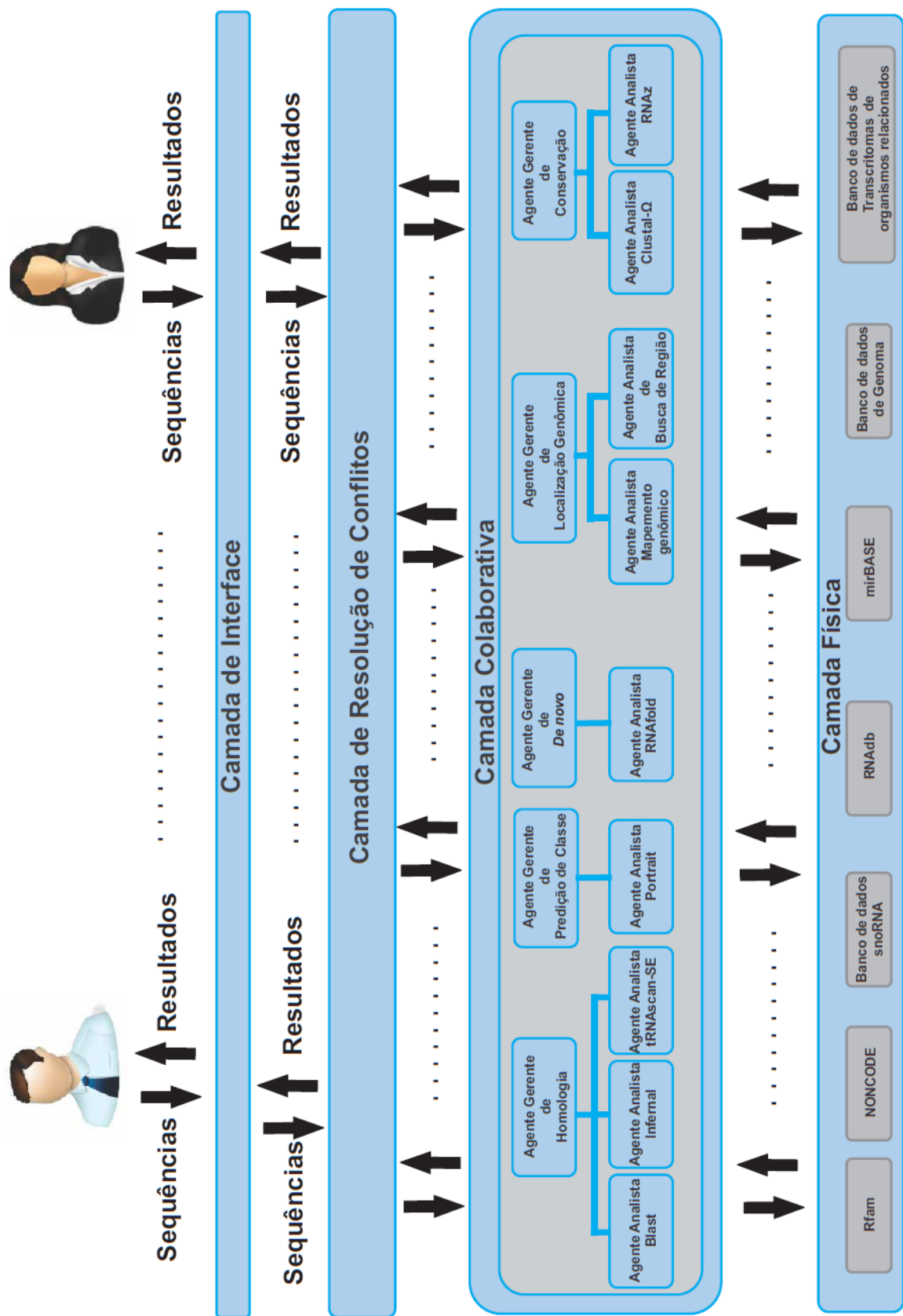


Figura 4.1: Arquitetura do ncRNA-Agents [4]

Descrição dos Agentes

A camada colaborativa possui dois tipos de agentes: Agentes Gerentes e Agentes Analistas. Os Agentes Gerentes realizam análises e inferências nas sugestões enviadas pelos Agentes Analistas. Existem cinco tipos de Agentes Gerentes, três baseados nas classes Homologia, Modelos de Novo e Predição de Classe, e os dois outros gerentes criados para avaliar a anotação recomendada. Esses dois agentes tem a função de remover falsos positivos, ou procurar novos ncNRAs, encontrados a partir da conservação da sequência em organismos relacionados. Os agentes gerentes também simulam o raciocínio dos biólogos [4].

O **Agente Gerente de Homologia** comanda agentes que trabalham com ferramentas baseadas em homologia. O **Agente Gerente de Predição de Classe** comanda os agentes que trabalham com ferramentas baseadas em Aprendizagem de Máquina. O **Gerente De Novo** coordena agentes que trabalham com ferramentas que realizam e buscam informações a partir da própria sequência. O **Agente Gerente de Localização Genômica** comanda agentes que trabalham com ferramentas de alinhamento, resultantes de métodos de comparação de sequências, com o intuito de descobrir se uma sequência pode ser mapeada em um genoma de referência, o que permite verificar se a sequência é de fato um ncRNA. O **Agente Gerente de Conservação** gerencia agentes que trabalham com ferramentas que investigam conservação entre os organismos relacionados. Os **Agentes Analistas** são responsáveis por executar ferramentas específicas para análise de ncRNAs. Cada Agente Analista, criado por solicitação de um agente gerente, executa uma análise (*parse*) para extrair informações do arquivo de saída criado pela ferramenta específica controlada por ele.

A Figura 4.2 mostra a formalização do raciocínio biológico para anotar ncRNAs.

4.3.2 Detalhes de implementação

O ncRNA-Agents foi implementado utilizando o Drools 6.1.0 e o *Framework JADE* versão 4.3.33 para simular o raciocínio dos agentes. Foram utilizadas regras declarativas para a formalização do conhecimento biológico.

Para o Gerente de Homologia, as regras foram criadas para escolher dentre os resultados das ferramentas desse Gerente, BLAST, Infernal e tRNAscan. O melhor resultado é enviado para a Camada de Resolução de Conflitos. O tRNAscan verifica se existem bons alinhamentos, escolhendo o melhor escore entre eles. O BLAST procura por um alinhamento com $e\text{-value} \leq 10^{-5}$. Já o Infernal analisa o alinhamento com escore ≥ 34 . A recomendação de anotação segue a ordem de resultados dados por Infernal, tRNAscan e BLAST, caso algum resultado seja encontrado de acordo com os valores pré-definidos.

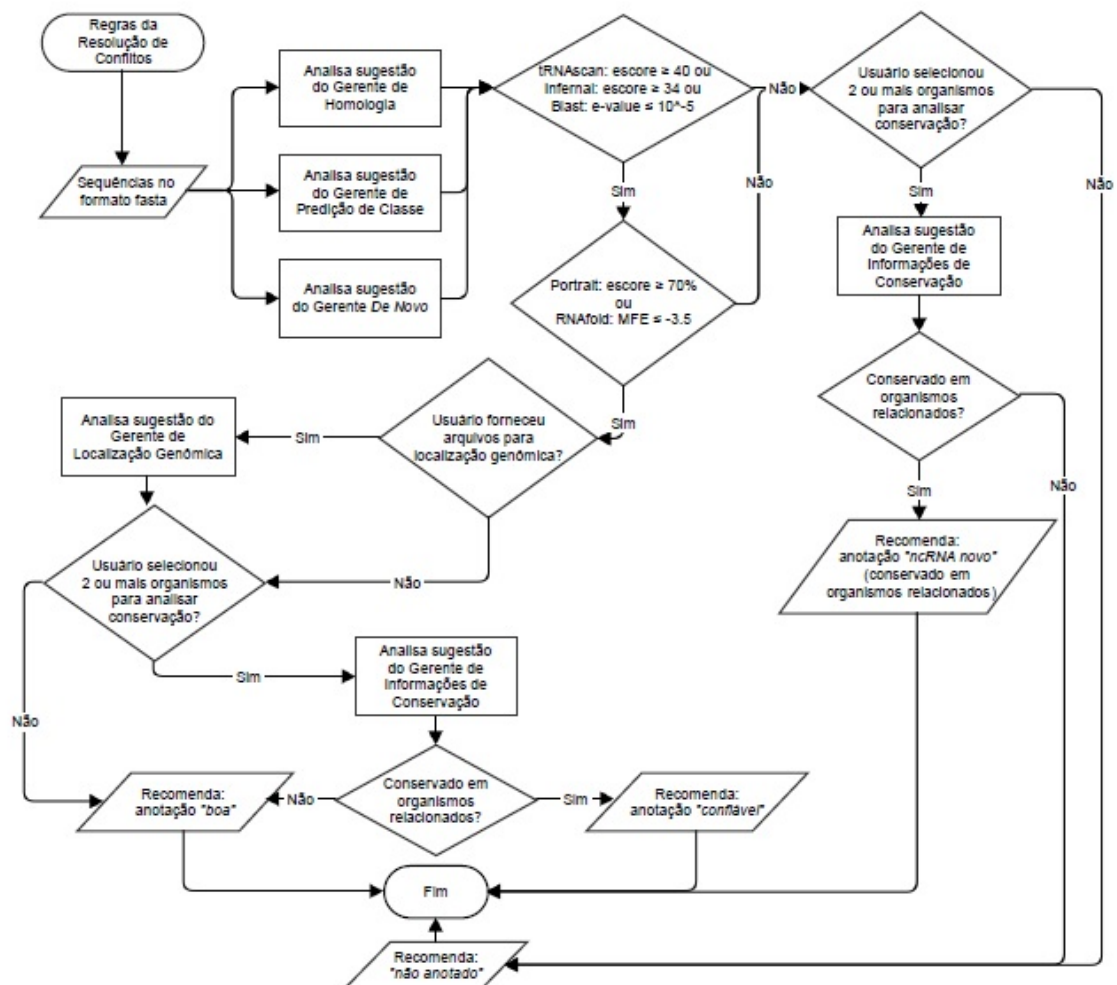


Figura 4.2: Regras utilizadas na Camada de Resolução de Conflitos [4].

Interface


No ncRNA-Agents, a interface com o usuário foi criada através de um projeto Web. A interface permite ao usuário informar as sequências no formato *fasta* e definir os parâmetros de execução, tais como ferramentas e banco de dados de ncRNAs. Após a configuração feita pelo usuário, a validação dos parâmetros selecionados é realizada e, em caso de sucesso, uma requisição será criada e submetida para o sistema.

Caso a requisição tenha parâmetros inválidos, uma mensagem de erro será exibida para o usuário, destacando os campos onde foram encontrado erros. A interface também permite que o usuário acesse uma requisição já existente, na aba *Fetch request*, que tenha o status de concluída ou em andamento. A aba *Case Study* fornece a opção de consultar estudos de caso já realizados [4].


Com a requisição submetida, a interface espera pela primeira resposta do ncRNA-Agents que, quando recebida, redireciona o usuário para a página com os resultados. Na página de resultados, uma mensagem informativa é apresentada ao usuário para lembrá-lo de guardar o identificador da requisição para posteriores consultas. Caso um arquivo possua múltiplas sequências, será apresentados ao usuário os resultados obtidos para todas as sequências. Caso necessário, os resultados podem ser mostrando em várias abas, conforme a quantidade de sequências submetidas.

4.3.3 Resultados gerados pelo ncRNA-Agents

O ncRNA-Agents exibe os resultados produzidos em uma página web conforme mostrado Figura 4.3. Se o usuário precisar de mais detalhes, pode solicitar informações mais detalhadas clicando no *link* de interesse, e obtendo mais resultados como mostrados nas Figuras 4.4, 4.5, 4.6 e 4.7, 4.8.



Results



Remember to record your Request ID to fetch later all results.

Request ID: 51556114-24b7-418e-8e93-1708a1c0f94e

1 result(s) of 10 [refresh](#)

[input.fasta](#)

10 [10](#) [10](#) (1 of 1) [10](#) [10](#)

Query	Suggested-Annotation	Quality
>tA(UGC)A	tRNA	good

10 [10](#) [10](#) (1 of 1) [10](#) [10](#)

Export all results










Figura 4.3: Página de Resultados.

BLAST Search Results - Mozilla Firefox

ncRNA-Agents - raf...

Monografia-master...

SnoReport: computati...

tradutor - Pesquisa ...

SVM - Pesquisa Goo...

BLAST Search Results

lbi.cenargen.embrapa.br:8080/ncrna-agents/index.xhtml?dswid=5159&jfwid=5159

Google

Universidade de Brasília

Embrapa

Detailed Information for

Input

Suggested Annotation

Suggestion:	U4
Suggestion details:	Suggestion obtained by homology, confirmed by Class Prediction or by De Novo methods, but it did not present conservation or RNaz did not predict the conserved sequences as RNA.
Quality:	good

ncRNA-Agents' Report

Figura 4.4: Página de Resultados com a anotação sugerida pela ferramenta ncRNA-Agents.

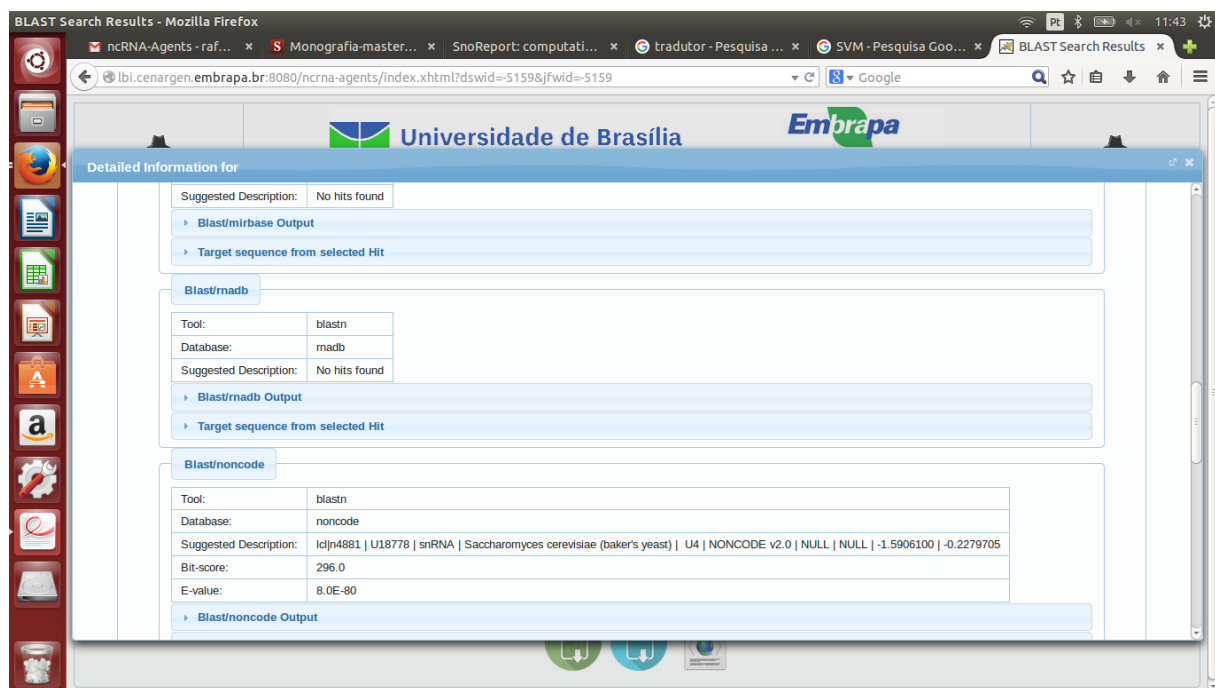


Figura 4.7: Página de Resultados do BLAST.

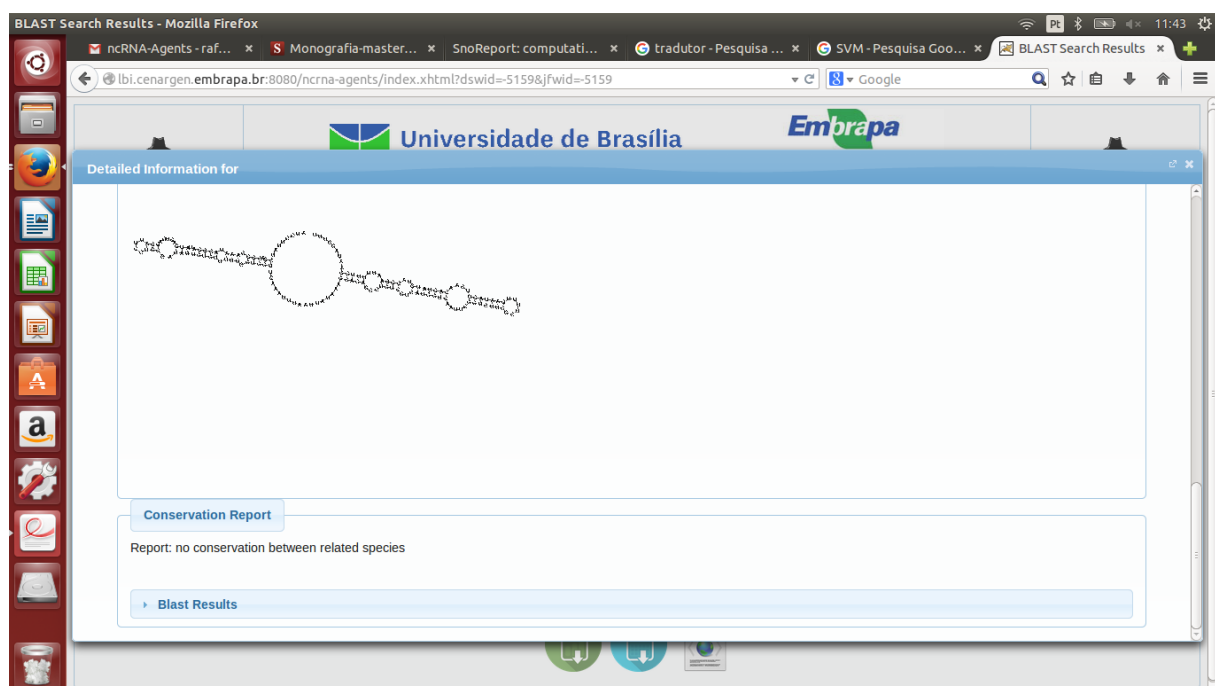


Figura 4.8: Página de Resultados com a conformação espacial (gerada pelo RNAfold).

Capítulo 5

Extendendo o ncRNA-Agents

Neste capítulo, serão apresentadas as alterações no ncRNA-Agents para a inclusão do snoReport (Seção 5.1) e detalhes da criação da extensão do reino *Plantae* (Seção 5.2).

5.1 Inclusão do snoReport

O snoReport [18] possui uma confiabilidade maior em relação à anotação de snoRNAs, quando comparado a outras ferramentas. O snoReport é capaz tanto de realizar uma anotação de ncRNA quanto sua validação, não necessitando de outros meios para obter sua confirmação.

Para incluir o snoReport 2.0 no ncRNA-Agents, foi necessário inicialmente incluir o novo pacote Vienna 2.1.9. Além disso, sua inclusão no sistema teve que alterar as regras de anotação já implementadas na camada de resolução de conflitos, para que os resultados gerados pelo snoReport pudessem ser utilizados corretamente. A Figura 5.1 mostra a inclusão do snoReport na arquitetura do ncRNA-Agents. A Figura 5.2 mostra a modificação do raciocínio de anotação.

No Agente Analista do snoReport, a ferramenta é chamada para encontrar H/ACA box e C/D box na sequência de entrada, retornando o valor encontrado, independente se é aceitável ou não para o sistema. O Agente Gerente de predição de Classe recebe os valores enviados pelo Agente Analista e decide qual valor deve ser adotado para ser enviado para a camada superior.

Note que o valor do snoReport é o primeiro a ser avaliado. Se estiver acima de 70% é adotado como anotação, caso esteja abaixo dos 70%, anota-se normalmente como descrito no capítulo anterior (Figura 4.2).

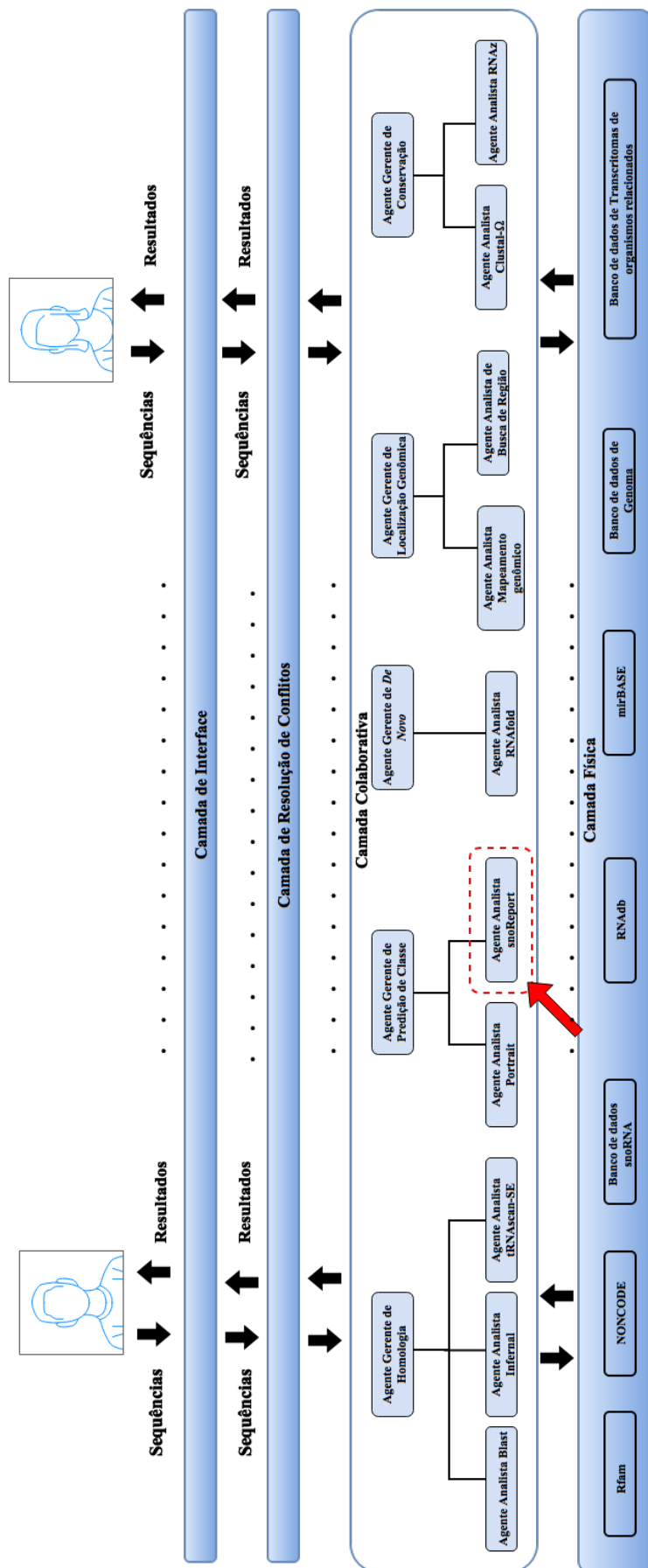


Figura 5.1: Nova arquitetura do ncRNA-Agents, incluindo o snoReport (em destaque)

5.2 Criando nova instância para o reino *Plantae*

Para a criação de uma nova instância do ncRNA-Agents, foi necessária a inclusão dos bancos de dados desejados (de cDNA), plantas do gênero *Oryza*, em substituição aos existentes, bancos de dados do Reino *Fungi*. Para cada organismo foi criado um banco *BLAST*.

Como todas as ferramentas do sistema já estão programadas para acessar os bancos de dados, por meio de um arquivo de configuração, não houve necessidade de fazer nenhuma outra alteração, além de referenciar os novos bancos de dados no arquivo de configuração e de adicioná-los na lista de bancos de conservação da interface.

As sequências de cDNA do gênero *Oryza* utilizados nesse trabalho foram obtidos do *site* <http://plants.ensembl.org/species.html>, compreendendo os seguintes organismos:

- *Oryza sativa Japonica*;
- *Oryza barthii*;
- *Oryza brachyantha*;
- *Oryza glaberrima*;
- *Oryza glumaepatula*;
- *Oryza longistaminata*;
- *Oryza meridionalis*
- *Oryza nivara*;
- *Oryza punctata*;
- *Oryza rufipogon*;
- *Oryza sativa Indica*.

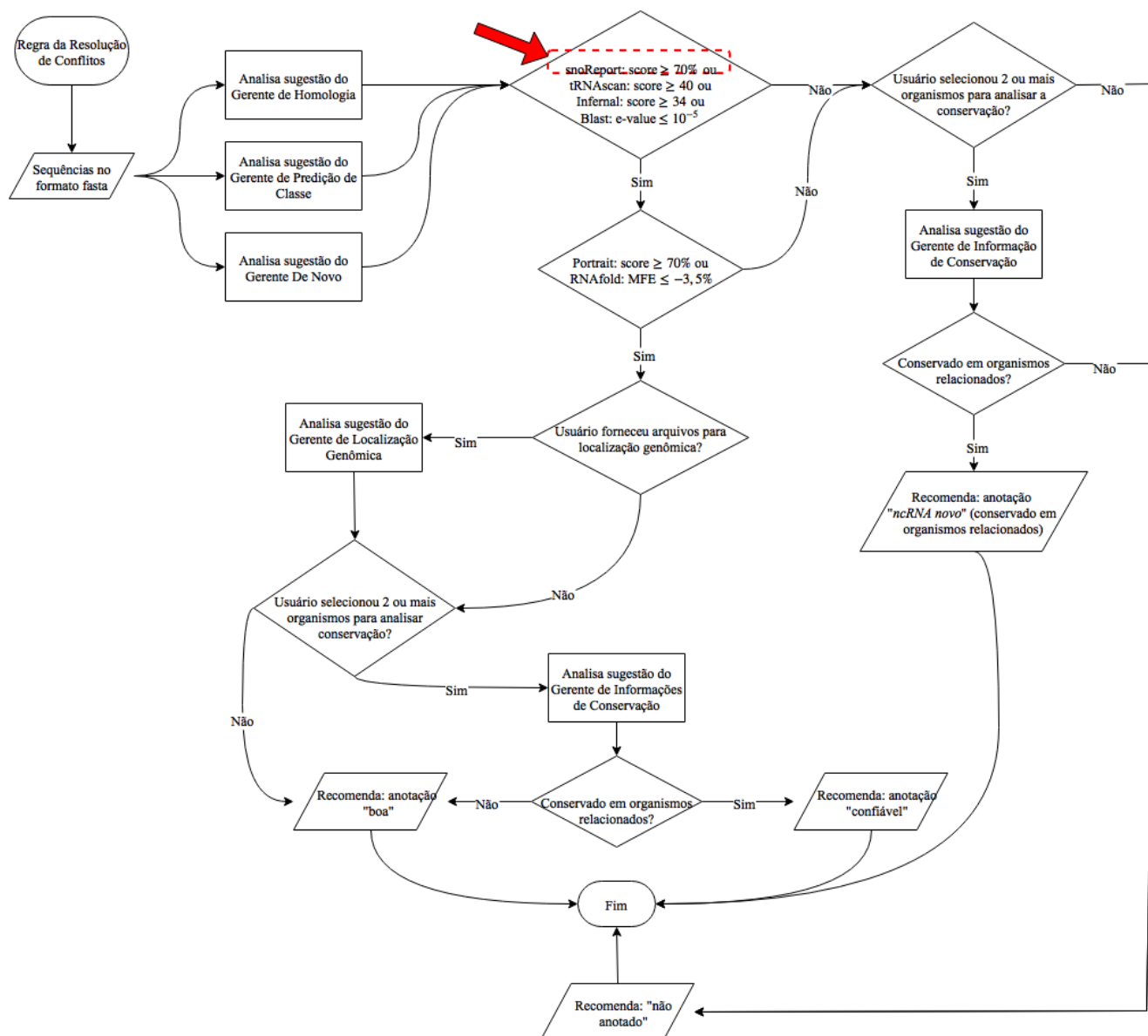


Figura 5.2: Regras utilizadas na Camada de Resolução de Conflitos, que simulam o raciocínio dos biólogos para analisar os resultados obtidos das ferramentas do ncRNA-Agents, com a inclusão da nova ferramenta snoReport (em destaque).

Capítulo 6

Resultados

Neste capítulo, discutiremos os resultados obtidos da anotação do ncRNA-Agents para uma planta. Na Seção 6.1 falamos sobre a planta utilizada no experimento, gênero *Oryza* o arroz. Na Seção 6.2, trazemos informações sobre os dados utilizados no experimento da *Oryza sativa Japonica*, na Seção 6.3, mostramos os parâmetros, enquanto os resultados obtidos são mostrados na Seção 6.4.

6.1 O gênero *Oryza*

A *Oryza*, comumente conhecida como arroz Figura 6.2, é uma gramínea modelo para monocotiledôneas, adaptada a solos alagados, mas que se desenvolve bem em solos com pouca disponibilidade de água [17]. É uma das três maiores culturas de cereais do mundo.

A Figura 6.1 mostra uma representação morfológica da raiz e do caule da planta do gênero *Oryza* (arroz). A morfologia do arroz pode ser representada da seguinte maneira [17]:

- Raiz: constituída de raízes adventícias¹, com ramificações abundantes, oriundas dos primeiros nós do colmo², formando o sistema radicular definitivo da planta. As raízes nodais são as raízes que saem dos nós;
- Caule ou colmo: é constituído de nós e entrenós, com cada nó contendo uma folha e uma gema (capaz de afilhar³ e criar raízes caulinare ou nodais);
- Perfis ou afilhos: surgem dos nós inferiores, sendo que do colmo principal saem os afilhos primários que por sua vez podem emitir afilhos secundários;

¹Raízes que não se originam de outra raiz, mas de outro órgão, em geral do caule.

²Tipo de caule encontrado nas gramíneas, podem ser ocos ou cheios.

³Ato de dar a planta filhos ou rebentos.

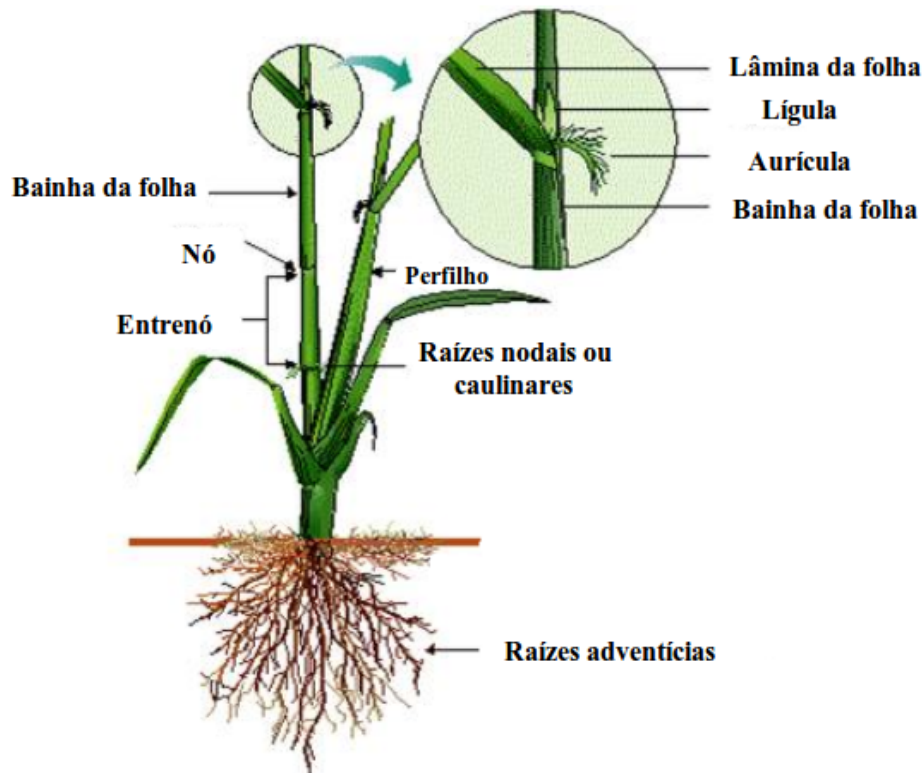


Figura 6.1: Representação morfológica do arroz.

- Folha: os colmos principais possuem mais folhas que os afillhos, uma folha completa possui bainha (suporta folha/flor), lâmina, aurícula e lígula (bases da folha);
- Flor: são formadas por dois pares de brácteas⁴ ou glumas⁵, que desenvolvem a flor do arroz;
- Panícula: é a inflorescência do arroz, constituída por espiguetas⁶ uniflorais.

6.2 Dados da *Oryza sativa Japonica*

A *Oryza sativa Japonica* possui um genoma diplóide⁷ compacto de aproximadamente 500 Mbp [31].

⁴Têm origem foliar e a função original de proteger a inflorescência ou as flores em desenvolvimento.

⁵Termo utilizado em botânica para designar a bainha estéril, externa, basal e membranosa presente nas sementes das plantas pertencentes às famílias das gramíneas.

⁶Espigas pequenas.

⁷Diz-se do núcleo celular que possui um número par de cromossomos, o dobro do número de gametas. No caso da *Oryza sativa Japonica* o número de cromossomos é 12.

Para medir o desempenho do ncRNA-Agents, submeteu-se um arquivo de sequências no formato *fasta* contendo todos os 55.619 ncRNAs da planta *Oryza sativa Japonica*, disponível em http://archive.gramene.org/Oryza_sativa/Info/Index.



Figura 6.2: *Oryza sativa Japonica*.

6.3 Anotação

As classes *Homologia*, *Predição de Classe* e *De Novo* foram utilizadas para anotar os resultados gerados e as ferramentas utilizadas foram:

- Blast com os bancos: snoRNABase, RNAdb, NONCODE, miRBase e Plant-snoRNA;
- Infernal;
- tRNAscan;
- SVM-Portrait;
- snoReport;
- RNAfold.

6.4 Anotação de ncRNAs da *Oryza sativa Japonica*

A Tabela 6.1 mostra o número de sequências anotadas, no arquivo de entrada (considerado aqui como Padrão ouro) da *Oryza sativa Japonica*. Nota-se que 53.250 dos 55.619 ncRNAs estão anotados pelo ncRNA-Agents, o equivalente à 95,74% do seu total.

Já a Tabela 6.2 mostra a anotação realizada pelo ncRNA-Agents, que conseguiu anotar um total de 21.055 ncRNAs, 39,53% do total de ncRNAs anotados do Padrão Ouro.

Tabela 6.1: Número de sequências, anotadas, por cromossomo, da *Oryza sativa Japonica*. Essas sequências foram filtradas e nenhuma anotação *non-protein coding transcript* foi considerada. Assim, o Padrão Ouro foi considerado apenas para as sequências anotadas diferentemente de *non-protein coding transcript*

Cromossomo	Anotação original	Padrão Ouro
1	6.350	6.029
2	5.393	5.136
3	5.485	5.180
4	5.144	4.919
5	4.383	4.203
6	4.784	4.583
7	4.308	4.155
8	4.305	4.148
9	3.345	3.217
10	3.334	3.189
11	4.474	4.319
12	4.314	4.172
Total	55.619	53250

A Figura 6.3 mostra graficamente a relação das anotações do Padrão Ouro e das anotações realizadas pelo ncRNA-Agents.

Para verificar o desempenho da nova instância do ncRNA-Agents, foi feita uma comparação com resultados obtidos do Infernal. A ferramenta Infernal anotou 86,7% de ncRNAs em concordância com o Padrão Ouro, considerado um alto índice de acertos. Porém, notamos que o ncRNA-Agents não considera anotações do Infernal com score menor do que 34. A Tabela 6.2 e a Figura 6.4 mostram uma comparação das anotações do Padrão Ouro, do ncRNA-Agents e do Infernal.

Com a inclusão da ferramenta snoReport, o ncRNA-Agents anotou 1.758 snoRNAs específicos (*C/D box* e *H/ACA box*), correspondente a 8,34% de anotações realizadas pelo ncRNA-Agents e 3,30% do Padrão Ouro. A ferramenta conseguiu anotar 212 snoRNAs não identificados no Padrão Ouro, mostrando a importância desta ferramenta no ncRNA-Agents. No anexo I, listamos os 1.758, snoRNAs destacando os 212 novos.

Além disso, o ncRNA-Agents encontrou novas anotações para RUFs (*RNA of Unknown Function*). No Padrão Ouro, foram anotados 227 sequências como RUFs, dos quais o ncRNA-Agents identificou 15 ncRNAs com funções definidas (Tabela 6.3).

A Tabela 6.4 e a Figura 6.5 mostram sequências *non-protein coding transcript* do Padrão Ouro anotadas como ncRNAs pelo ncRNA-Agents.

Por fim, com o auxílio do snoReport, também tornou-se possível a observação de anotações sugeridas como snoRNAs em sequências anotadas pelo Padrão Ouro como miRNAs. A sequência EPIOSAT00000047059, por exemplo, foi anotada pelo Padrão Ouro como

Tabela 6.2: Comparação dos resultados gerados pelo Padrão Ouro, ncRNA-Agents e Infernal

Cromossomo	Padrão Ouro	ncRNA-Agents	Infernal (escore ≥ 34)
1	6.029	2.372	2.037
2	5.136	2.090	1.799
3	5.180	2.121	1.861
4	4.919	1.899	1.660
5	4.203	1.624	1.428
6	4.583	1.814	1.552
7	4.155	1.620	1.405
8	4.148	1.637	1.436
9	3.217	1.263	1.104
10	3.189	1.258	1.082
11	4.319	1.798	1.572
12	4.172	1.559	1.322

Tabela 6.3: RUFs no Padrão Ouro anotadas como ncRNAs pelo ncRNA-Agents

Cromossomo	RUFs	Novas anotações
1	21	2
2	14	1
3	20	0
4	20	2
5	17	3
6	18	0
7	32	2
8	17	1
9	26	1
10	10	2
11	18	1
12	14	0

MIR821 e sugerida pelo ncRNA-Agents como snoRNA H/ACA box, com classificação de aproximadamente 97%, por meio da ferramenta snoReport. Observa-se também, para esta mesma sequência, que o ncRNA-Agents sugere por homologia a anotação MIR821 (mesma anotação do Padrão Ouro), com um alto escore de 197,7, por meio da ferramenta Infernal. Além disso, de acordo com Langenberger [22] *et. al.*, existem alguns snoRNAs capazes de serem precursores de miRNAs, dessa maneira as anotações realizadas pelo sistema sugerem que as sequências anotadas como miRNAs são sequências candidatas a snoRNAs precursores de miRNAs.

Dentre as sequências anotadas como snoRNAs pelo snoReport, de um total de 1.106, 98,19% foram anotadas como H/ACA *box* e apenas 1,81% como C/D *box*. De acordo com Scott [32], caso seja encontrado um snoRNA e um miRNA em uma mesma sequên-

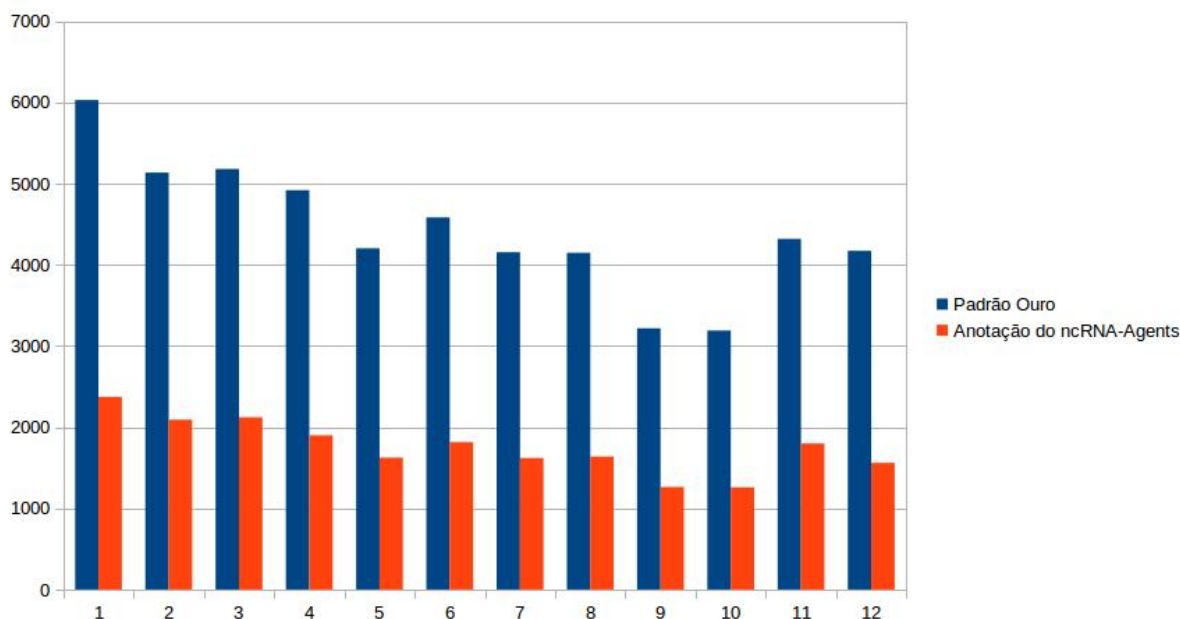


Figura 6.3: Comparação entre as anotações realizadas pelo ncRNA-Agents e o Padrão Ouro.

cia mostrado por diferentes ferramentas, pode haver uma sobreposição dos miRNAs e snoRNAs. Pode-se perceber a sobreposição de snoRNAs e miRNAs na Figura 6.6.

6.5 Conclusões

Neste trabalho, criamos uma nova instância do ncRNA-Agents, para o reino *Plantae*. Além disso, incluímos o snoReport que proporcionou uma melhoria na identificação de snoRNAs H/ACA *box* e C/D *box*. Por fim desenvolvemos um estudo de caso para a *Oryza sativa Japonica* que detectou novos tipos de ncRNAs que não foram anotados pelo arquivo de entrada ou que estavam definidos como desconhecidos.

6.5.1 Contribuições

Uma extensão do ncRNA-Agents permitiu a anotação mais precisa de snoRNAs utilizando o snoReport, e disponibilizou informações (bancos de dados, ncRNAs) sobre o reino *Plantae*.

6.5.2 Trabalhos futuros

As perspectivas para este trabalho são:

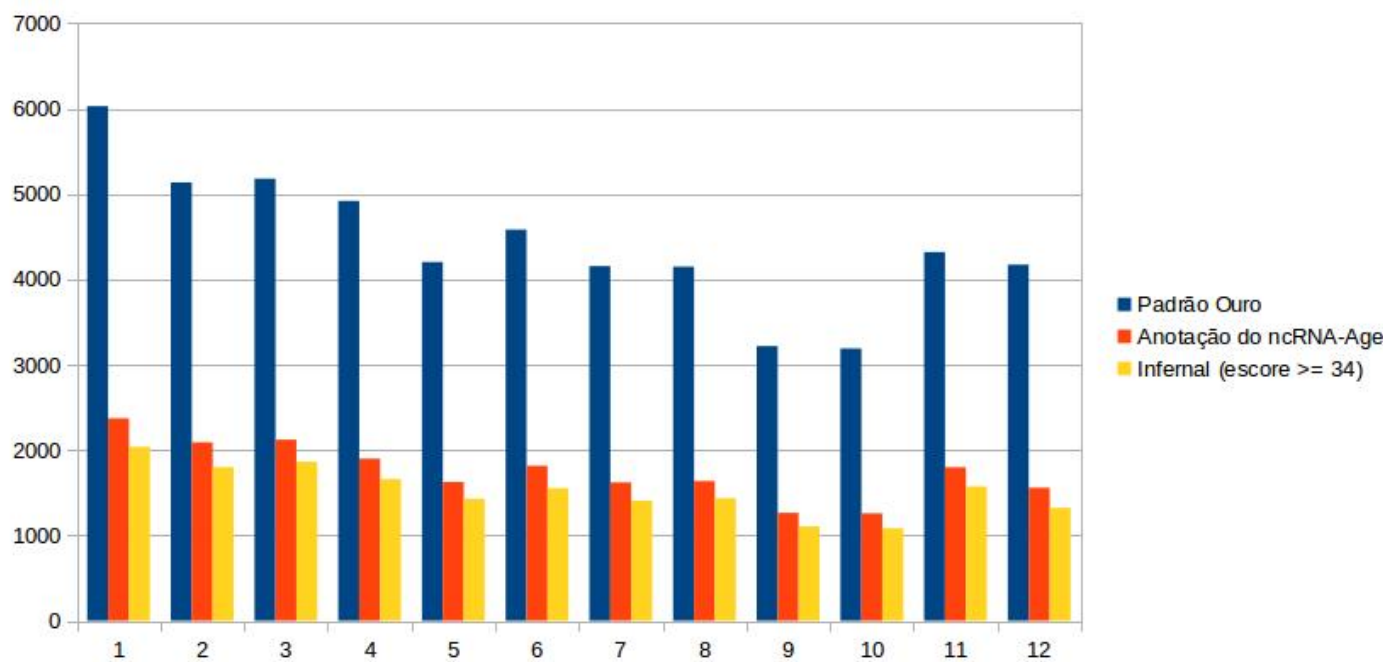


Figura 6.4: Comparação do Padrão Ouro, ncRNA-Agents e Infernal.

- Testar o ncRNA-Agents *Plantae* com localização genômica e conservação, com os novos bancos de dados incluídos;
- Disponibilizar a nova extensão numa página de acesso público;
- Criar novas instâncias do ncRNA-Agents para outros reinos com uma interface mais elaborada.

Tabela 6.4: Sequências *non-protein coding transcript* no Padrão Ouro anotadas pelo ncRNA-Agents

Cromossomo	Entrada <i>non-protein coding transcript</i>	Novas anotações da ferramenta
1	321	52
2	257	40
3	305	35
4	225	34
5	180	24
6	201	36
7	153	20
8	157	30
9	128	21
10	145	16
11	155	16
12	142	28

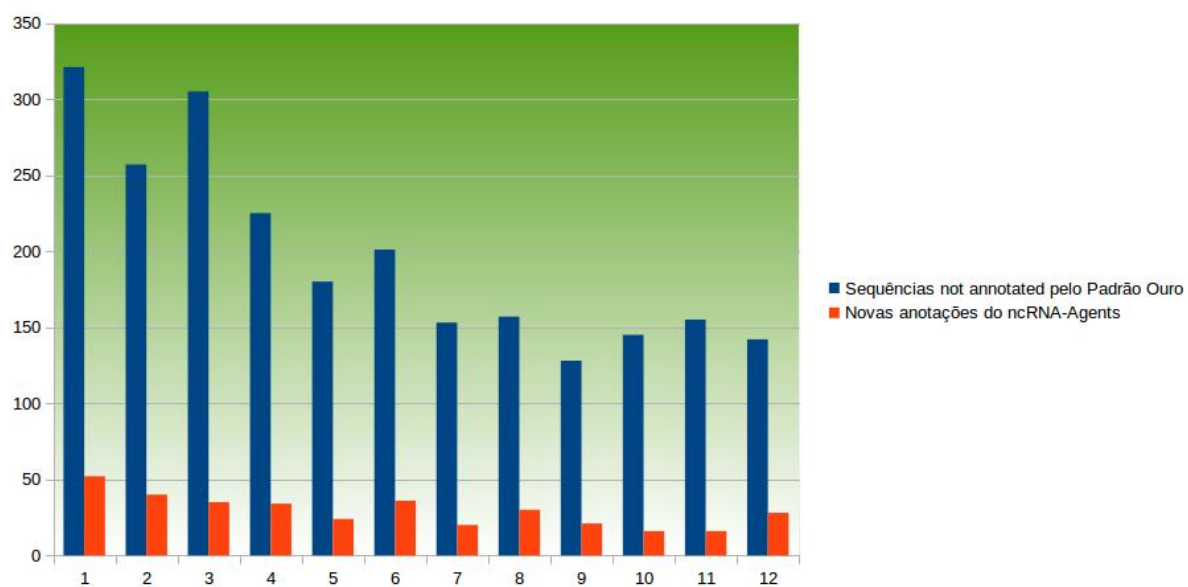


Figura 6.5: Sequências *non-protein coding transcript* no Padrão Ouro anotadas pelo ncRNA-Agents.

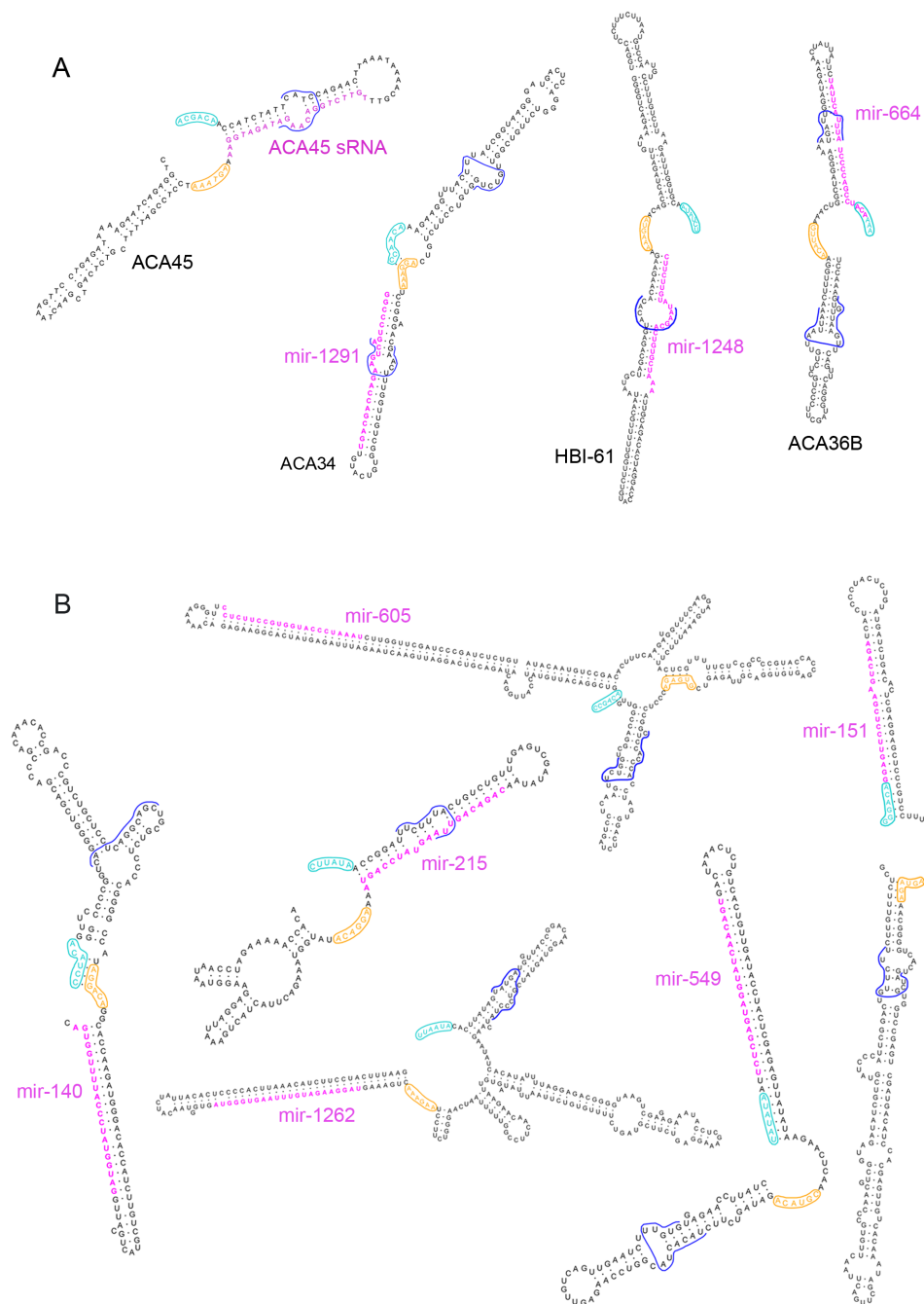


Figura 6.6: Em (A) é mostrada a sobreposição de miRNAs e snoRNAs, isto é, a estrutura apresentada é um snoRNA H/ACA *box* (cores amarelo e verde) mas apresenta uma composição de miRNA (cor rosa). Já em (B) um snoRNA sobrepõe-se a um miRNA, onde a estrutura é de um miRNA, mas possui uma sequência de um snoRNA. Deve-se notar que esses snoRNAs e miRNAs foram confirmados experimentalmente [33].

Capítulo 7

Conclusões e Trabalhos Futuros

Neste trabalho, criamos uma nova instância do ncRNA-Agents, para o reino *Plantae*. Além disso, incluímos o snoReport que proporcionou uma melhoria na identificação de snoRNAs H/ACA *box* e C/D *box*. Por fim desenvolvemos um estudo de caso para a *Oryza sativa Japonica* que detectou novos tipos de ncRNAs que não foram anotados pelo arquivo de entrada ou que estavam definidos como desconhecidos.

7.1 Contribuições

A nova instância do ncRNA-Agents permitiu a anotação mais precisa de snoRNAs utilizando o snoReport, e disponibilizou informações (bancos de dados, ncRNAs) sobre o reino *Plantae*.

7.2 Trabalhos futuros

As perspectivas para este trabalho são:

- Testar o ncRNA-Agents *Plantae* com localização genômica e conservação, com os novos bancos de dados incluídos;
- Criar novas instâncias do ncRNA-Agents para outros reinos.

Referências

- [1] B. Alberts, A. Johnson, J. Lewis, M. Raff, K. Roberts, and P. Walter. *Molecular Biology of the Cell Fifth Edition*, volume 1. Artmed, 2010. 4
- [2] S. F. Altschul, W. Gish, E. W. Myers, and D.J. Lipman. Basic Local Alignment Search Tool. *Journal of Molecular Biology*, 3(215):403–410, 1990. 24
- [3] M. Aparicio, L. Chiariglione, E. Mamdani, F. McCabe, R. Nicol, D. Steiner, and H. Suguri. FIPA-intelligent Agents from Theory to Practise. *In GLORY 2nd Conf. On Dynamic Logistics*, 1999. 21
- [4] C. W. Arruda. ncRNA-Agents: Anotação de RNAs não-codificadores Baseado em Sistema Multiagente. *Journal of Bioinformatics and Computational Biology*, 0(0):1–21, 2015. x, 2, 10, 13, 17, 20, 21, 22, 25, 26, 27, 28, 29, 30, 31
- [5] F. Bellifemine, G. Caire, A. Poggi, and G. Rimassa. JADE - a white paper. *White paper 3, TILAB - Telecom Italia Lab. (<http://jade.tilab.com/>)*, 2003. v. 3:p.6-19. 21, 22
- [6] Brasilvestibular. Ácidos Nucléicos e Síntese Protéica. <http://www.brasilvestibular.com.br/wp-content/uploads/2014/09/sintese-proteica.jpg>. Acessado em: 22.10.2015. x, 9
- [7] T. A. Brown. *Genomes*, volume 1. Wiley-Liss, Oxford, 2006. x, 12
- [8] S. W. Burge, J. Daub, R. Eberhardt, J. Tate, L. Barquist, E. P. Nawrocki, S. R. Eddy, P. P. Gardner, and A. Bateman. Rfam 11.0: 10 years of rna families. *Nucleic Acids Research*, 2012. 26
- [9] E. Chargaff. Preface to a Grammar of Biology, a hundred years of nucleic acid research. *Science*, (172):637–642, 1971. 1
- [10] Q. L. Choo, G. Kuo, A. J. Weiner, L. R. Overby, D. W. Bradley, and M. Houghton. Isolation of a cDNA clone derived from a blood-borne non-A, non-B viral hepatitis genome. *Science*, 244(4902):359–362, 1989. 10
- [11] H. F. C. Crick. On Protein Synthesis. *Symp. Soc. Exp. Biol.*, XII(1):138–161, 1958. 1, 6
- [12] Drools. Drools documentation. <http://docs.jboss.org/drools/release/6.3.0.Final/drools-docs/pdf/drools-docs.pdf>. Acessado em: 22.11.2015. x, 21, 22, 23

- [13] M. Ernest. *O desenvolvimento de pensamento biológico: diversidade, evolução e herança*, volume 1. Editora Universidade de Brasília, 1998. 1
- [14] C. L. Forgy. RETE: A fast algorithm for the many pattern/many object pattern match problem. *Artificial intelligence*, 19(1):17–37, 1982. 22
- [15] R. A. J. Gomes. Temperatura de Melting: um estudo comparativo. <http://www.facom.ufms.br/~tmcomparisons/projeto.pdf>. Acessado em: 16.11.2015. x, 5
- [16] S. Griffiths-Jones, A. Bateman, M. Marshall, A. Khanna, and S. R. Eddy. Rfam: an RNA family database. *Nucleic Acids Research*, 31(1):439–441, 2003. 2, 10
- [17] C. M. Guimarães, N. K. Fageria, and M. P. Filho. Como a planta do arroz se desenvolve. *Arquivo do Agrônomo*, 1(13):1–12, 2002. 39
- [18] J. Hertel, I. L. Hofacker, and P. F. Stadler. SnoReport: computational identification of snoRNAs with unknown targets. *Bioinformatics*, 24(2):158–164, 2008. 3, 25, 26, 35
- [19] National Human Genome Research Institute. Transfer RNA (tRNA). <https://www.genome.gov/dmd/img.cfm?node=Photos/Graphics&id=85250>. Acessado em: 01.11.2015. x, 11
- [20] B. C. John and A. S. Venetia. *Virology: Principles and Applications*, volume 1. John Wiley & Sons, Ltd, 2007. 10
- [21] V. S. José. *Projeto Genoma Humano: Utopia do homem geneticamente perfeito*, volume 1. Edições Loyola, 2004. 2, 4
- [22] D. Langenberger, S. Hoffmann H. Tafer S. Bartschat, J. Hertel, and P. F. Stadler. MicroRNA or Not MicroRNA? *6th Brazilian Symposium on Bioinformatics*, 2011. 43
- [23] N. M. Luscombe, D. Greenbaum, and M. Gerstein. What is bioinformatics? an introduction and overview. *Yearbook of Medical Informatics*, 1:83–100, 2001. 2
- [24] C. D. Mackereth and Sattler M. Dynamics in multi-domain protein recognition of RNA. <http://www.nmrbordeaux.org/news/news.html>. Acessado em: 22.11.2015. x, 8
- [25] miRBase. miRBase - <http://www.mirbase.org/>. Acessado em: 17.12.2015. 26
- [26] NONCODE. NONCODE - <http://www.noncode.org/introduce.php>. Acessado em: 01.12.2015. 26
- [27] M. Pavon-Eternod, S. Gomes, R. Geslain, Q. Dai, M. R. Rosner, and M. R. T. Pan. tRNA over-expression in breast cancer and functional consequences. *Nucleic Acids Research*, 21(37):7268–7280, 2009. 10
- [28] V. A. Petrushin. Emotion recognition agents in real world. *In AAAI fall symposium on socially intelligent agents: human in the loop*, 1(1):136–138, 2000. 18

- [29] RNAdb. RNAdb - <http://jsm-research.imb.uq.edu.au/rnadb/>. Acessado em: 17.12.0215. 26
- [30] O. Robert. *The path to the Double Helix the discovery of DNA*, volume 1. New York: Dover Publications, 1994. 1
- [31] T. Sasaki. The map-based sequence of the rice genome. *Nature*, 1(436):793–800, 2005. 40
- [32] M. S. Scott, F. Avolio, and A. I. Barton G. J. Ono, M. Lamond. Human miRNA Precursors with Box H/ACA snoRNA Features. *PLoS Comput Biol.*, 5:e1000507, 2009. 43
- [33] M. S. Scott, F. Avolio, M. Ono, A. I. Lamond, and G. J. Barton. Human miRNA Precursors with Box H/ACA snoRNA Features. <http://journals.plos.org/ploscompbiol/article?id=10.1371/journal.pcbi.1000507>. Acessado em: 01.11.0215. xi, 47
- [34] J. Setubal and J Meidanis. *Introduction to Computacional Molecularbiology*, volume 1. PWS Publishing Company, 1997. 4, 5
- [35] J. Sison. Difference Between DNA and RNA. <http://www.differencebetween.net/science/difference-between-dna-and-rna/>. Acessado em: 16.11.2015. x, 6
- [36] R. Smith. The contract net protocol: Highlevel communication and control in a distributed problem solver. *IEEE Trans. on Computersh*, 35(1):1–12, 1980. 21
- [37] Plant snoRNA. Plant snoRNA database - http://bioinf.scri.sari.ac.uk/cgi-bin/plant_snorna/home. Acessado em: 17.12.0215. 26
- [38] snoRNA base. snoRNA base - <https://www-snorna.biotoul.fr/>. Acessado em: 17.12.0215. 26
- [39] Superfoods. The essential amino acids in our diet! http://www.superfoods.gr/wp-content/uploads/2014/09/FG19_06-10T02.jpg. Acessado em: 16.11.2015. x, 7
- [40] O. Susumo. So much "junk" DNA in our genome. *Brookhaven Symp. Biol*, 1(23):66–70, 1972. 1, 10
- [41] I. J. Tinoco and C. Bustamante. How RNA folds. *Journal of Molecular Biology*, 293(2):271–281, 1999. x, 13
- [42] J. Venter *et. al.* The sequence of the human genome. *Science*, 291(5507):1304–1351, 2001. 2
- [43] J. D. Watson and F. H. Crick. Molecular Structure of Nucleic Acids: A Structure for Deoxyribose Nucleic Acid. *Nature*, (171):737–738, 1953. 1, 5
- [44] D. Weyns and T. Holvoet. A Formal Model for Situated Multi-Agent Systems. *Fundamenta Informaticae*, 63(2):125–158, 2004. 19

- [45] M. Wooldridge. *An Introduction to Multiagent Systems*, volume 1. John Wiley & Sons, Ltd, 2002. x, 15, 16, 21

Anexo I

Lista de anotação de snoRNAs

Cromossomo	Nome	Anotação do Padrão Ouro	Anotação realizada pelo snoReport	Novos ncRNAs detectados
1	OS01T0113750-00	Note = Non-protein coding transcript., Transcript_evidence = tplb0030a05 (Wheat FLcDNA), ORF_evidence = NONE,	Predicted snoRNA (0.973221). Box type: C/D	X
1	OS01T0114550-01	Note = Non-protein coding transcript., Transcript_evidence = AK242624 (DDBJ, Best hit), ORF_evidence = NONE, NIAS_FLcDNA = J090020C13,	Predicted snoRNA (0.971951). Box type: C/D	X
1	OS01T0118350-00	Note = Non-protein coding transcript., Transcript_evidence = AK372087 (DDBJ), ORF_evidence = NONE,	Predicted snoRNA (0.703977). Box type: H/ACA	X

1	EPIOSAT00000035610	ID = ncRNA_25559;Name = MIR1122;family = RF00906	Predicted snoRNA (0.790673). Box type: H/ACA	
1	EPIOSAT00000045069	ID = ncRNA_17045;Name = MIR807;family = RF00886	Predicted snoRNA (0.917992). Box type: H/ACA	
1	OS01T0137800-01	Note = Non-protein coding transcript., Transcript_evidence = AK067239 (DDBJ, Best hit), ORF_evidence = NONE, NIAS_FLcDNA = J013096F21,	Predicted snoRNA (0.82513). Box type: C/D	X
1	EPIOSAT00000037228	ID = ncRNA_24101;Name = MIR1122;family = RF00906	Predicted snoRNA (0.982268). Box type: H/ACA	
1	EPIOSAT00000020540	ID = ncRNA_39121;Name = SNORA81;family = RF01241	Predicted snoRNA (0.97136). Box type: H/ACA	
1	EPIOSAT00000046963	ID = ncRNA_15340;Name = MIR821;family = RF00885	Predicted snoRNA (0.743167). Box type: H/ACA	
1	EPIOSAT00000047059	ID = ncRNA_15254;Name = MIR821;family = RF00885	Predicted snoRNA (0.969562). Box type: H/ACA	
1	EPIOSAT00000045972	ID = ncRNA_16232;Name = MIR821;family = RF00885	Predicted snoRNA (0.936983). Box type: H/ACA	
1	OS01T0177150-01	Note = Non-protein coding transcript., Transcript_evidence = AK288777 (DDBJ, Best hit), ORF_evidence = NONE, NIAS_FLcDNA = J090068L10,	Predicted snoRNA (0.839936). Box type: H/ACA	X

1	EPIOSAT00000036205	ID = ncRNA_25022;Name = MIR1122;family = RF00906	Predicted snoRNA (0.971581). Box type: H/ACA	
1	EPIOSAT00000033035	ID = ncRNA_27877;Name = MIR1122;family = RF00906	Predicted snoRNA (0.815005). Box type: H/ACA	
1	EPIOSAT00000028490	ID = ncRNA_31967;Name = MIR1122;family = RF00906	Predicted snoRNA (0.916933). Box type: H/ACA	
1	EPIOSAT00000029630	ID = ncRNA_30940;Name = MIR1122;family = RF00906	Predicted snoRNA (0.858831). Box type: H/ACA	
1	OS01T0187200-01	Note = Non-protein coding transcript., Transcript_evidence = AK110797 (DDBJ, Best hit), ORF_evidence = NONE, NIAS_FLcDNA = 002-171-D11,	Predicted snoRNA (0.953214). Box type: C/D	X
1	EPIOSAT00000047763	ID = ncRNA_14620;Name = MIR811;family = RF00882	Predicted snoRNA (0.797217). Box type: H/ACA	
1	EPIOSAT00000020567	ID = ncRNA_39098;Name = snR161;family = RF01237	Predicted snoRNA (0.990766). Box type: H/ACA	
1	OS01T0200950-00	Note = Non-protein coding transcript., Transcript_evidence = BT069752 (DDBJ), ORF_evidence = NONE,	Predicted snoRNA (0.824561). Box type: C/D	X
1	EPIOSAT00000003490	ID = ncRNA_6487;Name = PrrF;family = RF00444	Predicted snoRNA (0.995634). Box type: H/ACA	
1	EPIOSAT00000029837	ID = ncRNA_30754;Name = MIR1122;family = RF00906	Predicted snoRNA (0.944937). Box type: H/ACA	

1	OS01T0205800-00	Note = Non-protein coding transcript., Transcript_evidence = tplb0034j24 (Wheat FLcDNA), ORF_evidence = NONE,	Predicted snoRNA (0.998753). Box type: C/D	X
1	EPIOSAT00000033196	ID = ncRNA_27731;Name = MIR1122;family = RF00906	Predicted snoRNA (0.865464). Box type: H/ACA	
1	EPIOSAT00000035641	ID = ncRNA_25530;Name = MIR1122;family = RF00906	Predicted snoRNA (0.757899). Box type: H/ACA	
1	EPIOSAT00000035447	ID = ncRNA_25705;Name = MIR1122;family = RF00906	Predicted snoRNA (0.706605). Box type: H/ACA	
1	EPIOSAT00000035470	ID = ncRNA_25685;Name = MIR1122;family = RF00906	Predicted snoRNA (0.819583). Box type: H/ACA	
1	EPIOSAT00000036600	ID = ncRNA_24668;Name = MIR1122;family = RF00906	Predicted snoRNA (0.905124). Box type: H/ACA	
1	EPIOSAT00000040013	ID = ncRNA_21596;Name = MIR1122;family = RF00906	Predicted snoRNA (0.832064). Box type: H/ACA	
1	OS01T0244966-00	Note = Non-protein coding transcript., Transcript_evidence = AK111127 (DDBJ, Secondary hit), ORF_evidence = NONE,	Predicted snoRNA (0.977867). Box type: H/ACA	X
1	EPIOSAT00000041061	ID = ncRNA_20652;Name = MIR1122;family = RF00906	Predicted snoRNA (0.778964). Box type: H/ACA	
1	EPIOSAT00000041744	ID = ncRNA_20037;Name = MIR1122;family = RF00906	Predicted snoRNA (0.960124). Box type: H/ACA	

1	EPIOSAT00000042925	ID = ncRNA_18976;Name = MIR1122;family = RF00906	Predicted snoRNA (0.870325). Box type: H/ACA	
1	EPIOSAT00000035924	ID = ncRNA_25276;Name = MIR1122;family = RF00906	Predicted snoRNA (0.985498). Box type: H/ACA	
1	EPIOSAT00000003792	ID = ncRNA_6214;Name = SNORA5;family = RF00392	Predicted snoRNA (0.987477). Box type: H/ACA	
1	EPIOSAT00000004108	ID = ncRNA_5930;Name = snoZ102_R77;family = RF00359	Predicted snoRNA (0.993974). Box type: C/D	
1	EPIOSAT00000004116	ID = ncRNA_5923;Name = snoZ101;family = RF00358	Predicted snoRNA (0.997897). Box type: C/D	
1	OS01T0276066-00	Note = Non-protein coding transcript., Transcript_evidence = BT061579 (DDBJ), ORF_evidence = NONE,	Predicted snoRNA (0.998682). Box type: C/D	X
1	EPIOSAT00000024398	ID = ncRNA_3565;Name = snoZ103;family = RF00149	Predicted snoRNA (0.998573). Box type: C/D	
1	EPIOSAT00000039945	ID = ncRNA_21657;Name = MIR1122;family = RF00906	Predicted snoRNA (0.945515). Box type: H/ACA	
1	OS01T0289750-00	Note = Non-protein coding transcript., Transcript_evidence = CU405820 (DDBJ, Best hit), ORF_evidence = NONE,	Predicted snoRNA (0.762956). Box type: H/ACA	X
1	EPIOSAT00000014254	ID = ncRNA_4478;Name = Alfamo_CPB;family = RF00252	Predicted snoRNA (0.704711). Box type: H/ACA	

1	EPIOSAT00000045413	ID = ncRNA_16736;Name = MIR821;family = RF00885	Predicted snoRNA (0.985634). Box type: H/ACA	
1	EPIOSAT00000046534	ID = ncRNA_15727;Name = MIR821;family = RF00885	Predicted snoRNA (0.981374). Box type: H/ACA	
1	EPIOSAT00000046889	ID = ncRNA_15407;Name = MIR821;family = RF00885	Predicted snoRNA (0.996959). Box type: H/ACA	
1	EPIOSAT00000026475	ID = ncRNA_33780;Name = mir-767;family = RF01033	Predicted snoRNA (0.996976). Box type: H/ACA	
1	EPIOSAT00000041667	ID = ncRNA_20106;Name = MIR1122;family = RF00906	Predicted snoRNA (0.972678). Box type: H/ACA	
1	EPIOSAT00000016720	ID = ncRNA_4256;Name = snoR38;family = RF00213	Predicted snoRNA (0.997977). Box type: C/D	
1	EPIOSAT00000016376	ID = ncRNA_4287;Name = SNORD46;family = RF00218	Predicted snoRNA (0.997494). Box type: C/D	
1	EPIOSAT00000004093	ID = ncRNA_5944;Name = snoZ119;family = RF00361	Predicted snoRNA (0.997549). Box type: C/D	
1	EPIOSAT00000004092	ID = ncRNA_5945;Name = snoZ119;family = RF00361	Predicted snoRNA (0.996265). Box type: C/D	
1	EPIOSAT00000045724	ID = ncRNA_16456;Name = MIR821;family = RF00885	Predicted snoRNA (0.856414). Box type: H/ACA	
1	EPIOSAT00000047021	ID = ncRNA_15289;Name = MIR821;family = RF00885	Predicted snoRNA (0.890545). Box type: H/ACA	
1	EPIOSAT00000047036	ID = ncRNA_15275;Name = MIR821;family = RF00885	Predicted snoRNA (0.812546). Box type: H/ACA	

1	EPIOSAT00000012530	ID = ncRNA_46330;Name = HSUR;family = RF01802	Predicted snoRNA (0.987107). Box type: H/ACA	
1	EPIOSAT00000047102	ID = ncRNA_15215;Name = MIR821;family = RF00885	Predicted snoRNA (0.837791). Box type: H/ACA	
1	EPIOSAT00000030094	ID = ncRNA_30522;Name = MIR1122;family = RF00906	Predicted snoRNA (0.971142). Box type: H/ACA	
1	EPIOSAT00000046837	ID = ncRNA_15454;Name = MIR821;family = RF00885	Predicted snoRNA (0.975465). Box type: H/ACA	
1	EPIOSAT00000035705	ID = ncRNA_25473;Name = MIR1122;family = RF00906	Predicted snoRNA (0.721533). Box type: H/ACA	
1	EPIOSAT00000026166	ID = ncRNA_34058;Name = MIR1023;family = RF01043	Predicted snoRNA (0.923455). Box type: H/ACA	
1	EPIOSAT00000044561	ID = ncRNA_17502;Name = MIR1122;family = RF00906	Predicted snoRNA (0.990581). Box type: H/ACA	
1	EPIOSAT00000044567	ID = ncRNA_17498;Name = MIR1122;family = RF00906	Predicted snoRNA (0.994853). Box type: H/ACA	
1	EPIOSAT00000046789	ID = ncRNA_15498;Name = MIR821;family = RF00885	Predicted snoRNA (0.997458). Box type: H/ACA	
1	EPIOSAT00000009298	ID = ncRNA_4924;Name = snoZ221_snoR21b;family = RF00300	Predicted snoRNA (0.998704). Box type: C/D	
1	EPIOSAT00000027330	ID = ncRNA_3301;Name = IS102;family = RF00124	Predicted snoRNA (0.99349). Box type: H/ACA	
1	EPIOSAT00000046422	ID = ncRNA_15828;Name = MIR821;family = RF00885	Predicted snoRNA (0.73692). Box type: H/ACA	

1	EPIOSAT00000046434	ID = ncRNA_15817;Name = MIR821;family = RF00885	Predicted snoRNA (0.768871). Box type: H/ACA	
1	EPIOSAT00000046932	ID = ncRNA_15369;Name = MIR821;family = RF00885	Predicted snoRNA (0.987244). Box type: H/ACA	
1	EPIOSAT00000043459	ID = ncRNA_18495;Name = MIR1122;family = RF00906	Predicted snoRNA (0.975196). Box type: H/ACA	
1	EPIOSAT00000032338	ID = ncRNA_28503;Name = MIR1122;family = RF00906	Predicted snoRNA (0.727122). Box type: H/ACA	
1	EPIOSAT00000046610	ID = ncRNA_15659;Name = MIR821;family = RF00885	Predicted snoRNA (0.951199). Box type: H/ACA	
1	EPIOSAT00000046621	ID = ncRNA_15649;Name = MIR821;family = RF00885	Predicted snoRNA (0.965261). Box type: H/ACA	
1	EPIOSAT00000033584	ID = ncRNA_27382;Name = MIR1122;family = RF00906	Predicted snoRNA (0.936498). Box type: C/D	
1	OS01T0514000-02	Note = Non-protein coding transcript., Transcript_evidence = AK063801 (DDBJ, Best hit), ORF_evidence = NONE, NIAS_FLCdNA = 001-121-F08,	Predicted snoRNA (0.716438). Box type: H/ACA	X
1	EPIOSAT00000018378	ID = ncRNA_41067;Name = isrL;family = RF01395	Predicted snoRNA (0.919137). Box type: H/ACA	
1	EPIOSAT00000004645	ID = ncRNA_5447;Name = snoZ266;family = RF00332	Predicted snoRNA (0.945083). Box type: C/D	

1	EPIOSAT00000033629	ID = ncRNA_27341;Name = MIR1122;family = RF00906	Predicted snoRNA (0.704349). Box type: H/ACA	
1	EPIOSAT00000018367	ID = ncRNA_41077;Name = isrL;family = RF01395	Predicted snoRNA (0.995076). Box type: H/ACA	
1	EPIOSAT00000014265	ID = ncRNA_4477;Name = Alfamo_CPB;family = RF00252	Predicted snoRNA (0.984905). Box type: H/ACA	
1	EPIOSAT00000018014	ID = ncRNA_41395;Name = snoR135;family = RF01431	Predicted snoRNA (0.894576). Box type: H/ACA	
1	EPIOSAT00000004111	ID = ncRNA_5928;Name = snoZ101;family = RF00358	Predicted snoRNA (0.992527). Box type: C/D	
1	EPIOSAT00000046710	ID = ncRNA_15569;Name = MIR821;family = RF00885	Predicted snoRNA (0.729176). Box type: H/ACA	
1	EPIOSAT00000046783	ID = ncRNA_15502;Name = MIR821;family = RF00885	Predicted snoRNA (0.963955). Box type: H/ACA	
1	EPIOSAT00000046669	ID = ncRNA_15605;Name = MIR821;family = RF00885	Predicted snoRNA (0.932842). Box type: H/ACA	
1	EPIOSAT00000020475	ID = ncRNA_39180;Name = snR46;family = RF01253	Predicted snoRNA (0.999647). Box type: H/ACA	
1	EPIOSAT00000046238	ID = ncRNA_15994;Name = MIR821;family = RF00885	Predicted snoRNA (0.992293). Box type: H/ACA	
1	OS01T0549600-00	Note = Non-protein coding transcript., Transcript_evidence = tplb0044i09 (Wheat FLcDNA), ORF_evidence = NONE,	Predicted snoRNA (0.719629). Box type: C/D	X

1	OS01T0552100-01	Note = Non-protein coding transcript., Transcript_evidence = AK058701 (DDBJ, Best hit), ORF_evidence = NONE, NIAS_FLcDNA = 001-019-C04,	Predicted snoRNA (0.953274). Box type: H/ACA	X
1	EPIOSAT00000014472	ID = ncRNA_44583;Name = plasmidium_snoR11;family = RF01589	Predicted snoRNA (0.988642). Box type: H/ACA	
1	EPIOSAT00000014209	ID = ncRNA_4482;Name = Alfamo_CPB;family = RF00252	Predicted snoRNA (0.996179). Box type: H/ACA	
1	EPIOSAT00000014729	ID = ncRNA_44351;Name = RUF3;family = RF01580	Predicted snoRNA (0.965953). Box type: H/ACA	
1	EPIOSAT00000008360	ID = ncRNA_50083;Name = STnc300;family = RF02070	Predicted snoRNA (0.943542). Box type: H/ACA	
1	EPIOSAT00000014689	ID = ncRNA_44388;Name = RUF3;family = RF01580	Predicted snoRNA (0.709302). Box type: H/ACA	
1	EPIOSAT00000034983	ID = ncRNA_26122;Name = MIR1122;family = RF00906	Predicted snoRNA (0.936467). Box type: H/ACA	
1	EPIOSAT00000040149	ID = ncRNA_21473;Name = MIR1122;family = RF00906	Predicted snoRNA (0.996136). Box type: H/ACA	
1	EPIOSAT00000012689	ID = ncRNA_46188;Name = RsaOG;family = RF01775	Predicted snoRNA (0.798237). Box type: H/ACA	
1	EPIOSAT00000038677	ID = ncRNA_22799;Name = MIR1122;family = RF00906	Predicted snoRNA (0.95442). Box type: H/ACA	

1	EPIOSAT00000017963	ID = ncRNA_41440;Name = S_pombe_snR46;family = RF01441	Predicted snoRNA (0.790525). Box type: H/ACA	
1	EPIOSAT00000045819	ID = ncRNA_16370;Name = MIR821;family = RF00885	Predicted snoRNA (0.858907). Box type: H/ACA	
1	EPIOSAT00000036191	ID = ncRNA_25035;Name = MIR1122;family = RF00906	Predicted snoRNA (0.990116). Box type: H/ACA	
1	EPIOSAT00000043452	ID = ncRNA_18500;Name = MIR1122;family = RF00906	Predicted snoRNA (0.917194). Box type: H/ACA	
1	EPIOSAT00000004628	ID = ncRNA_5462;Name = snoZ157;family = RF00333	Predicted snoRNA (0.966743). Box type: C/D	
1	EPIOSAT00000043248	ID = ncRNA_18685;Name = MIR1122;family = RF00906	Predicted snoRNA (0.743915). Box type: H/ACA	
1	EPIOSAT00000041152	ID = ncRNA_20570;Name = MIR1122;family = RF00906	Predicted snoRNA (0.958665). Box type: H/ACA	
1	EPIOSAT00000020557	ID = ncRNA_39106;Name = snR49;family = RF01239	Predicted snoRNA (0.84679). Box type: H/ACA	
1	EPIOSAT00000039741	ID = ncRNA_21840;Name = MIR1122;family = RF00906	Predicted snoRNA (0.945072). Box type: H/ACA	
1	EPIOSAT00000043374	ID = ncRNA_18571;Name = MIR1122;family = RF00906	Predicted snoRNA (0.866827). Box type: H/ACA	
1	EPIOSAT00000012842	ID = ncRNA_4605;Name = SNORA69;family = RF00265	Predicted snoRNA (0.99913). Box type: H/ACA	
1	EPIOSAT00000043958	ID = ncRNA_18045;Name = MIR1122;family = RF00906	Predicted snoRNA (0.932806). Box type: H/ACA	

1	EPIOSAT00000041749	ID = ncRNA_20032;Name = MIR1122;family = RF00906	Predicted snoRNA (0.995283). Box type: H/ACA	
1	OS01T0624133-00	Note = Non-protein coding transcript., Transcript_evidence = tplb0026a06 (Wheat FLcDNA), ORF_evidence = NONE,	Predicted snoRNA (0.9146). Box type: C/D	X
1	EPIOSAT00000044460	ID = ncRNA_17594;Name = MIR1122;family = RF00906	Predicted snoRNA (0.995278). Box type: H/ACA	
1	EPIOSAT00000044492	ID = ncRNA_17565;Name = MIR1122;family = RF00906	Predicted snoRNA (0.979164). Box type: H/ACA	
1	EPIOSAT00000032810	ID = ncRNA_28079;Name = MIR1122;family = RF00906	Predicted snoRNA (0.94744). Box type: H/ACA	
1	EPIOSAT00000035649	ID = ncRNA_25523;Name = MIR1122;family = RF00906	Predicted snoRNA (0.952398). Box type: H/ACA	
1	EPIOSAT00000043405	ID = ncRNA_18543;Name = MIR1122;family = RF00906	Predicted snoRNA (0.976285). Box type: H/ACA	
1	EPIOSAT00000043801	ID = ncRNA_18187;Name = MIR1122;family = RF00906	Predicted snoRNA (0.890568). Box type: H/ACA	
1	EPIOSAT00000046312	ID = ncRNA_15927;Name = MIR821;family = RF00885	Predicted snoRNA (0.93764). Box type: H/ACA	
1	EPIOSAT00000012554	ID = ncRNA_46309;Name = HSUR;family = RF01802	Predicted snoRNA (0.970256). Box type: H/ACA	
1	EPIOSAT00000028414	ID = ncRNA_32034;Name = MIR1122;family = RF00906	Predicted snoRNA (0.821632). Box type: H/ACA	

1	EPIOSAT00000032056	ID = ncRNA_28758;Name = MIR1122;family = RF00906	Predicted snoRNA (0.993002). Box type: H/ACA	
1	OS01T0660850-01	Note = Non-protein coding transcript., Transcript_evidence = AK289062 (DDBJ, Best hit), ORF_evidence = NONE, NIAS_FLcDNA = J090093M24,	Predicted snoRNA (0.905216). Box type: H/ACA	X
1	OS01T0664500-02	Note = Non-protein coding transcript., Transcript_evidence = AK071583 (DDBJ, Best hit), ORF_evidence = NONE, NIAS_FLcDNA = J023104C01,	Predicted snoRNA (0.99626). Box type: C/D	X
1	EPIOSAT00000046594	ID = ncRNA_15673;Name = MIR821;family = RF00885	Predicted snoRNA (0.999423). Box type: H/ACA	
1	OS01T0679300-01	Note = Non-protein coding transcript., Transcript_evidence = AK102535 (DDBJ, Best hit), ORF_evidence = NONE, NIAS_FLcDNA = J033096H06,	Predicted snoRNA (0.79109). Box type: H/ACA	X
1	OS01T0679400-01	Note = Non-protein coding transcript., Transcript_evidence = AK107970 (DDBJ, Best hit), ORF_evidence = NONE, NIAS_FLcDNA = 002-135-D06,	Predicted snoRNA (0.769315). Box type: H/ACA	X

1	EPIOSAT00000016753	ID = ncRNA_4253;Name = snoR38;family = RF00213	Predicted snoRNA (0.995117). Box type: C/D	
1	EPIOSAT00000035255	ID = ncRNA_25879;Name = MIR1122;family = RF00906	Predicted snoRNA (0.723804). Box type: H/ACA	
1	OS01T0707500-03	Note = Non-protein coding transcript., Transcript_evidence = AK109307 (DDBJ, Best hit), ORF_evidence = NONE, NIAS_FLcDNA = 002-188-E12,	Predicted snoRNA (0.939183). Box type: C/D	X
1	OS01T0711700-00	Note = Non-protein coding transcript., Transcript_evidence = BT085039 (DDBJ), ORF_evidence = NONE,	Predicted snoRNA (0.938432). Box type: C/D	X
1	EPIOSAT00000020539	ID = ncRNA_39122;Name = SNORA81;family = RF01241	Predicted snoRNA (0.971726). Box type: H/ACA	
1	EPIOSAT00000004171	ID = ncRNA_5874;Name = snoR32_R81;family = RF00356	Predicted snoRNA (0.992355). Box type: C/D	
1	EPIOSAT00000038393	ID = ncRNA_23053;Name = MIR1122;family = RF00906	Predicted snoRNA (0.759264). Box type: H/ACA	
1	EPIOSAT00000046323	ID = ncRNA_15917;Name = MIR821;family = RF00885	Predicted snoRNA (0.977049). Box type: H/ACA	

1	OS01T0764150-01	Note = Non-protein coding transcript., Transcript_evidence = AK242762 (DDBJ, Best hit), ORF_evidence = NONE, NIAS_FLcDNA = J090052I17,	Predicted snoRNA (0.968191). Box type: H/ACA	X
1	EPIOSAT00000035546	ID = ncRNA_25616;Name = MIR1122;family = RF00906	Predicted snoRNA (0.924543). Box type: H/ACA	
1	EPIOSAT00000020467	ID = ncRNA_39188;Name = snR46;family = RF01253	Predicted snoRNA (0.8632). Box type: H/ACA	
1	OS01T0800701-00	Note = Non-protein coding transcript., Transcript_evidence = BT016365 (DDBJ), ORF_evidence = NONE,	Predicted snoRNA (0.982176). Box type: H/ACA	X
1	EPIOSAT00000031333	ID = ncRNA_29408;Name = MIR1122;family = RF00906	Predicted snoRNA (0.711777). Box type: H/ACA	
1	EPIOSAT00000042175	ID = ncRNA_19650;Name = MIR1122;family = RF00906	Predicted snoRNA (0.764303). Box type: H/ACA	
1	OS01T0812025-00	Note = Non-protein coding transcript., Transcript_evidence = tplb0038i04 (Wheat FLcDNA), ORF_evidence = NONE,	Predicted snoRNA (0.998093). Box type: C/D	X

1	OS01T0815800-02	Note = Non-protein coding transcript., Transcript_evidence = AK058706 (DDBJ, Best hit), ORF_evidence = NONE, NIAS_FLcDNA = 001-019-C11,	Predicted snoRNA (0.931703). Box type: H/ACA	X
1	OS01T0819433-00	Note = Non-protein coding transcript., Transcript_evidence = BT086907 (DDBJ), ORF_evidence = NONE,	Predicted snoRNA (0.919424). Box type: H/ACA	X
1	EPIOSAT00000036607	ID = ncRNA_24661;Name = MIR1122;family = RF00906	Predicted snoRNA (0.939033). Box type: H/ACA	
1	OS01T0830300-01	Note = Non-protein coding transcript., Transcript_evidence = AK058951 (DDBJ, Best hit), ORF_evidence = NONE, NIAS_FLcDNA = 001-020-A09,	Predicted snoRNA (0.840179). Box type: H/ACA	X
1	EPIOSAT00000017980	ID = ncRNA_41425;Name = S_pombe_snR33;family = RF01436	Predicted snoRNA (0.953045). Box type: H/ACA	
1	OS01T0848250-01	Note = Non-protein coding transcript., Transcript_evidence = AK064210 (DDBJ, Best hit), ORF_evidence = NONE, NIAS_FLcDNA = 002-104-E10,	Predicted snoRNA (0.803999). Box type: H/ACA	X
1	EPIOSAT00000029745	ID = ncRNA_30837;Name = MIR1122;family = RF00906	Predicted snoRNA (0.945691). Box type: H/ACA	

1	EPIOSAT00000047237	ID = ncRNA_15094;Name = MIR821;family = RF00885	Predicted snoRNA (0.855028). Box type: H/ACA	
1	OS01T0884050-00	Note = Non-protein coding transcript., Transcript_evidence = tplb0026p23 (Wheat FLcDNA), ORF_evidence = NONE,	Predicted snoRNA (0.991732). Box type: H/ACA	X
1	EPIOSAT00000046703	ID = ncRNA_15575;Name = MIR821;family = RF00885	Predicted snoRNA (0.944108). Box type: H/ACA	
1	EPIOSAT00000042606	ID = ncRNA_19262;Name = MIR1122;family = RF00906	Predicted snoRNA (0.854134). Box type: H/ACA	
1	EPIOSAT00000042389	ID = ncRNA_19458;Name = MIR1122;family = RF00906	Predicted snoRNA (0.837444). Box type: H/ACA	
1	EPIOSAT00000042942	ID = ncRNA_18960;Name = MIR1122;family = RF00906	Predicted snoRNA (0.825199). Box type: H/ACA	
1	EPIOSAT00000014032	ID = ncRNA_4498;Name = Alfamo_CPB;family = RF00252	Predicted snoRNA (0.999911). Box type: H/ACA	
1	EPIOSAT00000041581	ID = ncRNA_20184;Name = MIR1122;family = RF00906	Predicted snoRNA (0.992039). Box type: H/ACA	
1	EPIOSAT00000041972	ID = ncRNA_19833;Name = MIR1122;family = RF00906	Predicted snoRNA (0.981915). Box type: H/ACA	
1	EPIOSAT00000046325	ID = ncRNA_15915;Name = MIR821;family = RF00885	Predicted snoRNA (0.939543). Box type: H/ACA	

1	OS01T0933300-01	Note = Non-protein coding transcript., Transcript_evidence = AK060386 (DDBJ, Best hit), ORF_evidence = NONE, NIAS_FLcDNA = 001-009-F06,	Predicted snoRNA (0.844169). Box type: H/ACA	X
1	OS01T0934901-00	Note = Non-protein coding transcript., Transcript_evidence = EU947055 (DDBJ), ORF_evidence = NONE,	Predicted snoRNA (0.999238). Box type: C/D	X
1	EPIOSAT00000004711	ID = ncRNA_5388;Name = snoZ155;family = RF00326	Predicted snoRNA (0.957417). Box type: C/D	
1	EPIOSAT000000017631	ID = ncRNA_4174;Name = snoR41;family = RF00205	Predicted snoRNA (0.999203). Box type: C/D	
1	EPIOSAT000000018144	ID = ncRNA_41278;Name = snoR116;family = RF01422	Predicted snoRNA (0.994364). Box type: C/D	
1	OS01T0939450-00	Note = Non-protein coding transcript., Transcript_evidence = tplb0034d14 (Wheat FLcDNA), ORF_evidence = NONE,	Predicted snoRNA (0.954174). Box type: C/D	X
1	EPIOSAT000000003683	ID = ncRNA_6312;Name = SNORA43;family = RF00416	Predicted snoRNA (0.956317). Box type: H/ACA	
1	EPIOSAT000000018523	ID = ncRNA_40937;Name = isrG;family = RF01390	Predicted snoRNA (0.976331). Box type: C/D	
1	EPIOSAT000000046204	ID = ncRNA_16023;Name = MIR821;family = RF00885	Predicted snoRNA (0.921563). Box type: H/ACA	

1	EPIOSAT00000036503	ID = ncRNA_24755;Name = MIR1122;family = RF00906	Predicted snoRNA (0.927349). Box type: H/ACA	
1	EPIOSAT00000008366	ID = ncRNA_50078;Name = STnc300;family = RF02070	Predicted snoRNA (0.811312). Box type: H/ACA	
1	OS01T0974550-00	Note = Non-protein coding transcript., Transcript_evidence = EU950947 (DDBJ), ORF_evidence = NONE,	Predicted snoRNA (0.796782). Box type: H/ACA	X
2	OS02T0104150-00	Note = Non-protein coding transcript., Transcript_evidence = CT835343 (DDBJ, Best hit), ORF_evidence = NONE,	Predicted snoRNA (0.91461). Box type: H/ACA	X
2	EPIOSAT00000025354	ID = ncRNA_3479;Name = snoZ118;family = RF00142	Predicted snoRNA (0.998421). Box type: C/D	
2	EPIOSAT00000025376	ID = ncRNA_3477;Name = snoZ118;family = RF00142	Predicted snoRNA (0.999419). Box type: C/D	
2	EPIOSAT00000025387	ID = ncRNA_3476;Name = snoZ118;family = RF00142	Predicted snoRNA (0.998568). Box type: C/D	
2	EPIOSAT00000025365	ID = ncRNA_3478;Name = snoZ118;family = RF00142	Predicted snoRNA (0.99764). Box type: C/D	
2	EPIOSAT00000025342	ID = ncRNA_3480;Name = snoZ118;family = RF00142	Predicted snoRNA (0.998408). Box type: C/D	
2	EPIOSAT00000031401	ID = ncRNA_29347;Name = MIR1122;family = RF00906	Predicted snoRNA (0.960139). Box type: H/ACA	

2	EPIOSAT00000035485	ID = ncRNA_25671;Name = MIR1122;family = RF00906	Predicted snoRNA (0.947635). Box type: H/ACA	
2	EPIOSAT00000009888	ID = ncRNA_48709;Name = SSU_rRNA_eukarya;family = RF01960	Predicted snoRNA (0.99286). Box type: H/ACA	
2	EPIOSAT00000021365	ID = ncRNA_3838;Name = SSU_rRNA_bacteria;family = RF00177	Predicted snoRNA (0.931849). Box type: C/D	
2	EPIOSAT00000009941	ID = ncRNA_48661;Name = SSU_rRNA_archaea;family = RF01959	Predicted snoRNA (0.931849). Box type: C/D	
2	EPIOSAT00000040350	ID = ncRNA_21292;Name = MIR1122;family = RF00906	Predicted snoRNA (0.889892). Box type: H/ACA	
2	OS02T0124550-00	Note = Non-protein coding transcript., Transcript_evidence = FP099177 (DDBJ), ORF_evidence = NONE,	Predicted snoRNA (0.988799). Box type: H/ACA	X
2	EPIOSAT00000038972	ID = ncRNA_22532;Name = MIR1122;family = RF00906	Predicted snoRNA (0.720927). Box type: H/ACA	
2	EPIOSAT00000044018	ID = ncRNA_17992;Name = MIR1122;family = RF00906	Predicted snoRNA (0.980789). Box type: H/ACA	
2	OS02T0133800-02	Note = Non-protein coding transcript., Transcript_evidence = AK059589 (DDBJ, Best hit), ORF_evidence = NONE, NIAS_FLcDNA = 001-030-C09,	Predicted snoRNA (0.812356). Box type: C/D	X

2	OS02T0142850-01	Note = Non-protein coding transcript., Transcript_evidence = AK242768 (DDBJ, Best hit), ORF_evidence = NONE, NIAS_FLcDNA = J090053D21,	Predicted snoRNA (0.884015). Box type: H/ACA	X
2	OS02T0148050-00	Note = Non-protein coding transcript., Transcript_evidence = AF448491 (DDBJ, Best hit), ORF_evidence = NONE,	Predicted snoRNA (0.896442). Box type: C/D	X
2	EPIOSAT00000014737	ID = ncRNA_44344;Name = RUF2;family = RF01579	Predicted snoRNA (0.975647). Box type: H/ACA	
2	EPIOSAT00000050622	ID = ncRNA_12047;Name = MIR397;family = RF00704	Predicted snoRNA (0.836924). Box type: C/D	
2	EPIOSAT00000037584	ID = ncRNA_23782;Name = MIR1122;family = RF00906	Predicted snoRNA (0.854677). Box type: H/ACA	
2	EPIOSAT00000035319	ID = ncRNA_25820;Name = MIR1122;family = RF00906	Predicted snoRNA (0.994998). Box type: H/ACA	
2	EPIOSAT00000038249	ID = ncRNA_23183;Name = MIR1122;family = RF00906	Predicted snoRNA (0.931129). Box type: H/ACA	
2	EPIOSAT00000028140	ID = ncRNA_32281;Name = MIR1122;family = RF00906	Predicted snoRNA (0.867478). Box type: H/ACA	
2	EPIOSAT00000030144	ID = ncRNA_30478;Name = MIR1122;family = RF00906	Predicted snoRNA (0.988175). Box type: H/ACA	

2	EPIOSAT00000036727	ID = ncRNA_24553;Name = MIR1122;family = RF00906	Predicted snoRNA (0.808148). Box type: H/ACA	
2	EPIOSAT00000004224	ID = ncRNA_5826;Name = snoR11;family = RF00349	Predicted snoRNA (0.991956). Box type: C/D	
2	EPIOSAT00000004225	ID = ncRNA_5825;Name = snoR11;family = RF00349	Predicted snoRNA (0.992528). Box type: C/D	
2	EPIOSAT00000039177	ID = ncRNA_22348;Name = MIR1122;family = RF00906	Predicted snoRNA (0.911434). Box type: H/ACA	
2	OS02T0201401-00	Note = Non-protein coding transcript., Transcript_evidence = CT835326 (DDBJ, Best hit), ORF_evidence = NONE,	Predicted snoRNA (0.975533). Box type: C/D	X
2	EPIOSAT00000026788	ID = ncRNA_33499;Name = MIR530;family = RF01005	Predicted snoRNA (0.96606). Box type: H/ACA	
2	EPIOSAT00000035858	ID = ncRNA_25335;Name = MIR1122;family = RF00906	Predicted snoRNA (0.837563). Box type: H/ACA	
2	EPIOSAT00000046408	ID = ncRNA_15840;Name = MIR821;family = RF00885	Predicted snoRNA (0.90161). Box type: H/ACA	
2	EPIOSAT00000041010	ID = ncRNA_20699;Name = MIR1122;family = RF00906	Predicted snoRNA (0.852472). Box type: H/ACA	
2	EPIOSAT00000047711	ID = ncRNA_14668;Name = MIR811;family = RF00882	Predicted snoRNA (0.746274). Box type: H/ACA	

2	OS02T0224850-00	Note = Non-protein coding transcript., Transcript_evidence = tplb0040g21 (Wheat FLcDNA), ORF_evidence = NONE,	Predicted snoRNA (0.946568). Box type: C/D	X
2	EPIOSAT00000037098	ID = ncRNA_24219;Name = MIR1122;family = RF00906	Predicted snoRNA (0.999572). Box type: H/ACA	
2	EPIOSAT00000040446	ID = ncRNA_21205;Name = MIR1122;family = RF00906	Predicted snoRNA (0.732764). Box type: H/ACA	
2	EPIOSAT00000046262	ID = ncRNA_15972;Name = MIR821;family = RF00885	Predicted snoRNA (0.990811). Box type: H/ACA	
2	EPIOSAT00000046055	ID = ncRNA_16158;Name = MIR821;family = RF00885	Predicted snoRNA (0.894009). Box type: H/ACA	
2	EPIOSAT00000038499	ID = ncRNA_22959;Name = MIR1122;family = RF00906	Predicted snoRNA (0.74941). Box type: H/ACA	
2	EPIOSAT00000039448	ID = ncRNA_22103;Name = MIR1122;family = RF00906	Predicted snoRNA (0.986237). Box type: H/ACA	
2	EPIOSAT00000040568	ID = ncRNA_21096;Name = MIR1122;family = RF00906	Predicted snoRNA (0.999539). Box type: H/ACA	
2	EPIOSAT00000046374	ID = ncRNA_15871;Name = MIR821;family = RF00885	Predicted snoRNA (0.826338). Box type: H/ACA	
2	EPIOSAT00000045594	ID = ncRNA_16573;Name = MIR821;family = RF00885	Predicted snoRNA (0.817524). Box type: H/ACA	

2	OS02T0251200-01	Note = Non-protein coding transcript., Transcript_evidence = AK064942 (DDBJ, Best hit), ORF_evidence = NONE, NIAS_FLcDNA = J013000P09,	Predicted snoRNA (0.813474). Box type: H/ACA	X
2	EPIOSAT00000039630	ID = ncRNA_21940;Name = MIR1122;family = RF00906	Predicted snoRNA (0.830426). Box type: H/ACA	
2	EPIOSAT00000040825	ID = ncRNA_20865;Name = MIR1122;family = RF00906	Predicted snoRNA (0.852057). Box type: H/ACA	
2	EPIOSAT00000017977	ID = ncRNA_41428;Name = S_pombe_snR10;family = RF01437	Predicted snoRNA (0.852253). Box type: H/ACA	
2	EPIOSAT00000005474	ID = ncRNA_52681;Name = SMAD5-AS1_1;family = RF02173	Predicted snoRNA (0.791838). Box type: H/ACA	
2	OS02T0260000-01	Note = Non-protein coding transcript., Transcript_evidence = AK109224 (DDBJ, Best hit), ORF_evidence = NONE, NIAS_FLcDNA = 002-156-E08,	Predicted snoRNA (0.946381). Box type: H/ACA	X
2	EPIOSAT00000026477	ID = ncRNA_33779;Name = mir-767;family = RF01033	Predicted snoRNA (0.969291). Box type: H/ACA	
2	EPIOSAT00000046100	ID = ncRNA_16117;Name = MIR821;family = RF00885	Predicted snoRNA (0.939536). Box type: H/ACA	
2	EPIOSAT00000008359	ID = ncRNA_50084;Name = STnc300;family = RF02070	Predicted snoRNA (0.943542). Box type: H/ACA	

2	OS02T0275300-01	Note = Non-protein coding transcript., Transcript_evidence = AK059207 (DDBJ, Best hit), ORF_evidence = NONE, NIAS_FLcDNA = 001-024-B05,	Predicted snoRNA (0.706598). Box type: H/ACA	X
2	EPIOSAT00000020099	ID = ncRNA_39519;Name = snoR14;family = RF01280	Predicted snoRNA (0.991589). Box type: C/D	
2	EPIOSAT00000048415	ID = ncRNA_14033;Name = MIR403;family = RF00842	Predicted snoRNA (0.988283). Box type: H/ACA	
2	EPIOSAT00000042826	ID = ncRNA_19064;Name = MIR1122;family = RF00906	Predicted snoRNA (0.998495). Box type: H/ACA	
2	EPIOSAT00000020407	ID = ncRNA_39241;Name = snR82;family = RF01261	Predicted snoRNA (0.998877). Box type: H/ACA	
2	EPIOSAT00000044099	ID = ncRNA_17919;Name = MIR1122;family = RF00906	Predicted snoRNA (0.996837). Box type: H/ACA	
2	EPIOSAT00000042935	ID = ncRNA_18967;Name = MIR1122;family = RF00906	Predicted snoRNA (0.79686). Box type: H/ACA	
2	EPIOSAT00000046516	ID = ncRNA_15743;Name = MIR821;family = RF00885	Predicted snoRNA (0.995984). Box type: H/ACA	
2	EPIOSAT00000044014	ID = ncRNA_17996;Name = MIR1122;family = RF00906	Predicted snoRNA (0.998339). Box type: H/ACA	
2	EPIOSAT00000044336	ID = ncRNA_17705;Name = MIR1122;family = RF00906	Predicted snoRNA (0.820468). Box type: H/ACA	

2	EPIOSAT00000045684	ID = ncRNA_16492;Name = MIR821;family = RF00885	Predicted snoRNA (0.816185). Box type: H/ACA	
2	EPIOSAT00000021442	ID = ncRNA_3831;Name = SSU_rRNA_bacteria;family = RF00177	Predicted snoRNA (0.818948). Box type: C/D	
2	EPIOSAT00000009903	ID = ncRNA_48696;Name = SSU_rRNA_eukarya;family = RF01960	Predicted snoRNA (0.818948). Box type: C/D	
2	EPIOSAT00000009951	ID = ncRNA_48652;Name = SSU_rRNA_archaea;family = RF01959	Predicted snoRNA (0.818948). Box type: C/D	
2	EPIOSAT00000021220	ID = ncRNA_3851;Name = SSU_rRNA_bacteria;family = RF00177	Predicted snoRNA (0.818948). Box type: C/D	
2	EPIOSAT00000009927	ID = ncRNA_48674;Name = SSU_rRNA_archaea;family = RF01959	Predicted snoRNA (0.818948). Box type: C/D	
2	EPIOSAT00000009882	ID = ncRNA_48714;Name = SSU_rRNA_eukarya;family = RF01960	Predicted snoRNA (0.818948). Box type: C/D	
2	EPIOSAT00000020404	ID = ncRNA_39244;Name = snR44;family = RF01262	Predicted snoRNA (0.992022). Box type: H/ACA	
2	EPIOSAT00000049645	ID = ncRNA_12927;Name = MIR405;family = RF00768	Predicted snoRNA (0.999923). Box type: H/ACA	
2	EPIOSAT00000035157	ID = ncRNA_25967;Name = MIR1122;family = RF00906	Predicted snoRNA (0.999923). Box type: H/ACA	

2	EPIOSAT00000042284	ID = ncRNA_19552;Name = MIR1122;family = RF00906	Predicted snoRNA (0.980975). Box type: H/ACA	
2	EPIOSAT00000043321	ID = ncRNA_18619;Name = MIR1122;family = RF00906	Predicted snoRNA (0.856887). Box type: H/ACA	
2	EPIOSAT00000012570	ID = ncRNA_46295;Name = HSUR;family = RF01802	Predicted snoRNA (0.92793). Box type: H/ACA	
2	EPIOSAT00000037650	ID = ncRNA_23722;Name = MIR1122;family = RF00906	Predicted snoRNA (0.810014). Box type: H/ACA	
2	EPIOSAT00000008365	ID = ncRNA_50079;Name = STnc300;family = RF02070	Predicted snoRNA (0.967776). Box type: H/ACA	
2	EPIOSAT00000046994	ID = ncRNA_15312;Name = MIR821;family = RF00885	Predicted snoRNA (0.852923). Box type: H/ACA	
2	EPIOSAT00000034082	ID = ncRNA_26934;Name = MIR1122;family = RF00906	Predicted snoRNA (0.759355). Box type: H/ACA	
2	EPIOSAT00000047685	ID = ncRNA_14691;Name = MIR811;family = RF00882	Predicted snoRNA (0.799843). Box type: H/ACA	
2	EPIOSAT00000040282	ID = ncRNA_21353;Name = MIR1122;family = RF00906	Predicted snoRNA (0.773226). Box type: H/ACA	
2	EPIOSAT00000045474	ID = ncRNA_16681;Name = MIR821;family = RF00885	Predicted snoRNA (0.83315). Box type: H/ACA	
2	EPIOSAT00000038685	ID = ncRNA_22791;Name = MIR1122;family = RF00906	Predicted snoRNA (0.920172). Box type: H/ACA	
2	EPIOSAT00000046559	ID = ncRNA_15704;Name = MIR821;family = RF00885	Predicted snoRNA (0.946669). Box type: H/ACA	

2	EPIOSAT00000046618	ID = ncRNA_15651;Name = MIR821;family = RF00885	Predicted snoRNA (0.92269). Box type: H/ACA	
2	EPIOSAT00000046545	ID = ncRNA_15717;Name = MIR821;family = RF00885	Predicted snoRNA (0.93085). Box type: H/ACA	
2	EPIOSAT00000040304	ID = ncRNA_21333;Name = MIR1122;family = RF00906	Predicted snoRNA (0.771062). Box type: H/ACA	
2	EPIOSAT00000038368	ID = ncRNA_23076;Name = MIR1122;family = RF00906	Predicted snoRNA (0.947608). Box type: H/ACA	
2	EPIOSAT00000040162	ID = ncRNA_21461;Name = MIR1122;family = RF00906	Predicted snoRNA (0.746282). Box type: H/ACA	
2	EPIOSAT00000047090	ID = ncRNA_15226;Name = MIR821;family = RF00885	Predicted snoRNA (0.823936). Box type: H/ACA	
2	EPIOSAT00000052748	ID = ncRNA_10133;Name = P15;family = RF00627	Predicted snoRNA (0.999494). Box type: H/ACA	
2	EPIOSAT00000030143	ID = ncRNA_30479;Name = MIR1122;family = RF00906	Predicted snoRNA (0.743561). Box type: H/ACA	
2	EPIOSAT00000032264	ID = ncRNA_28570;Name = MIR1122;family = RF00906	Predicted snoRNA (0.938922). Box type: H/ACA	
2	EPIOSAT00000042782	ID = ncRNA_19103;Name = MIR1122;family = RF00906	Predicted snoRNA (0.923642). Box type: H/ACA	
2	EPIOSAT00000048949	ID = ncRNA_13553;Name = mir-240;family = RF00804	Predicted snoRNA (0.725161). Box type: H/ACA	
2	EPIOSAT00000045935	ID = ncRNA_16266;Name = MIR821;family = RF00885	Predicted snoRNA (0.999696). Box type: H/ACA	

2	EPIOSAT00000040456	ID = ncRNA_21197;Name = MIR1122;family = RF00906	Predicted snoRNA (0.706325). Box type: H/ACA	
2	EPIOSAT00000042012	ID = ncRNA_19798;Name = MIR1122;family = RF00906	Predicted snoRNA (0.747709). Box type: H/ACA	
2	EPIOSAT00000033589	ID = ncRNA_27378;Name = MIR1122;family = RF00906	Predicted snoRNA (0.713144). Box type: H/ACA	
2	EPIOSAT00000009309	ID = ncRNA_4923;Name = snoZ221_snoR21b;family = RF00300	Predicted snoRNA (0.998939). Box type: C/D	
2	OS02T0557250-00	Note = Non-protein coding transcript., Transcript_evidence = BT017140 (DDBJ), ORF_evidence = NONE,	Predicted snoRNA (0.801004). Box type: C/D	X
2	OS02T0562350-00	Note = Non-protein coding transcript., Transcript_evidence = EU949450 (DDBJ), ORF_evidence = NONE,	Predicted snoRNA (0.8882). Box type: C/D	X
2	EPIOSAT00000020519	ID = ncRNA_39140;Name = snR9;family = RF01245	Predicted snoRNA (0.998183). Box type: H/ACA	
2	EPIOSAT00000052739	ID = ncRNA_10141;Name = P15;family = RF00627	Predicted snoRNA (0.940159). Box type: H/ACA	
2	EPIOSAT00000013938	ID = ncRNA_45063;Name = ceN43;family = RF01633	Predicted snoRNA (0.941158). Box type: H/ACA	
2	EPIOSAT00000046349	ID = ncRNA_15894;Name = MIR821;family = RF00885	Predicted snoRNA (0.978658). Box type: H/ACA	

2	EPIOSAT00000028273	ID = ncRNA_32161;Name = MIR1122;family = RF00906	Predicted snoRNA (0.96142). Box type: H/ACA	
2	EPIOSAT00000013117	ID = ncRNA_45802;Name = Termite-leu;family = RF01730	Predicted snoRNA (0.998183). Box type: H/ACA	
2	EPIOSAT00000000356	ID = ncRNA_9307;Name = snopsi18S-841;family = RF00545	Predicted snoRNA (0.98142). Box type: H/ACA	
2	EPIOSAT00000042573	ID = ncRNA_19292;Name = MIR1122;family = RF00906	Predicted snoRNA (0.899999). Box type: H/ACA	
2	OS02T0618000-01	Note = Non-protein coding transcript., Transcript_evidence = AK111938 (DDBJ, Best hit), ORF_evidence = NONE, NIAS_FLcDNA = 001-009-A04,	Predicted snoRNA (0.963728). Box type: C/D	X
2	EPIOSAT00000053121	ID = ncRNA_9827;Name = SNORD88;family = RF00604	Predicted snoRNA (0.988682). Box type: C/D	
2	EPIOSAT00000044054	ID = ncRNA_1796;Name = SNORD25;family = RF00054	Predicted snoRNA (0.991198). Box type: C/D	
2	OS02T0626200-01	Note = Non-protein coding transcript., Transcript_evidence = AK121303 (DDBJ, Best hit), ORF_evidence = NONE, NIAS_FLcDNA = J023111B15,	Predicted snoRNA (0.804604). Box type: C/D	X
2	EPIOSAT00000041321	ID = ncRNA_20418;Name = MIR1122;family = RF00906	Predicted snoRNA (0.985606). Box type: C/D	

2	EPIOSAT00000031267	ID = ncRNA_29468;Name = MIR1122;family = RF00906	Predicted snoRNA (0.958802). Box type: H/ACA	
2	EPIOSAT00000046151	ID = ncRNA_16071;Name = MIR821;family = RF00885	Predicted snoRNA (0.981706). Box type: H/ACA	
2	EPIOSAT00000020046	ID = ncRNA_39567;Name = snoR31;family = RF01288	Predicted snoRNA (0.98294). Box type: C/D	
2	EPIOSAT00000004186	ID = ncRNA_5860;Name = snoR31_Z110_Z27;family = RF00353	Predicted snoRNA (0.9979). Box type: C/D	
2	EPIOSAT00000024653	ID = ncRNA_3542;Name = SNORD34;family = RF00147	Predicted snoRNA (0.982015). Box type: C/D	
2	EPIOSAT00000020442	ID = ncRNA_3921;Name = SNORD113;family = RF00181	Predicted snoRNA (0.982688). Box type: C/D	
2	EPIOSAT00000022571	ID = ncRNA_37294;Name = snoR77Y;family = RF01178	Predicted snoRNA (0.978311). Box type: C/D	
2	EPIOSAT00000004726	ID = ncRNA_5374;Name = SNORD53_SNORD92;family = RF00325	Predicted snoRNA (0.962536). Box type: C/D	
2	EPIOSAT00000051064	ID = ncRNA_1165;Name = SNORD14;family = RF00016	Predicted snoRNA (0.999146). Box type: C/D	
2	EPIOSAT00000046306	ID = ncRNA_15932;Name = MIR821;family = RF00885	Predicted snoRNA (0.996732). Box type: H/ACA	
2	EPIOSAT00000052250	ID = ncRNA_10582;Name = MIR396;family = RF00648	Predicted snoRNA (0.996732). Box type: H/ACA	

2	EPIOSAT00000013860	ID = ncRNA_45133;Name = ceN59;family = RF01644	Predicted snoRNA (0.947277). Box type: H/ACA	
2	EPIOSAT00000028336	ID = ncRNA_32104;Name = MIR1122;family = RF00906	Predicted snoRNA (0.861479). Box type: H/ACA	
2	EPIOSAT00000044601	ID = ncRNA_17467;Name = MIR1122;family = RF00906	Predicted snoRNA (0.997789). Box type: H/ACA	
2	EPIOSAT00000044639	ID = ncRNA_17432;Name = MIR1122;family = RF00906	Predicted snoRNA (0.979463). Box type: H/ACA	
2	EPIOSAT00000037669	ID = ncRNA_23705;Name = MIR1122;family = RF00906	Predicted snoRNA (0.834263). Box type: H/ACA	
2	EPIOSAT00000020450	ID = ncRNA_39202;Name = snR43;family = RF01256	Predicted snoRNA (0.89366). Box type: H/ACA	
2	EPIOSAT00000014649	ID = ncRNA_44423;Name = snoR03;family = RF01584	Predicted snoRNA (0.9437). Box type: H/ACA	
2	EPIOSAT00000040944	ID = ncRNA_20758;Name = MIR1122;family = RF00906	Predicted snoRNA (0.969376). Box type: H/ACA	
2	EPIOSAT00000008393	ID = ncRNA_50053;Name = STnc70;family = RF02069	Predicted snoRNA (0.999262). Box type: H/ACA	
2	EPIOSAT00000039055	ID = ncRNA_22458;Name = MIR1122;family = RF00906	Predicted snoRNA (0.997131). Box type: H/ACA	
2	EPIOSAT00000041429	ID = ncRNA_20320;Name = MIR1122;family = RF00906	Predicted snoRNA (0.792264). Box type: H/ACA	
2	EPIOSAT00000010076	ID = ncRNA_4854;Name = SCARNA8;family = RF00286	Predicted snoRNA (0.999509). Box type: H/ACA	

2	EPIOSAT00000038584	ID = ncRNA_22882;Name = MIR1122;family = RF00906	Predicted snoRNA (0.920266). Box type: H/ACA	
2	EPIOSAT00000039023	ID = ncRNA_22487;Name = MIR1122;family = RF00906	Predicted snoRNA (0.986935). Box type: H/ACA	
2	EPIOSAT00000046033	ID = ncRNA_16178;Name = MIR821;family = RF00885	Predicted snoRNA (0.915154). Box type: H/ACA	
2	EPIOSAT00000038729	ID = ncRNA_22751;Name = MIR1122;family = RF00906	Predicted snoRNA (0.846077). Box type: H/ACA	
2	EPIOSAT00000018197	ID = ncRNA_4123;Name = snoR160;family = RF00203	Predicted snoRNA (0.97725). Box type: C/D	
2	EPIOSAT00000046983	ID = ncRNA_15322;Name = MIR821;family = RF00885	Predicted snoRNA (0.787053). Box type: H/ACA	
2	OS02T0731050-01	Note = Non-protein coding transcript., Transcript_evidence = AK288395 (DDBJ, Best hit), ORF_evidence = NONE, NIAS_FLcDNA = J090027N13,	Predicted snoRNA (0.91867). Box type: H/ACA	X
2	EPIOSAT00000040806	ID = ncRNA_20882;Name = MIR1122;family = RF00906	Predicted snoRNA (0.998016). Box type: H/ACA	
2	EPIOSAT00000018527	ID = ncRNA_40933;Name = isrG;family = RF01390	Predicted snoRNA (0.999581). Box type: H/ACA	
2	EPIOSAT00000041167	ID = ncRNA_20557;Name = MIR1122;family = RF00906	Predicted snoRNA (0.985936). Box type: H/ACA	

2	EPIOSAT00000047055	ID = ncRNA_15258;Name = MIR821;family = RF00885	Predicted snoRNA (0.917595). Box type: H/ACA	
2	EPIOSAT00000043960	ID = ncRNA_18043;Name = MIR1122;family = RF00906	Predicted snoRNA (0.967202). Box type: H/ACA	
2	OS02T0792600-02	Note = Non-protein coding transcript., Transcript_evidence = AK059575 (DDBJ, Best hit), ORF_evidence = NONE, NIAS_FLCDNA = 001-030-A07,	Predicted snoRNA (0.926765). Box type: C/D	X
2	OS02T0793850-00	Note = Non-protein coding transcript., Transcript_evidence = tplb0045e14 (Wheat FLCDNA), ORF_evidence = NONE,	Predicted snoRNA (0.83097). Box type: C/D	X
2	EPIOSAT00000037052	ID = ncRNA_24260;Name = MIR1122;family = RF00906	Predicted snoRNA (0.854784). Box type: H/ACA	
2	EPIOSAT00000045093	ID = ncRNA_17023;Name = MIR807;family = RF00886	Predicted snoRNA (0.892705). Box type: H/ACA	
2	EPIOSAT00000041705	ID = ncRNA_20072;Name = MIR1122;family = RF00906	Predicted snoRNA (0.867867). Box type: H/ACA	
2	OS02T0810425-00	Note = Non-protein coding transcript., Transcript_evidence = tplb0035e01 (Wheat FLCDNA), ORF_evidence = NONE,	Predicted snoRNA (0.874483). Box type: H/ACA	X

2	EPIOSAT00000000338	ID = ncRNA_9323;Name = SCARNA1;family = RF00553	Predicted snoRNA (0.897976). Box type: H/ACA	
2	EPIOSAT00000045969	ID = ncRNA_16235;Name = MIR821;family = RF00885	Predicted snoRNA (0.869224). Box type: H/ACA	
2	OS02T0816350-00	Note = Non-protein coding transcript., Transcript_evidence = BT018460 (DDBJ), ORF_evidence = NONE,	Predicted snoRNA (0.753001). Box type: H/ACA	X
2	EPIOSAT00000026642	ID = ncRNA_3363;Name = snoR24;family = RF00132	Predicted snoRNA (0.996548). Box type: C/D	
2	EPIOSAT00000033954	ID = ncRNA_27049;Name = MIR1122;family = RF00906	Predicted snoRNA (0.709049). Box type: H/ACA	
2	EPIOSAT00000035743	ID = ncRNA_25439;Name = MIR1122;family = RF00906	Predicted snoRNA (0.965073). Box type: H/ACA	
3	EPIOSAT00000035212	ID = ncRNA_25917;Name = MIR1122;family = RF00906	Predicted snoRNA (0.70534). Box type: H/ACA	
3	EPIOSAT00000035323	ID = ncRNA_25817;Name = MIR1122;family = RF00906	Predicted snoRNA (0.926981). Box type: H/ACA	
3	OS03T0127800-00	Note = Non-protein coding transcript., Transcript_evidence = EU947022 (DDBJ), ORF_evidence = NONE,	Predicted snoRNA (0.701847). Box type: H/ACA	X
3	EPIOSAT00000034758	ID = ncRNA_26325;Name = MIR1122;family = RF00906	Predicted snoRNA (0.766521). Box type: H/ACA	

3	OS03T0140551-01	Note = Non-protein coding transcript., Transcript_evidence = AK288184 (DDBJ, Best hit), ORF_evidence = NONE, NIAS_FLcDNA = J090005P17,	Predicted snoRNA (0.725108). Box type: C/D	X
3	EPIOSAT00000045073	ID = ncRNA_17041;Name = MIR807;family = RF00886	Predicted snoRNA (0.775439). Box type: H/ACA	
3	EPIOSAT00000039616	ID = ncRNA_21953;Name = MIR1122;family = RF00906	Predicted snoRNA (0.903204). Box type: H/ACA	
3	OS03T0157800-03	Note = Non-protein coding transcript., Transcript_evidence = AK058261 (DDBJ, Best hit), ORF_evidence = NONE, NIAS_FLcDNA = 001-012-G06,	Predicted snoRNA (0.996271). Box type: H/ACA	X
3	EPIOSAT00000045845	ID = ncRNA_16347;Name = MIR821;family = RF00885	Predicted snoRNA (0.832761). Box type: H/ACA	
3	EPIOSAT00000010069	ID = ncRNA_48546;Name = KCNQ1OT1_2;family = RF01947	Predicted snoRNA (0.950501). Box type: H/ACA	
3	OS03T0166050-00	Note = Non-protein coding transcript., Transcript_evidence = BT084776 (DDBJ), ORF_evidence = NONE,	Predicted snoRNA (0.832646). Box type: H/ACA	X
3	EPIOSAT00000003795	ID = ncRNA_6211;Name = SNORA5;family = RF00392	Predicted snoRNA (0.999975). Box type: H/ACA	

3	OS03T0178600-01	Note = Non-protein coding transcript., Transcript_evidence = AK058677 (DDBJ, Best hit), ORF_evidence = NONE, NIAS_FLcDNA = 001-018-H09,	Predicted snoRNA (0.844864). Box type: H/ACA	X
3	EPIOSAT00000039712	ID = ncRNA_21867;Name = MIR1122;family = RF00906	Predicted snoRNA (0.782134). Box type: H/ACA	
3	OS03T0182900-01	Note = Non-protein coding transcript., Transcript_evidence = AK103663 (DDBJ, Best hit), ORF_evidence = NONE, NIAS_FLcDNA = J033135I20,	Predicted snoRNA (0.93758). Box type: H/ACA	X
3	EPIOSAT00000040440	ID = ncRNA_21210;Name = MIR1122;family = RF00906	Predicted snoRNA (0.867428). Box type: H/ACA	
3	EPIOSAT00000040924	ID = ncRNA_20776;Name = MIR1122;family = RF00906	Predicted snoRNA (0.853658). Box type: H/ACA	
3	EPIOSAT00000043337	ID = ncRNA_18604;Name = MIR1122;family = RF00906	Predicted snoRNA (0.730816). Box type: H/ACA	
3	EPIOSAT00000009365	ID = ncRNA_4918;Name = snoR16;family = RF00296	Predicted snoRNA (0.981785). Box type: C/D	
3	EPIOSAT00000004648	ID = ncRNA_5444;Name = snoZ266;family = RF00332	Predicted snoRNA (0.980904). Box type: C/D	
3	EPIOSAT00000004707	ID = ncRNA_5391;Name = snoZ155;family = RF00326	Predicted snoRNA (0.991549). Box type: C/D	

3	EPIOSAT00000004647	ID = ncRNA_5445;Name = snoZ266;family = RF00332	Predicted snoRNA (0.996968). Box type: C/D	
3	OS03T0240166-00	Note = Non-protein coding transcript., Transcript_evidence = EU942606 (DDBJ), ORF_evidence = NONE,	Predicted snoRNA (0.993581). Box type: H/ACA	X
3	OS03T0242350-01	Note = Non-protein coding transcript., Transcript_evidence = AK069304 (DDBJ, Best hit), ORF_evidence = NONE, NIAS_FLcDNA = J023010M20,	Predicted snoRNA (0.973072). Box type: H/ACA	X
3	EPIOSAT000000045844	ID = ncRNA_16348;Name = MIR821;family = RF00885	Predicted snoRNA (0.923184). Box type: H/ACA	
3	EPIOSAT000000046217	ID = ncRNA_16011;Name = MIR821;family = RF00885	Predicted snoRNA (0.857795). Box type: H/ACA	
3	EPIOSAT000000008351	ID = ncRNA_50091;Name = STnc300;family = RF02070	Predicted snoRNA (0.810784). Box type: H/ACA	
3	EPIOSAT000000017945	ID = ncRNA_41457;Name = S_pombe_snR95;family = RF01446	Predicted snoRNA (0.98425). Box type: H/ACA	
3	EPIOSAT000000015553	ID = ncRNA_4361;Name = glmS;family = RF00234	Predicted snoRNA (0.812839). Box type: H/ACA	
3	EPIOSAT000000039479	ID = ncRNA_22076;Name = MIR1122;family = RF00906	Predicted snoRNA (0.978415). Box type: H/ACA	
3	EPIOSAT000000038658	ID = ncRNA_22815;Name = MIR1122;family = RF00906	Predicted snoRNA (0.942274). Box type: H/ACA	

3	EPIOSAT00000047965	ID = ncRNA_14439;Name = MIR811;family = RF00882	Predicted snoRNA (0.866711). Box type: H/ACA	
3	EPIOSAT00000034612	ID = ncRNA_26457;Name = MIR1122;family = RF00906	Predicted snoRNA (0.913206). Box type: H/ACA	
3	OS03T0310633-00	Note = Non-protein coding transcript., Transcript_evidence = BT085296 (DDBJ), ORF_evidence = NONE,	Predicted snoRNA (0.702749). Box type: H/ACA	X
3	EPIOSAT00000035386	ID = ncRNA_25760;Name = MIR1122;family = RF00906	Predicted snoRNA (0.948506). Box type: H/ACA	
3	EPIOSAT00000038640	ID = ncRNA_22831;Name = MIR1122;family = RF00906	Predicted snoRNA (0.769534). Box type: H/ACA	
3	EPIOSAT00000040581	ID = ncRNA_21084;Name = MIR1122;family = RF00906	Predicted snoRNA (0.904103). Box type: H/ACA	
3	EPIOSAT00000014128	ID = ncRNA_44893;Name = ceN103;family = RF01609	Predicted snoRNA (0.996727). Box type: C/D	
3	EPIOSAT00000040043	ID = ncRNA_21569;Name = MIR1122;family = RF00906	Predicted snoRNA (0.716023). Box type: H/ACA	
3	EPIOSAT00000029615	ID = ncRNA_30954;Name = MIR1122;family = RF00906	Predicted snoRNA (0.822704). Box type: H/ACA	
3	EPIOSAT00000037306	ID = ncRNA_24031;Name = MIR1122;family = RF00906	Predicted snoRNA (0.988673). Box type: H/ACA	
3	EPIOSAT00000024709	ID = ncRNA_3537;Name = SNORD34;family = RF00147	Predicted snoRNA (0.929579). Box type: C/D	

3	EPIOSAT00000046611	ID = ncRNA_15658;Name = MIR821;family = RF00885	Predicted snoRNA (0.742929). Box type: H/ACA	
3	EPIOSAT00000009376	ID = ncRNA_4917;Name = snoR16;family = RF00296	Predicted snoRNA (0.983968). Box type: C/D	
3	EPIOSAT00000044864	ID = ncRNA_1723;Name = SNORD36;family = RF00049	Predicted snoRNA (0.981364). Box type: C/D	
3	EPIOSAT00000048917	ID = ncRNA_13582;Name = mir-240;family = RF00804	Predicted snoRNA (0.87848). Box type: H/ACA	
3	EPIOSAT00000028412	ID = ncRNA_32036;Name = MIR1122;family = RF00906	Predicted snoRNA (0.998049). Box type: H/ACA	
3	EPIOSAT00000047227	ID = ncRNA_15102;Name = MIR821;family = RF00885	Predicted snoRNA (0.923143). Box type: H/ACA	
3	EPIOSAT00000048997	ID = ncRNA_1351;Name = Telomerase-cil;family = RF00025	Predicted snoRNA (0.777521). Box type: H/ACA	
3	EPIOSAT00000038137	ID = ncRNA_23284;Name = MIR1122;family = RF00906	Predicted snoRNA (0.800756). Box type: H/ACA	
3	EPIOSAT00000004004	ID = ncRNA_6023;Name = sroC;family = RF00369	Predicted snoRNA (0.994773). Box type: H/ACA	
3	EPIOSAT00000018653	ID = ncRNA_4082;Name = snoZ199;family = RF00200	Predicted snoRNA (0.984139). Box type: C/D	
3	EPIOSAT00000004677	ID = ncRNA_5418;Name = snoZ162;family = RF00329	Predicted snoRNA (0.999178). Box type: C/D	
3	EPIOSAT00000046778	ID = ncRNA_15507;Name = MIR821;family = RF00885	Predicted snoRNA (0.973028). Box type: H/ACA	

3	EPIOSAT00000046849	ID = ncRNA_15443;Name = MIR821;family = RF00885	Predicted snoRNA (0.998656). Box type: H/ACA	
3	EPIOSAT00000045727	ID = ncRNA_16453;Name = MIR821;family = RF00885	Predicted snoRNA (0.731703). Box type: H/ACA	
3	EPIOSAT00000045737	ID = ncRNA_16444;Name = MIR821;family = RF00885	Predicted snoRNA (0.844356). Box type: H/ACA	
3	EPIOSAT00000046758	ID = ncRNA_15525;Name = MIR821;family = RF00885	Predicted snoRNA (0.974339). Box type: H/ACA	
3	OS03T0394001-01	Note = Non-protein coding transcript., Transcript_evidence = AK288850 (DDBJ, Best hit), ORF_evidence = NONE, NIAS_FLcDNA = J090075H22,	Predicted snoRNA (0.892716). Box type: C/D	X
3	EPIOSAT00000040434	ID = ncRNA_21216;Name = MIR1122;family = RF00906	Predicted snoRNA (0.995278). Box type: H/ACA	
3	EPIOSAT00000012566	ID = ncRNA_46299;Name = HSUR;family = RF01802	Predicted snoRNA (0.898438). Box type: H/ACA	
3	EPIOSAT00000017961	ID = ncRNA_41442;Name = S_pombe_snR46;family = RF01441	Predicted snoRNA (0.92494). Box type: H/ACA	
3	EPIOSAT00000031080	ID = ncRNA_29636;Name = MIR1122;family = RF00906	Predicted snoRNA (0.990478). Box type: H/ACA	
3	OS03T0408401-00	Note = Non-protein coding transcript., Transcript_evidence = FP096267 (DDBJ), ORF_evidence = NONE,	Predicted snoRNA (0.996753). Box type: C/D	X

3	EPIOSAT00000004634	ID = ncRNA_5457;Name = snoZ157;family = RF00333	Predicted snoRNA (0.997307). Box type: C/D	
3	EPIOSAT000000023098	ID = ncRNA_3682;Name = snoZ159;family = RF00160	Predicted snoRNA (0.970825). Box type: C/D	
3	EPIOSAT000000018000	ID = ncRNA_41407;Name = snoR137;family = RF01433	Predicted snoRNA (0.997468). Box type: H/ACA	
3	EPIOSAT00000004667	ID = ncRNA_5427;Name = snoZ162;family = RF00329	Predicted snoRNA (0.997694). Box type: C/D	
3	EPIOSAT000000016442	ID = ncRNA_4281;Name = SNORD46;family = RF00218	Predicted snoRNA (0.993861). Box type: C/D	
3	EPIOSAT000000018022	ID = ncRNA_41388;Name = snoR135;family = RF01431	Predicted snoRNA (0.999991). Box type: H/ACA	
3	EPIOSAT000000018377	ID = ncRNA_41068;Name = isrL;family = RF01395	Predicted snoRNA (0.832782). Box type: H/ACA	
3	EPIOSAT000000008368	ID = ncRNA_50076;Name = STnc300;family = RF02070	Predicted snoRNA (0.933277). Box type: H/ACA	
3	EPIOSAT000000043931	ID = ncRNA_1807;Name = SNORD96;family = RF00055	Predicted snoRNA (0.998712). Box type: C/D	
3	EPIOSAT000000038810	ID = ncRNA_22679;Name = MIR1122;family = RF00906	Predicted snoRNA (0.925637). Box type: H/ACA	
3	EPIOSAT000000047185	ID = ncRNA_15140;Name = MIR821;family = RF00885	Predicted snoRNA (0.906651). Box type: H/ACA	
3	EPIOSAT000000036998	ID = ncRNA_24309;Name = MIR1122;family = RF00906	Predicted snoRNA (0.79023). Box type: H/ACA	

3	EPIOSAT00000042269	ID = ncRNA_19566;Name = MIR1122;family = RF00906	Predicted snoRNA (0.75241). Box type: H/ACA	
3	EPIOSAT00000043619	ID = ncRNA_18350;Name = MIR1122;family = RF00906	Predicted snoRNA (0.733976). Box type: H/ACA	
3	EPIOSAT00000046967	ID = ncRNA_15337;Name = MIR821;family = RF00885	Predicted snoRNA (0.901977). Box type: H/ACA	
3	OS03T0579800-01	Note = Non-protein coding transcript., Transcript_evidence = AK109588 (DDBJ, Best hit), ORF_evidence = NONE, NIAS_FLcDNA = 002-137-B08,	Predicted snoRNA (0.77421). Box type: C/D	X
3	EPIOSAT00000042397	ID = ncRNA_19450;Name = MIR1122;family = RF00906	Predicted snoRNA (0.84498). Box type: H/ACA	
3	EPIOSAT00000022364	ID = ncRNA_37480;Name = SNORD19B;family = RF01183	Predicted snoRNA (0.884467). Box type: C/D	
3	EPIOSAT00000047203	ID = ncRNA_15124;Name = MIR821;family = RF00885	Predicted snoRNA (0.755924). Box type: H/ACA	
3	OS03T0611100-01	Note = Non-protein coding transcript., Transcript_evidence = AK102950 (DDBJ, Best hit), ORF_evidence = NONE, NIAS_FLcDNA = J033115D13,	Predicted snoRNA (0.795701). Box type: H/ACA	X
3	EPIOSAT00000046239	ID = ncRNA_15993;Name = MIR821;family = RF00885	Predicted snoRNA (0.996159). Box type: H/ACA	

3	EPIOSAT00000050999	ID = ncRNA_11708;Name = MIR408;family = RF00690	Predicted snoRNA (0.999994). Box type: H/ACA	
3	EPIOSAT00000009942	ID = ncRNA_48660;Name = SSU_rRNA_archaea;family = RF01959	Predicted snoRNA (0.888784). Box type: H/ACA	
3	EPIOSAT00000045816	ID = ncRNA_16373;Name = MIR821;family = RF00885	Predicted snoRNA (0.831647). Box type: H/ACA	
3	EPIOSAT00000046547	ID = ncRNA_15715;Name = MIR821;family = RF00885	Predicted snoRNA (0.971356). Box type: H/ACA	
3	EPIOSAT00000046301	ID = ncRNA_15937;Name = MIR821;family = RF00885	Predicted snoRNA (0.996616). Box type: H/ACA	
3	EPIOSAT00000035275	ID = ncRNA_25860;Name = MIR1122;family = RF00906	Predicted snoRNA (0.829968). Box type: H/ACA	
3	EPIOSAT00000045077	ID = ncRNA_17038;Name = MIR807;family = RF00886	Predicted snoRNA (0.950979). Box type: H/ACA	
3	EPIOSAT00000038445	ID = ncRNA_23006;Name = MIR1122;family = RF00906	Predicted snoRNA (0.803042). Box type: H/ACA	
3	EPIOSAT00000042660	ID = ncRNA_19213;Name = MIR1122;family = RF00906	Predicted snoRNA (0.828165). Box type: H/ACA	
3	EPIOSAT00000046478	ID = ncRNA_15778;Name = MIR821;family = RF00885	Predicted snoRNA (0.782213). Box type: H/ACA	
3	EPIOSAT00000012515	ID = ncRNA_46344;Name = HSUR;family = RF01802	Predicted snoRNA (0.999547). Box type: H/ACA	

3	EPIOSAT00000040405	ID = ncRNA_21242;Name = MIR1122;family = RF00906	Predicted snoRNA (0.779516). Box type: H/ACA	
3	EPIOSAT00000045607	ID = ncRNA_16561;Name = MIR821;family = RF00885	Predicted snoRNA (0.924257). Box type: H/ACA	
3	EPIOSAT00000046730	ID = ncRNA_15550;Name = MIR821;family = RF00885	Predicted snoRNA (0.821654). Box type: H/ACA	
3	EPIOSAT00000046708	ID = ncRNA_15570;Name = MIR821;family = RF00885	Predicted snoRNA (0.878477). Box type: H/ACA	
3	EPIOSAT00000000267	ID = ncRNA_9388;Name = SNORA53;family = RF00563	Predicted snoRNA (0.956122). Box type: H/ACA	
3	EPIOSAT00000008376	ID = ncRNA_50069;Name = STnc70;family = RF02069	Predicted snoRNA (0.924195). Box type: H/ACA	
3	EPIOSAT00000008763	ID = ncRNA_49721;Name = HOTTIP_3;family = RF02042	Predicted snoRNA (0.999217). Box type: H/ACA	
3	EPIOSAT00000018066	ID = ncRNA_41348;Name = snoR126;family = RF01426	Predicted snoRNA (0.980593). Box type: C/D	
3	EPIOSAT00000018065	ID = ncRNA_41349;Name = snoR126;family = RF01426	Predicted snoRNA (0.996679). Box type: C/D	
3	EPIOSAT00000046348	ID = ncRNA_15895;Name = MIR821;family = RF00885	Predicted snoRNA (0.938138). Box type: H/ACA	
3	EPIOSAT00000042512	ID = ncRNA_19347;Name = MIR1122;family = RF00906	Predicted snoRNA (0.72945). Box type: H/ACA	

3	OS03T0685200-01	Note = Non-protein coding transcript., Transcript_evidence = AK288434 (DDBJ, Best hit), ORF_evidence = NONE, NIAS_FLCDNA = J090033J09,	Predicted snoRNA (0.996341). Box type: C/D	X
3	EPIOSAT00000026978	ID = ncRNA_33327;Name = MIR530;family = RF01005	Predicted snoRNA (0.818958). Box type: H/ACA	
3	EPIOSAT00000020461	ID = ncRNA_39193;Name = snR46;family = RF01253	Predicted snoRNA (0.999567). Box type: H/ACA	
3	EPIOSAT00000044766	ID = ncRNA_17318;Name = MIR1122;family = RF00906	Predicted snoRNA (0.998221). Box type: H/ACA	
3	EPIOSAT00000044768	ID = ncRNA_17316;Name = MIR1122;family = RF00906	Predicted snoRNA (0.997663). Box type: H/ACA	
3	EPIOSAT00000008356	ID = ncRNA_50087;Name = STnc300;family = RF02070	Predicted snoRNA (0.933277). Box type: H/ACA	
3	EPIOSAT00000030607	ID = ncRNA_30060;Name = MIR1122;family = RF00906	Predicted snoRNA (0.757063). Box type: H/ACA	
3	EPIOSAT00000002305	ID = ncRNA_7553;Name = mir-172;family = RF00452	Predicted snoRNA (0.877542). Box type: H/ACA	
3	OS03T0726350-00	Note = Non-protein coding transcript., Transcript_evidence = tplb0021b12 (Wheat FLCDNA), ORF_evidence = NONE,	Predicted snoRNA (0.924694). Box type: C/D	X

3	EPIOSAT00000032219	ID = ncRNA_28610;Name = MIR1122;family = RF00906	Predicted snoRNA (0.854054). Box type: H/ACA	
3	EPIOSAT00000043834	ID = ncRNA_18157;Name = MIR1122;family = RF00906	Predicted snoRNA (0.923863). Box type: H/ACA	
3	EPIOSAT00000036826	ID = ncRNA_24464;Name = MIR1122;family = RF00906	Predicted snoRNA (0.815459). Box type: H/ACA	
3	OS03T0730750-00	Note = Non-protein coding transcript., Transcript_evidence = tplb0035f04 (Wheat FLcDNA), ORF_evidence = NONE,	Predicted snoRNA (0.76045). Box type: H/ACA	X
3	EPIOSAT00000046813	ID = ncRNA_15476;Name = MIR821;family = RF00885	Predicted snoRNA (0.999884). Box type: H/ACA	
3	EPIOSAT00000046902	ID = ncRNA_15396;Name = MIR821;family = RF00885	Predicted snoRNA (0.872727). Box type: H/ACA	
3	EPIOSAT00000039776	ID = ncRNA_21809;Name = MIR1122;family = RF00906	Predicted snoRNA (0.718095). Box type: H/ACA	
3	EPIOSAT00000036763	ID = ncRNA_24520;Name = MIR1122;family = RF00906	Predicted snoRNA (0.951096). Box type: H/ACA	
3	EPIOSAT00000046381	ID = ncRNA_15865;Name = MIR821;family = RF00885	Predicted snoRNA (0.993738). Box type: H/ACA	
3	EPIOSAT00000045870	ID = ncRNA_16324;Name = MIR821;family = RF00885	Predicted snoRNA (0.868576). Box type: H/ACA	
3	EPIOSAT00000022567	ID = ncRNA_37298;Name = snoR77Y;family = RF01178	Predicted snoRNA (0.993374). Box type: C/D	

3	EPIOSAT000000024642	ID = ncRNA_3543;Name = SNORD34;family = RF00147	Predicted snoRNA (0.995595). Box type: C/D	
3	EPIOSAT000000018128	ID = ncRNA_41292;Name = snoR117;family = RF01423	Predicted snoRNA (0.97645). Box type: C/D	
3	EPIOSAT000000004724	ID = ncRNA_5376;Name = SNORD53_SNORD92;family = RF00325	Predicted snoRNA (0.975321). Box type: C/D	
3	EPIOSAT000000004190	ID = ncRNA_5857;Name = snoR31_Z110_Z27;family = RF00353	Predicted snoRNA (0.997784). Box type: C/D	
3	EPIOSAT000000051086	ID = ncRNA_1163;Name = SNORD14;family = RF00016	Predicted snoRNA (0.999192). Box type: C/D	
3	EPIOSAT000000022570	ID = ncRNA_37295;Name = snoR77Y;family = RF01178	Predicted snoRNA (0.994001). Box type: C/D	
3	EPIOSAT000000024620	ID = ncRNA_3545;Name = SNORD34;family = RF00147	Predicted snoRNA (0.995907). Box type: C/D	
3	EPIOSAT000000018132	ID = ncRNA_41289;Name = snoR117;family = RF01423	Predicted snoRNA (0.979477). Box type: C/D	
3	EPIOSAT000000004733	ID = ncRNA_5368;Name = SNORD53_SNORD92;family = RF00325	Predicted snoRNA (0.978335). Box type: C/D	
3	EPIOSAT000000004185	ID = ncRNA_5861;Name = snoR31_Z110_Z27;family = RF00353	Predicted snoRNA (0.989655). Box type: C/D	

3	EPIOSAT00000051053	ID = ncRNA_1166;Name = SNORD14;family = RF00016	Predicted snoRNA (0.999217). Box type: C/D	
3	EPIOSAT00000022569	ID = ncRNA_37296;Name = snoR77Y;family = RF01178	Predicted snoRNA (0.994001). Box type: C/D	
3	EPIOSAT00000024609	ID = ncRNA_3546;Name = SNORD34;family = RF00147	Predicted snoRNA (0.995907). Box type: C/D	
3	EPIOSAT00000018130	ID = ncRNA_41290;Name = snoR117;family = RF01423	Predicted snoRNA (0.979477). Box type: C/D	
3	EPIOSAT00000004732	ID = ncRNA_5369;Name = SNORD53_SNORD92;family = RF00325	Predicted snoRNA (0.978335). Box type: C/D	
3	EPIOSAT00000004184	ID = ncRNA_5862;Name = snoR31_Z110_Z27;family = RF00353	Predicted snoRNA (0.989655). Box type: C/D	
3	EPIOSAT00000051075	ID = ncRNA_1164;Name = SNORD14;family = RF00016	Predicted snoRNA (0.999192). Box type: C/D	
3	EPIOSAT00000022568	ID = ncRNA_37297;Name = snoR77Y;family = RF01178	Predicted snoRNA (0.994001). Box type: C/D	
3	EPIOSAT00000024598	ID = ncRNA_3547;Name = SNORD34;family = RF00147	Predicted snoRNA (0.995907). Box type: C/D	
3	EPIOSAT00000018129	ID = ncRNA_41291;Name = snoR117;family = RF01423	Predicted snoRNA (0.979477). Box type: C/D	
3	EPIOSAT00000004730	ID = ncRNA_5370;Name = SNORD53_SNORD92;family = RF00325	Predicted snoRNA (0.978335). Box type: C/D	

3	EPIOSAT00000004189	ID = ncRNA_5858;Name = snoR31_Z110_Z27;family = RF00353	Predicted snoRNA (0.997784). Box type: C/D	
3	EPIOSAT00000020045	ID = ncRNA_39568;Name = snoR31;family = RF01288	Predicted snoRNA (0.983956). Box type: C/D	
3	EPIOSAT00000022566	ID = ncRNA_37299;Name = snoR77Y;family = RF01178	Predicted snoRNA (0.993374). Box type: C/D	
3	EPIOSAT00000024631	ID = ncRNA_3544;Name = SNORD34;family = RF00147	Predicted snoRNA (0.995595). Box type: C/D	
3	EPIOSAT00000018127	ID = ncRNA_41293;Name = snoR117;family = RF01423	Predicted snoRNA (0.97645). Box type: C/D	
3	EPIOSAT00000004723	ID = ncRNA_5377;Name = SNORD53_SNORD92;family = RF00325	Predicted snoRNA (0.975321). Box type: C/D	
3	EPIOSAT00000004188	ID = ncRNA_5859;Name = snoR31_Z110_Z27;family = RF00353	Predicted snoRNA (0.997784). Box type: C/D	
3	EPIOSAT00000020044	ID = ncRNA_39569;Name = snoR31;family = RF01288	Predicted snoRNA (0.983956). Box type: C/D	
3	EPIOSAT00000040253	ID = ncRNA_2138;Name = SNORD24;family = RF00069	Predicted snoRNA (0.844506). Box type: C/D	
3	EPIOSAT00000018042	ID = ncRNA_4137;Name = snoR12;family = RF00204	Predicted snoRNA (0.982635). Box type: C/D	
3	EPIOSAT00000018031	ID = ncRNA_4138;Name = snoR12;family = RF00204	Predicted snoRNA (0.983456). Box type: C/D	

3	EPIOSAT00000040264	ID = ncRNA_2137;Name = SNORD24;family = RF00069	Predicted snoRNA (0.970862). Box type: C/D	
3	EPIOSAT00000005359	ID = ncRNA_52785;Name = ST7-OT4_3;family = RF02189	Predicted snoRNA (0.968839). Box type: H/ACA	
3	EPIOSAT00000011903	ID = ncRNA_46896;Name = Plant_U3;family = RF01847	Predicted snoRNA (0.910508). Box type: H/ACA	
3	EPIOSAT00000042557	ID = ncRNA_19306;Name = MIR1122;family = RF00906	Predicted snoRNA (0.996306). Box type: H/ACA	
3	EPIOSAT00000044417	ID = ncRNA_17632;Name = MIR1122;family = RF00906	Predicted snoRNA (0.967694). Box type: H/ACA	
3	EPIOSAT00000035826	ID = ncRNA_25364;Name = MIR1122;family = RF00906	Predicted snoRNA (0.919019). Box type: H/ACA	
3	EPIOSAT00000034359	ID = ncRNA_26685;Name = MIR1122;family = RF00906	Predicted snoRNA (0.923018). Box type: H/ACA	
3	EPIOSAT00000004674	ID = ncRNA_5420;Name = snoZ162;family = RF00329	Predicted snoRNA (0.995634). Box type: C/D	
3	EPIOSAT00000000552	ID = ncRNA_9130;Name = snoMe28S-Am2589;family = RF00529	Predicted snoRNA (0.990837). Box type: C/D	
3	EPIOSAT00000000562	ID = ncRNA_9121;Name = snoMe28S-Am2589;family = RF00529	Predicted snoRNA (0.993281). Box type: C/D	
3	EPIOSAT00000033983	ID = ncRNA_27022;Name = MIR1122;family = RF00906	Predicted snoRNA (0.943595). Box type: H/ACA	
3	EPIOSAT00000047554	ID = ncRNA_14809;Name = MIR811;family = RF00882	Predicted snoRNA (0.734002). Box type: H/ACA	

3	EPIOSAT00000047991	ID = ncRNA_14415;Name = MIR811;family = RF00882	Predicted snoRNA (0.952507). Box type: H/ACA	
3	OS03T0796502-00	Note = Non-protein coding transcript., Transcript_evidence = FP094971 (DDBJ), ORF_evidence = NONE,	Predicted snoRNA (0.851991). Box type: C/D	X
3	OS03T0800300-00	Note = Non-protein coding transcript., Transcript_evidence = BT016774 (DDBJ), ORF_evidence = NONE,	Predicted snoRNA (0.820144). Box type: C/D	X
3	EPIOSAT00000046015	ID = ncRNA_16194;Name = MIR821;family = RF00885	Predicted snoRNA (0.91288). Box type: H/ACA	
3	OS03T0808175-00	Note = Non-protein coding transcript., Transcript_evidence = U48693 (DDBJ), ORF_evidence = NONE,	Predicted snoRNA (0.740283). Box type: H/ACA	X
3	OS03T0832800-06	Note = Non-protein coding transcript., Transcript_evidence = AK062843 (DDBJ, Best hit), ORF_evidence = NONE, NIAS_FLCdNA = 001-107-H07,	Predicted snoRNA (0.904207). Box type: H/ACA	X
3	EPIOSAT00000005472	ID = ncRNA_52683;Name = SMAD5-AS1_1;family = RF02173	Predicted snoRNA (0.785722). Box type: H/ACA	
3	EPIOSAT00000003584	ID = ncRNA_6401;Name = Hsp90_CRE;family = RF00433	Predicted snoRNA (0.99991). Box type: H/ACA	

3	EPIOSAT00000025687	ID = ncRNA_3449;Name = SNORA72;family = RF00139	Predicted snoRNA (0.99991). Box type: H/ACA	
3	OS03T0859850-00	Note = Non-protein coding transcript., Transcript_evidence = EU946238 (DDBJ), ORF_evidence = NONE,	Predicted snoRNA (0.728879). Box type: C/D	X
4	EPIOSAT00000046826	ID = ncRNA_15464;Name = MIR821;family = RF00885	Predicted snoRNA (0.935323). Box type: H/ACA	
4	EPIOSAT00000046843	ID = ncRNA_15449;Name = MIR821;family = RF00885	Predicted snoRNA (0.860993). Box type: H/ACA	
4	EPIOSAT00000026427	ID = ncRNA_33823;Name = MIR1023;family = RF01043	Predicted snoRNA (0.999362). Box type: H/ACA	
4	EPIOSAT00000026428	ID = ncRNA_33822;Name = MIR1023;family = RF01043	Predicted snoRNA (0.835134). Box type: H/ACA	
4	EPIOSAT00000045432	ID = ncRNA_16719;Name = MIR821;family = RF00885	Predicted snoRNA (0.984333). Box type: H/ACA	
4	EPIOSAT00000046989	ID = ncRNA_15317;Name = MIR821;family = RF00885	Predicted snoRNA (0.995062). Box type: H/ACA	
4	EPIOSAT00000012545	ID = ncRNA_46317;Name = HSUR;family = RF01802	Predicted snoRNA (0.878736). Box type: H/ACA	
4	EPIOSAT00000012563	ID = ncRNA_46300;Name = HSUR;family = RF01802	Predicted snoRNA (0.993403). Box type: H/ACA	
4	EPIOSAT00000045847	ID = ncRNA_16345;Name = MIR821;family = RF00885	Predicted snoRNA (0.803291). Box type: H/ACA	

4	EPIOSAT00000020478	ID = ncRNA_39178;Name = snR46;family = RF01253	Predicted snoRNA (0.985497). Box type: H/ACA	
4	EPIOSAT00000035180	ID = ncRNA_25946;Name = MIR1122;family = RF00906	Predicted snoRNA (0.93805). Box type: H/ACA	
4	EPIOSAT00000020594	ID = ncRNA_39073;Name = snoU109;family = RF01233	Predicted snoRNA (0.869593). Box type: H/ACA	
4	EPIOSAT00000019941	ID = ncRNA_39661;Name = snoR2;family = RF01292	Predicted snoRNA (0.996653). Box type: H/ACA	
4	EPIOSAT00000014658	ID = ncRNA_44415;Name = RUF4;family = RF01582	Predicted snoRNA (0.960676). Box type: H/ACA	
4	EPIOSAT00000046729	ID = ncRNA_15551;Name = MIR821;family = RF00885	Predicted snoRNA (0.985796). Box type: H/ACA	
4	EPIOSAT00000046763	ID = ncRNA_15520;Name = MIR821;family = RF00885	Predicted snoRNA (0.980374). Box type: H/ACA	
4	EPIOSAT00000041030	ID = ncRNA_20680;Name = MIR1122;family = RF00906	Predicted snoRNA (0.771336). Box type: H/ACA	
4	OS04T0162300-00	Note = Non-protein coding transcript., Transcript_evidence = tplb0054d13 (Wheat FLcDNA), ORF_evidence = NONE,	Predicted snoRNA (0.994847). Box type: C/D	X
4	EPIOSAT00000045626	ID = ncRNA_16544;Name = MIR821;family = RF00885	Predicted snoRNA (0.857323). Box type: H/ACA	
4	EPIOSAT00000047087	ID = ncRNA_15229;Name = MIR821;family = RF00885	Predicted snoRNA (0.758515). Box type: H/ACA	

4	EPIOSAT00000046958	ID = ncRNA_15345;Name = MIR821;family = RF00885	Predicted snoRNA (0.996607). Box type: H/ACA	
4	EPIOSAT00000046957	ID = ncRNA_15346;Name = MIR821;family = RF00885	Predicted snoRNA (0.996607). Box type: H/ACA	
4	EPIOSAT00000046891	ID = ncRNA_15405;Name = MIR821;family = RF00885	Predicted snoRNA (0.810637). Box type: H/ACA	
4	EPIOSAT00000046933	ID = ncRNA_15368;Name = MIR821;family = RF00885	Predicted snoRNA (0.996607). Box type: H/ACA	
4	EPIOSAT00000000263	ID = ncRNA_9391;Name = SCARNA3;family = RF00565	Predicted snoRNA (0.753991). Box type: H/ACA	
4	EPIOSAT000000032700	ID = ncRNA_28178;Name = MIR1122;family = RF00906	Predicted snoRNA (0.779177). Box type: H/ACA	
4	EPIOSAT000000013940	ID = ncRNA_45061;Name = ceN43;family = RF01633	Predicted snoRNA (0.990395). Box type: H/ACA	
4	EPIOSAT000000047132	ID = ncRNA_15189;Name = MIR821;family = RF00885	Predicted snoRNA (0.984156). Box type: H/ACA	
4	EPIOSAT000000047148	ID = ncRNA_15174;Name = MIR821;family = RF00885	Predicted snoRNA (0.772993). Box type: H/ACA	
4	EPIOSAT000000029765	ID = ncRNA_30819;Name = MIR1122;family = RF00906	Predicted snoRNA (0.998566). Box type: H/ACA	
4	EPIOSAT000000034992	ID = ncRNA_26114;Name = MIR1122;family = RF00906	Predicted snoRNA (0.976283). Box type: H/ACA	

4	EPIOSAT00000021476	ID ncRNA_3828;Name SSU_rRNA_bacteria;family = RF00177	=	Predicted (0.818948). Box type: C/D	snoRNA	
4	EPIOSAT00000009902	ID ncRNA_48697;Name SSU_rRNA_eukarya;family = RF01960	=	Predicted (0.818948). Box type: C/D	snoRNA	
4	EPIOSAT00000009957	ID ncRNA_48647;Name SSU_rRNA_archaea;family = RF01959	=	Predicted (0.818948). Box type: C/D	snoRNA	
4	EPIOSAT00000021342	ID ncRNA_3840;Name SSU_rRNA_bacteria;family = RF00177	=	Predicted (0.818948). Box type: C/D	snoRNA	
4	EPIOSAT00000009883	ID ncRNA_48713;Name SSU_rRNA_eukarya;family = RF01960	=	Predicted (0.818948). Box type: C/D	snoRNA	
4	EPIOSAT00000009931	ID ncRNA_48670;Name SSU_rRNA_archaea;family = RF01959	=	Predicted (0.818948). Box type: C/D	snoRNA	
4	EPIOSAT00000021509	ID ncRNA_3825;Name SSU_rRNA_bacteria;family = RF00177	=	Predicted (0.818948). Box type: C/D	snoRNA	
4	EPIOSAT00000009901	ID ncRNA_48698;Name SSU_rRNA_eukarya;family = RF01960	=	Predicted (0.818948). Box type: C/D	snoRNA	
4	EPIOSAT00000009956	ID ncRNA_48648;Name SSU_rRNA_archaea;family = RF01959	=	Predicted (0.818948). Box type: C/D	snoRNA	

4	EPIOSAT00000021498	ID = ncRNA_3826;Name = SSU_rRNA_bacteria;family = RF00177	Predicted snoRNA (0.818948). Box type: C/D	
4	EPIOSAT00000009900	ID = ncRNA_48699;Name = SSU_rRNA_eukarya;family = RF01960	Predicted snoRNA (0.818948). Box type: C/D	
4	EPIOSAT00000009955	ID = ncRNA_48649;Name = SSU_rRNA_archaea;family = RF01959	Predicted snoRNA (0.818948). Box type: C/D	
4	EPIOSAT00000033288	ID = ncRNA_27649;Name = MIR1122;family = RF00906	Predicted snoRNA (0.968318). Box type: H/ACA	
4	EPIOSAT00000036876	ID = ncRNA_24419;Name = MIR1122;family = RF00906	Predicted snoRNA (0.80599). Box type: H/ACA	
4	EPIOSAT00000006061	ID = ncRNA_52152;Name = IS009;family = RF02111	Predicted snoRNA (0.8363). Box type: C/D	
4	EPIOSAT00000043298	ID = ncRNA_1864;Name = HgcG;family = RF00064	Predicted snoRNA (0.745005). Box type: H/ACA	
4	EPIOSAT00000048459	ID = ncRNA_13995;Name = MIR403;family = RF00842	Predicted snoRNA (0.989252). Box type: H/ACA	
4	EPIOSAT00000046659	ID = ncRNA_15614;Name = MIR821;family = RF00885	Predicted snoRNA (0.99177). Box type: H/ACA	
4	EPIOSAT00000043698	ID = ncRNA_1828;Name = HgcF;family = RF00058	Predicted snoRNA (0.919988). Box type: H/ACA	
4	EPIOSAT00000046279	ID = ncRNA_15957;Name = MIR821;family = RF00885	Predicted snoRNA (0.868265). Box type: H/ACA	

4	EPIOSAT00000046639	ID = ncRNA_15632;Name = MIR821;family = RF00885	Predicted snoRNA (0.991324). Box type: H/ACA	
4	EPIOSAT00000046766	ID = ncRNA_15518;Name = MIR821;family = RF00885	Predicted snoRNA (0.997199). Box type: H/ACA	
4	EPIOSAT00000035973	ID = ncRNA_25231;Name = MIR1122;family = RF00906	Predicted snoRNA (0.870973). Box type: H/ACA	
4	EPIOSAT00000046941	ID = ncRNA_15360;Name = MIR821;family = RF00885	Predicted snoRNA (0.881501). Box type: H/ACA	
4	EPIOSAT00000012620	ID = ncRNA_4625;Name = snoR64;family = RF00267	Predicted snoRNA (0.706386). Box type: C/D	
4	EPIOSAT00000046475	ID = ncRNA_15780;Name = MIR821;family = RF00885	Predicted snoRNA (0.995111). Box type: H/ACA	
4	EPIOSAT00000046480	ID = ncRNA_15776;Name = MIR821;family = RF00885	Predicted snoRNA (0.878658). Box type: H/ACA	
4	EPIOSAT00000045778	ID = ncRNA_16407;Name = MIR821;family = RF00885	Predicted snoRNA (0.979595). Box type: H/ACA	
4	EPIOSAT00000003794	ID = ncRNA_6212;Name = SNORA5;family = RF00392	Predicted snoRNA (0.986039). Box type: H/ACA	
4	EPIOSAT00000035396	ID = ncRNA_25751;Name = MIR1122;family = RF00906	Predicted snoRNA (0.940313). Box type: H/ACA	
4	EPIOSAT00000038015	ID = ncRNA_23394;Name = MIR1122;family = RF00906	Predicted snoRNA (0.80599). Box type: H/ACA	
4	EPIOSAT00000012556	ID = ncRNA_46307;Name = HSUR;family = RF01802	Predicted snoRNA (0.999706). Box type: H/ACA	

4	EPIOSAT00000030218	ID = ncRNA_30410;Name = MIR1122;family = RF00906	Predicted snoRNA (0.771316). Box type: H/ACA	
4	EPIOSAT00000014578	ID = ncRNA_44488;Name = plasmodium_snoR11;family = RF01589	Predicted snoRNA (0.81919). Box type: H/ACA	
4	EPIOSAT00000045812	ID = ncRNA_16377;Name = MIR821;family = RF00885	Predicted snoRNA (0.874853). Box type: H/ACA	
4	EPIOSAT00000020468	ID = ncRNA_39187;Name = snR46;family = RF01253	Predicted snoRNA (0.999173). Box type: H/ACA	
4	EPIOSAT00000039157	ID = ncRNA_22366;Name = MIR1122;family = RF00906	Predicted snoRNA (0.725359). Box type: H/ACA	
4	EPIOSAT00000046556	ID = ncRNA_15707;Name = MIR821;family = RF00885	Predicted snoRNA (0.839677). Box type: H/ACA	
4	EPIOSAT00000041938	ID = ncRNA_19864;Name = MIR1122;family = RF00906	Predicted snoRNA (0.887324). Box type: H/ACA	
4	EPIOSAT00000020474	ID = ncRNA_39181;Name = snR46;family = RF01253	Predicted snoRNA (0.99521). Box type: H/ACA	
4	EPIOSAT00000046810	ID = ncRNA_15479;Name = MIR821;family = RF00885	Predicted snoRNA (0.788686). Box type: H/ACA	
4	EPIOSAT00000046894	ID = ncRNA_15402;Name = MIR821;family = RF00885	Predicted snoRNA (0.980379). Box type: H/ACA	
4	EPIOSAT00000047015	ID = ncRNA_15294;Name = MIR821;family = RF00885	Predicted snoRNA (0.824478). Box type: H/ACA	

4	EPIOSAT00000026205	ID = ncRNA_34022;Name = MIR1023;family = RF01043	Predicted snoRNA (0.912596). Box type: H/ACA	
4	EPIOSAT00000032243	ID = ncRNA_2859;Name = 7SK;family = RF00100	Predicted snoRNA (0.914968). Box type: H/ACA	
4	EPIOSAT00000037007	ID = ncRNA_24300;Name = MIR1122;family = RF00906	Predicted snoRNA (0.858638). Box type: H/ACA	
4	EPIOSAT00000026218	ID = ncRNA_34010;Name = MIR1023;family = RF01043	Predicted snoRNA (0.822122). Box type: H/ACA	
4	EPIOSAT00000047220	ID = ncRNA_15109;Name = MIR821;family = RF00885	Predicted snoRNA (0.803289). Box type: H/ACA	
4	EPIOSAT00000046823	ID = ncRNA_15467;Name = MIR821;family = RF00885	Predicted snoRNA (0.965332). Box type: H/ACA	
4	EPIOSAT00000041288	ID = ncRNA_20448;Name = MIR1122;family = RF00906	Predicted snoRNA (0.925231). Box type: H/ACA	
4	EPIOSAT00000046207	ID = ncRNA_16020;Name = MIR821;family = RF00885	Predicted snoRNA (0.700177). Box type: H/ACA	
4	EPIOSAT00000046214	ID = ncRNA_16014;Name = MIR821;family = RF00885	Predicted snoRNA (0.841136). Box type: H/ACA	
4	EPIOSAT00000040166	ID = ncRNA_21458;Name = MIR1122;family = RF00906	Predicted snoRNA (0.931999). Box type: H/ACA	
4	EPIOSAT00000002119	ID = ncRNA_7720;Name = mir-172;family = RF00452	Predicted snoRNA (0.931999). Box type: H/ACA	

4	OS04T0378400-01	Note = Non-protein coding transcript., Transcript_evidence = AK064444 (DDBJ, Best hit), ORF_evidence = NONE, NIAS_FLcDNA = 002-110-E09,	Predicted snoRNA (0.714261). Box type: H/ACA	X
4	OS04T0384650-01	Note = Non-protein coding transcript., Transcript_evidence = AK062473 (DDBJ, Best hit), ORF_evidence = NONE, NIAS_FLcDNA = 001-103-F01,	Predicted snoRNA (0.831236). Box type: H/ACA	X
4	EPIOSAT00000034627	ID = ncRNA_26443;Name = MIR1122;family = RF00906	Predicted snoRNA (0.763368). Box type: H/ACA	
4	EPIOSAT00000035041	ID = ncRNA_26070;Name = MIR1122;family = RF00906	Predicted snoRNA (0.960811). Box type: H/ACA	
4	OS04T0394766-00	Note = Non-protein coding transcript., Transcript_evidence = CT835071 (DDBJ, Best hit), ORF_evidence = NONE,	Predicted snoRNA (0.704796). Box type: C/D	X
4	EPIOSAT00000041341	ID = ncRNA_2040;Name = HgcG;family = RF00064	Predicted snoRNA (0.817965). Box type: C/D	
4	EPIOSAT00000003357	ID = ncRNA_6606;Name = mir-395;family = RF00451	Predicted snoRNA (0.957175). Box type: H/ACA	
4	EPIOSAT00000046972	ID = ncRNA_15332;Name = MIR821;family = RF00885	Predicted snoRNA (0.963621). Box type: H/ACA	

4	EPIOSAT00000012753	ID = ncRNA_4613;Name = snoR64;family = RF00267	Predicted snoRNA (0.998764). Box type: C/D	
4	EPIOSAT00000038548	ID = ncRNA_22914;Name = MIR1122;family = RF00906	Predicted snoRNA (0.700106). Box type: H/ACA	
4	OS04T0410050-00	Note = Non-protein coding transcript., Transcript_evidence = tplb0038i24 (Wheat FLcDNA), ORF_evidence = NONE,	Predicted snoRNA (0.721879). Box type: C/D	X
4	EPIOSAT00000052220	ID = ncRNA_10609;Name = MIR396;family = RF00648	Predicted snoRNA (0.976533). Box type: H/ACA	
4	EPIOSAT00000011096	ID = ncRNA_47621;Name = MIR439;family = RF01902	Predicted snoRNA (0.876491). Box type: H/ACA	
4	EPIOSAT00000028187	ID = ncRNA_32239;Name = MIR1122;family = RF00906	Predicted snoRNA (0.954881). Box type: H/ACA	
4	EPIOSAT00000037536	ID = ncRNA_23825;Name = MIR1122;family = RF00906	Predicted snoRNA (0.894646). Box type: H/ACA	
4	OS04T0448250-00	Note = Non-protein coding transcript., Transcript_evidence = tplb0058f15 (Wheat FLcDNA), ORF_evidence = NONE,	Predicted snoRNA (0.741854). Box type: H/ACA	X

4	OS04T0461700-02	Note = Non-protein coding transcript., Transcript_evidence = AK120338 (DDBJ, Best hit), ORF_evidence = NONE, NIAS_FLcDNA = J013060K24,	Predicted snoRNA (0.880036). Box type: H/ACA	X
4	EPIOSAT00000033034	ID = ncRNA_27878;Name = MIR1122;family = RF00906	Predicted snoRNA (0.919388). Box type: H/ACA	
4	EPIOSAT00000004644	ID = ncRNA_5448;Name = snoZ266;family = RF00332	Predicted snoRNA (0.945083). Box type: C/D	
4	OS04T0473850-00	Note = Non-protein coding transcript., Transcript_evidence = CT836487 (DDBJ, Best hit), ORF_evidence = NONE,	Predicted snoRNA (0.86179). Box type: H/ACA	X
4	EPIOSAT00000041311	ID = ncRNA_20427;Name = MIR1122;family = RF00906	Predicted snoRNA (0.728182). Box type: H/ACA	
4	EPIOSAT00000046003	ID = ncRNA_16204;Name = MIR821;family = RF00885	Predicted snoRNA (0.876961). Box type: H/ACA	
4	EPIOSAT00000046317	ID = ncRNA_15922;Name = MIR821;family = RF00885	Predicted snoRNA (0.956959). Box type: H/ACA	
4	EPIOSAT00000008350	ID = ncRNA_50092;Name = STnc300;family = RF02070	Predicted snoRNA (0.972294). Box type: H/ACA	
4	EPIOSAT00000036301	ID = ncRNA_24937;Name = MIR1122;family = RF00906	Predicted snoRNA (0.986828). Box type: H/ACA	

4	EPIOSAT00000026123	ID = ncRNA_34097;Name = MIR1023;family = RF01043	Predicted snoRNA (0.986828). Box type: H/ACA	
4	EPIOSAT00000033804	ID = ncRNA_27184;Name = MIR1122;family = RF00906	Predicted snoRNA (0.873987). Box type: H/ACA	
4	EPIOSAT00000037065	ID = ncRNA_24249;Name = MIR1122;family = RF00906	Predicted snoRNA (0.809315). Box type: H/ACA	
4	EPIOSAT00000034385	ID = ncRNA_26661;Name = MIR1122;family = RF00906	Predicted snoRNA (0.853473). Box type: H/ACA	
4	EPIOSAT00000034030	ID = ncRNA_26981;Name = MIR1122;family = RF00906	Predicted snoRNA (0.98513). Box type: H/ACA	
4	EPIOSAT00000042111	ID = ncRNA_19708;Name = MIR1122;family = RF00906	Predicted snoRNA (0.704736). Box type: H/ACA	
4	EPIOSAT00000011847	ID = ncRNA_46946;Name = cyano_tmRNA;family = RF01851	Predicted snoRNA (0.995685). Box type: H/ACA	
4	EPIOSAT00000032178	ID = ncRNA_28648;Name = MIR1122;family = RF00906	Predicted snoRNA (0.897547). Box type: H/ACA	
4	EPIOSAT00000019959	ID = ncRNA_39645;Name = snoR2;family = RF01292	Predicted snoRNA (0.993597). Box type: H/ACA	
4	EPIOSAT00000051020	ID = ncRNA_1169;Name = SNORD14;family = RF00016	Predicted snoRNA (0.999035). Box type: C/D	
4	EPIOSAT00000051042	ID = ncRNA_1167;Name = SNORD14;family = RF00016	Predicted snoRNA (0.999036). Box type: C/D	

4	OS04T0548450-00	Note = Non-protein coding transcript., Transcript_evidence = tplb0052f20 (Wheat FLcDNA), ORF_evidence = NONE,	Predicted snoRNA (0.832118). Box type: C/D	X
4	EPIOSAT00000044382	ID = ncRNA_17664;Name = MIR1122;family = RF00906	Predicted snoRNA (0.779044). Box type: H/ACA	
4	EPIOSAT00000038301	ID = ncRNA_23136;Name = MIR1122;family = RF00906	Predicted snoRNA (0.962277). Box type: H/ACA	
4	OS04T0571700-01	Note = Non-protein coding transcript., Transcript_evidence = AK109680 (DDBJ, Best hit), ORF_evidence = NONE, NIAS_FLcDNA = 002-145-C11,	Predicted snoRNA (0.987962). Box type: H/ACA	X
4	EPIOSAT00000046965	ID = ncRNA_15339;Name = MIR821;family = RF00885	Predicted snoRNA (0.955691). Box type: H/ACA	
4	EPIOSAT00000018764	ID = ncRNA_4072;Name = snoZ199;family = RF00200	Predicted snoRNA (0.975977). Box type: C/D	
4	EPIOSAT00000026365	ID = ncRNA_3388;Name = snoZ196;family = RF00134	Predicted snoRNA (0.995642). Box type: C/D	
4	EPIOSAT00000012786	ID = ncRNA_4610;Name = snoR64;family = RF00267	Predicted snoRNA (0.985815). Box type: C/D	
4	EPIOSAT00000024442	ID = ncRNA_3561;Name = SNORD34;family = RF00147	Predicted snoRNA (0.926248). Box type: C/D	

4	OS04T0585150-00	Note = Non-protein coding transcript., Transcript_evidence = tplb0061k11 (Wheat FLcDNA), ORF_evidence = NONE,	Predicted snoRNA (0.911145). Box type: H/ACA	X
4	EPIOSAT00000034805	ID = ncRNA_26283;Name = MIR1122;family = RF00906	Predicted snoRNA (0.910947). Box type: H/ACA	
4	OS04T0603601-00	Note = Non-protein coding transcript., Transcript_evidence = CT835044 (DDBJ, Best hit), ORF_evidence = NONE,	Predicted snoRNA (0.890171). Box type: C/D	X
4	EPIOSAT00000045208	ID = ncRNA_16920;Name = MIR807;family = RF00886	Predicted snoRNA (0.764202). Box type: H/ACA	
4	EPIOSAT00000046080	ID = ncRNA_16135;Name = MIR821;family = RF00885	Predicted snoRNA (0.851688). Box type: H/ACA	
4	OS04T0611000-02	Note = Non-protein coding transcript., Transcript_evidence = AK288752 (DDBJ, Best hit), ORF_evidence = NONE, NIAS_FLcDNA = J090065G11,	Predicted snoRNA (0.842891). Box type: C/D	X
4	OS04T0611233-00	Note = Non-protein coding transcript., Transcript_evidence = CT836481 (DDBJ, Best hit), ORF_evidence = NONE,	Predicted snoRNA (0.98251). Box type: C/D	X

4	OS04T0613700-03	Note = Non-protein coding transcript., Transcript_evidence = AK105086 (DDBJ, Best hit), ORF_evidence = NONE, NIAS_FLcDNA = 001-046-H10,	Predicted snoRNA (0.949783). Box type: H/ACA	X
4	EPIOSAT00000046170	ID = ncRNA_16054;Name = MIR821;family = RF00885	Predicted snoRNA (0.994351). Box type: H/ACA	
4	EPIOSAT00000047826	ID = ncRNA_14564;Name = MIR811;family = RF00882	Predicted snoRNA (0.761688). Box type: H/ACA	
4	EPIOSAT00000030958	ID = ncRNA_29746;Name = MIR1122;family = RF00906	Predicted snoRNA (0.710424). Box type: H/ACA	
4	EPIOSAT00000011913	ID = ncRNA_46887;Name = Plant_U3;family = RF01847	Predicted snoRNA (0.778678). Box type: C/D	
4	EPIOSAT00000011911	ID = ncRNA_46889;Name = Plant_U3;family = RF01847	Predicted snoRNA (0.750211). Box type: C/D	
4	EPIOSAT00000011918	ID = ncRNA_46882;Name = Fungi_U3;family = RF01846	Predicted snoRNA (0.802713). Box type: C/D	
4	EPIOSAT00000051297	ID = ncRNA_1144;Name = U3;family = RF00012	Predicted snoRNA (0.802713). Box type: C/D	
4	EPIOSAT00000029262	ID = ncRNA_31271;Name = MIR1122;family = RF00906	Predicted snoRNA (0.739299). Box type: H/ACA	
4	EPIOSAT00000041942	ID = ncRNA_19860;Name = MIR1122;family = RF00906	Predicted snoRNA (0.900599). Box type: H/ACA	

4	EPIOSAT00000009884	ID = ncRNA_48712;Name = SSU_rRNA_eukarya;family = RF01960	Predicted snoRNA (0.960919). Box type: C/D	
4	EPIOSAT00000009934	ID = ncRNA_48668;Name = SSU_rRNA_archaea;family = RF01959	Predicted snoRNA (0.960919). Box type: C/D	
4	EPIOSAT00000021254	ID = ncRNA_3848;Name = SSU_rRNA_bacteria;family = RF00177	Predicted snoRNA (0.960919). Box type: C/D	
4	EPIOSAT00000033976	ID = ncRNA_27029;Name = MIR1122;family = RF00906	Predicted snoRNA (0.93019). Box type: H/ACA	
4	EPIOSAT00000039456	ID = ncRNA_22097;Name = MIR1122;family = RF00906	Predicted snoRNA (0.798149). Box type: H/ACA	
4	EPIOSAT00000044045	ID = ncRNA_17968;Name = MIR1122;family = RF00906	Predicted snoRNA (0.894461). Box type: H/ACA	
4	EPIOSAT00000032274	ID = ncRNA_28561;Name = MIR1122;family = RF00906	Predicted snoRNA (0.804193). Box type: H/ACA	
4	EPIOSAT00000044640	ID = ncRNA_17431;Name = MIR1122;family = RF00906	Predicted snoRNA (0.992966). Box type: H/ACA	
4	EPIOSAT00000044700	ID = ncRNA_17378;Name = MIR1122;family = RF00906	Predicted snoRNA (0.842362). Box type: H/ACA	
4	EPIOSAT00000039800	ID = ncRNA_21788;Name = MIR1122;family = RF00906	Predicted snoRNA (0.98395). Box type: H/ACA	
4	EPIOSAT00000052363	ID = ncRNA_10480;Name = MIR396;family = RF00648	Predicted snoRNA (0.806382). Box type: H/ACA	

4	EPIOSAT00000037395	ID = ncRNA_23952;Name = MIR1122;family = RF00906	Predicted snoRNA (0.906124). Box type: H/ACA	
4	OS04T0683875-00	Note = Non-protein coding transcript., Transcript_evidence = AF366451 (DDBJ), ORF_evidence = NONE,	Predicted snoRNA (0.713503). Box type: H/ACA	X
4	OS04T0683950-00	Note = Non-protein coding transcript., Transcript_evidence = EU948418 (DDBJ), ORF_evidence = NONE,	Predicted snoRNA (0.978674). Box type: C/D	X
4	EPIOSAT00000053267	ID = ncRNA_9959;Name = SNORA11;family = RF00614	Predicted snoRNA (0.991081). Box type: H/ACA	
4	EPIOSAT00000025358	ID = ncRNA_34786;Name = purD;family = RF01069	Predicted snoRNA (0.976601). Box type: H/ACA	
5	EPIOSAT00000047962	ID = ncRNA_14441;Name = MIR811;family = RF00882	Predicted snoRNA (0.710705). Box type: H/ACA	
5	OS05T0115200-01	Note = Non-protein coding transcript., Transcript_evidence = AK106709 (DDBJ, Best hit), ORF_evidence = NONE, NIAS_FLcDNA = 002-114-F02,	Predicted snoRNA (0.995555). Box type: C/D	X
5	EPIOSAT00000021398	ID = ncRNA_3835;Name = SSU_rRNA_bacteria;family = RF00177	Predicted snoRNA (0.818948). Box type: C/D	

5	EPIOSAT00000009946	ID = ncRNA_48657;Name = SSU_rRNA_archaea;family = RF01959	Predicted snoRNA (0.818948). Box type: C/D	
5	EPIOSAT00000009890	ID = ncRNA_48707;Name = SSU_rRNA_eukarya;family = RF01960	Predicted snoRNA (0.818948). Box type: C/D	
5	EPIOSAT00000045152	ID = ncRNA_16971;Name = MIR807;family = RF00886	Predicted snoRNA (0.726203). Box type: C/D	
5	EPIOSAT00000014298	ID = ncRNA_4474;Name = Alfamo_CPB;family = RF00252	Predicted snoRNA (0.99971). Box type: H/ACA	
5	EPIOSAT00000014724	ID = ncRNA_44356;Name = RUF3;family = RF01580	Predicted snoRNA (0.861956). Box type: H/ACA	
5	EPIOSAT00000048072	ID = ncRNA_14342;Name = MIR811;family = RF00882	Predicted snoRNA (0.779105). Box type: H/ACA	
5	EPIOSAT00000034453	ID = ncRNA_2660;Name = U8;family = RF00096	Predicted snoRNA (0.897232). Box type: H/ACA	
5	EPIOSAT00000043628	ID = ncRNA_18342;Name = MIR1122;family = RF00906	Predicted snoRNA (0.80503). Box type: H/ACA	
5	EPIOSAT00000042278	ID = ncRNA_19558;Name = MIR1122;family = RF00906	Predicted snoRNA (0.981818). Box type: H/ACA	
5	EPIOSAT00000045142	ID = ncRNA_16980;Name = MIR807;family = RF00886	Predicted snoRNA (0.801547). Box type: H/ACA	
5	EPIOSAT00000020728	ID = ncRNA_38953;Name = snoR104;family = RF01220	Predicted snoRNA (0.954158). Box type: H/ACA	

5	EPIOSAT00000044986	ID = ncRNA_1712;Name = SNORD36;family = RF00049	Predicted snoRNA (0.908514). Box type: C/D	
5	OS05T0152366-00	Note = Non-protein coding transcript., Transcript_evidence = EU943470 (DDBJ), ORF_evidence = NONE,	Predicted snoRNA (0.923976). Box type: C/D	X
5	EPIOSAT00000032610	ID = ncRNA_28259;Name = MIR1122;family = RF00906	Predicted snoRNA (0.755877). Box type: H/ACA	
5	EPIOSAT00000047161	ID = ncRNA_15162;Name = MIR821;family = RF00885	Predicted snoRNA (0.921609). Box type: H/ACA	
5	EPIOSAT00000047222	ID = ncRNA_15107;Name = MIR821;family = RF00885	Predicted snoRNA (0.989063). Box type: H/ACA	
5	EPIOSAT00000046044	ID = ncRNA_16168;Name = MIR821;family = RF00885	Predicted snoRNA (0.999451). Box type: H/ACA	
5	EPIOSAT00000000081	ID = ncRNA_9555;Name = SNORD91;family = RF00580	Predicted snoRNA (0.999328). Box type: C/D	
5	EPIOSAT00000004201	ID = ncRNA_5847;Name = snoR21;family = RF00352	Predicted snoRNA (0.996925). Box type: C/D	
5	EPIOSAT00000020117	ID = ncRNA_39502;Name = snoR53Y;family = RF01279	Predicted snoRNA (0.998132). Box type: C/D	
5	EPIOSAT00000003876	ID = ncRNA_6139;Name = snoU6-53;family = RF00377	Predicted snoRNA (0.98017). Box type: C/D	
5	EPIOSAT00000039997	ID = ncRNA_2161;Name = SNORD29;family = RF00070	Predicted snoRNA (0.992708). Box type: C/D	

5	EPIOSAT00000036581	ID = ncRNA_24685;Name = MIR1122;family = RF00906	Predicted snoRNA (0.851497). Box type: H/ACA	
5	EPIOSAT00000013886	ID = ncRNA_4511;Name = Alfamo_CPB;family = RF00252	Predicted snoRNA (0.999754). Box type: H/ACA	
5	EPIOSAT00000036281	ID = ncRNA_24955;Name = MIR1122;family = RF00906	Predicted snoRNA (0.7533). Box type: H/ACA	
5	EPIOSAT00000018011	ID = ncRNA_41398;Name = snoR135;family = RF01431	Predicted snoRNA (0.998357). Box type: H/ACA	
5	EPIOSAT00000014557	ID = ncRNA_44506;Name = plasmodium_snoR11;family = RF01589	Predicted snoRNA (0.951252). Box type: H/ACA	
5	EPIOSAT00000035867	ID = ncRNA_25327;Name = MIR1122;family = RF00906	Predicted snoRNA (0.923686). Box type: H/ACA	
5	EPIOSAT00000046688	ID = ncRNA_15589;Name = MIR821;family = RF00885	Predicted snoRNA (0.85119). Box type: H/ACA	
5	EPIOSAT00000047157	ID = ncRNA_15166;Name = MIR821;family = RF00885	Predicted snoRNA (0.97335). Box type: H/ACA	
5	EPIOSAT00000047229	ID = ncRNA_15100;Name = MIR821;family = RF00885	Predicted snoRNA (0.9512). Box type: H/ACA	
5	OS05T0229000-00	Note = Non-protein coding transcript., Transcript_evidence = CT836449 (DDBJ, Best hit), ORF_evidence = NONE,	Predicted snoRNA (0.832819). Box type: H/ACA	X

5	EPIOSAT00000046977	ID = ncRNA_15328;Name = MIR821;family = RF00885	Predicted snoRNA (0.956587). Box type: H/ACA	
5	EPIOSAT00000046987	ID = ncRNA_15319;Name = MIR821;family = RF00885	Predicted snoRNA (0.951157). Box type: H/ACA	
5	EPIOSAT00000027175	ID = ncRNA_3315;Name = IS102;family = RF00124	Predicted snoRNA (0.998577). Box type: H/ACA	
5	EPIOSAT00000044093	ID = ncRNA_17924;Name = MIR1122;family = RF00906	Predicted snoRNA (0.935757). Box type: H/ACA	
5	EPIOSAT00000044225	ID = ncRNA_17805;Name = MIR1122;family = RF00906	Predicted snoRNA (0.941111). Box type: H/ACA	
5	EPIOSAT00000039575	ID = ncRNA_21990;Name = MIR1122;family = RF00906	Predicted snoRNA (0.724949). Box type: H/ACA	
5	EPIOSAT00000005831	ID = ncRNA_5236;Name = snoZ247;family = RF00321	Predicted snoRNA (0.997921). Box type: C/D	
5	OS05T0253301-00	Note = Non-protein coding transcript., Transcript_evidence = EU949024 (DDBJ), ORF_evidence = NONE,	Predicted snoRNA (0.961851). Box type: H/ACA	
5	EPIOSAT00000047080	ID = ncRNA_15235;Name = MIR821;family = RF00885	Predicted snoRNA (0.830061). Box type: H/ACA	
5	EPIOSAT00000047113	ID = ncRNA_15205;Name = MIR821;family = RF00885	Predicted snoRNA (0.973013). Box type: H/ACA	
5	EPIOSAT00000046083	ID = ncRNA_16132;Name = MIR821;family = RF00885	Predicted snoRNA (0.80773). Box type: H/ACA	

5	EPIOSAT00000046158	ID = ncRNA_16065;Name = MIR821;family = RF00885	Predicted snoRNA (0.801235). Box type: H/ACA	
5	EPIOSAT00000014751	ID = ncRNA_44331;Name = RUF1;family = RF01578	Predicted snoRNA (0.983882). Box type: H/ACA	
5	EPIOSAT00000052701	ID = ncRNA_10176;Name = P15;family = RF00627	Predicted snoRNA (0.995067). Box type: H/ACA	
5	OS05T0263500-01	Note = Non-protein coding transcript., Transcript_evidence = AK101739 (DDBJ, Best hit), ORF_evidence = NONE, NIAS_FLCdNA = J033061L02,	Predicted snoRNA (0.944071). Box type: C/D	X
5	EPIOSAT00000046830	ID = ncRNA_15460;Name = MIR821;family = RF00885	Predicted snoRNA (0.727493). Box type: H/ACA	
5	EPIOSAT00000047866	ID = ncRNA_14528;Name = MIR811;family = RF00882	Predicted snoRNA (0.707208). Box type: H/ACA	
5	EPIOSAT00000036451	ID = ncRNA_24801;Name = MIR1122;family = RF00906	Predicted snoRNA (0.714924). Box type: H/ACA	
5	EPIOSAT00000039261	ID = ncRNA_22272;Name = MIR1122;family = RF00906	Predicted snoRNA (0.84177). Box type: H/ACA	
5	EPIOSAT00000037247	ID = ncRNA_24085;Name = MIR1122;family = RF00906	Predicted snoRNA (0.859342). Box type: H/ACA	
5	EPIOSAT00000041492	ID = ncRNA_20264;Name = MIR1122;family = RF00906	Predicted snoRNA (0.73035). Box type: H/ACA	

5	EPIOSAT00000047028	ID = ncRNA_15282;Name = MIR821;family = RF00885	Predicted snoRNA (0.99902). Box type: H/ACA	
5	EPIOSAT00000047029	ID = ncRNA_15281;Name = MIR821;family = RF00885	Predicted snoRNA (0.859739). Box type: H/ACA	
5	EPIOSAT00000047115	ID = ncRNA_15203;Name = MIR821;family = RF00885	Predicted snoRNA (0.767865). Box type: H/ACA	
5	EPIOSAT00000021409	ID = ncRNA_3834;Name = SSU_rRNA_bacteria;family = RF00177	Predicted snoRNA (0.91847). Box type: C/D	
5	EPIOSAT00000009947	ID = ncRNA_48656;Name = SSU_rRNA_archaea;family = RF01959	Predicted snoRNA (0.91847). Box type: C/D	
5	EPIOSAT00000009891	ID = ncRNA_48706;Name = SSU_rRNA_eukarya;family = RF01960	Predicted snoRNA (0.91847). Box type: C/D	
5	EPIOSAT00000014008	ID = ncRNA_4500;Name = Alfamo_CPB;family = RF00252	Predicted snoRNA (0.826403). Box type: H/ACA	
5	EPIOSAT00000031483	ID = ncRNA_29273;Name = MIR1122;family = RF00906	Predicted snoRNA (0.97894). Box type: H/ACA	
5	OS05T0316166-00	Note = Non-protein coding transcript., Transcript_evidence = AK059379 (DDBJ, Secondary hit), ORF_evidence = NONE,	Predicted snoRNA (0.731686). Box type: H/ACA	X
5	EPIOSAT00000046827	ID = ncRNA_15463;Name = MIR821;family = RF00885	Predicted snoRNA (0.877675). Box type: H/ACA	

5	EPIOSAT00000032439	ID = ncRNA_28412;Name = MIR1122;family = RF00906	Predicted snoRNA (0.98007). Box type: H/ACA	
5	EPIOSAT00000041437	ID = ncRNA_20313;Name = MIR1122;family = RF00906	Predicted snoRNA (0.774532). Box type: H/ACA	
5	EPIOSAT00000043085	ID = ncRNA_18831;Name = MIR1122;family = RF00906	Predicted snoRNA (0.977847). Box type: H/ACA	
5	EPIOSAT00000026982	ID = ncRNA_33323;Name = MIR530;family = RF01005	Predicted snoRNA (0.769102). Box type: H/ACA	
5	EPIOSAT00000040582	ID = ncRNA_21083;Name = MIR1122;family = RF00906	Predicted snoRNA (0.9165). Box type: H/ACA	
5	EPIOSAT00000046351	ID = ncRNA_15892;Name = MIR821;family = RF00885	Predicted snoRNA (0.998292). Box type: H/ACA	
5	EPIOSAT00000046355	ID = ncRNA_15889;Name = MIR821;family = RF00885	Predicted snoRNA (0.999476). Box type: H/ACA	
5	EPIOSAT00000028343	ID = ncRNA_32099;Name = MIR1122;family = RF00906	Predicted snoRNA (0.749185). Box type: H/ACA	
5	EPIOSAT00000032716	ID = ncRNA_28163;Name = MIR1122;family = RF00906	Predicted snoRNA (0.77334). Box type: H/ACA	
5	EPIOSAT00000000361	ID = ncRNA_9302;Name = snopsi28S-3327;family = RF00544	Predicted snoRNA (0.99797). Box type: H/ACA	
5	EPIOSAT00000026975	ID = ncRNA_3333;Name = IS128;family = RF00125	Predicted snoRNA (0.993262). Box type: H/ACA	
5	EPIOSAT00000042196	ID = ncRNA_19631;Name = MIR1122;family = RF00906	Predicted snoRNA (0.824316). Box type: H/ACA	

5	OS05T0371133-00	Note = Non-protein coding transcript., Transcript_evidence = EU947055 (DDBJ), ORF_evidence = NONE,	Predicted snoRNA (0.982477). Box type: C/D	X
5	EPIOSAT00000004710	ID = ncRNA_5389;Name = snoZ155;family = RF00326	Predicted snoRNA (0.981264). Box type: C/D	
5	EPIOSAT000000037933	ID = ncRNA_23468;Name = MIR1122;family = RF00906	Predicted snoRNA (0.917873). Box type: H/ACA	
5	EPIOSAT000000044190	ID = ncRNA_17837;Name = MIR1122;family = RF00906	Predicted snoRNA (0.955856). Box type: H/ACA	
5	EPIOSAT000000042704	ID = ncRNA_19174;Name = MIR1122;family = RF00906	Predicted snoRNA (0.792337). Box type: H/ACA	
5	EPIOSAT000000032792	ID = ncRNA_28095;Name = MIR1122;family = RF00906	Predicted snoRNA (0.972544). Box type: H/ACA	
5	EPIOSAT000000046457	ID = ncRNA_15797;Name = MIR821;family = RF00885	Predicted snoRNA (0.934189). Box type: H/ACA	
5	EPIOSAT000000046482	ID = ncRNA_15774;Name = MIR821;family = RF00885	Predicted snoRNA (0.994431). Box type: H/ACA	
5	EPIOSAT000000046471	ID = ncRNA_15784;Name = MIR821;family = RF00885	Predicted snoRNA (0.78311). Box type: H/ACA	
5	EPIOSAT000000037287	ID = ncRNA_24049;Name = MIR1122;family = RF00906	Predicted snoRNA (0.986544). Box type: H/ACA	
5	EPIOSAT000000020057	ID = ncRNA_39557;Name = snoR26;family = RF01286	Predicted snoRNA (0.997193). Box type: C/D	

5	EPIOSAT00000031951	ID = ncRNA_28852;Name = MIR1122;family = RF00906	Predicted snoRNA (0.854785). Box type: H/ACA	
5	OS05T0460350-00	Note = Non-protein coding transcript., Transcript_evidence = BT019147 (DDBJ), ORF_evidence = NONE,	Predicted snoRNA (0.855489). Box type: C/D	X
5	EPIOSAT00000044532	ID = ncRNA_17529;Name = MIR1122;family = RF00906	Predicted snoRNA (0.919227). Box type: H/ACA	
5	OS05T0469450-01	Note = Non-protein coding transcript., Transcript_evidence = AK242615 (DDBJ, Best hit), ORF_evidence = NONE, NIAS_FLCdNA = J090017C12,	Predicted snoRNA (0.983417). Box type: C/D	X
5	EPIOSAT00000038622	ID = ncRNA_22848;Name = MIR1122;family = RF00906	Predicted snoRNA (0.951164). Box type: H/ACA	
5	EPIOSAT00000032637	ID = ncRNA_28234;Name = MIR1122;family = RF00906	Predicted snoRNA (0.885649). Box type: H/ACA	
5	EPIOSAT00000045761	ID = ncRNA_16422;Name = MIR821;family = RF00885	Predicted snoRNA (0.891642). Box type: H/ACA	
5	EPIOSAT00000046497	ID = ncRNA_15760;Name = MIR821;family = RF00885	Predicted snoRNA (0.985316). Box type: H/ACA	
5	EPIOSAT00000046488	ID = ncRNA_15769;Name = MIR821;family = RF00885	Predicted snoRNA (0.998381). Box type: H/ACA	
5	EPIOSAT00000044576	ID = ncRNA_1749;Name = FMN;family = RF00050	Predicted snoRNA (0.790127). Box type: H/ACA	

5	EPIOSAT00000012493	ID = ncRNA_46364;Name = MicX;family = RF01808	Predicted snoRNA (0.91728). Box type: H/ACA	
5	EPIOSAT00000043364	ID = ncRNA_18580;Name = MIR1122;family = RF00906	Predicted snoRNA (0.994602). Box type: H/ACA	
5	EPIOSAT00000043803	ID = ncRNA_18185;Name = MIR1122;family = RF00906	Predicted snoRNA (0.999283). Box type: H/ACA	
5	EPIOSAT00000038650	ID = ncRNA_22822;Name = MIR1122;family = RF00906	Predicted snoRNA (0.888446). Box type: H/ACA	
5	EPIOSAT00000008242	ID = ncRNA_5019;Name = snosnR60_Z15;family = RF00309	Predicted snoRNA (0.998946). Box type: C/D	
5	OS05T0528950-00	Note = Non-protein coding transcript., Transcript_evidence = AJ234442 (DDBJ), ORF_evidence = NONE,	Predicted snoRNA (0.966251). Box type: H/ACA	X
5	OS05T0535566-00	Note = Non-protein coding transcript., Transcript_evidence = tplb0060n08 (Wheat FLcDNA), ORF_evidence = NONE,	Predicted snoRNA (0.852752). Box type: C/D	X
5	EPIOSAT00000040699	ID = ncRNA_20979;Name = MIR1122;family = RF00906	Predicted snoRNA (0.794376). Box type: H/ACA	
5	EPIOSAT00000046563	ID = ncRNA_15700;Name = MIR821;family = RF00885	Predicted snoRNA (0.725199). Box type: H/ACA	
5	EPIOSAT00000046627	ID = ncRNA_15643;Name = MIR821;family = RF00885	Predicted snoRNA (0.955734). Box type: H/ACA	

5	EPIOSAT00000026675	ID = ncRNA_3360;Name = snoR24;family = RF00132	Predicted snoRNA (0.996725). Box type: C/D	
5	EPIOSAT00000042969	ID = ncRNA_18936;Name = MIR1122;family = RF00906	Predicted snoRNA (0.908532). Box type: H/ACA	
5	EPIOSAT00000033250	ID = ncRNA_27683;Name = MIR1122;family = RF00906	Predicted snoRNA (0.72362). Box type: H/ACA	
5	EPIOSAT00000045211	ID = ncRNA_16918;Name = MIR807;family = RF00886	Predicted snoRNA (0.737055). Box type: H/ACA	
5	EPIOSAT00000000374	ID = ncRNA_9291;Name = snopsi28S-1192;family = RF00542	Predicted snoRNA (0.999679). Box type: H/ACA	
5	EPIOSAT00000045062	ID = ncRNA_17051;Name = MIR807;family = RF00886	Predicted snoRNA (0.934087). Box type: H/ACA	
5	OS05T0585450-01	Note = Non-protein coding transcript., Transcript_evidence = AK288849 (DDBJ, Best hit), ORF_evidence = NONE, NIAS_FLcDNA = J090075H09,	Predicted snoRNA (0.949355). Box type: C/D	X
5	EPIOSAT00000053162	ID = ncRNA_9864;Name = SNORD100;family = RF00609	Predicted snoRNA (0.988886). Box type: C/D	
5	EPIOSAT00000013799	ID = ncRNA_45189;Name = ceN101;family = RF01664	Predicted snoRNA (0.996106). Box type: H/ACA	
5	OS05T0591925-00	Note = Non-protein coding transcript., Transcript_evidence = BT036075 (DDBJ), ORF_evidence = NONE,	Predicted snoRNA (0.800927). Box type: C/D	X

5	EPIOSAT00000041868	ID = ncRNA_19927;Name = MIR1122;family = RF00906	Predicted snoRNA (0.981612). Box type: H/ACA	
6	EPIOSAT00000033274	ID = ncRNA_27661;Name = MIR1122;family = RF00906	Predicted snoRNA (0.973752). Box type: H/ACA	
6	EPIOSAT00000037582	ID = ncRNA_23784;Name = MIR1122;family = RF00906	Predicted snoRNA (0.870194). Box type: H/ACA	
6	EPIOSAT00000026291	ID = ncRNA_33946;Name = MIR1023;family = RF01043	Predicted snoRNA (0.870194). Box type: H/ACA	
6	EPIOSAT00000026998	ID = ncRNA_33309;Name = MIR530;family = RF01005	Predicted snoRNA (0.992632). Box type: H/ACA	
6	EPIOSAT00000012537	ID = ncRNA_46324;Name = HSUR;family = RF01802	Predicted snoRNA (0.99936). Box type: H/ACA	
6	OS06T0105550-01	Note = Non-protein coding transcript., Transcript_evidence = AK289127 (DDBJ, Best hit), ORF_evidence = NONE, NIAS_FLcDNA = J090098B22,	Predicted snoRNA (0.979936). Box type: C/D	X
6	EPIOSAT00000041268	ID = ncRNA_20466;Name = MIR1122;family = RF00906	Predicted snoRNA (0.841126). Box type: H/ACA	
6	EPIOSAT00000043339	ID = ncRNA_18602;Name = MIR1122;family = RF00906	Predicted snoRNA (0.843375). Box type: H/ACA	
6	EPIOSAT00000035299	ID = ncRNA_25839;Name = MIR1122;family = RF00906	Predicted snoRNA (0.975413). Box type: H/ACA	

6	EPIOSAT00000036696	ID = ncRNA_24581;Name = MIR1122;family = RF00906	Predicted snoRNA (0.894674). Box type: H/ACA	
6	EPIOSAT00000040214	ID = ncRNA_21414;Name = MIR1122;family = RF00906	Predicted snoRNA (0.939126). Box type: H/ACA	
6	EPIOSAT00000044327	ID = ncRNA_17713;Name = MIR1122;family = RF00906	Predicted snoRNA (0.706732). Box type: H/ACA	
6	EPIOSAT00000045031	ID = ncRNA_1708;Name = SNORD36;family = RF00049	Predicted snoRNA (0.971455). Box type: C/D	
6	EPIOSAT00000045008	ID = ncRNA_1710;Name = SNORD36;family = RF00049	Predicted snoRNA (0.951318). Box type: C/D	
6	EPIOSAT00000045020	ID = ncRNA_1709;Name = SNORD36;family = RF00049	Predicted snoRNA (0.992801). Box type: C/D	
6	EPIOSAT00000043058	ID = ncRNA_18856;Name = MIR1122;family = RF00906	Predicted snoRNA (0.807447). Box type: H/ACA	
6	EPIOSAT00000038671	ID = ncRNA_22803;Name = MIR1122;family = RF00906	Predicted snoRNA (0.713318). Box type: H/ACA	
6	EPIOSAT00000045414	ID = ncRNA_16735;Name = MIR821;family = RF00885	Predicted snoRNA (0.837491). Box type: H/ACA	
6	EPIOSAT00000045502	ID = ncRNA_16656;Name = MIR821;family = RF00885	Predicted snoRNA (0.924257). Box type: H/ACA	
6	EPIOSAT00000046767	ID = ncRNA_15517;Name = MIR821;family = RF00885	Predicted snoRNA (0.727498). Box type: H/ACA	
6	EPIOSAT00000046839	ID = ncRNA_15452;Name = MIR821;family = RF00885	Predicted snoRNA (0.756624). Box type: H/ACA	

6	OS06T0163701-01	Note = Non-protein coding transcript., Transcript_evidence = AK242073 (DDBJ, Best hit), ORF_evidence = NONE, NIAS_FLCdNA = J075134K10,	Predicted snoRNA (0.963876). Box type: C/D	X
6	OS06T0182800-00	Note = Non-protein coding transcript., Transcript_evidence = tplb0034a09 (Wheat FLCdNA), ORF_evidence = NONE,	Predicted snoRNA (0.74222). Box type: C/D	X
6	EPIOSAT00000041598	ID = ncRNA_20169;Name = MIR1122;family = RF00906	Predicted snoRNA (0.832164). Box type: H/ACA	
6	OS06T0188500-01	Note = Non-protein coding transcript., Transcript_evidence = AK100384 (DDBJ, Best hit), ORF_evidence = NONE, NIAS_FLCdNA = J023085H13,	Predicted snoRNA (0.799833). Box type: H/ACA	X
6	EPIOSAT00000026230	ID = ncRNA_3400;Name = snoZ223;family = RF00135	Predicted snoRNA (0.930208). Box type: C/D	
6	OS06T0199300-01	Note = Non-protein coding transcript., Transcript_evidence = AK058843 (DDBJ, Best hit), ORF_evidence = NONE, NIAS_FLCdNA = 001-004-F02,	Predicted snoRNA (0.72392). Box type: H/ACA	X
6	EPIOSAT00000036513	ID = ncRNA_24746;Name = MIR1122;family = RF00906	Predicted snoRNA (0.968436). Box type: H/ACA	

6	OS06T0209500-01	Note = Non-protein coding transcript., Transcript_evidence = AK059200 (DDBJ, Best hit), ORF_evidence = NONE, NIAS_FLcDNA = 001-024-A08,	Predicted snoRNA (0.824919). Box type: H/ACA	X
6	EPIOSAT00000034840	ID = ncRNA_26251;Name = MIR1122;family = RF00906	Predicted snoRNA (0.963746). Box type: H/ACA	
6	EPIOSAT00000037604	ID = ncRNA_23764;Name = MIR1122;family = RF00906	Predicted snoRNA (0.99598). Box type: H/ACA	
6	EPIOSAT00000026302	ID = ncRNA_33936;Name = MIR1023;family = RF01043	Predicted snoRNA (0.730868). Box type: H/ACA	
6	EPIOSAT00000043202	ID = ncRNA_18726;Name = MIR1122;family = RF00906	Predicted snoRNA (0.84086). Box type: H/ACA	
6	OS06T0228350-01	Note = Non-protein coding transcript., Transcript_evidence = AK288492 (DDBJ, Best hit), ORF_evidence = NONE, NIAS_FLcDNA = J090040K02,	Predicted snoRNA (0.857808). Box type: H/ACA	X
6	EPIOSAT00000004532	ID = ncRNA_5549;Name = snoZ267;family = RF00344	Predicted snoRNA (0.977648). Box type: C/D	
6	EPIOSAT00000004129	ID = ncRNA_5911;Name = snoR44_J54;family = RF00357	Predicted snoRNA (0.998244). Box type: C/D	
6	EPIOSAT00000004130	ID = ncRNA_5910;Name = snoR44_J54;family = RF00357	Predicted snoRNA (0.998985). Box type: C/D	

6	EPIOSAT00000043915	ID = ncRNA_18084;Name = MIR1122;family = RF00906	Predicted snoRNA (0.713742). Box type: H/ACA	
6	EPIOSAT00000047082	ID = ncRNA_15233;Name = MIR821;family = RF00885	Predicted snoRNA (0.983149). Box type: H/ACA	
6	EPIOSAT00000047149	ID = ncRNA_15173;Name = MIR821;family = RF00885	Predicted snoRNA (0.70169). Box type: H/ACA	
6	EPIOSAT00000003589	ID = ncRNA_6398;Name = SNORA51;family = RF00432	Predicted snoRNA (0.985882). Box type: H/ACA	
6	OS06T0247150-00	Note = Non-protein coding transcript., Transcript_evidence = AK358862 (DDBJ), ORF_evidence = NONE,	Predicted snoRNA (0.702288). Box type: H/ACA	X
6	EPIOSAT00000040305	ID = ncRNA_21332;Name = MIR1122;family = RF00906	Predicted snoRNA (0.957402). Box type: H/ACA	
6	EPIOSAT00000045372	ID = ncRNA_16773;Name = MIR821;family = RF00885	Predicted snoRNA (0.747621). Box type: H/ACA	
6	OS06T0265950-01	Note = Non-protein coding transcript., Transcript_evidence = AK241555 (DDBJ, Best hit), ORF_evidence = NONE, NIAS_FLcDNA = J065178B07,	Predicted snoRNA (0.851659). Box type: H/ACA	X
6	EPIOSAT00000052601	ID = ncRNA_10266;Name = MIR159;family = RF00638	Predicted snoRNA (0.721259). Box type: H/ACA	
6	EPIOSAT00000036881	ID = ncRNA_24414;Name = MIR1122;family = RF00906	Predicted snoRNA (0.765104). Box type: H/ACA	

6	EPIOSAT00000031636	ID = ncRNA_29135;Name = MIR1122;family = RF00906	Predicted snoRNA (0.787614). Box type: H/ACA	
6	EPIOSAT00000004959	ID = ncRNA_53144;Name = Six3os1_2;family = RF02247	Predicted snoRNA (0.763835). Box type: H/ACA	
6	EPIOSAT00000046522	ID = ncRNA_15738;Name = MIR821;family = RF00885	Predicted snoRNA (0.867979). Box type: H/ACA	
6	EPIOSAT00000010346	ID = ncRNA_48297;Name = Mico1;family = RF01928	Predicted snoRNA (0.93245). Box type: H/ACA	
6	OS06T0274600-01	Note = Non-protein coding transcript., Transcript_evidence = AK069024 (DDBJ, Best hit), ORF_evidence = NONE, NIAS_FLcDNA = J023003G07,	Predicted snoRNA (0.901621). Box type: H/ACA	X
6	EPIOSAT00000027875	ID = ncRNA_3252;Name = IS102;family = RF00124	Predicted snoRNA (0.902334). Box type: H/ACA	
6	EPIOSAT00000043854	ID = ncRNA_18139;Name = MIR1122;family = RF00906	Predicted snoRNA (0.86481). Box type: H/ACA	
6	EPIOSAT00000032459	ID = ncRNA_28395;Name = MIR1122;family = RF00906	Predicted snoRNA (0.978561). Box type: H/ACA	
6	EPIOSAT00000040529	ID = ncRNA_21130;Name = MIR1122;family = RF00906	Predicted snoRNA (0.897602). Box type: H/ACA	

6	OS06T0286400-01	Note = Non-protein coding transcript., Transcript_evidence = AK059360 (DDBJ, Best hit), ORF_evidence = NONE, NIAS_FLcDNA = 001-026-D12,	Predicted snoRNA (0.932811). Box type: H/ACA	X
6	EPIOSAT00000047173	ID = ncRNA_15151;Name = MIR821;family = RF00885	Predicted snoRNA (0.902589). Box type: H/ACA	
6	EPIOSAT00000043781	ID = ncRNA_18204;Name = MIR1122;family = RF00906	Predicted snoRNA (0.916021). Box type: H/ACA	
6	EPIOSAT00000044443	ID = ncRNA_17609;Name = MIR1122;family = RF00906	Predicted snoRNA (0.834193). Box type: H/ACA	
6	OS06T0292600-01	Note = Non-protein coding transcript., Transcript_evidence = AK062856 (DDBJ, Best hit), ORF_evidence = NONE, NIAS_FLcDNA = 001-108-A09,	Predicted snoRNA (0.987719). Box type: C/D	X
6	OS06T0294501-01	Note = Non-protein coding transcript., Transcript_evidence = AK288636 (DDBJ, Best hit), ORF_evidence = NONE, NIAS_FLcDNA = J090055M17,	Predicted snoRNA (0.718366). Box type: H/ACA	X
6	EPIOSAT00000052702	ID = ncRNA_10175;Name = P15;family = RF00627	Predicted snoRNA (0.990789). Box type: H/ACA	
6	EPIOSAT00000017944	ID = ncRNA_41458;Name = S_pombe_snR95;family = RF01446	Predicted snoRNA (0.744143). Box type: H/ACA	

6	EPIOSAT00000013943	ID = ncRNA_45059;Name = ceN43;family = RF01633	Predicted snoRNA (0.999901). Box type: H/ACA	
6	EPIOSAT00000041717	ID = ncRNA_20061;Name = MIR1122;family = RF00906	Predicted snoRNA (0.938507). Box type: H/ACA	
6	EPIOSAT00000031506	ID = ncRNA_29252;Name = MIR1122;family = RF00906	Predicted snoRNA (0.973906). Box type: H/ACA	
6	EPIOSAT00000014520	ID = ncRNA_4454;Name = mir-160;family = RF00247	Predicted snoRNA (0.78086). Box type: H/ACA	
6	EPIOSAT00000012568	ID = ncRNA_46297;Name = HSUR;family = RF01802	Predicted snoRNA (0.916245). Box type: H/ACA	
6	EPIOSAT00000047914	ID = ncRNA_14485;Name = MIR811;family = RF00882	Predicted snoRNA (0.731883). Box type: H/ACA	
6	EPIOSAT00000035054	ID = ncRNA_26059;Name = MIR1122;family = RF00906	Predicted snoRNA (0.73094). Box type: H/ACA	
6	EPIOSAT00000039112	ID = ncRNA_22406;Name = MIR1122;family = RF00906	Predicted snoRNA (0.874205). Box type: H/ACA	
6	EPIOSAT00000046804	ID = ncRNA_15484;Name = MIR821;family = RF00885	Predicted snoRNA (0.929006). Box type: H/ACA	
6	EPIOSAT00000046829	ID = ncRNA_15461;Name = MIR821;family = RF00885	Predicted snoRNA (0.930977). Box type: H/ACA	
6	EPIOSAT00000020568	ID = ncRNA_39097;Name = snR161;family = RF01237	Predicted snoRNA (0.994262). Box type: H/ACA	
6	EPIOSAT00000010353	ID = ncRNA_48290;Name = Mico1;family = RF01928	Predicted snoRNA (0.774445). Box type: H/ACA	

6	OS06T0337100-01	Note = Non-protein coding transcript., Transcript_evidence = AK061222 (DDBJ, Best hit), ORF_evidence = NONE, NIAS_FLcDNA = 006-210-F04,	Predicted snoRNA (0.940261). Box type: C/D	X
6	EPIOSAT00000045350	ID = ncRNA_16793;Name = MIR821;family = RF00885	Predicted snoRNA (0.86089). Box type: H/ACA	
6	EPIOSAT00000046880	ID = ncRNA_15415;Name = MIR821;family = RF00885	Predicted snoRNA (0.819825). Box type: H/ACA	
6	EPIOSAT00000046883	ID = ncRNA_15412;Name = MIR821;family = RF00885	Predicted snoRNA (0.847546). Box type: H/ACA	
6	EPIOSAT00000014545	ID = ncRNA_44517;Name = plasmodium_snoR11;family = RF01589	Predicted snoRNA (0.934476). Box type: H/ACA	
6	EPIOSAT00000012143	ID = ncRNA_4668;Name = SNORA67;family = RF00272	Predicted snoRNA (0.95714). Box type: H/ACA	
6	EPIOSAT00000046632	ID = ncRNA_15639;Name = MIR821;family = RF00885	Predicted snoRNA (0.993484). Box type: H/ACA	
6	EPIOSAT00000046858	ID = ncRNA_15435;Name = MIR821;family = RF00885	Predicted snoRNA (0.98019). Box type: H/ACA	
6	EPIOSAT00000014508	ID = ncRNA_44550;Name = plasmodium_snoR11;family = RF01589	Predicted snoRNA (0.997988). Box type: H/ACA	
6	EPIOSAT00000045514	ID = ncRNA_16645;Name = MIR821;family = RF00885	Predicted snoRNA (0.972336). Box type: H/ACA	

6	EPIOSAT00000046546	ID = ncRNA_15716;Name = MIR821;family = RF00885	Predicted snoRNA (0.964923). Box type: H/ACA	
6	EPIOSAT00000004643	ID = ncRNA_5449;Name = snoZ266;family = RF00332	Predicted snoRNA (0.945083). Box type: C/D	
6	EPIOSAT00000047095	ID = ncRNA_15221;Name = MIR821;family = RF00885	Predicted snoRNA (0.987062). Box type: H/ACA	
6	EPIOSAT00000046985	ID = ncRNA_15320;Name = MIR821;family = RF00885	Predicted snoRNA (0.946742). Box type: H/ACA	
6	EPIOSAT00000046452	ID = ncRNA_15800;Name = MIR821;family = RF00885	Predicted snoRNA (0.999417). Box type: H/ACA	
6	EPIOSAT00000046484	ID = ncRNA_15772;Name = MIR821;family = RF00885	Predicted snoRNA (0.832922). Box type: H/ACA	
6	OS06T0491901-01	Note = Non-protein coding transcript., Transcript_evidence = AK318567 (DDBJ, Best hit), ORF_evidence = NONE, NIAS_FLcDNA = J080056I15,	Predicted snoRNA (0.70567). Box type: H/ACA	X
6	EPIOSAT00000046161	ID = ncRNA_16062;Name = MIR821;family = RF00885	Predicted snoRNA (0.990003). Box type: H/ACA	
6	EPIOSAT00000042094	ID = ncRNA_19723;Name = MIR1122;family = RF00906	Predicted snoRNA (0.982947). Box type: H/ACA	

6	OS06T0499200-01	Note = Non-protein coding transcript., Transcript_evidence = AK064561 (DDBJ, Best hit), ORF_evidence = NONE, NIAS_FLcDNA = 002-112-C10,	Predicted snoRNA (0.974428). Box type: H/ACA	X
6	EPIOSAT00000044573	ID = ncRNA_17492;Name = MIR1122;family = RF00906	Predicted snoRNA (0.786583). Box type: H/ACA	
6	EPIOSAT00000046568	ID = ncRNA_15697;Name = MIR821;family = RF00885	Predicted snoRNA (0.966359). Box type: H/ACA	
6	EPIOSAT00000047022	ID = ncRNA_15288;Name = MIR821;family = RF00885	Predicted snoRNA (0.964932). Box type: H/ACA	
6	EPIOSAT00000042896	ID = ncRNA_19000;Name = MIR1122;family = RF00906	Predicted snoRNA (0.807986). Box type: H/ACA	
6	EPIOSAT00000039798	ID = ncRNA_2179;Name = SNORA75;family = RF00072	Predicted snoRNA (0.94603). Box type: H/ACA	
6	EPIOSAT00000046792	ID = ncRNA_15495;Name = MIR821;family = RF00885	Predicted snoRNA (0.999429). Box type: H/ACA	
6	EPIOSAT00000046118	ID = ncRNA_16100;Name = MIR821;family = RF00885	Predicted snoRNA (0.967413). Box type: H/ACA	
6	EPIOSAT00000046117	ID = ncRNA_16101;Name = MIR821;family = RF00885	Predicted snoRNA (0.967413). Box type: H/ACA	
6	EPIOSAT00000046210	ID = ncRNA_16018;Name = MIR821;family = RF00885	Predicted snoRNA (0.992647). Box type: H/ACA	

6	EPIOSAT00000046111	ID = ncRNA_16107;Name = MIR821;family = RF00885	Predicted snoRNA (0.99109). Box type: H/ACA	
6	EPIOSAT00000046226	ID = ncRNA_16003;Name = MIR821;family = RF00885	Predicted snoRNA (0.939923). Box type: H/ACA	
6	EPIOSAT00000046209	ID = ncRNA_16019;Name = MIR821;family = RF00885	Predicted snoRNA (0.992647). Box type: H/ACA	
6	EPIOSAT00000035147	ID = ncRNA_25976;Name = MIR1122;family = RF00906	Predicted snoRNA (0.862114). Box type: H/ACA	
6	EPIOSAT00000047043	ID = ncRNA_15269;Name = MIR821;family = RF00885	Predicted snoRNA (0.925631). Box type: H/ACA	
6	EPIOSAT00000035268	ID = ncRNA_25867;Name = MIR1122;family = RF00906	Predicted snoRNA (0.993667). Box type: H/ACA	
6	EPIOSAT00000038291	ID = ncRNA_23145;Name = MIR1122;family = RF00906	Predicted snoRNA (0.877297). Box type: H/ACA	
6	EPIOSAT00000046635	ID = ncRNA_15636;Name = MIR821;family = RF00885	Predicted snoRNA (0.997794). Box type: H/ACA	
6	EPIOSAT00000046663	ID = ncRNA_15610;Name = MIR821;family = RF00885	Predicted snoRNA (0.996787). Box type: H/ACA	
6	EPIOSAT00000046257	ID = ncRNA_15977;Name = MIR821;family = RF00885	Predicted snoRNA (0.969907). Box type: H/ACA	
6	EPIOSAT00000038959	ID = ncRNA_22544;Name = MIR1122;family = RF00906	Predicted snoRNA (0.969377). Box type: H/ACA	

6	OS06T0530700-03	Note = Non-protein coding transcript., Transcript_evidence = AK058455 (DDBJ, Best hit), ORF_evidence = NONE, NIAS_FLcDNA = 001-015-H07,	Predicted snoRNA (0.790771). Box type: H/ACA	X
6	EPIOSAT00000004107	ID = ncRNA_5931;Name = snoZ102_R77;family = RF00359	Predicted snoRNA (0.992594). Box type: C/D	
6	EPIOSAT000000046512	ID = ncRNA_15747;Name = MIR821;family = RF00885	Predicted snoRNA (0.94907). Box type: H/ACA	
6	EPIOSAT000000020379	ID = ncRNA_39267;Name = snR42;family = RF01265	Predicted snoRNA (0.911384). Box type: H/ACA	
6	EPIOSAT000000020493	ID = ncRNA_39164;Name = snR46;family = RF01253	Predicted snoRNA (0.932827). Box type: H/ACA	
6	EPIOSAT000000020469	ID = ncRNA_39186;Name = snR46;family = RF01253	Predicted snoRNA (0.996257). Box type: H/ACA	
6	EPIOSAT000000039262	ID = ncRNA_22271;Name = MIR1122;family = RF00906	Predicted snoRNA (0.978524). Box type: H/ACA	
6	EPIOSAT000000017748	ID = ncRNA_41634;Name = rli62;family = RF01486	Predicted snoRNA (0.991313). Box type: H/ACA	
6	EPIOSAT000000046604	ID = ncRNA_15664;Name = MIR821;family = RF00885	Predicted snoRNA (0.881165). Box type: H/ACA	
6	EPIOSAT000000026743	ID = ncRNA_33539;Name = MIR530;family = RF01005	Predicted snoRNA (0.958236). Box type: H/ACA	

6	EPIOSAT00000020463	ID = ncRNA_39191;Name = snR46;family = RF01253	Predicted snoRNA (0.989706). Box type: H/ACA	
6	EPIOSAT00000047047	ID = ncRNA_15265;Name = MIR821;family = RF00885	Predicted snoRNA (0.910757). Box type: H/ACA	
6	EPIOSAT00000032803	ID = ncRNA_28085;Name = MIR1122;family = RF00906	Predicted snoRNA (0.874408). Box type: H/ACA	
6	EPIOSAT00000045817	ID = ncRNA_16372;Name = MIR821;family = RF00885	Predicted snoRNA (0.80585). Box type: H/ACA	
6	EPIOSAT00000046927	ID = ncRNA_15373;Name = MIR821;family = RF00885	Predicted snoRNA (0.978882). Box type: H/ACA	
6	EPIOSAT00000028630	ID = ncRNA_31840;Name = MIR1122;family = RF00906	Predicted snoRNA (0.838187). Box type: H/ACA	
6	EPIOSAT00000039083	ID = ncRNA_22432;Name = MIR1122;family = RF00906	Predicted snoRNA (0.728347). Box type: H/ACA	
6	EPIOSAT00000041778	ID = ncRNA_20006;Name = MIR1122;family = RF00906	Predicted snoRNA (0.992765). Box type: H/ACA	
6	OS06T0591050-00	Note = Non-protein coding transcript., Transcript_evidence = CT828918 (DDBJ, Secondary hit), ORF_evidence = NONE,	Predicted snoRNA (0.886323). Box type: H/ACA	X
6	EPIOSAT00000047084	ID = ncRNA_15231;Name = MIR821;family = RF00885	Predicted snoRNA (0.855013). Box type: H/ACA	
6	EPIOSAT00000046059	ID = ncRNA_16154;Name = MIR821;family = RF00885	Predicted snoRNA (0.706652). Box type: H/ACA	

6	EPIOSAT00000047646	ID = ncRNA_14726;Name = MIR811;family = RF00882	Predicted snoRNA (0.941717). Box type: H/ACA	
6	EPIOSAT00000046636	ID = ncRNA_15635;Name = MIR821;family = RF00885	Predicted snoRNA (0.954042). Box type: H/ACA	
6	OS06T0600200-00	Note = Non-protein coding transcript., Transcript_evidence = BT085228 (DDBJ), ORF_evidence = NONE,	Predicted snoRNA (0.746187). Box type: C/D	X
6	EPIOSAT00000042357	ID = ncRNA_19487;Name = MIR1122;family = RF00906	Predicted snoRNA (0.968042). Box type: H/ACA	
6	EPIOSAT00000039067	ID = ncRNA_22447;Name = MIR1122;family = RF00906	Predicted snoRNA (0.729228). Box type: H/ACA	
6	EPIOSAT00000040234	ID = ncRNA_21397;Name = MIR1122;family = RF00906	Predicted snoRNA (0.700824). Box type: H/ACA	
6	EPIOSAT00000033492	ID = ncRNA_27465;Name = MIR1122;family = RF00906	Predicted snoRNA (0.95106). Box type: H/ACA	
6	EPIOSAT00000012140	ID = ncRNA_46682;Name = SprD;family = RF01828	Predicted snoRNA (0.816659). Box type: H/ACA	
6	EPIOSAT00000004011	ID = ncRNA_6017;Name = sroC;family = RF00369	Predicted snoRNA (0.832125). Box type: H/ACA	
6	EPIOSAT00000026977	ID = ncRNA_33328;Name = MIR530;family = RF01005	Predicted snoRNA (0.743701). Box type: H/ACA	
6	EPIOSAT00000038554	ID = ncRNA_22909;Name = MIR1122;family = RF00906	Predicted snoRNA (0.742766). Box type: H/ACA	

6	EPIOSAT00000052520	ID = ncRNA_10339;Name = MIR171_1;family = RF00643	Predicted snoRNA (0.810749). Box type: C/D	
6	EPIOSAT00000037589	ID = ncRNA_23778;Name = MIR1122;family = RF00906	Predicted snoRNA (0.955876). Box type: H/ACA	
6	EPIOSAT00000049508	ID = ncRNA_1305;Name = tmRNA;family = RF00023	Predicted snoRNA (0.88974). Box type: H/ACA	
6	EPIOSAT00000047699	ID = ncRNA_14679;Name = MIR811;family = RF00882	Predicted snoRNA (0.981748). Box type: H/ACA	
6	OS06T0644400-01	Note = Non-protein coding transcript., Transcript_evidence = AK070983 (DDBJ, Best hit), ORF_evidence = NONE, NIAS_FLcDNA = J023076F07,	Predicted snoRNA (0.806866). Box type: H/ACA	X
6	EPIOSAT00000030569	ID = ncRNA_30095;Name = MIR1122;family = RF00906	Predicted snoRNA (0.959167). Box type: H/ACA	
6	EPIOSAT00000031521	ID = ncRNA_29239;Name = MIR1122;family = RF00906	Predicted snoRNA (0.712125). Box type: H/ACA	
6	EPIOSAT00000037451	ID = ncRNA_23901;Name = MIR1122;family = RF00906	Predicted snoRNA (0.989767). Box type: H/ACA	
6	EPIOSAT00000036369	ID = ncRNA_24876;Name = MIR1122;family = RF00906	Predicted snoRNA (0.869171). Box type: H/ACA	
6	EPIOSAT00000046319	ID = ncRNA_15920;Name = MIR821;family = RF00885	Predicted snoRNA (0.74711). Box type: H/ACA	

6	OS06T0661300-01	Note = Non-protein coding transcript., Transcript_evidence = AK102432 (DDBJ, Best hit), ORF_evidence = NONE, NIAS_FLcDNA = J033093I05,	Predicted snoRNA (0.75947). Box type: H/ACA	X
6	EPIOSAT00000046076	ID = ncRNA_16139;Name = MIR821;family = RF00885	Predicted snoRNA (0.956388). Box type: H/ACA	
6	EPIOSAT00000035407	ID = ncRNA_25741;Name = MIR1122;family = RF00906	Predicted snoRNA (0.850314). Box type: H/ACA	
6	EPIOSAT00000008796	ID = ncRNA_49692;Name = GOLLD;family = RF02032	Predicted snoRNA (0.996536). Box type: H/ACA	
6	EPIOSAT00000043467	ID = ncRNA_18488;Name = MIR1122;family = RF00906	Predicted snoRNA (0.816058). Box type: H/ACA	
6	OS06T0679200-01	Note = Non-protein coding transcript., Transcript_evidence = AK107197 (DDBJ, Best hit), ORF_evidence = NONE, NIAS_FLcDNA = 002-125-A10,	Predicted snoRNA (0.988979). Box type: C/D	X
6	EPIOSAT00000018029	ID = ncRNA_41381;Name = snoR134;family = RF01430	Predicted snoRNA (0.741011). Box type: H/ACA	
6	EPIOSAT00000026298	ID = ncRNA_3394;Name = snoZ223;family = RF00135	Predicted snoRNA (0.988433). Box type: C/D	
6	EPIOSAT00000026287	ID = ncRNA_3395;Name = snoZ223;family = RF00135	Predicted snoRNA (0.995792). Box type: C/D	

6	EPIOSAT00000004633	ID = ncRNA_5458;Name = snoZ157;family = RF00333	Predicted snoRNA (0.998857). Box type: C/D	
6	EPIOSAT00000004734	ID = ncRNA_5367;Name = SNORD53_SNORD92;family = RF00325	Predicted snoRNA (0.994664). Box type: C/D	
6	EPIOSAT00000004635	ID = ncRNA_5456;Name = snoZ157;family = RF00333	Predicted snoRNA (0.999006). Box type: C/D	
6	EPIOSAT00000016775	ID = ncRNA_4251;Name = snoR38;family = RF00213	Predicted snoRNA (0.992069). Box type: C/D	
6	EPIOSAT00000043820	ID = ncRNA_1817;Name = SNORD96;family = RF00055	Predicted snoRNA (0.991938). Box type: C/D	
6	OS06T0692900-00	Note = Non-protein coding transcript., Transcript_evidence = tplb0022i14 (Wheat FLcDNA), ORF_evidence = NONE,	Predicted snoRNA (0.997994). Box type: C/D	X
6	EPIOSAT00000033278	ID = ncRNA_27658;Name = MIR1122;family = RF00906	Predicted snoRNA (0.973935). Box type: H/ACA	
6	EPIOSAT00000036836	ID = ncRNA_24455;Name = MIR1122;family = RF00906	Predicted snoRNA (0.706621). Box type: H/ACA	
6	EPIOSAT00000046296	ID = ncRNA_15941;Name = MIR821;family = RF00885	Predicted snoRNA (0.919557). Box type: H/ACA	

6	OS06T0708075-00	Note = Non-protein coding transcript., Transcript_evidence = tplb0059e09 (Wheat FLcDNA), ORF_evidence = NONE,	Predicted snoRNA (0.758466). Box type: C/D	X
6	EPIOSAT00000008358	ID = ncRNA_50085;Name = STnc300;family = RF02070	Predicted snoRNA (0.943542). Box type: H/ACA	
6	OS06T0714432-00	Note = Non-protein coding transcript., Transcript_evidence = CT836310 (DDBJ, Best hit), ORF_evidence = NONE,	Predicted snoRNA (0.985641). Box type: C/D	X
6	EPIOSAT000000039308	ID = ncRNA_2223;Name = mir-166;family = RF00075	Predicted snoRNA (0.946525). Box type: H/ACA	
6	OS06T0715550-00	Note = Non-protein coding transcript., Transcript_evidence = BT016857 (DDBJ), ORF_evidence = NONE,	Predicted snoRNA (0.838153). Box type: H/ACA	X
6	EPIOSAT000000031777	ID = ncRNA_29008;Name = MIR1122;family = RF00906	Predicted snoRNA (0.831624). Box type: H/ACA	
6	OS06T0726501-00	Note = Non-protein coding transcript., Transcript_evidence = tplb0001a06 (Wheat FLcDNA), ORF_evidence = NONE,	Predicted snoRNA (0.975023). Box type: C/D	X
6	EPIOSAT000000046337	ID = ncRNA_15904;Name = MIR821;family = RF00885	Predicted snoRNA (0.975169). Box type: H/ACA	

6	EPIOSAT00000046305	ID = ncRNA_15933;Name = MIR821;family = RF00885	Predicted snoRNA (0.838134). Box type: H/ACA	
7	EPIOSAT00000039383	ID = ncRNA_22162;Name = MIR1122;family = RF00906	Predicted snoRNA (0.939611). Box type: H/ACA	
7	EPIOSAT00000027001	ID = ncRNA_33306;Name = MIR530;family = RF01005	Predicted snoRNA (0.945904). Box type: H/ACA	
7	EPIOSAT00000043671	ID = ncRNA_18303;Name = MIR1122;family = RF00906	Predicted snoRNA (0.931954). Box type: H/ACA	
7	EPIOSAT00000044624	ID = ncRNA_17446;Name = MIR1122;family = RF00906	Predicted snoRNA (0.972494). Box type: H/ACA	
7	EPIOSAT00000044727	ID = ncRNA_17353;Name = MIR1122;family = RF00906	Predicted snoRNA (0.993836). Box type: H/ACA	
7	EPIOSAT00000018017	ID = ncRNA_41392;Name = snoR135;family = RF01431	Predicted snoRNA (0.995917). Box type: H/ACA	
7	EPIOSAT00000037756	ID = ncRNA_23627;Name = MIR1122;family = RF00906	Predicted snoRNA (0.824408). Box type: H/ACA	
7	EPIOSAT00000040847	ID = ncRNA_20845;Name = MIR1122;family = RF00906	Predicted snoRNA (0.781477). Box type: H/ACA	
7	EPIOSAT00000037741	ID = ncRNA_23640;Name = MIR1122;family = RF00906	Predicted snoRNA (0.889639). Box type: H/ACA	
7	EPIOSAT00000047110	ID = ncRNA_15208;Name = MIR821;family = RF00885	Predicted snoRNA (0.834046). Box type: H/ACA	
7	EPIOSAT00000047121	ID = ncRNA_15199;Name = MIR821;family = RF00885	Predicted snoRNA (0.913396). Box type: H/ACA	

7	EPIOSAT00000046641	ID = ncRNA_15630;Name = MIR821;family = RF00885	Predicted snoRNA (0.744216). Box type: H/ACA	
7	EPIOSAT00000033314	ID = ncRNA_27625;Name = MIR1122;family = RF00906	Predicted snoRNA (0.794558). Box type: H/ACA	
7	EPIOSAT00000034524	ID = ncRNA_26536;Name = MIR1122;family = RF00906	Predicted snoRNA (0.706155). Box type: H/ACA	
7	EPIOSAT00000026331	ID = ncRNA_3391;Name = snoZ223;family = RF00135	Predicted snoRNA (0.992973). Box type: C/D	
7	EPIOSAT00000018030	ID = ncRNA_41380;Name = snoR134;family = RF01430	Predicted snoRNA (0.753847). Box type: H/ACA	
7	EPIOSAT00000026342	ID = ncRNA_3390;Name = snoZ223;family = RF00135	Predicted snoRNA (0.986835). Box type: C/D	
7	EPIOSAT00000039897	ID = ncRNA_2170;Name = SNORD29;family = RF00070	Predicted snoRNA (0.986223). Box type: C/D	
7	EPIOSAT00000004673	ID = ncRNA_5421;Name = snoZ162;family = RF00329	Predicted snoRNA (0.989222). Box type: C/D	
7	OS07T0150600-00	Note = Non-protein coding transcript., Transcript_evidence = BT085109 (DDBJ), ORF_evidence = NONE,	Predicted snoRNA (0.99832). Box type: C/D	X
7	EPIOSAT00000046167	ID = ncRNA_16057;Name = MIR821;family = RF00885	Predicted snoRNA (0.889928). Box type: H/ACA	
7	EPIOSAT00000033457	ID = ncRNA_27497;Name = MIR1122;family = RF00906	Predicted snoRNA (0.983922). Box type: H/ACA	

7	EPIOSAT00000034688	ID = ncRNA_26389;Name = MIR1122;family = RF00906	Predicted snoRNA (0.810483). Box type: H/ACA	
7	EPIOSAT00000044680	ID = ncRNA_17396;Name = MIR1122;family = RF00906	Predicted snoRNA (0.98417). Box type: H/ACA	
7	EPIOSAT00000044723	ID = ncRNA_17357;Name = MIR1122;family = RF00906	Predicted snoRNA (0.985374). Box type: H/ACA	
7	EPIOSAT00000041806	ID = ncRNA_19983;Name = MIR1122;family = RF00906	Predicted snoRNA (0.985489). Box type: H/ACA	
7	EPIOSAT00000042467	ID = ncRNA_19388;Name = MIR1122;family = RF00906	Predicted snoRNA (0.895061). Box type: H/ACA	
7	EPIOSAT00000042789	ID = ncRNA_19098;Name = MIR1122;family = RF00906	Predicted snoRNA (0.951332). Box type: H/ACA	
7	OS07T0168700-01	Note = Non-protein coding transcript., Transcript_evidence = AK067067 (DDBJ, Best hit), ORF_evidence = NONE, NIAS_FLcDNA = J013093L19,	Predicted snoRNA (0.990096). Box type: C/D	X
7	EPIOSAT00000018064	ID = ncRNA_4135;Name = snoR12;family = RF00204	Predicted snoRNA (0.974963). Box type: C/D	
7	EPIOSAT00000036423	ID = ncRNA_24827;Name = MIR1122;family = RF00906	Predicted snoRNA (0.975203). Box type: H/ACA	
7	EPIOSAT00000047757	ID = ncRNA_14626;Name = MIR811;family = RF00882	Predicted snoRNA (0.881064). Box type: H/ACA	

7	EPIOSAT00000019894	ID = ncRNA_39703;Name = SCARNA7;family = RF01295	Predicted snoRNA (0.708139). Box type: H/ACA	
7	EPIOSAT00000027027	ID = ncRNA_33283;Name = MIR530;family = RF01005	Predicted snoRNA (0.852047). Box type: H/ACA	
7	EPIOSAT00000042129	ID = ncRNA_19692;Name = MIR1122;family = RF00906	Predicted snoRNA (0.837405). Box type: H/ACA	
7	OS07T0191801-01	Note = Non-protein coding transcript., Transcript_evidence = AK288998 (DDBJ, Best hit), ORF_evidence = NONE, NIAS_FLcDNA = J090088E15,	Predicted snoRNA (0.820009). Box type: H/ACA	X
7	OS07T0208050-00	Note = Non-protein coding transcript., Transcript_evidence = BT016937 (DDBJ), ORF_evidence = NONE,	Predicted snoRNA (0.849308). Box type: C/D	X
7	EPIOSAT00000044469	ID = ncRNA_17586;Name = MIR1122;family = RF00906	Predicted snoRNA (0.998666). Box type: H/ACA	
7	EPIOSAT00000044643	ID = ncRNA_17429;Name = MIR1122;family = RF00906	Predicted snoRNA (0.98884). Box type: H/ACA	
7	EPIOSAT00000008357	ID = ncRNA_50086;Name = STnc300;family = RF02070	Predicted snoRNA (0.762897). Box type: H/ACA	
7	EPIOSAT00000046926	ID = ncRNA_15374;Name = MIR821;family = RF00885	Predicted snoRNA (0.991502). Box type: H/ACA	
7	EPIOSAT00000046558	ID = ncRNA_15705;Name = MIR821;family = RF00885	Predicted snoRNA (0.939621). Box type: H/ACA	

7	EPIOSAT00000046608	ID = ncRNA_15660;Name = MIR821;family = RF00885	Predicted snoRNA (0.748609). Box type: H/ACA	
7	EPIOSAT00000035339	ID = ncRNA_25802;Name = MIR1122;family = RF00906	Predicted snoRNA (0.874451). Box type: H/ACA	
7	EPIOSAT00000046785	ID = ncRNA_15500;Name = MIR821;family = RF00885	Predicted snoRNA (0.964985). Box type: H/ACA	
7	EPIOSAT00000042001	ID = ncRNA_19807;Name = MIR1122;family = RF00906	Predicted snoRNA (0.950664). Box type: H/ACA	
7	EPIOSAT00000043021	ID = ncRNA_1889;Name = HgcG;family = RF00064	Predicted snoRNA (0.70469). Box type: H/ACA	
7	OS07T0223733-00	Note = Non-protein coding transcript., Transcript_evidence = BT016899 (DDBJ), ORF_evidence = NONE,	Predicted snoRNA (0.976254). Box type: C/D	X
7	EPIOSAT00000046656	ID = ncRNA_15617;Name = MIR821;family = RF00885	Predicted snoRNA (0.912429). Box type: H/ACA	
7	OS07T0232600-01	Note = Non-protein coding transcript., Transcript_evidence = AK288255 (DDBJ, Best hit), ORF_evidence = NONE, NIAS_FLCdNA = J090015K18,	Predicted snoRNA (0.818696). Box type: H/ACA	X
7	EPIOSAT00000047722	ID = ncRNA_14658;Name = MIR811;family = RF00882	Predicted snoRNA (0.939874). Box type: H/ACA	
7	EPIOSAT00000046629	ID = ncRNA_15641;Name = MIR821;family = RF00885	Predicted snoRNA (0.993669). Box type: H/ACA	

7	EPIOSAT00000046705	ID = ncRNA_15573;Name = MIR821;family = RF00885	Predicted snoRNA (0.94307). Box type: H/ACA	
7	EPIOSAT00000045815	ID = ncRNA_16374;Name = MIR821;family = RF00885	Predicted snoRNA (0.727085). Box type: H/ACA	
7	EPIOSAT00000038682	ID = ncRNA_22794;Name = MIR1122;family = RF00906	Predicted snoRNA (0.988688). Box type: H/ACA	
7	EPIOSAT00000039531	ID = ncRNA_22029;Name = MIR1122;family = RF00906	Predicted snoRNA (0.991876). Box type: H/ACA	
7	EPIOSAT00000004020	ID = ncRNA_6009;Name = sroC;family = RF00369	Predicted snoRNA (0.996937). Box type: H/ACA	
7	EPIOSAT00000033755	ID = ncRNA_27228;Name = MIR1122;family = RF00906	Predicted snoRNA (0.997753). Box type: H/ACA	
7	EPIOSAT00000033041	ID = ncRNA_27871;Name = MIR1122;family = RF00906	Predicted snoRNA (0.877346). Box type: H/ACA	
7	EPIOSAT00000000279	ID = ncRNA_9377;Name = SNORA49;family = RF00562	Predicted snoRNA (0.998979). Box type: H/ACA	
7	EPIOSAT00000008349	ID = ncRNA_50093;Name = STnc300;family = RF02070	Predicted snoRNA (0.933277). Box type: H/ACA	
7	EPIOSAT00000046260	ID = ncRNA_15974;Name = MIR821;family = RF00885	Predicted snoRNA (0.996193). Box type: H/ACA	
7	EPIOSAT00000046250	ID = ncRNA_15983;Name = MIR821;family = RF00885	Predicted snoRNA (0.925562). Box type: H/ACA	
7	EPIOSAT00000036583	ID = ncRNA_24683;Name = MIR1122;family = RF00906	Predicted snoRNA (0.88105). Box type: H/ACA	

7	EPIOSAT00000018383	ID = ncRNA_41062;Name = isrL;family = RF01395	Predicted snoRNA (0.999281). Box type: H/ACA	
7	EPIOSAT00000020526	ID = ncRNA_39134;Name = snR36;family = RF01242	Predicted snoRNA (0.962225). Box type: H/ACA	
7	EPIOSAT00000046528	ID = ncRNA_15732;Name = MIR821;family = RF00885	Predicted snoRNA (0.99211). Box type: H/ACA	
7	EPIOSAT00000046427	ID = ncRNA_15823;Name = MIR821;family = RF00885	Predicted snoRNA (0.931671). Box type: H/ACA	
7	EPIOSAT00000045555	ID = ncRNA_16608;Name = MIR821;family = RF00885	Predicted snoRNA (0.960469). Box type: H/ACA	
7	EPIOSAT00000049643	ID = ncRNA_12929;Name = MIR405;family = RF00768	Predicted snoRNA (0.99496). Box type: H/ACA	
7	EPIOSAT00000043060	ID = ncRNA_18854;Name = MIR1122;family = RF00906	Predicted snoRNA (0.995343). Box type: H/ACA	
7	EPIOSAT00000046658	ID = ncRNA_15615;Name = MIR821;family = RF00885	Predicted snoRNA (0.997047). Box type: H/ACA	
7	EPIOSAT00000046697	ID = ncRNA_15580;Name = MIR821;family = RF00885	Predicted snoRNA (0.998453). Box type: H/ACA	
7	EPIOSAT00000030027	ID = ncRNA_30583;Name = MIR1122;family = RF00906	Predicted snoRNA (0.809514). Box type: H/ACA	
7	EPIOSAT00000046845	ID = ncRNA_15447;Name = MIR821;family = RF00885	Predicted snoRNA (0.975984). Box type: H/ACA	

7	OS07T0299701-00	Note = Non-protein coding transcript., Transcript_evidence = CT836126 (DDBJ, Best hit), ORF_evidence = NONE,	Predicted snoRNA (0.808329). Box type: H/ACA	X
7	EPIOSAT00000026414	ID = ncRNA_33835;Name = MIR1023;family = RF01043	Predicted snoRNA (0.830704). Box type: H/ACA	
7	EPIOSAT00000046188	ID = ncRNA_16038;Name = MIR821;family = RF00885	Predicted snoRNA (0.996308). Box type: H/ACA	
7	EPIOSAT00000033913	ID = ncRNA_27086;Name = MIR1122;family = RF00906	Predicted snoRNA (0.790658). Box type: H/ACA	
7	EPIOSAT00000041720	ID = ncRNA_20059;Name = MIR1122;family = RF00906	Predicted snoRNA (0.998067). Box type: H/ACA	
7	EPIOSAT00000020462	ID = ncRNA_39192;Name = snR46;family = RF01253	Predicted snoRNA (0.757476). Box type: H/ACA	
7	EPIOSAT00000042738	ID = ncRNA_19143;Name = MIR1122;family = RF00906	Predicted snoRNA (0.751123). Box type: H/ACA	
7	EPIOSAT00000043439	ID = ncRNA_18512;Name = MIR1122;family = RF00906	Predicted snoRNA (0.781008). Box type: H/ACA	
7	EPIOSAT00000021465	ID = ncRNA_3829;Name = SSU_rRNA_bacteria;family = RF00177	Predicted snoRNA (0.818948). Box type: C/D	
7	EPIOSAT00000009952	ID = ncRNA_48651;Name = SSU_rRNA_archaea;family = RF01959	Predicted snoRNA (0.818948). Box type: C/D	

7	EPIOSAT00000009896	ID = ncRNA_48701;Name = SSU_rRNA_eukarya;family = RF01960	Predicted snoRNA (0.818948). Box type: C/D	
7	EPIOSAT00000042737	ID = ncRNA_19144;Name = MIR1122;family = RF00906	Predicted snoRNA (0.751123). Box type: H/ACA	
7	EPIOSAT00000043438	ID = ncRNA_18513;Name = MIR1122;family = RF00906	Predicted snoRNA (0.781008). Box type: H/ACA	
7	EPIOSAT00000036035	ID = ncRNA_25176;Name = MIR1122;family = RF00906	Predicted snoRNA (0.750413). Box type: H/ACA	
7	EPIOSAT00000046421	ID = ncRNA_15829;Name = MIR821;family = RF00885	Predicted snoRNA (0.898054). Box type: H/ACA	
7	EPIOSAT00000046433	ID = ncRNA_15818;Name = MIR821;family = RF00885	Predicted snoRNA (0.934292). Box type: H/ACA	
7	EPIOSAT00000000372	ID = ncRNA_9293;Name = snopsi18S-1377;family = RF00543	Predicted snoRNA (0.971796). Box type: H/ACA	
7	EPIOSAT00000045448	ID = ncRNA_16704;Name = MIR821;family = RF00885	Predicted snoRNA (0.822722). Box type: H/ACA	
7	EPIOSAT00000042986	ID = ncRNA_18920;Name = MIR1122;family = RF00906	Predicted snoRNA (0.891442). Box type: H/ACA	
7	EPIOSAT00000046776	ID = ncRNA_15509;Name = MIR821;family = RF00885	Predicted snoRNA (0.83529). Box type: H/ACA	
7	EPIOSAT00000042691	ID = ncRNA_19186;Name = MIR1122;family = RF00906	Predicted snoRNA (0.987558). Box type: H/ACA	

7	EPIOSAT00000012139	ID = ncRNA_46683;Name = SprD;family = RF01828	Predicted snoRNA (0.748145). Box type: H/ACA	
7	EPIOSAT00000040003	ID = ncRNA_21604;Name = MIR1122;family = RF00906	Predicted snoRNA (0.963276). Box type: H/ACA	
7	EPIOSAT00000046253	ID = ncRNA_15980;Name = MIR821;family = RF00885	Predicted snoRNA (0.967116). Box type: H/ACA	
7	EPIOSAT00000046246	ID = ncRNA_15987;Name = MIR821;family = RF00885	Predicted snoRNA (0.997347). Box type: H/ACA	
7	EPIOSAT00000043616	ID = ncRNA_18353;Name = MIR1122;family = RF00906	Predicted snoRNA (0.921987). Box type: H/ACA	
7	EPIOSAT00000043845	ID = ncRNA_18147;Name = MIR1122;family = RF00906	Predicted snoRNA (0.986119). Box type: H/ACA	
7	EPIOSAT00000000383	ID = ncRNA_9283;Name = snopsi18S-1854;family = RF00540	Predicted snoRNA (0.741123). Box type: H/ACA	
7	EPIOSAT00000026859	ID = ncRNA_33434;Name = MIR530;family = RF01005	Predicted snoRNA (0.88165). Box type: H/ACA	
7	EPIOSAT00000020517	ID = ncRNA_39142;Name = snR9;family = RF01245	Predicted snoRNA (0.999552). Box type: H/ACA	
7	EPIOSAT00000028509	ID = ncRNA_3195;Name = IS102;family = RF00124	Predicted snoRNA (0.854274). Box type: H/ACA	
7	EPIOSAT00000025606	ID = ncRNA_34562;Name = mir-598;family = RF01059	Predicted snoRNA (0.99289). Box type: C/D	
7	EPIOSAT00000045746	ID = ncRNA_16436;Name = MIR821;family = RF00885	Predicted snoRNA (0.740546). Box type: H/ACA	

7	EPIOSAT00000045892	ID = ncRNA_16304;Name = MIR821;family = RF00885	Predicted snoRNA (0.823893). Box type: H/ACA	
7	EPIOSAT00000047322	ID = ncRNA_15017;Name = MIR821;family = RF00885	Predicted snoRNA (0.740745). Box type: H/ACA	
7	EPIOSAT00000046626	ID = ncRNA_15644;Name = MIR821;family = RF00885	Predicted snoRNA (0.999603). Box type: H/ACA	
7	EPIOSAT00000046579	ID = ncRNA_15687;Name = MIR821;family = RF00885	Predicted snoRNA (0.861012). Box type: H/ACA	
7	EPIOSAT00000019744	ID = ncRNA_39839;Name = SNORD2;family = RF01299	Predicted snoRNA (0.939535). Box type: C/D	
7	EPIOSAT00000019740	ID = ncRNA_39842;Name = SNORD2;family = RF01299	Predicted snoRNA (0.951068). Box type: C/D	
7	EPIOSAT00000019739	ID = ncRNA_39843;Name = SNORD2;family = RF01299	Predicted snoRNA (0.951068). Box type: C/D	
7	EPIOSAT00000019738	ID = ncRNA_39844;Name = SNORD2;family = RF01299	Predicted snoRNA (0.951068). Box type: C/D	
7	EPIOSAT00000019737	ID = ncRNA_39845;Name = SNORD2;family = RF01299	Predicted snoRNA (0.951068). Box type: C/D	
7	EPIOSAT00000014467	ID = ncRNA_44588;Name = plasmidium_snoR11;family = RF01589	Predicted snoRNA (0.953202). Box type: H/ACA	
7	EPIOSAT00000046339	ID = ncRNA_15902;Name = MIR821;family = RF00885	Predicted snoRNA (0.83352). Box type: H/ACA	

7	EPIOSAT00000047893	ID = ncRNA_14503;Name = MIR811;family = RF00882	Predicted snoRNA (0.988233). Box type: H/ACA	
7	OS07T0545550-00	Note = Non-protein coding transcript., Transcript_evidence = EU957140 (DDBJ), ORF_evidence = NONE,	Predicted snoRNA (0.816079). Box type: H/ACA	X
7	EPIOSAT00000046600	ID = ncRNA_15668;Name = MIR821;family = RF00885	Predicted snoRNA (0.785858). Box type: H/ACA	
7	EPIOSAT00000040578	ID = ncRNA_21087;Name = MIR1122;family = RF00906	Predicted snoRNA (0.960471). Box type: H/ACA	
7	EPIOSAT00000020518	ID = ncRNA_39141;Name = snR9;family = RF01245	Predicted snoRNA (0.993985). Box type: H/ACA	
7	EPIOSAT00000014486	ID = ncRNA_44570;Name = plasmidium_snoR11;family = RF01589	Predicted snoRNA (0.804833). Box type: H/ACA	
7	EPIOSAT00000032238	ID = ncRNA_28594;Name = MIR1122;family = RF00906	Predicted snoRNA (0.962664). Box type: H/ACA	
7	EPIOSAT00000052166	ID = ncRNA_10658;Name = MIR396;family = RF00648	Predicted snoRNA (0.731593). Box type: H/ACA	
7	EPIOSAT00000053266	ID = ncRNA_9958;Name = SNORA11;family = RF00614	Predicted snoRNA (0.701037). Box type: H/ACA	
7	EPIOSAT00000053269	ID = ncRNA_9960;Name = SNORA11;family = RF00614	Predicted snoRNA (0.853334). Box type: H/ACA	
7	EPIOSAT00000035511	ID = ncRNA_25648;Name = MIR1122;family = RF00906	Predicted snoRNA (0.826599). Box type: H/ACA	

7	OS07T0572850-00	Note = Non-protein coding transcript., Transcript_evidence = tplb0061f07 (Wheat FLcDNA), ORF_evidence = NONE,	Predicted snoRNA (0.950773). Box type: H/ACA	X
7	EPIOSAT00000043897	ID = ncRNA_1810;Name = SNORD96;family = RF00055	Predicted snoRNA (0.713671). Box type: C/D	
7	EPIOSAT00000038751	ID = ncRNA_22731;Name = MIR1122;family = RF00906	Predicted snoRNA (0.711926). Box type: H/ACA	
7	EPIOSAT00000014704	ID = ncRNA_44374;Name = RUF3;family = RF01580	Predicted snoRNA (0.873466). Box type: H/ACA	
7	EPIOSAT00000039718	ID = ncRNA_21861;Name = MIR1122;family = RF00906	Predicted snoRNA (0.91039). Box type: H/ACA	
7	EPIOSAT00000031121	ID = ncRNA_296;Name = U2;family = RF00004	Predicted snoRNA (0.840753). Box type: H/ACA	
7	EPIOSAT00000043750	ID = ncRNA_18232;Name = MIR1122;family = RF00906	Predicted snoRNA (0.723917). Box type: H/ACA	
7	OS07T0608450-01	Note = Non-protein coding transcript., Transcript_evidence = AK288746 (DDBJ, Best hit), ORF_evidence = NONE, NIAS_FLcDNA = J090064I03,	Predicted snoRNA (0.945515). Box type: C/D	X
7	EPIOSAT00000018021	ID = ncRNA_41389;Name = snoR135;family = RF01431	Predicted snoRNA (0.999975). Box type: H/ACA	

7	EPIOSAT00000018024	ID = ncRNA_41386;Name = snoR135;family = RF01431	Predicted snoRNA (0.897204). Box type: H/ACA	
7	EPIOSAT00000016453	ID = ncRNA_4280;Name = SNORD46;family = RF00218	Predicted snoRNA (0.987339). Box type: C/D	
7	EPIOSAT00000016465	ID = ncRNA_4279;Name = SNORD46;family = RF00218	Predicted snoRNA (0.995322). Box type: C/D	
7	EPIOSAT00000031950	ID = ncRNA_28853;Name = MIR1122;family = RF00906	Predicted snoRNA (0.737804). Box type: H/ACA	
7	OS07T0618450-00	Note = Non-protein coding transcript., Transcript_evidence = tplb0033p23 (Wheat FLcDNA), ORF_evidence = NONE,	Predicted snoRNA (0.883606). Box type: C/D	X
7	EPIOSAT00000036552	ID = ncRNA_24710;Name = MIR1122;family = RF00906	Predicted snoRNA (0.899443). Box type: H/ACA	
7	EPIOSAT00000004676	ID = ncRNA_5419;Name = snoZ162;family = RF00329	Predicted snoRNA (0.996408). Box type: C/D	
7	EPIOSAT00000004683	ID = ncRNA_5412;Name = snoZ161_228;family = RF00328	Predicted snoRNA (0.995893). Box type: C/D	
7	EPIOSAT00000024576	ID = ncRNA_3549;Name = SNORD34;family = RF00147	Predicted snoRNA (0.883942). Box type: C/D	

7	OS07T0631900-02	Note = Non-protein coding transcript., Transcript_evidence = AK058579 (DDBJ, Best hit), ORF_evidence = NONE, NIAS_FLcDNA = 001-017-F05,	Predicted snoRNA (0.886487). Box type: C/D	X
7	EPIOSAT00000032408	ID = ncRNA_28440;Name = MIR1122;family = RF00906	Predicted snoRNA (0.948304). Box type: H/ACA	
7	EPIOSAT00000038717	ID = ncRNA_22762;Name = MIR1122;family = RF00906	Predicted snoRNA (0.730153). Box type: H/ACA	
7	EPIOSAT00000039748	ID = ncRNA_21834;Name = MIR1122;family = RF00906	Predicted snoRNA (0.916964). Box type: H/ACA	
7	EPIOSAT00000026206	ID = ncRNA_34021;Name = MIR1023;family = RF01043	Predicted snoRNA (0.988125). Box type: H/ACA	
7	EPIOSAT00000038879	ID = ncRNA_22616;Name = MIR1122;family = RF00906	Predicted snoRNA (0.881971). Box type: H/ACA	
7	EPIOSAT00000000375	ID = ncRNA_9290;Name = snopsi28S-1192;family = RF00542	Predicted snoRNA (0.967949). Box type: H/ACA	
7	EPIOSAT00000040122	ID = ncRNA_21498;Name = MIR1122;family = RF00906	Predicted snoRNA (0.811016). Box type: H/ACA	
7	EPIOSAT00000041440	ID = ncRNA_20310;Name = MIR1122;family = RF00906	Predicted snoRNA (0.866745). Box type: H/ACA	
7	EPIOSAT00000043998	ID = ncRNA_18009;Name = MIR1122;family = RF00906	Predicted snoRNA (0.975874). Box type: H/ACA	

7	EPIOSAT00000043293	ID = ncRNA_18644;Name = MIR1122;family = RF00906	Predicted snoRNA (0.888058). Box type: H/ACA	
7	EPIOSAT00000043741	ID = ncRNA_18240;Name = MIR1122;family = RF00906	Predicted snoRNA (0.939887). Box type: H/ACA	
7	EPIOSAT00000024742	ID = ncRNA_3534;Name = SNORD34;family = RF00147	Predicted snoRNA (0.910609). Box type: C/D	
7	EPIOSAT00000012342	ID = ncRNA_4650;Name = SNORD60;family = RF00271	Predicted snoRNA (0.914629). Box type: C/D	
7	EPIOSAT00000029287	ID = ncRNA_31249;Name = MIR1122;family = RF00906	Predicted snoRNA (0.947248). Box type: H/ACA	
7	OS07T0684500-01	Note = Non-protein coding transcript., Transcript_evidence = AK060591 (DDBJ, Best hit), ORF_evidence = NONE, NIAS_FLCdNA = 001-024-D12,	Predicted snoRNA (0.868656). Box type: H/ACA	X
7	EPIOSAT00000031221	ID = ncRNA_29509;Name = MIR1122;family = RF00906	Predicted snoRNA (0.922775). Box type: H/ACA	
7	EPIOSAT00000037339	ID = ncRNA_24001;Name = MIR1122;family = RF00906	Predicted snoRNA (0.787779). Box type: H/ACA	
7	EPIOSAT00000041836	ID = ncRNA_19956;Name = MIR1122;family = RF00906	Predicted snoRNA (0.840555). Box type: H/ACA	

8	OS08T0105450-00	Note = Non-protein coding transcript., Transcript_evidence = tplb0042b08 (Wheat FLcDNA), ORF_evidence = NONE,	Predicted snoRNA (0.826114). Box type: H/ACA	X
8	EPIOSAT00000042384	ID = ncRNA_19462;Name = MIR1122;family = RF00906	Predicted snoRNA (0.951578). Box type: H/ACA	
8	EPIOSAT00000043812	ID = ncRNA_18177;Name = MIR1122;family = RF00906	Predicted snoRNA (0.917285). Box type: H/ACA	
8	EPIOSAT00000043983	ID = ncRNA_18022;Name = MIR1122;family = RF00906	Predicted snoRNA (0.991955). Box type: H/ACA	
8	OS08T0121950-00	Note = Non-protein coding transcript., Transcript_evidence = EU971712 (DDBJ), ORF_evidence = NONE,	Predicted snoRNA (0.871731). Box type: H/ACA	X
8	EPIOSAT00000047215	ID = ncRNA_15113;Name = MIR821;family = RF00885	Predicted snoRNA (0.961179). Box type: H/ACA	
8	EPIOSAT00000047261	ID = ncRNA_15072;Name = MIR821;family = RF00885	Predicted snoRNA (0.794453). Box type: H/ACA	
8	EPIOSAT00000000084	ID = ncRNA_9552;Name = SNORD90;family = RF00579	Predicted snoRNA (0.993806). Box type: C/D	
8	EPIOSAT00000034277	ID = ncRNA_26759;Name = MIR1122;family = RF00906	Predicted snoRNA (0.860192). Box type: H/ACA	
8	EPIOSAT00000050496	ID = ncRNA_12160;Name = mir-449;family = RF00711	Predicted snoRNA (0.922085). Box type: H/ACA	

8	EPIOSAT00000026790	ID = ncRNA_33497;Name = MIR530;family = RF01005	Predicted snoRNA (0.994244). Box type: H/ACA	
8	EPIOSAT00000030559	ID = ncRNA_30103;Name = MIR1122;family = RF00906	Predicted snoRNA (0.942445). Box type: H/ACA	
8	OS08T0153101-00	Note = Non-protein coding transcript., Transcript_evidence = BT067435 (DDBJ), ORF_evidence = NONE,	Predicted snoRNA (0.819274). Box type: H/ACA	X
8	EPIOSAT00000018027	ID = ncRNA_41383;Name = snoR134;family = RF01430	Predicted snoRNA (0.968658). Box type: H/ACA	
8	EPIOSAT00000022190	ID = ncRNA_37637;Name = SNORD11B;family = RF01192	Predicted snoRNA (0.999456). Box type: C/D	
8	EPIOSAT00000008230	ID = ncRNA_5020;Name = snosnR60_Z15;family = RF00309	Predicted snoRNA (0.990421). Box type: C/D	
8	OS08T0157850-00	Note = Non-protein coding transcript., Transcript_evidence = tplb0060b22 (Wheat FLcDNA), ORF_evidence = NONE,	Predicted snoRNA (0.980955). Box type: C/D	X
8	EPIOSAT00000020582	ID = ncRNA_39084;Name = snR161;family = RF01237	Predicted snoRNA (0.993918). Box type: H/ACA	
8	EPIOSAT00000008136	ID = ncRNA_50285;Name = DAOA-AS1_2;family = RF02091	Predicted snoRNA (0.973621). Box type: H/ACA	
8	EPIOSAT00000003539	ID = ncRNA_6442;Name = snoZ242;family = RF00441	Predicted snoRNA (0.710571). Box type: H/ACA	

8	EPIOSAT00000026722	ID = ncRNA_33558;Name = MIR530;family = RF01005	Predicted snoRNA (0.983961). Box type: H/ACA	
8	EPIOSAT00000012552	ID = ncRNA_46310;Name = HSUR;family = RF01802	Predicted snoRNA (0.999962). Box type: H/ACA	
8	EPIOSAT00000026956	ID = ncRNA_33347;Name = MIR530;family = RF01005	Predicted snoRNA (0.883011). Box type: H/ACA	
8	EPIOSAT00000027219	ID = ncRNA_3311;Name = IS102;family = RF00124	Predicted snoRNA (0.926353). Box type: H/ACA	
8	EPIOSAT00000020558	ID = ncRNA_39105;Name = snR49;family = RF01239	Predicted snoRNA (0.972963). Box type: H/ACA	
8	EPIOSAT00000019286	ID = ncRNA_4025;Name = SNORA57;family = RF00191	Predicted snoRNA (0.908829). Box type: H/ACA	
8	OS08T0203325-00	Note = Non-protein coding transcript., Transcript_evidence = EU949024 (DDBJ), ORF_evidence = NONE,	Predicted snoRNA (0.873362). Box type: C/D	X
8	EPIOSAT00000047743	ID = ncRNA_14639;Name = MIR811;family = RF00882	Predicted snoRNA (0.941534). Box type: H/ACA	
8	EPIOSAT00000047741	ID = ncRNA_14640;Name = MIR811;family = RF00882	Predicted snoRNA (0.941534). Box type: H/ACA	
8	EPIOSAT00000052700	ID = ncRNA_10177;Name = P15;family = RF00627	Predicted snoRNA (0.995067). Box type: H/ACA	
8	EPIOSAT00000026972	ID = ncRNA_33332;Name = MIR530;family = RF01005	Predicted snoRNA (0.99172). Box type: H/ACA	

8	EPIOSAT00000021453	ID = ncRNA_3830;Name = SSU_rRNA_bacteria;family = RF00177	Predicted snoRNA (0.818948). Box type: C/D	
8	EPIOSAT00000009950	ID = ncRNA_48653;Name = SSU_rRNA_archaea;family = RF01959	Predicted snoRNA (0.818948). Box type: C/D	
8	EPIOSAT00000009895	ID = ncRNA_48702;Name = SSU_rRNA_eukarya;family = RF01960	Predicted snoRNA (0.818948). Box type: C/D	
8	EPIOSAT00000046633	ID = ncRNA_15638;Name = MIR821;family = RF00885	Predicted snoRNA (0.902528). Box type: H/ACA	
8	EPIOSAT00000046719	ID = ncRNA_15560;Name = MIR821;family = RF00885	Predicted snoRNA (0.959549). Box type: H/ACA	
8	EPIOSAT00000047249	ID = ncRNA_15083;Name = MIR821;family = RF00885	Predicted snoRNA (0.917243). Box type: H/ACA	
8	EPIOSAT00000046805	ID = ncRNA_15483;Name = MIR821;family = RF00885	Predicted snoRNA (0.919222). Box type: H/ACA	
8	EPIOSAT00000046850	ID = ncRNA_15442;Name = MIR821;family = RF00885	Predicted snoRNA (0.997957). Box type: H/ACA	
8	EPIOSAT00000034225	ID = ncRNA_26805;Name = MIR1122;family = RF00906	Predicted snoRNA (0.761262). Box type: H/ACA	
8	EPIOSAT00000046654	ID = ncRNA_15619;Name = MIR821;family = RF00885	Predicted snoRNA (0.997006). Box type: H/ACA	
8	EPIOSAT00000043640	ID = ncRNA_18331;Name = MIR1122;family = RF00906	Predicted snoRNA (0.824387). Box type: H/ACA	

8	OS08T0280501-00	Note = Non-protein coding transcript., Transcript_evidence = EU941026 (DDBJ), ORF_evidence = NONE,	Predicted snoRNA (0.992602). Box type: H/ACA	X
8	EPIOSAT00000047136	ID = ncRNA_15185;Name = MIR821;family = RF00885	Predicted snoRNA (0.819004). Box type: H/ACA	
8	EPIOSAT00000035236	ID = ncRNA_25896;Name = MIR1122;family = RF00906	Predicted snoRNA (0.715022). Box type: H/ACA	
8	EPIOSAT00000019881	ID = ncRNA_39715;Name = SCARNA7;family = RF01295	Predicted snoRNA (0.978437). Box type: H/ACA	
8	EPIOSAT00000038443	ID = ncRNA_23008;Name = MIR1122;family = RF00906	Predicted snoRNA (0.708822). Box type: H/ACA	
8	EPIOSAT00000046908	ID = ncRNA_15390;Name = MIR821;family = RF00885	Predicted snoRNA (0.897948). Box type: H/ACA	
8	EPIOSAT00000046911	ID = ncRNA_15388;Name = MIR821;family = RF00885	Predicted snoRNA (0.76756). Box type: H/ACA	
8	EPIOSAT00000043065	ID = ncRNA_1885;Name = HgcG;family = RF00064	Predicted snoRNA (0.914787). Box type: H/ACA	
8	EPIOSAT00000044630	ID = ncRNA_17440;Name = MIR1122;family = RF00906	Predicted snoRNA (0.988963). Box type: H/ACA	
8	EPIOSAT00000044672	ID = ncRNA_17402;Name = MIR1122;family = RF00906	Predicted snoRNA (0.994149). Box type: H/ACA	
8	EPIOSAT00000008647	ID = ncRNA_49826;Name = STnc430;family = RF02053	Predicted snoRNA (0.985971). Box type: H/ACA	

8	EPIOSAT00000053112	ID = ncRNA_9819;Name = SCARNA21;family = RF00602	Predicted snoRNA (0.997614). Box type: H/ACA	
8	EPIOSAT00000046715	ID = ncRNA_15564;Name = MIR821;family = RF00885	Predicted snoRNA (0.962676). Box type: H/ACA	
8	EPIOSAT00000043583	ID = ncRNA_18383;Name = MIR1122;family = RF00906	Predicted snoRNA (0.85086). Box type: H/ACA	
8	EPIOSAT00000047066	ID = ncRNA_15248;Name = MIR821;family = RF00885	Predicted snoRNA (0.994788). Box type: H/ACA	
8	EPIOSAT00000014734	ID = ncRNA_44347;Name = RUF3;family = RF01580	Predicted snoRNA (0.97951). Box type: H/ACA	
8	EPIOSAT00000047061	ID = ncRNA_15252;Name = MIR821;family = RF00885	Predicted snoRNA (0.765871). Box type: H/ACA	
8	EPIOSAT00000047073	ID = ncRNA_15241;Name = MIR821;family = RF00885	Predicted snoRNA (0.91116). Box type: H/ACA	
8	EPIOSAT00000046382	ID = ncRNA_15864;Name = MIR821;family = RF00885	Predicted snoRNA (0.957838). Box type: H/ACA	
8	OS08T0372401-01	Note = Non-protein coding transcript., Transcript_evidence = AK288876 (DDBJ, Best hit), ORF_evidence = NONE, NIAS_FLcDNA = J090078P15,	Predicted snoRNA (0.887421). Box type: H/ACA	X
8	EPIOSAT00000019942	ID = ncRNA_39660;Name = snoR2;family = RF01292	Predicted snoRNA (0.996915). Box type: H/ACA	

8	EPIOSAT00000011263	ID = ncRNA_47471;Name = TUG1_4;family = RF01892	Predicted snoRNA (0.93692). Box type: H/ACA	
8	EPIOSAT00000020521	ID = ncRNA_39139;Name = snR9;family = RF01245	Predicted snoRNA (0.995813). Box type: H/ACA	
8	EPIOSAT00000046793	ID = ncRNA_15494;Name = MIR821;family = RF00885	Predicted snoRNA (0.978917). Box type: H/ACA	
8	OS08T0387450-00	Note = Non-protein coding transcript., Transcript_evidence = tplb0042g22 (Wheat FLcDNA), ORF_evidence = NONE,	Predicted snoRNA (0.956494). Box type: C/D	X
8	EPIOSAT00000000363	ID = ncRNA_9300;Name = snopsi28S-3327;family = RF00544	Predicted snoRNA (0.989656). Box type: H/ACA	
8	OS08T0399600-02	Note = Non-protein coding transcript., Transcript_evidence = AK107916 (DDBJ, Best hit), ORF_evidence = NONE, NIAS_FLcDNA = 002-134-G11,	Predicted snoRNA (0.804844). Box type: H/ACA	X
8	EPIOSAT00000037103	ID = ncRNA_24214;Name = MIR1122;family = RF00906	Predicted snoRNA (0.737674). Box type: H/ACA	
8	EPIOSAT00000008371	ID = ncRNA_50073;Name = STnc300;family = RF02070	Predicted snoRNA (0.994848). Box type: H/ACA	
8	EPIOSAT00000047205	ID = ncRNA_15122;Name = MIR821;family = RF00885	Predicted snoRNA (0.713238). Box type: H/ACA	

8	EPIOSAT00000045868	ID = ncRNA_16326;Name = MIR821;family = RF00885	Predicted snoRNA (0.77677). Box type: H/ACA	
8	EPIOSAT00000044268	ID = ncRNA_17767;Name = MIR1122;family = RF00906	Predicted snoRNA (0.726138). Box type: H/ACA	
8	EPIOSAT00000040941	ID = ncRNA_20760;Name = MIR1122;family = RF00906	Predicted snoRNA (0.77722). Box type: H/ACA	
8	OS08T0420650-01	Note = Non-protein coding transcript., Transcript_evidence = AK288721 (DDBJ, Best hit), ORF_evidence = NONE, NIAS_FLCDNA = J090062N24,	Predicted snoRNA (0.745796). Box type: H/ACA	X
8	EPIOSAT00000045803	ID = ncRNA_16385;Name = MIR821;family = RF00885	Predicted snoRNA (0.991049). Box type: C/D	
8	EPIOSAT00000040693	ID = ncRNA_20984;Name = MIR1122;family = RF00906	Predicted snoRNA (0.750616). Box type: H/ACA	
8	EPIOSAT00000018060	ID = ncRNA_41353;Name = snoR126;family = RF01426	Predicted snoRNA (0.973009). Box type: C/D	
8	EPIOSAT00000004134	ID = ncRNA_5907;Name = snoR44_J54;family = RF00357	Predicted snoRNA (0.997155). Box type: C/D	
8	EPIOSAT00000004132	ID = ncRNA_5909;Name = snoR44_J54;family = RF00357	Predicted snoRNA (0.99151). Box type: C/D	
8	EPIOSAT00000040302	ID = ncRNA_21335;Name = MIR1122;family = RF00906	Predicted snoRNA (0.896851). Box type: H/ACA	

8	OS08T0446350-00	Note = Non-protein coding transcript., Transcript_evidence = BT068372 (DDBJ), ORF_evidence = NONE,	Predicted snoRNA (0.858809). Box type: H/ACA	X
8	EPIOSAT00000014543	ID = ncRNA_44519;Name = plasmidium_snoR11;family = RF01589	Predicted snoRNA (0.999785). Box type: H/ACA	
8	EPIOSAT00000040536	ID = ncRNA_21124;Name = MIR1122;family = RF00906	Predicted snoRNA (0.827024). Box type: H/ACA	
8	EPIOSAT00000037256	ID = ncRNA_24077;Name = MIR1122;family = RF00906	Predicted snoRNA (0.871647). Box type: H/ACA	
8	EPIOSAT00000046283	ID = ncRNA_15953;Name = MIR821;family = RF00885	Predicted snoRNA (0.722132). Box type: H/ACA	
8	EPIOSAT00000046795	ID = ncRNA_15492;Name = MIR821;family = RF00885	Predicted snoRNA (0.980149). Box type: H/ACA	
8	EPIOSAT00000044250	ID = ncRNA_17783;Name = MIR1122;family = RF00906	Predicted snoRNA (0.991294). Box type: H/ACA	
8	EPIOSAT00000044510	ID = ncRNA_17549;Name = MIR1122;family = RF00906	Predicted snoRNA (0.993735). Box type: H/ACA	
8	EPIOSAT00000018194	ID = ncRNA_41232;Name = snoR113;family = RF01420	Predicted snoRNA (0.937346). Box type: C/D	

8	OS08T0486200-03	Note = Non-protein coding transcript., Transcript_evidence = AK063813 (DDBJ, Best hit), ORF_evidence = NONE, NIAS_FLcDNA = 001-121-H01,	Predicted snoRNA (0.872097). Box type: C/D	X
8	EPIOSAT00000040054	ID = ncRNA_21559;Name = MIR1122;family = RF00906	Predicted snoRNA (0.791613). Box type: H/ACA	
8	EPIOSAT00000035771	ID = ncRNA_25413;Name = MIR1122;family = RF00906	Predicted snoRNA (0.996395). Box type: H/ACA	
8	EPIOSAT00000045322	ID = ncRNA_16818;Name = MIR821;family = RF00885	Predicted snoRNA (0.905249). Box type: H/ACA	
8	EPIOSAT00000033341	ID = ncRNA_27600;Name = MIR1122;family = RF00906	Predicted snoRNA (0.940083). Box type: H/ACA	
8	OS08T0515600-01	Note = Non-protein coding transcript., Transcript_evidence = AK059091 (DDBJ, Best hit), ORF_evidence = NONE, NIAS_FLcDNA = 001-022-B12,	Predicted snoRNA (0.958515). Box type: C/D	X
8	OS08T0526633-01	Note = Non-protein coding transcript., Transcript_evidence = AK318545 (DDBJ, Best hit), ORF_evidence = NONE, NIAS_FLcDNA = J075111P10,	Predicted snoRNA (0.854933). Box type: H/ACA	X
8	EPIOSAT00000020619	ID = ncRNA_39050;Name = snoR74;family = RF01231	Predicted snoRNA (0.812586). Box type: H/ACA	

8	EPIOSAT00000034532	ID = ncRNA_26529;Name = MIR1122;family = RF00906	Predicted snoRNA (0.955666). Box type: H/ACA	
8	EPIOSAT00000044326	ID = ncRNA_17714;Name = MIR1122;family = RF00906	Predicted snoRNA (0.988803). Box type: H/ACA	
8	EPIOSAT00000044404	ID = ncRNA_17644;Name = MIR1122;family = RF00906	Predicted snoRNA (0.930832). Box type: H/ACA	
8	EPIOSAT00000049626	ID = ncRNA_12944;Name = MIR405;family = RF00768	Predicted snoRNA (0.957786). Box type: H/ACA	
8	EPIOSAT00000041543	ID = ncRNA_20218;Name = MIR1122;family = RF00906	Predicted snoRNA (0.957786). Box type: H/ACA	
8	OS08T0550100-02	Note = Non-protein coding transcript., Transcript_evidence = AK058374 (DDBJ, Best hit), ORF_evidence = NONE, NIAS_FLcDNA = 001-014-G09,	Predicted snoRNA (0.806229). Box type: C/D	X
8	EPIOSAT00000037940	ID = ncRNA_23461;Name = MIR1122;family = RF00906	Predicted snoRNA (0.992454). Box type: H/ACA	
8	EPIOSAT00000030033	ID = ncRNA_30578;Name = MIR1122;family = RF00906	Predicted snoRNA (0.732902). Box type: H/ACA	
8	EPIOSAT00000019791	ID = ncRNA_39797;Name = SCARNA7;family = RF01295	Predicted snoRNA (0.993905). Box type: H/ACA	
9	EPIOSAT00000026992	ID = ncRNA_33314;Name = MIR530;family = RF01005	Predicted snoRNA (0.962027). Box type: H/ACA	

9	EPIOSAT00000027037	ID = ncRNA_33274;Name = MIR530;family = RF01005	Predicted snoRNA (0.788438). Box type: H/ACA	
9	OS09T0115166-01	Note = Non-protein coding transcript., Transcript_evidence = AK288627 (DDBJ, Best hit), ORF_evidence = NONE, NIAS_FLcDNA = J090054N12,	Predicted snoRNA (0.883425). Box type: H/ACA	X
9	OS09T0115950-01	Note = Non-protein coding transcript., Transcript_evidence = AK288463 (DDBJ, Best hit), ORF_evidence = NONE, NIAS_FLcDNA = J090036E20,	Predicted snoRNA (0.979354). Box type: H/ACA	X
9	EPIOSAT00000046525	ID = ncRNA_15735;Name = MIR821;family = RF00885	Predicted snoRNA (0.939888). Box type: H/ACA	
9	EPIOSAT00000043535	ID = ncRNA_18426;Name = MIR1122;family = RF00906	Predicted snoRNA (0.729906). Box type: H/ACA	
9	EPIOSAT00000047051	ID = ncRNA_15261;Name = MIR821;family = RF00885	Predicted snoRNA (0.721405). Box type: H/ACA	
9	OS09T0123250-00	Note = Non-protein coding transcript., Transcript_evidence = AK371248 (DDBJ), ORF_evidence = NONE,	Predicted snoRNA (0.754395). Box type: C/D	X
9	EPIOSAT00000046557	ID = ncRNA_15706;Name = MIR821;family = RF00885	Predicted snoRNA (0.970756). Box type: H/ACA	

9	EPIOSAT00000046690	ID = ncRNA_15587;Name = MIR821;family = RF00885	Predicted snoRNA (0.817986). Box type: H/ACA	
9	EPIOSAT00000046759	ID = ncRNA_15524;Name = MIR821;family = RF00885	Predicted snoRNA (0.955971). Box type: H/ACA	
9	EPIOSAT00000046852	ID = ncRNA_15440;Name = MIR821;family = RF00885	Predicted snoRNA (0.987573). Box type: H/ACA	
9	OS09T0128600-03	Note = Non-protein coding transcript., Transcript_evidence = AK064174 (DDBJ, Best hit), ORF_evidence = NONE, NIAS_FLcDNA = 002-104-A08,	Predicted snoRNA (0.995637). Box type: C/D	X
9	EPIOSAT00000046743	ID = ncRNA_15539;Name = MIR821;family = RF00885	Predicted snoRNA (0.777726). Box type: H/ACA	
9	EPIOSAT00000047088	ID = ncRNA_15228;Name = MIR821;family = RF00885	Predicted snoRNA (0.819137). Box type: H/ACA	
9	EPIOSAT00000046856	ID = ncRNA_15437;Name = MIR821;family = RF00885	Predicted snoRNA (0.999387). Box type: H/ACA	
9	EPIOSAT00000046916	ID = ncRNA_15383;Name = MIR821;family = RF00885	Predicted snoRNA (0.980549). Box type: H/ACA	
9	EPIOSAT00000017950	ID = ncRNA_41452;Name = S_pombe_snR92;family = RF01444	Predicted snoRNA (0.864714). Box type: H/ACA	
9	EPIOSAT00000046288	ID = ncRNA_15949;Name = MIR821;family = RF00885	Predicted snoRNA (0.966545). Box type: H/ACA	

9	EPIOSAT00000020621	ID = ncRNA_39049;Name = snoR74;family = RF01231	Predicted snoRNA (0.937982). Box type: H/ACA	
9	EPIOSAT00000020622	ID = ncRNA_39048;Name = snoR74;family = RF01231	Predicted snoRNA (0.973723). Box type: H/ACA	
9	EPIOSAT00000020623	ID = ncRNA_39047;Name = snoR74;family = RF01231	Predicted snoRNA (0.995949). Box type: H/ACA	
9	EPIOSAT00000045452	ID = ncRNA_16700;Name = MIR821;family = RF00885	Predicted snoRNA (0.996098). Box type: H/ACA	
9	EPIOSAT00000020405	ID = ncRNA_39243;Name = snR82;family = RF01261	Predicted snoRNA (0.998784). Box type: H/ACA	
9	OS09T0281650-01	Note = Non-protein coding transcript., Transcript_evidence = AK288483 (DDBJ, Best hit), ORF_evidence = NONE, NIAS_FLcDNA = J090040C18,	Predicted snoRNA (0.996823). Box type: H/ACA	X
9	EPIOSAT00000003488	ID = ncRNA_6489;Name = PrrF;family = RF00444	Predicted snoRNA (0.993468). Box type: H/ACA	
9	EPIOSAT00000039361	ID = ncRNA_22182;Name = MIR1122;family = RF00906	Predicted snoRNA (0.980208). Box type: H/ACA	
9	EPIOSAT00000047126	ID = ncRNA_15194;Name = MIR821;family = RF00885	Predicted snoRNA (0.776617). Box type: H/ACA	
9	EPIOSAT00000003597	ID = ncRNA_6390;Name = SNORA54;family = RF00430	Predicted snoRNA (0.988839). Box type: H/ACA	

9	EPIOSAT00000018369	ID = ncRNA_41075;Name = isrL;family = RF01395	Predicted snoRNA (0.996999). Box type: H/ACA	
9	EPIOSAT00000035689	ID = ncRNA_25488;Name = MIR1122;family = RF00906	Predicted snoRNA (0.998161). Box type: H/ACA	
9	EPIOSAT00000037554	ID = ncRNA_23809;Name = MIR1122;family = RF00906	Predicted snoRNA (0.997289). Box type: H/ACA	
9	EPIOSAT00000048003	ID = ncRNA_14404;Name = MIR811;family = RF00882	Predicted snoRNA (0.999805). Box type: H/ACA	
9	EPIOSAT00000043805	ID = ncRNA_18183;Name = MIR1122;family = RF00906	Predicted snoRNA (0.709831). Box type: H/ACA	
9	EPIOSAT00000046841	ID = ncRNA_15450;Name = MIR821;family = RF00885	Predicted snoRNA (0.726637). Box type: H/ACA	
9	EPIOSAT00000047659	ID = ncRNA_14714;Name = MIR811;family = RF00882	Predicted snoRNA (0.993314). Box type: H/ACA	
9	EPIOSAT00000035380	ID = ncRNA_25766;Name = MIR1122;family = RF00906	Predicted snoRNA (0.791958). Box type: H/ACA	
9	EPIOSAT00000045852	ID = ncRNA_16340;Name = MIR821;family = RF00885	Predicted snoRNA (0.988839). Box type: H/ACA	
9	EPIOSAT00000008791	ID = ncRNA_49697;Name = IMES-1;family = RF02034	Predicted snoRNA (0.83642). Box type: H/ACA	
9	OS09T0339733-00	Note = Non-protein coding transcript., Transcript_evidence = tplb0061g09 (Wheat FLcDNA), ORF_evidence = NONE,	Predicted snoRNA (0.856589). Box type: H/ACA	X

9	EPIOSAT00000002818	ID = ncRNA_7091;Name = mir-172;family = RF00452	Predicted snoRNA (0.962078). Box type: H/ACA	
9	EPIOSAT00000002905	ID = ncRNA_7012;Name = mir-172;family = RF00452	Predicted snoRNA (0.775972). Box type: H/ACA	
9	EPIOSAT000000037980	ID = ncRNA_23425;Name = MIR1122;family = RF00906	Predicted snoRNA (0.78747). Box type: H/ACA	
9	OS09T0371650-00	Note = Non-protein coding transcript., Transcript_evidence = CT835861 (DDBJ, Best hit), ORF_evidence = NONE,	Predicted snoRNA (0.850337). Box type: C/D	X
9	EPIOSAT000000039535	ID = ncRNA_22025;Name = MIR1122;family = RF00906	Predicted snoRNA (0.790838). Box type: H/ACA	
9	EPIOSAT000000046661	ID = ncRNA_15612;Name = MIR821;family = RF00885	Predicted snoRNA (0.970978). Box type: H/ACA	
9	EPIOSAT000000046738	ID = ncRNA_15543;Name = MIR821;family = RF00885	Predicted snoRNA (0.907269). Box type: H/ACA	
9	EPIOSAT000000029322	ID = ncRNA_31217;Name = MIR1122;family = RF00906	Predicted snoRNA (0.905905). Box type: H/ACA	
9	EPIOSAT000000031699	ID = ncRNA_29079;Name = MIR1122;family = RF00906	Predicted snoRNA (0.980224). Box type: H/ACA	
9	EPIOSAT000000028170	ID = ncRNA_32254;Name = MIR1122;family = RF00906	Predicted snoRNA (0.969496). Box type: H/ACA	
9	EPIOSAT000000046364	ID = ncRNA_15880;Name = MIR821;family = RF00885	Predicted snoRNA (0.806563). Box type: H/ACA	

9	EPIOSAT00000044435	ID = ncRNA_17616;Name = MIR1122;family = RF00906	Predicted snoRNA (0.903426). Box type: H/ACA	
9	EPIOSAT00000046330	ID = ncRNA_15910;Name = MIR821;family = RF00885	Predicted snoRNA (0.98584). Box type: H/ACA	
9	EPIOSAT00000033996	ID = ncRNA_27010;Name = MIR1122;family = RF00906	Predicted snoRNA (0.937992). Box type: H/ACA	
9	EPIOSAT00000032480	ID = ncRNA_28376;Name = MIR1122;family = RF00906	Predicted snoRNA (0.776138). Box type: H/ACA	
9	OS09T0411975-00	Note = Non-protein coding transcript., Transcript_evidence = FP098967 (DDBJ), ORF_evidence = NONE,	Predicted snoRNA (0.999693). Box type: C/D	X
9	EPIOSAT00000004533	ID = ncRNA_5548;Name = snoZ267;family = RF00344	Predicted snoRNA (0.783874). Box type: C/D	
9	EPIOSAT00000024531	ID = ncRNA_3553;Name = SNORD34;family = RF00147	Predicted snoRNA (0.76304). Box type: C/D	
9	EPIOSAT00000000110	ID = ncRNA_9529;Name = SNORD70;family = RF00575	Predicted snoRNA (0.999693). Box type: C/D	
9	EPIOSAT00000004216	ID = ncRNA_5833;Name = snoR11;family = RF00349	Predicted snoRNA (0.997052). Box type: C/D	
9	EPIOSAT00000018135	ID = ncRNA_41286;Name = snoR117;family = RF01423	Predicted snoRNA (0.986016). Box type: C/D	
9	EPIOSAT00000004133	ID = ncRNA_5908;Name = snoR44_J54;family = RF00357	Predicted snoRNA (0.997114). Box type: C/D	

9	EPIOSAT00000041060	ID = ncRNA_20653;Name = MIR1122;family = RF00906	Predicted snoRNA (0.709508). Box type: H/ACA	
9	EPIOSAT00000037418	ID = ncRNA_23931;Name = MIR1122;family = RF00906	Predicted snoRNA (0.729357). Box type: H/ACA	
9	EPIOSAT00000037544	ID = ncRNA_23818;Name = MIR1122;family = RF00906	Predicted snoRNA (0.789769). Box type: H/ACA	
9	EPIOSAT00000045984	ID = ncRNA_16221;Name = MIR821;family = RF00885	Predicted snoRNA (0.874701). Box type: H/ACA	
9	EPIOSAT00000035730	ID = ncRNA_25450;Name = MIR1122;family = RF00906	Predicted snoRNA (0.874701). Box type: H/ACA	
9	EPIOSAT00000046508	ID = ncRNA_15750;Name = MIR821;family = RF00885	Predicted snoRNA (0.925628). Box type: H/ACA	
9	EPIOSAT00000044164	ID = ncRNA_17860;Name = MIR1122;family = RF00906	Predicted snoRNA (0.954729). Box type: C/D	
9	EPIOSAT00000032051	ID = ncRNA_28762;Name = MIR1122;family = RF00906	Predicted snoRNA (0.856064). Box type: H/ACA	
9	OS09T0469600-01	Note = Non-protein coding transcript., Transcript_evidence = AK058776 (DDBJ, Best hit), ORF_evidence = NONE, NIAS_FLcDNA = 001-002-B02,	Predicted snoRNA (0.99527). Box type: C/D	X
9	EPIOSAT00000041369	ID = ncRNA_20375;Name = MIR1122;family = RF00906	Predicted snoRNA (0.748396). Box type: H/ACA	

9	OS09T0476700-01	Note = Non-protein coding transcript., Transcript_evidence = AK063288 (DDBJ, Best hit), ORF_evidence = NONE, NIAS_FLcDNA = 001-113-D12,	Predicted snoRNA (0.992418). Box type: C/D	X
9	EPIOSAT00000013865	ID = ncRNA_45129;Name = ceN59;family = RF01644	Predicted snoRNA (0.987695). Box type: H/ACA	
9	OS09T0492733-00	Note = Non-protein coding transcript., Transcript_evidence = BT019297 (DDBJ), ORF_evidence = NONE,	Predicted snoRNA (0.867493). Box type: C/D	X
9	EPIOSAT00000020490	ID = ncRNA_39167;Name = snR46;family = RF01253	Predicted snoRNA (0.978916). Box type: H/ACA	
9	EPIOSAT00000052466	ID = ncRNA_10388;Name = MIR169_2;family = RF00645	Predicted snoRNA (0.896746). Box type: C/D	
9	OS09T0528750-00	Note = Non-protein coding transcript., Transcript_evidence = CT835864 (DDBJ, Best hit), ORF_evidence = NONE,	Predicted snoRNA (0.923756). Box type: H/ACA	X
9	OS09T0534650-00	Note = Non-protein coding transcript., Transcript_evidence = BT042525 (DDBJ), ORF_evidence = NONE,	Predicted snoRNA (0.94827). Box type: H/ACA	X
9	EPIOSAT00000030790	ID = ncRNA_29898;Name = MIR1122;family = RF00906	Predicted snoRNA (0.951724). Box type: H/ACA	

9	EPIOSAT00000045922	ID = ncRNA_16278;Name = MIR821;family = RF00885	Predicted snoRNA (0.723004). Box type: H/ACA	
9	EPIOSAT00000042517	ID = ncRNA_19342;Name = MIR1122;family = RF00906	Predicted snoRNA (0.939135). Box type: H/ACA	
9	OS09T0557250-00	Note = Non-protein coding transcript., Transcript_evidence = FP095467 (DDBJ), ORF_evidence = NONE,	Predicted snoRNA (0.986344). Box type: C/D	X
9	EPIOSAT00000037690	ID = ncRNA_23687;Name = MIR1122;family = RF00906	Predicted snoRNA (0.726029). Box type: H/ACA	
9	EPIOSAT00000033776	ID = ncRNA_27209;Name = MIR1122;family = RF00906	Predicted snoRNA (0.866927). Box type: H/ACA	
9	OS09T0564450-01	Note = Non-protein coding transcript., Transcript_evidence = AK288219 (DDBJ, Best hit), ORF_evidence = NONE, NIAS_FLcDNA = J090011I18,	Predicted snoRNA (0.819381). Box type: H/ACA	X
9	EPIOSAT00000031705	ID = ncRNA_29073;Name = MIR1122;family = RF00906	Predicted snoRNA (0.942792). Box type: H/ACA	
9	EPIOSAT00000004650	ID = ncRNA_5442;Name = snoZ266;family = RF00332	Predicted snoRNA (0.980712). Box type: C/D	
9	EPIOSAT00000004649	ID = ncRNA_5443;Name = snoZ266;family = RF00332	Predicted snoRNA (0.99769). Box type: C/D	

9	OS09T0572950-00	Note = Non-protein coding transcript., Transcript_evidence = tplb0034e16 (Wheat FLcDNA), ORF_evidence = NONE,	Predicted snoRNA (0.959903). Box type: C/D	X
10	EPIOSAT00000036140	ID = ncRNA_25081;Name = MIR1122;family = RF00906	Predicted snoRNA (0.778532). Box type: H/ACA	
10	OS10T0105750-01	Note = Non-protein coding transcript., Transcript_evidence = AK243012 (DDBJ, Best hit), ORF_evidence = NONE, NIAS_FLcDNA = J090098A15,	Predicted snoRNA (0.721368). Box type: H/ACA	X
10	EPIOSAT00000042547	ID = ncRNA_19315;Name = MIR1122;family = RF00906	Predicted snoRNA (0.963823). Box type: H/ACA	
10	OS10T0111550-00	Note = Non-protein coding transcript., Transcript_evidence = tplb0044f04 (Wheat FLcDNA), ORF_evidence = NONE,	Predicted snoRNA (0.774574). Box type: H/ACA	X
10	EPIOSAT00000045404	ID = ncRNA_16744;Name = MIR821;family = RF00885	Predicted snoRNA (0.938825). Box type: H/ACA	
10	OS10T0111850-00	Note = Non-protein coding transcript., Transcript_evidence = tplb0044f04 (Wheat FLcDNA), ORF_evidence = NONE,	Predicted snoRNA (0.959548). Box type: H/ACA	X

10	OS10T0112850-00	Note = Non-protein coding transcript., Transcript_evidence = tplb0032f19 (Wheat FLcDNA), ORF_evidence = NONE,	Predicted snoRNA (0.856297). Box type: C/D	X
10	OS10T0114850-00	Note = Non-protein coding transcript., Transcript_evidence = CT837943 (DDBJ, Best hit), ORF_evidence = NONE,	Predicted snoRNA (0.976638). Box type: C/D	X
10	EPIOSAT00000047040	ID = ncRNA_15271;Name = MIR821;family = RF00885	Predicted snoRNA (0.913887). Box type: H/ACA	
10	EPIOSAT00000027354	ID = ncRNA_3299;Name = IS102;family = RF00124	Predicted snoRNA (0.965103). Box type: H/ACA	
10	EPIOSAT00000012141	ID = ncRNA_46681;Name = SprD;family = RF01828	Predicted snoRNA (0.814297). Box type: H/ACA	
10	EPIOSAT00000040958	ID = ncRNA_20745;Name = MIR1122;family = RF00906	Predicted snoRNA (0.927454). Box type: H/ACA	
10	EPIOSAT00000045067	ID = ncRNA_17047;Name = MIR807;family = RF00886	Predicted snoRNA (0.902729). Box type: H/ACA	
10	EPIOSAT00000033528	ID = ncRNA_27432;Name = MIR1122;family = RF00906	Predicted snoRNA (0.727005). Box type: H/ACA	
10	EPIOSAT00000020489	ID = ncRNA_39168;Name = snR46;family = RF01253	Predicted snoRNA (0.720208). Box type: H/ACA	

10	OS10T0162848-01	Note = Non-protein coding transcript., Transcript_evidence = AK058701 (DDBJ, Best hit), ORF_evidence = NONE, NIAS_FLcDNA = 001-019-C04,	Predicted snoRNA (0.953274). Box type: H/ACA	X
10	OS10T0162852-01	Note = Non-protein coding transcript., Transcript_evidence = AK058701 (DDBJ, Best hit), ORF_evidence = NONE, NIAS_FLcDNA = 001-019-C04,	Predicted snoRNA (0.953274). Box type: H/ACA	X
10	EPIOSAT00000034897	ID = ncRNA_2620;Name = SNORA74;family = RF00090	Predicted snoRNA (0.857753). Box type: H/ACA	
10	EPIOSAT00000047213	ID = ncRNA_15115;Name = MIR821;family = RF00885	Predicted snoRNA (0.973799). Box type: H/ACA	
10	EPIOSAT00000046615	ID = ncRNA_15654;Name = MIR821;family = RF00885	Predicted snoRNA (0.971417). Box type: H/ACA	
10	EPIOSAT00000047001	ID = ncRNA_15306;Name = MIR821;family = RF00885	Predicted snoRNA (0.999948). Box type: H/ACA	
10	EPIOSAT00000047068	ID = ncRNA_15246;Name = MIR821;family = RF00885	Predicted snoRNA (0.918873). Box type: H/ACA	
10	EPIOSAT00000045776	ID = ncRNA_16409;Name = MIR821;family = RF00885	Predicted snoRNA (0.884614). Box type: H/ACA	
10	EPIOSAT00000047010	ID = ncRNA_15299;Name = MIR821;family = RF00885	Predicted snoRNA (0.960361). Box type: H/ACA	

10	EPIOSAT00000047228	ID = ncRNA_15101;Name = MIR821;family = RF00885	Predicted snoRNA (0.851213). Box type: H/ACA	
10	EPIOSAT00000047838	ID = ncRNA_14553;Name = MIR811;family = RF00882	Predicted snoRNA (0.937352). Box type: H/ACA	
10	EPIOSAT00000026871	ID = ncRNA_33423;Name = MIR530;family = RF01005	Predicted snoRNA (0.962517). Box type: H/ACA	
10	EPIOSAT00000002160	ID = ncRNA_7684;Name = mir-172;family = RF00452	Predicted snoRNA (0.988576). Box type: H/ACA	
10	EPIOSAT00000020470	ID = ncRNA_39185;Name = snR46;family = RF01253	Predicted snoRNA (0.997781). Box type: H/ACA	
10	EPIOSAT00000041289	ID = ncRNA_20447;Name = MIR1122;family = RF00906	Predicted snoRNA (0.923652). Box type: H/ACA	
10	EPIOSAT00000039257	ID = ncRNA_22276;Name = MIR1122;family = RF00906	Predicted snoRNA (0.855012). Box type: H/ACA	
10	OS10T0320300-00	Note = Non-protein coding transcript., Transcript_evidence = BT069649 (DDBJ), ORF_evidence = NONE,	Predicted snoRNA (0.996936). Box type: C/D	X
10	EPIOSAT00000046833	ID = ncRNA_15458;Name = MIR821;family = RF00885	Predicted snoRNA (0.772163). Box type: H/ACA	
10	EPIOSAT00000036841	ID = ncRNA_24450;Name = MIR1122;family = RF00906	Predicted snoRNA (0.844476). Box type: H/ACA	
10	EPIOSAT00000047107	ID = ncRNA_15210;Name = MIR821;family = RF00885	Predicted snoRNA (0.80875). Box type: H/ACA	

10	EPIOSAT00000046895	ID = ncRNA_15401;Name = MIR821;family = RF00885	Predicted snoRNA (0.869518). Box type: H/ACA	
10	EPIOSAT00000046808	ID = ncRNA_15480;Name = MIR821;family = RF00885	Predicted snoRNA (0.992908). Box type: H/ACA	
10	EPIOSAT00000021420	ID = ncRNA_3833;Name = SSU_rRNA_bacteria;family = RF00177	Predicted snoRNA (0.818948). Box type: C/D	
10	EPIOSAT00000009948	ID = ncRNA_48655;Name = SSU_rRNA_archaea;family = RF01959	Predicted snoRNA (0.818948). Box type: C/D	
10	EPIOSAT00000009892	ID = ncRNA_48705;Name = SSU_rRNA_eukarya;family = RF01960	Predicted snoRNA (0.818948). Box type: C/D	
10	EPIOSAT00000021431	ID = ncRNA_3832;Name = SSU_rRNA_bacteria;family = RF00177	Predicted snoRNA (0.883141). Box type: C/D	
10	EPIOSAT00000009893	ID = ncRNA_48704;Name = SSU_rRNA_eukarya;family = RF01960	Predicted snoRNA (0.883141). Box type: C/D	
10	EPIOSAT00000009949	ID = ncRNA_48654;Name = SSU_rRNA_archaea;family = RF01959	Predicted snoRNA (0.883141). Box type: C/D	
10	EPIOSAT00000040113	ID = ncRNA_21505;Name = MIR1122;family = RF00906	Predicted snoRNA (0.965188). Box type: H/ACA	
10	EPIOSAT00000046774	ID = ncRNA_15510;Name = MIR821;family = RF00885	Predicted snoRNA (0.918078). Box type: H/ACA	

10	EPIOSAT00000045463	ID = ncRNA_16691;Name = MIR821;family = RF00885	Predicted snoRNA (0.94769). Box type: H/ACA	
10	EPIOSAT00000046093	ID = ncRNA_16123;Name = MIR821;family = RF00885	Predicted snoRNA (0.964808). Box type: H/ACA	
10	EPIOSAT00000043964	ID = ncRNA_1804;Name = SNORD96;family = RF00055	Predicted snoRNA (0.984815). Box type: C/D	
10	EPIOSAT00000043953	ID = ncRNA_1805;Name = SNORD96;family = RF00055	Predicted snoRNA (0.996502). Box type: C/D	
10	EPIOSAT00000039995	ID = ncRNA_21611;Name = MIR1122;family = RF00906	Predicted snoRNA (0.995714). Box type: H/ACA	
10	EPIOSAT00000038638	ID = ncRNA_22833;Name = MIR1122;family = RF00906	Predicted snoRNA (0.959628). Box type: H/ACA	
10	EPIOSAT00000046518	ID = ncRNA_15741;Name = MIR821;family = RF00885	Predicted snoRNA (0.81669). Box type: H/ACA	
10	EPIOSAT00000032698	ID = ncRNA_2818;Name = snoR71;family = RF00097	Predicted snoRNA (0.938368). Box type: C/D	
10	EPIOSAT00000012692	ID = ncRNA_46185;Name = RsaOG;family = RF01775	Predicted snoRNA (0.7311). Box type: H/ACA	
10	EPIOSAT00000006997	ID = ncRNA_5131;Name = snoZ163;family = RF00317	Predicted snoRNA (0.899786). Box type: C/D	
10	EPIOSAT00000006986	ID = ncRNA_5132;Name = snoZ163;family = RF00317	Predicted snoRNA (0.992895). Box type: C/D	
10	EPIOSAT00000007642	ID = ncRNA_5073;Name = snoZ173;family = RF00313	Predicted snoRNA (0.992279). Box type: C/D	

10	EPIOSAT00000023209	ID = ncRNA_3672;Name = snoZ168;family = RF00159	Predicted snoRNA (0.984207). Box type: C/D	
10	EPIOSAT00000007008	ID = ncRNA_5130;Name = snoZ163;family = RF00317	Predicted snoRNA (0.99817). Box type: C/D	
10	EPIOSAT00000022158	ID = ncRNA_37666;Name = sn2903;family = RF01194	Predicted snoRNA (0.993889). Box type: C/D	
10	EPIOSAT00000020431	ID = ncRNA_3922;Name = SNORD113;family = RF00181	Predicted snoRNA (0.931806). Box type: C/D	
10	EPIOSAT00000006809	ID = ncRNA_5148;Name = snoZ175;family = RF00318	Predicted snoRNA (0.919186). Box type: C/D	
10	EPIOSAT00000023243	ID = ncRNA_3669;Name = snoZ168;family = RF00159	Predicted snoRNA (0.991204). Box type: C/D	
10	EPIOSAT00000023220	ID = ncRNA_3671;Name = snoZ168;family = RF00159	Predicted snoRNA (0.990844). Box type: C/D	
10	EPIOSAT00000006798	ID = ncRNA_5149;Name = snoZ175;family = RF00318	Predicted snoRNA (0.952284). Box type: C/D	
10	EPIOSAT00000020131	ID = ncRNA_39490;Name = snoU54;family = RF01277	Predicted snoRNA (0.864127). Box type: C/D	
10	EPIOSAT00000023231	ID = ncRNA_3670;Name = snoZ168;family = RF00159	Predicted snoRNA (0.996427). Box type: C/D	
10	EPIOSAT00000007498	ID = ncRNA_5086;Name = snoZ182;family = RF00314	Predicted snoRNA (0.993216). Box type: C/D	
10	EPIOSAT00000004150	ID = ncRNA_5893;Name = snoR32_R81;family = RF00356	Predicted snoRNA (0.9927). Box type: C/D	

10	EPIOSAT00000022556	ID = ncRNA_37307;Name = snoU83;family = RF01179	Predicted snoRNA (0.980654). Box type: C/D	
10	EPIOSAT00000006886	ID = ncRNA_5141;Name = snoZ163;family = RF00317	Predicted snoRNA (0.994515). Box type: C/D	
10	EPIOSAT00000012276	ID = ncRNA_4656;Name = SNORD60;family = RF00271	Predicted snoRNA (0.994464). Box type: C/D	
10	EPIOSAT00000009354	ID = ncRNA_4919;Name = snoR16;family = RF00296	Predicted snoRNA (0.996309). Box type: C/D	
10	EPIOSAT00000010542	ID = ncRNA_4812;Name = SCARNA18;family = RF00283	Predicted snoRNA (0.996036). Box type: C/D	
10	EPIOSAT00000018124	ID = ncRNA_41296;Name = snoR117;family = RF01423	Predicted snoRNA (0.995978). Box type: C/D	
10	EPIOSAT00000007509	ID = ncRNA_5085;Name = snoZ182;family = RF00314	Predicted snoRNA (0.990887). Box type: C/D	
10	EPIOSAT00000006587	ID = ncRNA_5168;Name = snoZ185;family = RF00320	Predicted snoRNA (0.794563). Box type: C/D	
10	EPIOSAT00000007942	ID = ncRNA_5046;Name = snoZ188;family = RF00311	Predicted snoRNA (0.983652). Box type: C/D	
10	EPIOSAT00000007931	ID = ncRNA_5047;Name = snoZ188;family = RF00311	Predicted snoRNA (0.995768). Box type: C/D	
10	EPIOSAT00000032081	ID = ncRNA_28735;Name = MIR1122;family = RF00906	Predicted snoRNA (0.838756). Box type: H/ACA	
10	EPIOSAT00000043752	ID = ncRNA_18230;Name = MIR1122;family = RF00906	Predicted snoRNA (0.929185). Box type: H/ACA	

10	EPIOSAT00000014669	ID = ncRNA_44405;Name = RUF4;family = RF01582	Predicted snoRNA (0.999971). Box type: H/ACA	
10	EPIOSAT00000014700	ID = ncRNA_44378;Name = RUF3;family = RF01580	Predicted snoRNA (0.770401). Box type: H/ACA	
10	EPIOSAT00000013893	ID = ncRNA_45103;Name = ceN51;family = RF01640	Predicted snoRNA (0.999746). Box type: H/ACA	
10	EPIOSAT00000036463	ID = ncRNA_24791;Name = MIR1122;family = RF00906	Predicted snoRNA (0.829083). Box type: H/ACA	
10	EPIOSAT00000044588	ID = ncRNA_17479;Name = MIR1122;family = RF00906	Predicted snoRNA (0.816312). Box type: H/ACA	
10	EPIOSAT00000052494	ID = ncRNA_10362;Name = MIR171_1;family = RF00643	Predicted snoRNA (0.889804). Box type: H/ACA	
10	EPIOSAT00000038252	ID = ncRNA_23180;Name = MIR1122;family = RF00906	Predicted snoRNA (0.920221). Box type: H/ACA	
10	EPIOSAT00000046360	ID = ncRNA_15884;Name = MIR821;family = RF00885	Predicted snoRNA (0.903981). Box type: H/ACA	
10	EPIOSAT00000036333	ID = ncRNA_24908;Name = MIR1122;family = RF00906	Predicted snoRNA (0.85668). Box type: H/ACA	
10	OS10T0440050-00	Note = Non-protein coding transcript., Transcript_evidence = BT009415 (DDBJ), ORF_evidence = NONE,	Predicted snoRNA (0.786264). Box type: C/D	X
10	EPIOSAT00000043980	ID = ncRNA_18025;Name = MIR1122;family = RF00906	Predicted snoRNA (0.85). Box type: H/ACA	

10	EPIOSAT00000044310	ID = ncRNA_17729;Name = MIR1122;family = RF00906	Predicted snoRNA (0.79). Box type: H/ACA	
10	EPIOSAT00000028549	ID = ncRNA_31913;Name = MIR1122;family = RF00906	Predicted snoRNA (0.99). Box type: H/ACA	
10	EPIOSAT00000046706	ID = ncRNA_15572;Name = MIR821;family = RF00885	Predicted snoRNA (0.99). Box type: H/ACA	
10	EPIOSAT00000042197	ID = ncRNA_19630;Name = MIR1122;family = RF00906	Predicted snoRNA (0.92). Box type: H/ACA	
10	EPIOSAT00000036335	ID = ncRNA_24906;Name = MIR1122;family = RF00906	Predicted snoRNA (0.74). Box type: H/ACA	
10	EPIOSAT00000046630	ID = ncRNA_15640;Name = MIR821;family = RF00885	Predicted snoRNA (0.98). Box type: H/ACA	
10	EPIOSAT00000020049	ID = ncRNA_39564;Name = snoR27;family = RF01287	Predicted snoRNA (1.0). Box type: C/D	
10	EPIOSAT00000031301	ID = ncRNA_29437;Name = MIR1122;family = RF00906	Predicted snoRNA (0.82). Box type: H/ACA	
10	EPIOSAT00000035310	ID = ncRNA_25829;Name = MIR1122;family = RF00906	Predicted snoRNA (0.86). Box type: H/ACA	
10	EPIOSAT00000021487	ID = ncRNA_3827;Name SSU_rRNA_bacteria;family = RF00177	Predicted snoRNA (0.82). Box type: C/D	
10	EPIOSAT00000009897	ID = ncRNA_48700;Name SSU_rRNA_eukarya;family = RF01960	Predicted snoRNA (0.82). Box type: C/D	

10	EPIOSAT00000009953	ID = ncRNA_48650;Name = SSU_rRNA_archaea;family = RF01959	Predicted snoRNA (0.82). Box type: C/D	
10	EPIOSAT00000030201	ID = ncRNA_30426;Name = MIR1122;family = RF00906	Predicted snoRNA (0.96). Box type: H/ACA	
10	EPIOSAT00000038780	ID = ncRNA_22705;Name = MIR1122;family = RF00906	Predicted snoRNA (0.75). Box type: H/ACA	
10	EPIOSAT00000046078	ID = ncRNA_16137;Name = MIR821;family = RF00885	Predicted snoRNA (1.0). Box type: H/ACA	
10	OS10T0539350-01	Note = Non-protein coding transcript., Transcript_evidence = AK242144 (DDBJ, Best hit), ORF_evidence = NONE, NIAS_FLcDNA = J075150K13,	Predicted snoRNA (0.76). Box type: H/ACA	X
10	OS10T0554050-00	Note = Non-protein coding transcript., Transcript_evidence = tplb0022114 (Wheat FLcDNA), ORF_evidence = NONE,	Predicted snoRNA (0.99). Box type: C/D	X
10	EPIOSAT00000048011	ID = ncRNA_14398;Name = MIR811;family = RF00882	Predicted snoRNA (0.8). Box type: H/ACA	
10	EPIOSAT00000002798	ID = ncRNA_7109;Name = mir-172;family = RF00452	Predicted snoRNA (0.97). Box type: H/ACA	
11	EPIOSAT00000046486	ID = ncRNA_15770;Name = MIR821;family = RF00885	Predicted snoRNA (1.0). Box type: H/ACA	

11	EPIOSAT00000025978	ID = ncRNA_34227;Name = mir-598;family = RF01059	Predicted snoRNA (0.9). Box type: C/D	
11	EPIOSAT00000008510	ID = ncRNA_4995;Name = snoZ248;family = RF00305	Predicted snoRNA (0.87). Box type: C/D	
11	EPIOSAT00000035728	ID = ncRNA_25452;Name = MIR1122;family = RF00906	Predicted snoRNA (0.79). Box type: H/ACA	
11	EPIOSAT00000041384	ID = ncRNA_20361;Name = MIR1122;family = RF00906	Predicted snoRNA (0.76). Box type: H/ACA	
11	EPIOSAT00000041383	ID = ncRNA_20362;Name = MIR1122;family = RF00906	Predicted snoRNA (0.76). Box type: H/ACA	
11	EPIOSAT00000020055	ID = ncRNA_39559;Name = snoR26;family = RF01286	Predicted snoRNA (1.0). Box type: C/D	
11	EPIOSAT00000020056	ID = ncRNA_39558;Name = snoR26;family = RF01286	Predicted snoRNA (1.0). Box type: C/D	
11	OS11T0152600-02	Note = Non-protein coding transcript., Transcript_evidence = AK063047 (DDBJ, Best hit), ORF_evidence = NONE, NIAS_FLcDNA = 001-110-E01,	Predicted snoRNA (0.83). Box type: C/D	X
11	EPIOSAT00000020455	ID = ncRNA_39199;Name = snR35;family = RF01255	Predicted snoRNA (1.0). Box type: H/ACA	
11	EPIOSAT00000033181	ID = ncRNA_27745;Name = MIR1122;family = RF00906	Predicted snoRNA (0.74). Box type: H/ACA	
11	EPIOSAT00000046536	ID = ncRNA_15725;Name = MIR821;family = RF00885	Predicted snoRNA (0.7). Box type: H/ACA	

11	EPIOSAT00000045543	ID = ncRNA_16619;Name = MIR821;family = RF00885	Predicted snoRNA (0.76). Box type: H/ACA	
11	EPIOSAT00000008361	ID = ncRNA_50082;Name = STnc300;family = RF02070	Predicted snoRNA (0.94). Box type: H/ACA	
11	EPIOSAT00000027031	ID = ncRNA_3328;Name = IS102;family = RF00124	Predicted snoRNA (0.91). Box type: H/ACA	
11	EPIOSAT00000041088	ID = ncRNA_20628;Name = MIR1122;family = RF00906	Predicted snoRNA (0.73). Box type: H/ACA	
11	EPIOSAT00000034607	ID = ncRNA_26461;Name = MIR1122;family = RF00906	Predicted snoRNA (0.83). Box type: H/ACA	
11	EPIOSAT00000046282	ID = ncRNA_15954;Name = MIR821;family = RF00885	Predicted snoRNA (0.89). Box type: H/ACA	
11	EPIOSAT00000042481	ID = ncRNA_19375;Name = MIR1122;family = RF00906	Predicted snoRNA (0.9). Box type: H/ACA	
11	OS11T0173600-01	Note = Non-protein coding transcript., Transcript_evidence = AK101304 (DDBJ, Best hit), ORF_evidence = NONE, NIAS_FLcDNA = J033033M01,	Predicted snoRNA (0.97). Box type: C/D	X
11	EPIOSAT00000048169	ID = ncRNA_14255;Name = MIR811;family = RF00882	Predicted snoRNA (0.93). Box type: H/ACA	
11	EPIOSAT00000042417	ID = ncRNA_19432;Name = MIR1122;family = RF00906	Predicted snoRNA (0.73). Box type: H/ACA	
11	EPIOSAT00000006074	ID = ncRNA_52140;Name = IS009;family = RF02111	Predicted snoRNA (0.93). Box type: H/ACA	

11	EPIOSAT00000033567	ID = ncRNA_27398;Name = MIR1122;family = RF00906	Predicted snoRNA (0.96). Box type: H/ACA	
11	EPIOSAT00000002454	ID = ncRNA_7419;Name = mir-172;family = RF00452	Predicted snoRNA (0.99). Box type: H/ACA	
11	EPIOSAT00000044471	ID = ncRNA_17584;Name = MIR1122;family = RF00906	Predicted snoRNA (0.73). Box type: H/ACA	
11	EPIOSAT00000044484	ID = ncRNA_17572;Name = MIR1122;family = RF00906	Predicted snoRNA (0.99). Box type: H/ACA	
11	EPIOSAT00000008392	ID = ncRNA_50054;Name = STnc70;family = RF02069	Predicted snoRNA (1.0). Box type: H/ACA	
11	EPIOSAT00000008632	ID = ncRNA_4984;Name = snoZ279_R105_R108;family = RF00304	Predicted snoRNA (1.0). Box type: C/D	
11	EPIOSAT00000019911	ID = ncRNA_39689;Name = SCARNA7;family = RF01295	Predicted snoRNA (0.95). Box type: H/ACA	
11	EPIOSAT00000006620	ID = ncRNA_5165;Name = SNORA23;family = RF00319	Predicted snoRNA (0.94). Box type: H/ACA	
11	OS11T0221250-01	Note = Non-protein coding transcript., Transcript_evidence = AK288921 (DDBJ, Best hit), ORF_evidence = NONE, NIAS_FLcDNA = J090081M10,	Predicted snoRNA (0.94). Box type: H/ACA	X
11	EPIOSAT00000047973	ID = ncRNA_14431;Name = MIR811;family = RF00882	Predicted snoRNA (0.99). Box type: H/ACA	

11	EPIOSAT00000005277	ID = ncRNA_52859;Name = TP73-AS1;family = RF02197	Predicted snoRNA (0.74). Box type: H/ACA	
11	EPIOSAT00000012875	ID = ncRNA_4602;Name = SNORA69;family = RF00265	Predicted snoRNA (0.99). Box type: H/ACA	
11	EPIOSAT00000042092	ID = ncRNA_19725;Name = MIR1122;family = RF00906	Predicted snoRNA (0.82). Box type: H/ACA	
11	EPIOSAT00000038217	ID = ncRNA_23211;Name = MIR1122;family = RF00906	Predicted snoRNA (0.77). Box type: H/ACA	
11	EPIOSAT00000046821	ID = ncRNA_15469;Name = MIR821;family = RF00885	Predicted snoRNA (0.88). Box type: H/ACA	
11	EPIOSAT00000046277	ID = ncRNA_15959;Name = MIR821;family = RF00885	Predicted snoRNA (0.93). Box type: H/ACA	
11	EPIOSAT00000047156	ID = ncRNA_15167;Name = MIR821;family = RF00885	Predicted snoRNA (0.94). Box type: H/ACA	
11	EPIOSAT00000047194	ID = ncRNA_15132;Name = MIR821;family = RF00885	Predicted snoRNA (1.0). Box type: H/ACA	
11	EPIOSAT00000047094	ID = ncRNA_15222;Name = MIR821;family = RF00885	Predicted snoRNA (0.98). Box type: H/ACA	
11	EPIOSAT00000036871	ID = ncRNA_24423;Name = MIR1122;family = RF00906	Predicted snoRNA (0.96). Box type: H/ACA	
11	EPIOSAT00000008355	ID = ncRNA_50088;Name = STnc300;family = RF02070	Predicted snoRNA (0.93). Box type: H/ACA	
11	EPIOSAT00000047123	ID = ncRNA_15197;Name = MIR821;family = RF00885	Predicted snoRNA (0.94). Box type: H/ACA	

11	EPIOSAT00000047056	ID = ncRNA_15257;Name = MIR821;family = RF00885	Predicted snoRNA (0.99). Box type: H/ACA	
11	EPIOSAT00000047076	ID = ncRNA_15239;Name = MIR821;family = RF00885	Predicted snoRNA (0.89). Box type: H/ACA	
11	EPIOSAT00000036901	ID = ncRNA_24397;Name = MIR1122;family = RF00906	Predicted snoRNA (0.73). Box type: H/ACA	
11	EPIOSAT00000046955	ID = ncRNA_15348;Name = MIR821;family = RF00885	Predicted snoRNA (0.87). Box type: H/ACA	
11	EPIOSAT00000044756	ID = ncRNA_17327;Name = MIR1122;family = RF00906	Predicted snoRNA (0.98). Box type: H/ACA	
11	EPIOSAT00000044759	ID = ncRNA_17324;Name = MIR1122;family = RF00906	Predicted snoRNA (0.99). Box type: H/ACA	
11	EPIOSAT00000034375	ID = ncRNA_26670;Name = MIR1122;family = RF00906	Predicted snoRNA (0.99). Box type: H/ACA	
11	EPIOSAT00000036906	ID = ncRNA_24392;Name = MIR1122;family = RF00906	Predicted snoRNA (1.0). Box type: H/ACA	
11	EPIOSAT00000047054	ID = ncRNA_15259;Name = MIR821;family = RF00885	Predicted snoRNA (0.85). Box type: H/ACA	
11	EPIOSAT00000046048	ID = ncRNA_16164;Name = MIR821;family = RF00885	Predicted snoRNA (0.73). Box type: H/ACA	
11	EPIOSAT00000042268	ID = ncRNA_19567;Name = MIR1122;family = RF00906	Predicted snoRNA (0.75). Box type: H/ACA	
11	EPIOSAT00000046154	ID = ncRNA_16069;Name = MIR821;family = RF00885	Predicted snoRNA (0.91). Box type: H/ACA	

11	EPIOSAT00000038917	ID = ncRNA_22582;Name = MIR1122;family = RF00906	Predicted snoRNA (0.84). Box type: H/ACA	
11	EPIOSAT00000046802	ID = ncRNA_15486;Name = MIR821;family = RF00885	Predicted snoRNA (0.97). Box type: H/ACA	
11	EPIOSAT00000036859	ID = ncRNA_24434;Name = MIR1122;family = RF00906	Predicted snoRNA (0.88). Box type: H/ACA	
11	OS11T0432650-00	Note = Non-protein coding transcript., Transcript_evidence = BT019228 (DDBJ), ORF_evidence = NONE,	Predicted snoRNA (0.7). Box type: H/ACA	X
11	EPIOSAT00000027017	ID = ncRNA_33292;Name = MIR530;family = RF01005	Predicted snoRNA (1.0). Box type: H/ACA	
11	EPIOSAT00000008354	ID = ncRNA_50089;Name = STnc300;family = RF02070	Predicted snoRNA (0.93). Box type: H/ACA	
11	OS11T0438500-01	Note = Non-protein coding transcript., Transcript_evidence = AK241803 (DDBJ, Best hit), ORF_evidence = NONE, NIAS_FLcDNA = J065208O15,	Predicted snoRNA (0.93). Box type: H/ACA	X
11	EPIOSAT00000046681	ID = ncRNA_15595;Name = MIR821;family = RF00885	Predicted snoRNA (0.93). Box type: H/ACA	
11	EPIOSAT00000046672	ID = ncRNA_15602;Name = MIR821;family = RF00885	Predicted snoRNA (0.960394). Box type: H/ACA	
11	EPIOSAT00000046684	ID = ncRNA_15592;Name = MIR821;family = RF00885	Predicted snoRNA (0.946417). Box type: H/ACA	

11	EPIOSAT00000008998	ID = ncRNA_4951;Name = snoZ221_snoR21b;family = RF00300	Predicted snoRNA (0.791422). Box type: C/D	
11	EPIOSAT000000025642	ID = ncRNA_3453;Name = SNORA72;family = RF00139	Predicted snoRNA (0.989147). Box type: H/ACA	
11	EPIOSAT000000039388	ID = ncRNA_22158;Name = MIR1122;family = RF00906	Predicted snoRNA (0.750264). Box type: H/ACA	
11	EPIOSAT000000010033	ID = ncRNA_48579;Name = SOX2OT_exon1;family = RF01951	Predicted snoRNA (0.890578). Box type: H/ACA	
11	EPIOSAT000000014468	ID = ncRNA_44587;Name = plasmodium_snoR11;family = RF01589	Predicted snoRNA (0.999777). Box type: H/ACA	
11	EPIOSAT000000042217	ID = ncRNA_19612;Name = MIR1122;family = RF00906	Predicted snoRNA (0.934359). Box type: H/ACA	
11	EPIOSAT000000042126	ID = ncRNA_19695;Name = MIR1122;family = RF00906	Predicted snoRNA (0.994583). Box type: H/ACA	
11	EPIOSAT000000014187	ID = ncRNA_4484;Name = Alfamo_CPB;family = RF00252	Predicted snoRNA (0.7537). Box type: H/ACA	
11	EPIOSAT000000044655	ID = ncRNA_17418;Name = MIR1122;family = RF00906	Predicted snoRNA (0.992586). Box type: H/ACA	
11	OS11T0490850-01	Note = Non-protein coding transcript., Transcript_evidence = AK288628 (DDBJ, Best hit), ORF_evidence = NONE, NIAS_FLcDNA = J090054O04,	Predicted snoRNA (0.956602). Box type: C/D	X

11	OS11T0491850-00	Note = Non-protein coding transcript., Transcript_evidence = EU685836 (DDBJ), ORF_evidence = NONE,	Predicted snoRNA (0.751566). Box type: H/ACA	X
11	EPIOSAT00000026924	ID = ncRNA_33376;Name = MIR530;family = RF01005	Predicted snoRNA (0.999225). Box type: H/ACA	
11	EPIOSAT00000026806	ID = ncRNA_33482;Name = MIR530;family = RF01005	Predicted snoRNA (0.956207). Box type: H/ACA	
11	EPIOSAT00000043763	ID = ncRNA_18220;Name = MIR1122;family = RF00906	Predicted snoRNA (0.96455). Box type: H/ACA	
11	EPIOSAT00000046750	ID = ncRNA_15532;Name = MIR821;family = RF00885	Predicted snoRNA (0.909975). Box type: H/ACA	
11	EPIOSAT00000039470	ID = ncRNA_22084;Name = MIR1122;family = RF00906	Predicted snoRNA (0.880435). Box type: H/ACA	
11	EPIOSAT00000035444	ID = ncRNA_25708;Name = MIR1122;family = RF00906	Predicted snoRNA (0.935178). Box type: H/ACA	
11	OS11T0515700-00	Note = Non-protein coding transcript., Transcript_evidence = CT828173 (DDBJ, Best hit), ORF_evidence = NONE,	Predicted snoRNA (0.820545). Box type: H/ACA	X
11	EPIOSAT00000036903	ID = ncRNA_24395;Name = MIR1122;family = RF00906	Predicted snoRNA (0.834258). Box type: H/ACA	
11	EPIOSAT00000033297	ID = ncRNA_27640;Name = MIR1122;family = RF00906	Predicted snoRNA (0.718268). Box type: H/ACA	

11	EPIOSAT00000037023	ID = ncRNA_24287;Name = MIR1122;family = RF00906	Predicted snoRNA (0.998737). Box type: H/ACA	
11	EPIOSAT00000042282	ID = ncRNA_19554;Name = MIR1122;family = RF00906	Predicted snoRNA (0.903816). Box type: H/ACA	
11	EPIOSAT00000035901	ID = ncRNA_25297;Name = MIR1122;family = RF00906	Predicted snoRNA (0.992285). Box type: H/ACA	
11	EPIOSAT00000033593	ID = ncRNA_27374;Name = MIR1122;family = RF00906	Predicted snoRNA (0.910595). Box type: H/ACA	
11	EPIOSAT00000028323	ID = ncRNA_32116;Name = MIR1122;family = RF00906	Predicted snoRNA (0.907417). Box type: H/ACA	
11	OS11T0526900-01	Note = Non-protein coding transcript., Transcript_evidence = AK102583 (DDBJ, Best hit), ORF_evidence = NONE, NIAS_FLcDNA = J033098D23,	Predicted snoRNA (0.985295). Box type: H/ACA	X
11	EPIOSAT00000044795	ID = ncRNA_17292;Name = mir-789;family = RF00905	Predicted snoRNA (0.764562). Box type: H/ACA	
11	EPIOSAT00000042637	ID = ncRNA_19234;Name = MIR1122;family = RF00906	Predicted snoRNA (0.919909). Box type: H/ACA	
11	EPIOSAT00000042841	ID = ncRNA_19050;Name = MIR1122;family = RF00906	Predicted snoRNA (0.89938). Box type: H/ACA	
11	EPIOSAT00000046976	ID = ncRNA_15329;Name = MIR821;family = RF00885	Predicted snoRNA (0.951157). Box type: H/ACA	

11	EPIOSAT00000041118	ID = ncRNA_20600;Name = MIR1122;family = RF00906	Predicted snoRNA (0.838128). Box type: H/ACA	
11	OS11T0554000-01	Note = Non-protein coding transcript., Transcript_evidence = AK241906 (DDBJ, Best hit), ORF_evidence = NONE, NIAS_FLCdNA = J075049G22,	Predicted snoRNA (0.796773). Box type: H/ACA	X
11	EPIOSAT00000031585	ID = ncRNA_29181;Name = MIR1122;family = RF00906	Predicted snoRNA (0.709546). Box type: H/ACA	
11	EPIOSAT00000020439	ID = ncRNA_39212;Name = snR31;family = RF01257	Predicted snoRNA (0.999962). Box type: H/ACA	
11	EPIOSAT00000045586	ID = ncRNA_16580;Name = MIR821;family = RF00885	Predicted snoRNA (0.721211). Box type: H/ACA	
11	EPIOSAT00000045638	ID = ncRNA_16533;Name = MIR821;family = RF00885	Predicted snoRNA (0.945727). Box type: H/ACA	
11	EPIOSAT00000046029	ID = ncRNA_16181;Name = MIR821;family = RF00885	Predicted snoRNA (0.850442). Box type: H/ACA	
11	EPIOSAT00000036208	ID = ncRNA_2502;Name = SraG;family = RF00082	Predicted snoRNA (0.727134). Box type: H/ACA	
11	EPIOSAT00000041754	ID = ncRNA_20028;Name = MIR1122;family = RF00906	Predicted snoRNA (0.972664). Box type: H/ACA	
11	EPIOSAT00000014287	ID = ncRNA_4475;Name = Alfamo_CPB;family = RF00252	Predicted snoRNA (0.934048). Box type: H/ACA	

11	EPIOSAT00000004010	ID = ncRNA_6018;Name = sroC;family = RF00369	Predicted snoRNA (0.992506). Box type: H/ACA	
11	EPIOSAT000000032470	ID = ncRNA_28385;Name = MIR1122;family = RF00906	Predicted snoRNA (0.776392). Box type: H/ACA	
11	EPIOSAT000000035169	ID = ncRNA_25956;Name = MIR1122;family = RF00906	Predicted snoRNA (0.777753). Box type: H/ACA	
11	EPIOSAT000000046237	ID = ncRNA_15995;Name = MIR821;family = RF00885	Predicted snoRNA (0.98585). Box type: H/ACA	
11	OS11T0621500-02	Note = Non-protein coding transcript., Transcript_evidence = AK059265 (DDBJ, Best hit), ORF_evidence = NONE, NIAS_FLcDNA = 001-025-A12,	Predicted snoRNA (0.940324). Box type: C/D	X
11	EPIOSAT000000040381	ID = ncRNA_21264;Name = MIR1122;family = RF00906	Predicted snoRNA (0.717245). Box type: H/ACA	
11	EPIOSAT000000041893	ID = ncRNA_19904;Name = MIR1122;family = RF00906	Predicted snoRNA (0.996247). Box type: H/ACA	
11	EPIOSAT000000003494	ID = ncRNA_6483;Name = PrrF;family = RF00444	Predicted snoRNA (0.999744). Box type: H/ACA	
11	EPIOSAT000000045337	ID = ncRNA_16804;Name = MIR821;family = RF00885	Predicted snoRNA (0.954068). Box type: H/ACA	
11	EPIOSAT000000038883	ID = ncRNA_22612;Name = MIR1122;family = RF00906	Predicted snoRNA (0.990595). Box type: H/ACA	

11	EPIOSAT00000031461	ID = ncRNA_29293;Name = MIR1122;family = RF00906	Predicted snoRNA (0.946682). Box type: H/ACA	
11	EPIOSAT00000035140	ID = ncRNA_25982;Name = MIR1122;family = RF00906	Predicted snoRNA (0.814108). Box type: H/ACA	
11	EPIOSAT00000046888	ID = ncRNA_15408;Name = MIR821;family = RF00885	Predicted snoRNA (0.996959). Box type: H/ACA	
11	EPIOSAT00000047118	ID = ncRNA_15200;Name = MIR821;family = RF00885	Predicted snoRNA (0.830587). Box type: H/ACA	
11	EPIOSAT00000047128	ID = ncRNA_15192;Name = MIR821;family = RF00885	Predicted snoRNA (0.974892). Box type: H/ACA	
11	OS11T0634350-01	Note = Non-protein coding transcript., Transcript_evidence = AK241817 (DDBJ, Best hit), ORF_evidence = NONE, NIAS_FLcDNA = J065211J08,	Predicted snoRNA (0.996453). Box type: C/D	X
11	EPIOSAT00000003644	ID = ncRNA_6348;Name = SCARNA15;family = RF00426	Predicted snoRNA (0.999888). Box type: H/ACA	
11	EPIOSAT00000046603	ID = ncRNA_15665;Name = MIR821;family = RF00885	Predicted snoRNA (0.990726). Box type: H/ACA	
11	EPIOSAT00000004906	ID = ncRNA_53192;Name = Six3os1_5;family = RF02250	Predicted snoRNA (0.863472). Box type: H/ACA	
11	EPIOSAT00000034226	ID = ncRNA_26804;Name = MIR1122;family = RF00906	Predicted snoRNA (0.859038). Box type: H/ACA	

11	EPIOSAT00000033689	ID = ncRNA_27288;Name = MIR1122;family = RF00906	Predicted snoRNA (0.855476). Box type: H/ACA	
11	EPIOSAT00000014730	ID = ncRNA_44350;Name = RUF3;family = RF01580	Predicted snoRNA (0.998646). Box type: H/ACA	
11	EPIOSAT00000040824	ID = ncRNA_20866;Name = MIR1122;family = RF00906	Predicted snoRNA (0.829907). Box type: H/ACA	
11	EPIOSAT00000052699	ID = ncRNA_10178;Name = P15;family = RF00627	Predicted snoRNA (0.995067). Box type: H/ACA	
11	EPIOSAT00000046308	ID = ncRNA_15930;Name = MIR821;family = RF00885	Predicted snoRNA (0.899204). Box type: H/ACA	
11	EPIOSAT00000004034	ID = ncRNA_5998;Name = sroC;family = RF00369	Predicted snoRNA (0.94463). Box type: H/ACA	
11	EPIOSAT00000046679	ID = ncRNA_15597;Name = MIR821;family = RF00885	Predicted snoRNA (0.913832). Box type: H/ACA	
11	EPIOSAT00000045100	ID = ncRNA_17017;Name = MIR807;family = RF00886	Predicted snoRNA (0.872931). Box type: H/ACA	
11	EPIOSAT00000047272	ID = ncRNA_15062;Name = MIR821;family = RF00885	Predicted snoRNA (0.704679). Box type: H/ACA	
11	EPIOSAT00000041098	ID = ncRNA_20619;Name = MIR1122;family = RF00906	Predicted snoRNA (0.996542). Box type: H/ACA	
11	EPIOSAT00000045613	ID = ncRNA_16556;Name = MIR821;family = RF00885	Predicted snoRNA (0.738349). Box type: H/ACA	
11	EPIOSAT00000046439	ID = ncRNA_15812;Name = MIR821;family = RF00885	Predicted snoRNA (0.972497). Box type: H/ACA	

11	EPIOSAT00000046448	ID = ncRNA_15804;Name = MIR821;family = RF00885	Predicted snoRNA (0.996755). Box type: H/ACA	
11	EPIOSAT00000039206	ID = ncRNA_22321;Name = MIR1122;family = RF00906	Predicted snoRNA (0.931706). Box type: H/ACA	
11	EPIOSAT00000008186	ID = ncRNA_5024;Name = snosnR60_Z15;family = RF00309	Predicted snoRNA (0.998082). Box type: C/D	
11	EPIOSAT00000026509	ID = ncRNA_3375;Name = SNORD33;family = RF00133	Predicted snoRNA (0.997057). Box type: C/D	
11	EPIOSAT00000026420	ID = ncRNA_3383;Name = snoZ196;family = RF00134	Predicted snoRNA (0.99734). Box type: C/D	
11	EPIOSAT00000020100	ID = ncRNA_39518;Name = snoR53Y;family = RF01279	Predicted snoRNA (0.998944). Box type: C/D	
11	EPIOSAT00000001421	ID = ncRNA_8349;Name = snoF1_F2;family = RF00482	Predicted snoRNA (0.999953). Box type: H/ACA	
11	EPIOSAT00000008208	ID = ncRNA_5022;Name = snosnR60_Z15;family = RF00309	Predicted snoRNA (0.998062). Box type: C/D	
11	EPIOSAT00000004537	ID = ncRNA_5544;Name = snoZ122;family = RF00343	Predicted snoRNA (0.997834). Box type: C/D	
11	EPIOSAT00000026520	ID = ncRNA_3374;Name = SNORD33;family = RF00133	Predicted snoRNA (0.997597). Box type: C/D	
11	EPIOSAT00000000488	ID = ncRNA_9189;Name = snoMe18S-Um1356;family = RF00532	Predicted snoRNA (0.997827). Box type: C/D	
11	EPIOSAT00000022249	ID = ncRNA_37584;Name = sn1502;family = RF01189	Predicted snoRNA (0.992784). Box type: C/D	

11	EPIOSAT00000026409	ID = ncRNA_3384;Name = snoZ196;family = RF00134	Predicted snoRNA (0.996412). Box type: C/D	
11	EPIOSAT00000001417	ID = ncRNA_8352;Name = snoF1_F2;family = RF00482	Predicted snoRNA (0.999768). Box type: H/ACA	
11	EPIOSAT00000020500	ID = ncRNA_39158;Name = snR5;family = RF01252	Predicted snoRNA (0.996918). Box type: H/ACA	
12	EPIOSAT00000042408	ID = ncRNA_19440;Name = MIR1122;family = RF00906	Predicted snoRNA (0.99877). Box type: H/ACA	
12	EPIOSAT00000042497	ID = ncRNA_19360;Name = MIR1122;family = RF00906	Predicted snoRNA (0.999847). Box type: H/ACA	
12	EPIOSAT00000034886	ID = ncRNA_2621;Name = SNORA62;family = RF00091	Predicted snoRNA (0.91351). Box type: H/ACA	
12	EPIOSAT00000047246	ID = ncRNA_15086;Name = MIR821;family = RF00885	Predicted snoRNA (0.973244). Box type: H/ACA	
12	EPIOSAT00000008499	ID = ncRNA_4996;Name = snoZ248;family = RF00305	Predicted snoRNA (0.91164). Box type: C/D	
12	EPIOSAT00000025539	ID = ncRNA_34622;Name = mir-598;family = RF01059	Predicted snoRNA (0.973397). Box type: C/D	
12	EPIOSAT00000045503	ID = ncRNA_16655;Name = MIR821;family = RF00885	Predicted snoRNA (0.781901). Box type: H/ACA	
12	EPIOSAT00000040818	ID = ncRNA_20871;Name = MIR1122;family = RF00906	Predicted snoRNA (0.920227). Box type: H/ACA	
12	EPIOSAT00000039716	ID = ncRNA_21863;Name = MIR1122;family = RF00906	Predicted snoRNA (0.932031). Box type: H/ACA	

12	EPIOSAT00000046662	ID = ncRNA_15611;Name = MIR821;family = RF00885	Predicted snoRNA (0.984169). Box type: H/ACA	
12	EPIOSAT00000046700	ID = ncRNA_15578;Name = MIR821;family = RF00885	Predicted snoRNA (0.944288). Box type: H/ACA	
12	EPIOSAT00000040545	ID = ncRNA_21116;Name = MIR1122;family = RF00906	Predicted snoRNA (0.758788). Box type: H/ACA	
12	EPIOSAT00000046324	ID = ncRNA_15916;Name = MIR821;family = RF00885	Predicted snoRNA (0.984561). Box type: H/ACA	
12	EPIOSAT00000042701	ID = ncRNA_19177;Name = MIR1122;family = RF00906	Predicted snoRNA (0.858207). Box type: H/ACA	
12	EPIOSAT00000022156	ID = ncRNA_37668;Name = sn2903;family = RF01194	Predicted snoRNA (0.933103). Box type: C/D	
12	EPIOSAT00000046771	ID = ncRNA_15513;Name = MIR821;family = RF00885	Predicted snoRNA (0.990599). Box type: H/ACA	
12	EPIOSAT00000045349	ID = ncRNA_16794;Name = MIR821;family = RF00885	Predicted snoRNA (0.965907). Box type: H/ACA	
12	EPIOSAT00000046840	ID = ncRNA_15451;Name = MIR821;family = RF00885	Predicted snoRNA (0.866258). Box type: H/ACA	
12	EPIOSAT00000046905	ID = ncRNA_15393;Name = MIR821;family = RF00885	Predicted snoRNA (0.849669). Box type: H/ACA	
12	EPIOSAT00000014005	ID = ncRNA_45002;Name = ceN125;family = RF01620	Predicted snoRNA (0.977606). Box type: H/ACA	
12	EPIOSAT00000047166	ID = ncRNA_15158;Name = MIR821;family = RF00885	Predicted snoRNA (0.998303). Box type: H/ACA	

12	EPIOSAT00000008621	ID = ncRNA_4985;Name = snoZ279_R105_R108;family = RF00304	Predicted snoRNA (0.988372). Box type: C/D	
12	OS12T0194432-00	Note = Non-protein coding transcript., Transcript_evidence = tplb0061j05 (Wheat FLcDNA), ORF_evidence = NONE,	Predicted snoRNA (0.749555). Box type: C/D	X
12	EPIOSAT00000045856	ID = ncRNA_16337;Name = MIR821;family = RF00885	Predicted snoRNA (0.973881). Box type: H/ACA	
12	EPIOSAT00000042721	ID = ncRNA_19159;Name = MIR1122;family = RF00906	Predicted snoRNA (0.982249). Box type: H/ACA	
12	EPIOSAT00000039335	ID = ncRNA_22205;Name = MIR1122;family = RF00906	Predicted snoRNA (0.909428). Box type: H/ACA	
12	EPIOSAT00000025576	ID = ncRNA_3459;Name = SNORA72;family = RF00139	Predicted snoRNA (0.784176). Box type: H/ACA	
12	EPIOSAT00000014569	ID = ncRNA_44496;Name = plasmodium_snoR11;family = RF01589	Predicted snoRNA (0.958254). Box type: H/ACA	
12	EPIOSAT00000047071	ID = ncRNA_15243;Name = MIR821;family = RF00885	Predicted snoRNA (0.913778). Box type: H/ACA	
12	EPIOSAT00000047074	ID = ncRNA_15240;Name = MIR821;family = RF00885	Predicted snoRNA (0.966209). Box type: H/ACA	
12	EPIOSAT00000046299	ID = ncRNA_15939;Name = MIR821;family = RF00885	Predicted snoRNA (0.900786). Box type: H/ACA	

12	EPIOSAT00000046303	ID = ncRNA_15935;Name = MIR821;family = RF00885	Predicted snoRNA (0.995312). Box type: H/ACA	
12	EPIOSAT00000020473	ID = ncRNA_39182;Name = snR46;family = RF01253	Predicted snoRNA (0.999817). Box type: H/ACA	
12	EPIOSAT00000020406	ID = ncRNA_39242;Name = snR82;family = RF01261	Predicted snoRNA (0.998877). Box type: H/ACA	
12	EPIOSAT00000050628	ID = ncRNA_12041;Name = mir-139;family = RF00703	Predicted snoRNA (0.771692). Box type: C/D	
12	OS12T0233366-00	Note = Non-protein coding transcript., Transcript_evidence = CT835611 (DDBJ, Best hit), ORF_evidence = NONE,	Predicted snoRNA (0.966615). Box type: H/ACA	X
12	EPIOSAT00000020459	ID = ncRNA_39195;Name = snR46;family = RF01253	Predicted snoRNA (0.940906). Box type: H/ACA	
12	EPIOSAT00000008362	ID = ncRNA_50081;Name = STnc300;family = RF02070	Predicted snoRNA (0.833827). Box type: H/ACA	
12	EPIOSAT00000046290	ID = ncRNA_15947;Name = MIR821;family = RF00885	Predicted snoRNA (0.995363). Box type: H/ACA	
12	EPIOSAT00000014589	ID = ncRNA_44478;Name = plasmidium_snoR11;family = RF01589	Predicted snoRNA (0.95621). Box type: H/ACA	
12	EPIOSAT00000046652	ID = ncRNA_15620;Name = MIR821;family = RF00885	Predicted snoRNA (0.944338). Box type: H/ACA	

12	EPIOSAT00000004725	ID = ncRNA_5375;Name = SNORD53_SNORD92;family = RF00325	Predicted snoRNA (0.918535). Box type: C/D	
12	EPIOSAT00000025853	ID = ncRNA_3434;Name = SNORA72;family = RF00139	Predicted snoRNA (0.998574). Box type: H/ACA	
12	EPIOSAT00000047014	ID = ncRNA_15295;Name = MIR821;family = RF00885	Predicted snoRNA (0.880277). Box type: H/ACA	
12	EPIOSAT00000040467	ID = ncRNA_21187;Name = MIR1122;family = RF00906	Predicted snoRNA (0.958129). Box type: H/ACA	
12	EPIOSAT00000026926	ID = ncRNA_33374;Name = MIR530;family = RF01005	Predicted snoRNA (0.859852). Box type: H/ACA	
12	OS12T0273850-00	Note = Non-protein coding transcript., Transcript_evidence = AM939974 (DDBJ), ORF_evidence = NONE,	Predicted snoRNA (0.831626). Box type: H/ACA	X
12	EPIOSAT00000038169	ID = ncRNA_23255;Name = MIR1122;family = RF00906	Predicted snoRNA (0.961737). Box type: H/ACA	
12	EPIOSAT00000017943	ID = ncRNA_41459;Name = S_pombe_snR98;family = RF01447	Predicted snoRNA (0.710966). Box type: H/ACA	
12	OS12T0281375-00	Note = Non-protein coding transcript., Transcript_evidence = tplb0061j05 (Wheat FLcDNA), ORF_evidence = NONE,	Predicted snoRNA (0.999129). Box type: C/D	X
12	EPIOSAT00000020492	ID = ncRNA_39165;Name = snR46;family = RF01253	Predicted snoRNA (0.999739). Box type: H/ACA	

12	EPIOSAT00000012558	ID = ncRNA_46305;Name = HSUR;family = RF01802	Predicted snoRNA (0.999739). Box type: H/ACA	
12	EPIOSAT00000037563	ID = ncRNA_23800;Name = MIR1122;family = RF00906	Predicted snoRNA (0.739159). Box type: H/ACA	
12	EPIOSAT00000043778	ID = ncRNA_18207;Name = MIR1122;family = RF00906	Predicted snoRNA (0.843458). Box type: H/ACA	
12	EPIOSAT00000043615	ID = ncRNA_18354;Name = MIR1122;family = RF00906	Predicted snoRNA (0.762573). Box type: H/ACA	
12	EPIOSAT00000046937	ID = ncRNA_15364;Name = MIR821;family = RF00885	Predicted snoRNA (0.953773). Box type: H/ACA	
12	EPIOSAT00000046961	ID = ncRNA_15342;Name = MIR821;family = RF00885	Predicted snoRNA (0.987708). Box type: H/ACA	
12	OS12T0407250-01	Note = Non-protein coding transcript., Transcript_evidence = AK064452 (DDBJ, Best hit), ORF_evidence = NONE, NIAS_FLcDNA = 002-110-F07,	Predicted snoRNA (0.97464). Box type: C/D	X
12	EPIOSAT00000046266	ID = ncRNA_15969;Name = MIR821;family = RF00885	Predicted snoRNA (0.990373). Box type: H/ACA	
12	EPIOSAT00000046924	ID = ncRNA_15376;Name = MIR821;family = RF00885	Predicted snoRNA (0.738494). Box type: H/ACA	
12	EPIOSAT00000046947	ID = ncRNA_15355;Name = MIR821;family = RF00885	Predicted snoRNA (0.75347). Box type: H/ACA	

12	EPIOSAT00000000273	ID = ncRNA_9382;Name = SNORA53;family = RF00563	Predicted snoRNA (0.999711). Box type: H/ACA	
12	EPIOSAT00000018380	ID = ncRNA_41065;Name = isrL;family = RF01395	Predicted snoRNA (0.996244). Box type: H/ACA	
12	EPIOSAT00000004706	ID = ncRNA_5392;Name = snoZ155;family = RF00326	Predicted snoRNA (0.973025). Box type: C/D	
12	OS12T0423944-00	Note = Non-protein coding transcript., Transcript_evidence = BT038177 (DDBJ), ORF_evidence = NONE,	Predicted snoRNA (0.902036). Box type: H/ACA	X
12	OS12T0434501-01	Note = Non-protein coding transcript., Transcript_evidence = AK242180 (DDBJ, Best hit), ORF_evidence = NONE, NIAS_FLCdNA = J075160K01,	Predicted snoRNA (0.757501). Box type: H/ACA	X
12	EPIOSAT00000018376	ID = ncRNA_41069;Name = isrL;family = RF01395	Predicted snoRNA (0.99781). Box type: H/ACA	
12	EPIOSAT00000046240	ID = ncRNA_15992;Name = MIR821;family = RF00885	Predicted snoRNA (0.96374). Box type: H/ACA	
12	EPIOSAT00000008649	ID = ncRNA_49824;Name = STnc430;family = RF02053	Predicted snoRNA (0.805566). Box type: H/ACA	
12	EPIOSAT00000008352	ID = ncRNA_50090;Name = STnc300;family = RF02070	Predicted snoRNA (0.933277). Box type: H/ACA	
12	EPIOSAT00000046755	ID = ncRNA_15528;Name = MIR821;family = RF00885	Predicted snoRNA (0.719918). Box type: H/ACA	

12	EPIOSAT00000034905	ID = ncRNA_26193;Name = MIR1122;family = RF00906	Predicted snoRNA (0.741664). Box type: H/ACA	
12	EPIOSAT00000052698	ID = ncRNA_10179;Name = P15;family = RF00627	Predicted snoRNA (0.995067). Box type: H/ACA	
12	OS12T0468600-02	Note = Non-protein coding transcript., Transcript_evidence = AK060592 (DDBJ, Best hit), ORF_evidence = NONE, NIAS_FLcDNA = 001-024-E06,	Predicted snoRNA (0.813435). Box type: H/ACA	X
12	EPIOSAT00000031348	ID = ncRNA_29395;Name = MIR1122;family = RF00906	Predicted snoRNA (0.788697). Box type: H/ACA	
12	EPIOSAT00000034875	ID = ncRNA_2622;Name = SNORA63;family = RF00092	Predicted snoRNA (0.836738). Box type: H/ACA	
12	EPIOSAT00000045256	ID = ncRNA_16878;Name = MIR807;family = RF00886	Predicted snoRNA (0.712545). Box type: H/ACA	
12	EPIOSAT00000052696	ID = ncRNA_10180;Name = P15;family = RF00627	Predicted snoRNA (0.995067). Box type: H/ACA	
12	EPIOSAT00000046584	ID = ncRNA_15682;Name = MIR821;family = RF00885	Predicted snoRNA (0.998552). Box type: H/ACA	
12	EPIOSAT00000046657	ID = ncRNA_15616;Name = MIR821;family = RF00885	Predicted snoRNA (0.999155). Box type: H/ACA	
12	EPIOSAT00000045947	ID = ncRNA_16255;Name = MIR821;family = RF00885	Predicted snoRNA (0.766514). Box type: H/ACA	

12	OS12T0510766-00	Note = Non-protein coding transcript., Transcript_evidence = EU942847 (DDBJ), ORF_evidence = NONE,	Predicted snoRNA (0.716864). Box type: H/ACA	X
12	EPIOSAT00000045450	ID = ncRNA_16702;Name = MIR821;family = RF00885	Predicted snoRNA (0.870433). Box type: H/ACA	
12	EPIOSAT00000014519	ID = ncRNA_44540;Name = plasmodium_snoR11;family = RF01589	Predicted snoRNA (0.751). Box type: H/ACA	
12	EPIOSAT00000042156	ID = ncRNA_19668;Name = MIR1122;family = RF00906	Predicted snoRNA (0.845818). Box type: H/ACA	
12	EPIOSAT00000040863	ID = ncRNA_20830;Name = MIR1122;family = RF00906	Predicted snoRNA (0.741534). Box type: H/ACA	
12	EPIOSAT00000047789	ID = ncRNA_14598;Name = MIR811;family = RF00882	Predicted snoRNA (0.840311). Box type: H/ACA	
12	EPIOSAT00000021387	ID = ncRNA_3836;Name = SSU_rRNA_bacteria;family = RF00177	Predicted snoRNA (0.963508). Box type: C/D	
12	EPIOSAT00000009894	ID = ncRNA_48703;Name = SSU_rRNA_eukarya;family = RF01960	Predicted snoRNA (0.963508). Box type: C/D	
12	EPIOSAT00000009945	ID = ncRNA_48658;Name = SSU_rRNA_archaea;family = RF01959	Predicted snoRNA (0.963508). Box type: C/D	

12	EPIOSAT00000014523	ID = ncRNA_44537;Name = plasmidium_snoR11;family = RF01589	Predicted snoRNA (0.948896). Box type: H/ACA	
12	EPIOSAT00000027253	ID = ncRNA_3308;Name = IS102;family = RF00124	Predicted snoRNA (0.776951). Box type: H/ACA	
12	EPIOSAT00000026740	ID = ncRNA_33541;Name = MIR530;family = RF01005	Predicted snoRNA (0.880945). Box type: H/ACA	
12	EPIOSAT00000047244	ID = ncRNA_15088;Name = MIR821;family = RF00885	Predicted snoRNA (0.888384). Box type: H/ACA	
12	EPIOSAT00000038771	ID = ncRNA_22713;Name = MIR1122;family = RF00906	Predicted snoRNA (0.826313). Box type: H/ACA	
12	EPIOSAT00000026930	ID = ncRNA_33370;Name = MIR530;family = RF01005	Predicted snoRNA (0.826313). Box type: H/ACA	
12	OS12T0538850-00	Note = Non-protein coding transcript., Transcript_evidence = tplb0031a05 (Wheat FLcDNA), ORF_evidence = NONE,	Predicted snoRNA (0.995173). Box type: C/D	X
12	EPIOSAT00000047257	ID = ncRNA_15076;Name = MIR821;family = RF00885	Predicted snoRNA (0.952592). Box type: H/ACA	
12	EPIOSAT00000023109	ID = ncRNA_3681;Name = snoZ159;family = RF00160	Predicted snoRNA (0.980892). Box type: C/D	

12	OS12T0554300-01	Note = Non-protein coding transcript., Transcript_evidence = AK058250 (DDBJ, Best hit), ORF_evidence = NONE, NIAS_FLcDNA = 001-012-B11,	Predicted snoRNA (0.996103). Box type: C/D	X
12	EPIOSAT00000023065	ID = ncRNA_3685;Name = snoZ159;family = RF00160	Predicted snoRNA (0.991983). Box type: C/D	
12	EPIOSAT00000017999	ID = ncRNA_41408;Name = snoR137;family = RF01433	Predicted snoRNA (0.990675). Box type: H/ACA	
12	EPIOSAT00000046949	ID = ncRNA_15353;Name = MIR821;family = RF00885	Predicted snoRNA (0.970992). Box type: H/ACA	
12	OS12T0562455-00	Note = Non-protein coding transcript., Transcript_evidence = tplb0025h13 (Wheat FLcDNA), ORF_evidence = NONE,	Predicted snoRNA (0.749156). Box type: H/ACA	X
12	EPIOSAT00000046328	ID = ncRNA_15912;Name = MIR821;family = RF00885	Predicted snoRNA (0.995914). Box type: H/ACA	
12	EPIOSAT00000046340	ID = ncRNA_15901;Name = MIR821;family = RF00885	Predicted snoRNA (0.815704). Box type: H/ACA	
12	OS12T0568800-03	Note = Non-protein coding transcript., Transcript_evidence = AK111292 (DDBJ, Best hit), ORF_evidence = NONE, NIAS_FLcDNA = 002-181-A06,	Predicted snoRNA (0.76269). Box type: H/ACA	X

12	EPIOSAT00000008197	ID = ncRNA_5023;Name = snosnR60_Z15;family = RF00309	Predicted snoRNA (0.997287). Box type: C/D	
12	EPIOSAT00000022189	ID = ncRNA_37638;Name = SNORD11B;family = RF01192	Predicted snoRNA (0.997314). Box type: C/D	
12	EPIOSAT00000000492	ID = ncRNA_9185;Name = snoMe18S-Um1356;family = RF00532	Predicted snoRNA (0.997224). Box type: C/D	
12	EPIOSAT00000026542	ID = ncRNA_3372;Name = SNORD33;family = RF00133	Predicted snoRNA (0.996692). Box type: C/D	
12	EPIOSAT00000022251	ID = ncRNA_37582;Name = sn1502;family = RF01189	Predicted snoRNA (0.989357). Box type: C/D	
12	EPIOSAT00000026442	ID = ncRNA_3381;Name = snoZ196;family = RF00134	Predicted snoRNA (0.995797). Box type: C/D	
12	EPIOSAT00000001419	ID = ncRNA_8350;Name = snoF1_F2;family = RF00482	Predicted snoRNA (0.996906). Box type: H/ACA	
12	EPIOSAT00000001416	ID = ncRNA_8353;Name = snoF1_F2;family = RF00482	Predicted snoRNA (0.998448). Box type: H/ACA	
12	EPIOSAT00000008219	ID = ncRNA_5021;Name = snosnR60_Z15;family = RF00309	Predicted snoRNA (0.997784). Box type: C/D	
12	EPIOSAT00000022188	ID = ncRNA_37639;Name = SNORD11B;family = RF01192	Predicted snoRNA (0.997751). Box type: C/D	
12	EPIOSAT00000026531	ID = ncRNA_3373;Name = SNORD33;family = RF00133	Predicted snoRNA (0.997383). Box type: C/D	
12	EPIOSAT00000022250	ID = ncRNA_37583;Name = sn1502;family = RF01189	Predicted snoRNA (0.991615). Box type: C/D	

12	EPIOSAT00000026431	ID = ncRNA_3382;Name = snoZ196;family = RF00134	Predicted snoRNA (0.99652). Box type: C/D	
12	EPIOSAT00000001418	ID = ncRNA_8351;Name = snoF1_F2;family = RF00482	Predicted snoRNA (0.994811). Box type: H/ACA	
12	EPIOSAT00000046960	ID = ncRNA_15343;Name = MIR821;family = RF00885	Predicted snoRNA (0.765805). Box type: H/ACA	
12	EPIOSAT00000046982	ID = ncRNA_15323;Name = MIR821;family = RF00885	Predicted snoRNA (0.956664). Box type: H/ACA	
12	EPIOSAT00000003436	ID = ncRNA_6535;Name = IRES_Kv1_4;family = RF00447	Predicted snoRNA (0.994025). Box type: H/ACA	
12	EPIOSAT00000044252	ID = ncRNA_17781;Name = MIR1122;family = RF00906	Predicted snoRNA (0.853087). Box type: H/ACA	

12	EPIOSAT00000044425	ID = ncRNA_17625;Name = MIR1122;family = RF00906	Predicted snoRNA (0.999089). Box type: H/ACA	
----	--------------------	--	--	--